MAY 1 4 1925 Akademie der Wissenschaften in Wien Mathematisch-naturwissenschaftliche Klasse

dem ucal

eren dene ein itere urde ver-

fiel ach 5°

ssig, enig

nyl-

Monatshefte für Chemie

hollers of the headquay is a many all tracers to any list expense.

E . MA - ENGLAND WITH BUILD

The same of the sa

AND A TOP OF THE STATE OF THE S

und

verwandte Teile anderer Wissenschaften

Gesammelte Abhandlungen aus den Sitzungsberichten der Akademie der Wissenschaften

45. Band, 7. und 8. Heft

(Mit 45 Textfiguren)

(Ausgegeben am 25. März 1925)

Well and a breef to a collection of the all the collection of the collection.

William Co. Schwiger C. and S. States S. Dipoted Shirt

Control to the second of the s

ar I mark the land of the Lot of the parties of the land the parties of the land of the la

Wien 1924

Foundation and antique and action

Hölder-Pichler-Tempsky, A.-G., Wien und Leipzig Kommissionsverleger der Akademie der Wissenschaften in Wien

Druck der Österreichischen Staatsdruckerei

	Seite
Kohn M. und Weißberg M., Über m-Bromphenole. (VI. Mitteilung über Brom-	90.
kremann R., Zechner K. und Weber G., Über den Einfluß von Substitution im den Komponenten binärer Lösungsgleichgewichte. XLVI. Mitteilung.	
Die binären Systeme von Azobenzol mit Phenolen. (Mit 2 Textfiguren.) Kremann R. und Gruber-Rehenburg R., Die elektrolytische Leitung in geschmolzenen Metallegierungen. VI. Mitteilung. Versuche der Elektrolyse einiger Kupferlegierungen (Cu-Zn, Cu-Sn, Cu-Ag, Cu-Al). (Mit 10 Text-	
Moser L. und Leßnig R., Die Bestimmung und die Trennung seltenerer Metalle von anderen Metallen. V. Mitteilung. Die Trennung des Zirkons und des Hafniums vom Titan, Cer und Thorium.	
Kremann R. und Benda O., Die elektrolytische Leitung in geschmolzenen Metallegierungen. VII. Mitteilung. Die Elektrolyse von Ag-Pb-Legierungen.	
(Mit 2 Textfiguren)	
Kremann R., Zechner E. und Dražil H., Über den Einfluß von Substitution in den Komponenten binärer Lösungsgleichgewichte. XLVII. Mitteilung. Die binären Zustandsdiagramme von Säuren, beziehungsweise Estern	
und Phenolen. (Mit 7 Textfiguren)	
Legierungen. (Mit 9 Textfiguren)	379
Legierungen. (Mit 11 Textfiguren)	
Weißenberger G. und Schuster F., Über die Molekülverbindungen der Phenole.	3 93 4 13
Weißenberger G., Schuster F. und Schuler K., Über die Molekülverbindungen der Phenole. IV. Das Verhalten der binären Systeme mit Phenol und	
Phenoläthern	425
Folgende Abhandlungen sind eingelangt:	
Kohn M. und Guttmann L. W., Zur Kenntnis der Bromsubstitutionsprodukte des Hydrochinons. VI. Mitteilung. Über Bromphenole. (Mit 7 Textfiguren.) Brukl A., Die Darstellung von Metalltelluriden aus Tellurwasserstoff und Metallsalzlösungen.	
Kailan A. und Raupenstrauch H., Über die Veresterung der Fettsäuren in Glyzerin.	

gest wirk Dibi pun ist i der kres ents

Geo

1-Meihr I betra zum

dies und

Über m-Bromphenole VI. Mitteilung über Bromphenole 1

Von

Moritz Kohn und Mathilde Weißberg

Aus dem Chemischen Laboratorium der Wiener Handelsakademie

(Vorgelegt in der Sitzung am 10. Juli 1924)

Durch die Versuche von M. Kohn und M. Jawetz ist festgestellt worden, daß aus dem Tetrabrom-o-kresol (I) bei der Einwirkung von Benzol in Gegenwart von Aluminiumchlorid ein Dibrom-o-kresol vom Siedepunkt 283 bis 287° und Schmelzpunkt 98 bis 101°, durch die Versuche von M. Kohn und J. Wiesen ist festgestellt worden, daß aus dem Tetrabrom-p-kresol (III) bei der Einwirkung von Benzol und Aluminiumchlorid ein Dibrom-p-kresol vom Siedepunkt 280 bis 286° und Schmelzpunkt 97° entsteht.

M. Kohn und M. Jawetz hatten ihr Dibrom-o-kresol als das 1-Methyl-2 Oxy-4. 6-Dibrombenzol (II), M. Kohn und J. Wiesen ihr Dibrom-p-kresol als das 1-Methyl-, 4-Oxy-2, 6-Dibrombenzol (IV) betrachtet; in beiden Fällen wurden also die Bromatome in m-Stellung zum Hydroxyl angenommen.

Wir sind jetzt in der Lage, weitere Argumente für die Richtigkeit dieser Auffassung beizubringen. Das Dibrom-p-kresol von M. Kohn und J. Wiesen (IV) läßt sich ungemein leicht weiter bromieren.

ite

95

)5

1

3

¹ M. Kohn und J. Wiesen, V. Mitteilung über Bromphenole.

<sup>Monatshefte für Chemie, 1923, p. 199 u. f., 204 u. f.
Monatshefte für Chemie, 1924 (im Druck befindlich).</sup>

Bei vorsichtiger Zugabe einer Lösung von etwas weniger als 1 Mol. Brom in Eisessig zu dem in Eisessig gelösten Dibrom-pkresol erhält man in sehr guter Ausbeute ein neues Tribrom-p-kresol vom Schmelzpunkt 84°, dessen Methyläther bei 115° schmilzt. Die Theorie läßt die Existenz der beiden isomeren Tribrom-p-kresole. des 1-Methyl-4-Oxy-2, 3, 5-Tribrombenzols(V) und des 1-Methyl-4-Oxy-2, 3, 6-Tribrombenzols (VI), voraussehen.

Das erstere (V) ist von Zincke1 vor längerer Zeit entdeckt worden. Es bildet sich, wie Zincke angibt und im hiesigen Laboratorium vollauf bestätigt werden konnte, in sehr befriedigender Ausbeute bei der direkten Bromierung des p-Kresols in Chloroformlösung in Gegenwart von Eisen.

Unser Tribrom-p-kresol ist völlig verschieden von Zinckes Tribrom-p-kresol (V). Es steht daher außer Zweifel, daß unser Tribrom-p-kresol das 1-Methyl,-4-Oxy-2,-3, 6-Tribrombenzol (VI) ist.

Bei der Einwirkung von rauchender Salpetersäure auf das Dibrom-p-kresol (IV) von M. Kohn und J. Wiesen bildet sich ein Dibromdinitro-p-kresol. Der Eintritt der beiden Nitrogruppen kann hier nur in zwei o-Stellen zum Hydroxyl erfoigen. Das Dibrom-pkresol von M. Kohn und J. Wiesen muß also die von ihnen angenommene Struktur (IV) besitzen und das Dibromdinitro-p-kresol daher das 1-Methyl, -4-Oxy, -2, 6-Dibrom, -3, 5-Dinitrobenzol (VII) sein.

Ebenso läßt sich das Dibrom-o-kresol von M. Kohn und M. Jawetz (II) leicht nitrieren, wobei ein Dibromdinitro-o-kresol entsteht. Hier kann der Eintritt der beiden Nitrogruppen nur in eine ortho- und eine para-Stellung zum Hydroxyl erfolgen. Es muß daher in diesem Dibromdinitro-o-kresol das 1-Methyl,-2-Oxy,-4-,

Dibrondson sold (IV)

6 Dib von N nur i

von . Es W vorat atom erfah (X) (

zerse Schm

jeden kresc

Dars gehal

> für (träch kresc

benz und wirk und 300° punk Bei 1 erhal hatte

> 54° von e Schn

¹ Annalen, 320, 206 (1902).

6 Dibrom, 3, 5-Dinitrobenzol (VIII) vorliegen und das Dibrom-o-kresol von M. Kohn und M. Jawetz kann daher seine beiden Bromatome nur in den meta-Stellungen zum Hydroxyl (II) enthalten.

Wir haben weiter die Einwirkung von Benzol in Gegenwart von Aluminiumchlorid auf das Tetrabrom-m-kresol (IX) untersucht. Es war auf Grund der früheren Erfahrungen auf diesem Gebiete vorauszusehen, daß die beiden zum Hydroxyl ortho-ständigen Bromatome sowie das para-ständige einen Austausch gegen Wasserstoff erfahren werden, wobei sich das 1-Methyl-3-Oxy-5-Brombenzol (X) (m-Brom-m-Kresol) neben Brombenzol bilden sollte.

Unsere Versuche haben nun gelehrt, daß ein gegen 255° unzersetzt siedender und sofort krystallinisch erstarrender Körper vom Schmelzpunkt 54° entsteht.

Schon aus diesem Siedepunkte läßt sich schließen, daß hier jedenfalls kein Dibromkresol, sondern tatsächlich nur ein Monobromkresol vorliegen kann.

Die vollständigen Analysen von Substanzen verschiedener Darstellung haben jedoch fast stets ein geringes Plus im Bromgehalt und ein Minus im Kohlenstoffgehalt ergeben.

Die Unterschiede zwischen den für ein Dibromkresol und den für ein Monobromkresol berechneten Zahlen sind indes so beträchtliche, daß die Analysen für die Formel eines Monobrom-mkresols noch immer mit aller Bestimmtheit entscheiden.

Das erwartete Monobrom-m-kresol (1-Methyl,-3 Oxy,-5-Brombenzol (X) findet sich bereits in der Literatur beschrieben. Nevile und Winther¹, welche diesen Körper vor langer Zeit durch Einwirkung von salpetriger Säure auf 5-Brom-3-Toluidin dargestellt und erwiesen haben, daß er beim Erhitzen mit Kali auf 280 bis 300° Orcin liefert, geben den Schmelzpunkt 57° an; eine Siedepunktsbestimmung haben die genannten Autoren nicht vorgenommen. Bei unseren Präparaten, welche wir bei verschiedenen Versuchen erhalten und durch öfteres Umkrystallisieren sorgfältigst gereinigt hatten, wurde stets bei den reinsten Proben der Schmelzpunkt 54° beobachtet. Es zeigt sich also noch immerhin eine Differenz von drei Graden gegen den von Nevile und Winther angegebenen Schmelzpunkt.

res ser ist.

ein

nn

als

n-p-

esol Die

sole.

xy-

eckt

ibo-

der rm-

pnsol in.

d ol e ß

¹ Berliner Berichte, 15; 2991, ferner Berl. Ber. 54, 1313 (1921).

Es ist aber überdies auch durch die Darstellung und Analyse von Derivaten einwandfrei erwiesen worden, daß unsere Verbindung ein Monobrom-m-kresol ist. Die Substanz liefert ein wohl krystallisiertes Pikrylderivat.

Mit Formaldehyd in Gegenwart von wässerigem Kali entsteht der Körper C₈H₉O₂Br, den wir als den gebromten Oxybenzylalkohol (XI) (o-Brom-o-Methyl-p-Oxybenzylalkohol) ansehen müssen.

Die Annahme, daß der Methylolrest hier in para-Stellung zum Hydroxyl getreten ist, erscheint geboten, da Auwers¹, der das meta-Bromphenol der gleichen Reaktion unterworfen hat, nachgewiesen hat, daß in diesem Falle der o-Brom-p-Oxybenzylalkohol

entsteht.

Übrigens ist Auwers² beim Studium der Einwirkung von Formaldehyd in Gegenwart von Alkalien auf Phenole, einer von Lederer und Manasse aufgefundenen, in der Regel zu Oxybenzylalkoholen führenden Reaktion, in einer eingehenden Untersuchung zu dem Schluß gekommen, daß Halogenphenole dabei häufig unverändert bleiben.

Die günstigen, bei der Einwirkung von Formaldehyd auf das Monobrom-m-kresol erzielten Resultate haben uns veranlaßt, diese Reaktion auch beim m-m-Dibromphenol und beim Dibrom-p-kresol (IV) (1-Methyl-4 Oxy-, 2, 6-Dibrombenzol) auszuführen.

Aus dem m-m-Dibromphenol entsteht so o-o-Dibrom-p-Oxybenzylalkohol (XII).

Aus dem Dibrom-p-kresol von M. Kohn und J. Wiesen (IV) entsteht bei der gleichen Reaktion eine Verbindung, deren Analyse auf die Zusammensetzung C₉H₁₀Br₂O₃ deutet. Die Substanz hätte sich also unter Aufnahme zweier Moleküle Formaldehyd gebildet und würde daher der zweiwertige Alkohol, die Dimethylolverbindung, (XIII) sein. Zur endgültigen Entscheidung erscheint allerdings eine weitere Untersuchung erforderlich.

Dars

-4-O wurd chlor gewo Anga schm

Dibrunte temp sich wäse zuers umki bei 8

I. 0.1

Der siede aktio kryst wird

Krys und

von

0.202

¹ Annalen, 334; 330.

² Berl. Ber., 40; 2532 (1907).

Darstellung des neuen Tribrom-p-kresols (VI). (1-Methyl-4 Oxy-2, 3, 6-Tribrombenzols.)

Als Ausgangsmaterial diente das Dibrom-p-kresol (IV) (1-Methyl-4-Oxy-2, 6-Dibrombenzol) von M. Kohn und J. Wiesen¹. Dasselbe wurde durch Einwirkung von Benzol in Gegenwart von Aluminium-chlorid auf Tetrabrom-p-kresol in der bereits beschriebenen Weise² gewonnen. Die Substanz siedet in voller Übereinstimmung mit den Angaben von M. Kohn und J. Wiesen bei 280 bis 286° und schmilzt bei 97°.

Eine Lösung von 2 cm³ Brom in 2 cm³ Eisessig wird zu 10 g Dibrom-p-kresol, welches in 50 cm³ Eisessig gelöst ist, tropfenweise unter Kühlung zugesetzt. Nach einstündigem Stehen bei Zimmertemperatur wird das Gemisch in kaltes Wasser gegossen, aus dem sich die Substanz krystallinisch ausscheidet. Man saugt ab und wäscht mit Wasser nach. Die Substanz wird in Vakuum getrocknet, zuerst aus verdünntem Eisessig und dann aus siedendem Ligroin umkrystallisiert. Es scheiden sich weiße, nadelige Kryställchen, die bei 84° schmelzen, aus.

Die Analysen der bei 40° in Vakuum getrockneten Substanz ergaben:

I. 0.1545 g Substanz lieferten 0.1362 g CO₂ und 0.0230 g H₂O.

ll. 0.2023 g » bei der Cariusbest. 0.3313 g Ag Br.;

Gef. I.: 24.050/0 C, 1.660/0 H; II.: 69.690/0 Br.

Ber. für C₇H₅OBr₃: 24·34⁰/₀ C, 1·45⁰/₀ H, 69·56⁰/₀ Br.

Methyläther des neuen Tribrom-p-kresols.

Tribrom-p-kresol wird in Kalilauge gelöst und mit überschüssigem Dimethylsulfat in einer Stöpselflasche kräftig geschüttelt. Der Inhalt der Flasche wird in einen Kolben entleert und auf dem siedenden Wasserbad eine halbe Stunde lang erwärmt, um die Reaktion zu vervollständigen, worauf die Substanz beim Abkühlen krystallinisch erstarrt. Nach dem Absaugen und Waschen mit Wasser wird im Vakuum getrocknet und destilliert. Unter einem Druck von 756 mm geht alles bei ungefähr 320° (unkorr.) über.

Das Destillat erstarrt sofort zu einem kompakten weißen Krystallkuchen. Die Substanz wird aus einem Gemisch von Benzol und Ligroin umkrystallisiert.

Der Schmelzpunkt ist 115°.

0.2023 g Substanz lieferten bei der Cariusbest. 0.3169 g Ag Br.

Gef.: 66.650/0 Br.

Ber. für C₈H₇Br₃O: 66·850/0 Br.

von von cyl-

alyse

dung stalli-

steht

ohol

zum das

hge-

ohol

ing in-

ese sol y-

V) se te et

g, ne

¹ Monatshefte für Chemie, 1924 (im Druck befindlich).

² M. Kohn u. J. Wiesen, a. a. O.

Dibromdinitro-p-kresol (1-Methyl-4-Oxy-2, 6-Dibrom-3, 5-Dinitro-benzol) (VII).

Zu 45 cm³ rauchender Salpetersäure werden in kleinen Anteilen unter starker Kühlung 3 g Dibrom-p-kresol zugegeben. Nach einiger Zeit wird dieses Reaktionsgemisch auf Eisstücke gegossen. Der Nitrokörper scheidet sich sofort in fester Form aus. Die Substanz wird aus verdünntem Alkohol umkrystallisiert. Man bekommt lichtgelbe Kristalle, die bei 152° schmelzen.

Die Analysen ergaben:

I. 0·1981 g Substanz lieferten bei 20° C und 760 mm 13·9 cm³ N über 1 330/0 KOH. II. 5·976 mg

21° C und 730 mm 0·442 cm³ N über 500/0 KOH. III. 0·1914 g

der Cariusbest. 0·2015 g Ag Br.

Gef. I.: $7.560/_0$ N; II.: $7.880/_0$ N; III.: $44.80/_0$ Br. Ber. für $C_7H_4Br_2N_2O_5$: $7.860/_0$ N, $44.940/_0$ Br.

Dibromdinitro-o-kresol (1-Methyl-2-Oxy-4, 5-Dibrom-3, 6-Dinitrobenzol) (VIII).

Die Darstellung wird in völlig analoger Weise vorgenommen wie die des eben beschriebenen Dibromdinitro-p-kresols. Die Gewichtsmengen sind jedoch verschieden, nämlich auf 3 g Dibromo-kresol 20 cm³ rauchender Salpetersäure. Die Substanz ist in verdünntem, siedendem Alkohol gut löslich und scheidet sich beim Erkalten der heißen, alkoholischen Lösung in gelben Kryställchen aus, die vakuumtrocken bei 135° schmelzen.

Die Analysen ergaben:

I. 6.84 mg Substanz lieferten bei 22° C und 732 mm 0.461 cm³ N über 50% Lauge. II. 6.915 mg » » 23° C und 732 mm 0.459 cm³ N über 50% Lauge.

Get. I.: 7·510/₀ N, II.: 7·370/₀ N.

Ber. für C₇H₄O₅N₂Br₂: 7·860/₀ N.

Darstellung des Tetrabrom-m-kresols (IX) aus m-Kresol.

Die Darstellung des Tetrabrom-m-kresols aus m-Kresol wird in der gleichen Weise wie die Darstellung des Pentabromphenols² aus Phenol vorgenommen.

Das Rohprodukt wird durch Umkrystallisieren aus Eisessig gereinigt und im Xylolbad getrocknet. Schmelzpunkt 196°3. Ausbeute 50 g reiner, bereits umkrystallisierter Substanz aus 20 g m-Kresol.

Einw

Alumauf ed des (in de

A. F

phendas aus l

Subs gerei

II. 0·1

führt

I. 0.1

III. 0. IV. 0. V. 0.

IV.: 4

56 b

aus richt mög Bild mit farbe

bei der

¹ Die Mikro N-Bestimmungen danken wir Herrn F. Vieböck.

² M. Kohn und A. Fink, Monatshefte für Chemie, 1923, p. 187 u. f.

^{3.} In Übereinstimmung mit den Angaben der Literatur.

Einwirkung von Benzol in Gegenwart von Aluminiumchlorid auf das Tetrabrom-m-kresol.

40 g Tetrabrom-m-kresol werden mit 100 g Benzol und 40 g Aluminiumchlorid in einem mit Rückflußkühler versehenen Kolben auf einem lebhaft siedenden Wasserbad unter häufigem Umschütteln des Gemisches 3 Stunden erhitzt. Die weitere Aufarbeitung erfolgt in der gleichen Weise, wie es in der Arbeit von M. Kohn und A. Fink¹ beschrieben ist.

Unter einem Druck von 749 mm geht die Hauptmenge des phenolischen Anteils nach einem geringen Vorlauf gegen 255° über; das Destillat erstarrt sofort zu einem kompakten Kuchen, der aus Krystalldrüsen radial angeordneter Nadeln besteht.

Die Ausbeute beträgt 14 g aus 40 g Tetrabrom-m-kresol. Die Substanz wird für die Analyse durch Umkrystallisieren aus Wasser gereinigt. Schmelzpunkt 54°.

Die Analysen ergaben:

I. $0.1648\,g$ Substanz lieferten $0.2559\,g$ CO $_2$ und $0.0537\,g$ H $_2$ O. II. $0.1914\,g$ > bei der Cariusbest. $0.2114\,g$ AgBr.

Die Analysen einer Substanz von einer anderen Bereitung führten zu den folgenden Zahlen:

III. 0.1200 g Substanz lieferten 0.1908 g CO₂ und 0.0364 g H₂O. IV. 0.1515 g > 0.2415 g CO₂ und 0.0490 g H₂O. V. 0.1850 g > bei der Cariusbest. 0.1951 g Ag Br.

Gef. I.: $42.35^{0}/_{0}$ C, $3.73^{0}/_{0}$ H; II.: $47^{0}/_{0}$ Br.; III.: $43.36^{0}/_{0}$ C, $3.39^{0}/_{0}$ H; IV.: $43.47^{0}/_{0}$ C, $3.61^{0}/_{0}$ H, $44.86^{0}/_{0}$ Br.

Ber. für C_7H_7OBr : $44.91^0/_0$ C, $3.74^0/_0$ H, $42.78^0/_0$ Br. > $C_7H_6OBr_2$: $31.57^0/_0$ C, $2.25^0/_0$ H, $60.15^0/_0$ Br.

Nevile und Winther a. a. O. geben den Schmelzpunkt 56 bis 57° an.

Herr Dr. C. Hlawatsch teilt über die Krystallform mit:

Sowohl das mir übergebene Produkt, als auch das aus Petroläther umkrystallisierte zeigten zweierlei Formen. Die eine bestand aus sehr dünnen, oft gebogenen Haaren, welche γ in der Längsrichtung zeigten. Wo eine Untersuchung im konvergenten Lichte möglich war, ließ sich ein an eine stumpfe Bissectrix erinnerndes Bild erkennen. Die zweite Form bestand aus abgeplatteten Nadeln mit anscheinend gerader Auslöschung und niederer Interferenzfarben, γ^1 in der Längsrichtung. Im konvergenten Lichte zeigte es bei Dunkelstellung einen in der Längsrichtung verlaufenden Balken, der bei einer geringen Drehung vollkommen verschwand. Es dürften

nen Die

mer-

itro-

An-

Vach

ssen.

tanz

icht-

KOH.

COH.

eim

ge. ge.

rd

8

¹ Monatshefte für Chemie 1923, 185 u.f., 188.

also Zwillinge nach der breiten Fläche der Nadeln vorliegen. Aus heißem Wasser umkrystallisiert, bildeten sich zunächst nur die dünnen Haare, nach tagelangem Stehen im kalten Zimmer (Temperatur etwa 4° C.) schieden sich auf Kosten der ersteren die breiten, verzwillingten Leisten aus, ohne daß die dünnen Haare ganz verschwanden, sie setzten sich nur zu einer Art Filz zusammen, welcher nach Eintritt der wärmeren Jahreszeit blieb, während die breiten Leisten wieder vergangen waren. Aus dem Schmelzfluß erhält man Nadeln mit sehr hoher Doppelbrechung und einer Auslöschungsschiefe von γ gegen die Längsrichtung von zirka 32°. α scheint spitze Bissectrix zu sein, die Axenebene liegt außerhalb des Gesichtsfeldes. Solange die Krystalle im Wachstum sind, zeigen sie schiefe Endung.

Von den breiteren Leisten, die aus Wasser auskrystallisiert worden waren, zeigte eines keine Zwillingsbildung, die spitze Bissectrix lag außerhalb des Gesichtsfeldes, die Flächennormale liegt zwischen der spitzen Bissectrix und der Axenebene. Die Enden zeigen eine auf die Längszone ungefähr senkrecht stehende Kante, Flächen konnten wegen der großen Dünne der Krystallenden nicht beobachtet werden. In der Längszone liegt noch ein Flächenpaar, welches mit der breiten Fläche im Mittel aus 18 Beobachtungen 43° 37 bildet und die Zwillingsbildung nach der letzteren bestätigten. Die Krystalle scheinen mithin dem triklinen System anzugehören.

Pikrylderivat des m-Brom-m-kresols.

Man löst 2 g m-Brom-m-kresol, 2·5 g Pikrylchlorid, 1 g Pyridin in 10 cm³ Alkohol auf und erwärmt das Gemisch. Das nach einiger Zeit erstarrte Pikrylderivat wird abgesaugt, getrocknet und mehrmals aus Alkohol umkrystallisiert. Die vakuumtrockene Substanz bildet gelbe blättrige und tafelige Krystalle. Sie schmilzt bei 130°.

Die Analysen ergaben:

I. 9.26 mg Substanz lieferten bei 22° C und 725 mm 0.873 cm³ N (50% KOH).
 II. 5.900 mg > 24° C und 727 mm 0.557 cm³ N (50% KOH).

Gef. I.: 10·380/0 N, II.: 10·370/0 N. Ber. für C₁₃ H₈ O₇ N₃ Br: 10·540/0 N.

Einwirkung von Formaldehyd und Natron auf das m-Brom-m-kresol (1-Methyl-3-Oxy-5-Brombenzol).

Zu 5 g Monobrom-m-kresol, gelöst in 9 g 10 prozentiger Natronlauge, gibt man 3 g 40 prozentige Formaldehydlösung und läßt das Gemisch zehn Tage bei Zimmertemperatur in einer Stöpselflasche stehen. Beim Einleiten von Kohlensäure fällt der Alkohol in fester Form Vakus Alkoh

I. 0.13

Einw

wie ebenf kryst

Krys

I. 0·1

Einw

bind Alko

0.193

¹ An Stelle des Pyridins kann auch alkoholische Natronlauge genommen werden.

Aus die emdie

zuieb,

lem ung ung ene

hsiert

tze ale len ite, cht

ar, en

n-

er ls

Form aus. Man saugt ab, wäscht mit Wasser und trocknet im Vakuum. Die Substanz wird aus Benzol unter Zusatz von etwas Alkohol umkrystallisiert.

Der Schmelzpunkt ist 154°.

Die Analysen ergaben:

I. 0.1716 g Substanz lieferten 0.2775 g CO₂ und 0.0661 g H₂O₄
II. 0.1931 g

bei der Carisbest. 0.1694 Ag Br.

Gef. I: $44\cdot10^{0}/_{0}$ C, $4\cdot3^{0}/_{0}$ H; II.: $37\cdot33^{0}/_{0}$ Ag Br. Ber. für C₈ H₉ Br O₂: $44\cdot24^{0}/_{0}$ C, $4\cdot1^{0}/_{0}$ H, $36\cdot86^{0}/_{0}$ Br.

Einwirkung von Formaldehyd und Natron auf das Dibrom-p-kresol (1-Methyl-4-Oxy-2, 6-Dibrombenzol.)

Die Darstellung wird in völlig analoger Weise vorgenommen wie die der eben beschriebenen Verbindung. Der feste Alkohol wird ebenfalls aus Benzol unter Zusatz von etwas Alkohol umkrystallisiert.

Schmelzpunkt 235°. Unter dem Mikroskop sieht man spießige Krystalle.

Die Analysen ergaben:

I. 0.1549 g Substanz lieferten 0.0476 g H₂O und 0.1916 g CO₂. II. 0.1911 g » bei der Cariusbest. 0.2185 g Ag Br.

Gef. I.: $3.44^{0}/_{0}$ H, $33.82^{0}/_{0}$ C; II.: $48.65^{0}/_{0}$ Br. Ber. für $C_{9}H_{10}O_{3}Br_{2}$: $3.06^{0}/_{0}$ H, $33.11^{0}/_{0}$ C, $49.07^{0}/_{0}$ Br.

Einwirkung von Formaldehyd und Natron auf das m-m-Dibromphenol.

Die Darstellung ist analog der der eben beschriebenen Verbindung. Die Substanz wurde aus Benzol unter Zusatz von etwas Alkohol umkrystallisiert. Körnige Kryställchen vom Schmelzpunkt 180°.

Die Analyse ergab:

0.1932 g Substanz lieferten bei der Cariusbest. 0.2576 g Ag Br.

Gef. 56.740/0 Br.

Ber. für C₇H₆O₂Br₂: 56·73 Br.

Gedrud

re two parter and all most for the

cap distributed and have been and made the sales and the sales and the sales are apleta nelvastan il ristan il ristan di pale anda listi a cantan il rista di la l

edigment, the property and a filter of the party of the property of the party of th ushiring the different kowen as making as opening an except. Attached

test many your committees and Success and Applications an

tarral digities of the content and a few man benefits of the benefits and a feet a residence by THE HOUSE AS HER WAS COURT OF THE PARTY OF T

in providings that size is an example and of the single one part in letters.

Osobachter Weigen, In der Schnerziger legt noch ein e Containe Kalence mit der bieden Parchaller allegenera Akademerenden

constitues you Formaldenyd and Nation and due wearlingone.

manner in the children with the contract of th

Print Higher Service to the contract of the contract of

Eightfriedigt von Fremaldenye und Vertron 2011 diek die Brote-

the second of Marine I have been a second or with the province of

OR I staudarferona Brown antalles vold operatof state (bifery state) ISQ

PROPERTY AND A SERVICE AND AN ARROWS AND ARR

Alga a State of members of the Late Continue to the Continue of the Continue o

DOE DESTANDED.

(Jesnedmondiffer, SevicO=1-tiggresset)

Samuel and the control of the second of the and there is a second manifest that the species for the second

the sections of the second sections of the gast.

in de

Azob mit N Eutel

und : tinuie Neigu bindu

fähig unter

weil und : und dürfte

Azob Dimi und gabe Wied ledig

fache

phys. und 8

Über den Einfluß von Substitution in den Komponenten binärer Lösungsgleichgewichte XLVI. Mitteilung

Die binären Systeme von Azobenzol mit Phenolen

Von

Robert Kremann, Karl Zechner und Gustav Weber
(Mit 2 Textfiguren)

Aus dem Physikalisch-chemischen Institut der Universität Graz (Vorgelegt in der Sitzung am 3. Juli 1924)

Während, wie auf präparativem Wege festgestellt wurde Azobenzol mit Benzol eine äquimolare Verbindung gibt, 1 gibt es mit Naphthalin auf Grund des Zustandsdiagrammes ein einfaches Eutektikum. 2

Da außerdem Azobenzol mit anderen Kohlenwasserstoffen, und zwar solchen mit einem dem Azobenzol konformen Bau, kontinuierliche Mischkrystallreihen liefert,³ kann von einer allgemeinen Neigung der Kohlenwasserstoffe mit Azobenzol zu singulären Verbindungen zusammenzutreten, keine Rede sein.

Es schien nun von allgemeinem Interesse, die Verbindungsfähigkeit von Azobenzol mit Stoffen anderer Körperklassen zu untersuchen.

Hier schienen uns die Phenole deshalb besonders geeignet, weil diese besonders intensive Restfelder an den OH-Gruppen tragen und zu erwarten war, daß der Polaritätsunterschied zwischen diesen und dem sicher elektropositiveren Azobenzol ein erheblicher sein dürfte.

Es wurden die Zustandsdiagramme der Systeme von Azobenzol mit α- und β-Naphthol, o-, m- und p-Nitrophenol, 1, 2, 4-Dimitrophenol, Pikrinsäure, Brenzkatechin, Resorzin, Hydrochinon und Pyrogallol aufgenommen. Wie aus der tabellarischen Wiedergabe der Versuche in den Tabellen I bis XI und ihrer graphischen Wiedergabe in den Fig. 1 und 2 hervorgeht, bestehen dieselben lediglich aus den Schmelzlinien der Komponenten, die sich in einfache Eutektika schneiden.

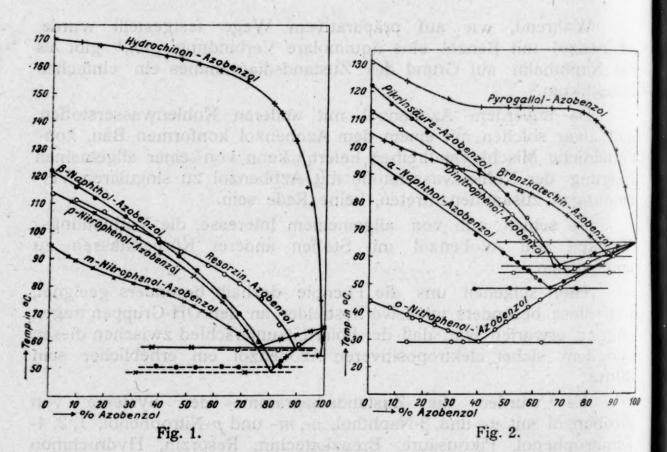
¹ Schmidt, Ber. 5, 1106, 1872.

² Levi, daselbst, 19, 1625, 1886.

³ Garelli und Calzolari, Gaz. chim. stat., 29 II, 263, 1899; Beck, Zeitschr. phys. Ch. 48, 652, 1904; Pascal und Normand, Bull. Soc. chim. (4), 53, 137 und 878, 1913; Buquet Cr., 149, 857, 1909.

Ihre Lage ist die folgende im System:

Azobenzo	ol-p-Nitrophenol	bei	49° 1	and	90% Azo	benzol
edoio » oo	β-Naphthol	».	51	> /:	82	
»	Hydrochinon	»	55	»	1	»
»	Resorzin	» ·	57.2	»	80	»
nal».na	o-Nitrophenol	»	29	39	40 oalima	»)
»	m-Nitrophenol	»	58	»	76	
» . ·	α-Naphthol	».	48	»	66.5	»
»	Brenzkatechin	»	60	»	87.5	»
»	Pyrogallol	»	65	» ~1	.00	*
>	1, 2, 4-Dinitrophenol	>	54	»	72	»
» ·	Pikrinsäure	>	56	». I	67.5	»



Man darf aus diesen Ergebnissen demnach den Schluß ziehen, daß Azobenzol auch gegenüber Phenolen inert ist, d. h. keine Neigung zur Bildung von Verbindungen im festen Zustande zeigt.

Tabelle I. System Azobenzol-α-Naphthol.

a) Menge: α-Naphthol 4.06 g. Zusatz von Azobenzol. 38.9 Gewichtsprozent Azobenzol 0.0 9.1 20.5 29.8 Temperatur der primären Krystallisation 95.5 88.5 81 75 681

1 Sekundäre eutektische Krystallisation bei 48°.

Gewi Temp

Gewi Temp

Gewic Temp

Gewic Temp

Gewie Temp

Gewic Temp

Gewic Temp

Gewic Temp.

Gewic

Temp

b)	Menge:	Azobenzol	4.48 8.	Zusatz	von	α-Naphtol.
----	--------	-----------	---------	--------	-----	------------

Gewichtsprozent Azobenzol	89.6	83·0 57	76·6 53	70·9 50·51
Gewichtsprozent Azobenzol Temperatur der primären Krystallisation	61·3 52	56·5 56	51·5 591	

¹ Sekundäre eutektische Krystallisation bei 48.5°.

c) Menge: Azobenzol 3.10 g. Zusatz von a-Naphlol.

Tabelle II.

Azobenzol-3-Naphthol.

(Mitbearbeitet von Weber.)

a) Menge: Azobenzol 2·11 g. Zusatz von β-Naphthol.

Gewichtsprozent Azobenzol	100.0 89.8	83.8	76.1	69.0	63.6
Temp. der primären Krystallisation	65.0 57.5	52.8	60.5	70	76

b) Menge: β-Naphthol 1.75 g. Zusatz von Azebenzol.

Gewichtsprozent Azobenzol.... 0.0 8.8 15.8 27.6 39.4 47.2 53.7

Temp. d. primären Krystallisation 121 116 112.5 105 97 91 86

Tabelle III.

System Brenzkatechin-Azoberzol.

a) Menge: Azobenzol 3.00 g. Zu	satz vo	n Brenz	katechi	n.	
Gewichtsprozent Azobenzol	100.0	93 · 19	87 · 25	80.3	75.82
Temperatur der primären Krystallisation	65	62.5	601	67.5	71
Gewichtsprozent Azobenzol	71.6	65 · 44	58.9	53.74	49.2
Temperatur der primären Krystallisation	752	79	832	84.5	862

² Gleichzeitig eutektische Krystallisation.

en,

gt.

b) Menge: Brenzkatechin 3.00 g. Zusatz von Azobenzol.

Gewichtsprozent Azobenzol	0.0	5.05	10.98	15.96	22.5
Temp. der primären Krystallisation	104.5	102	99	97	95
Gewichtsprozent Azobenzol	28.05	34.5	40.00	45.45	50.00
Temperatur der primären Krystallisation	93	91.5	90.0	88	86.0

¹ Sekundäre eutektische Krystallisation bei 48°.

¹ Sekundäre eutektische Krystallisation bei 51°.

¹ Sekundäre eutektische Krystallisation bei 60°.

Tabelle IV.

Azobenzol-Resorzin.

(Mitbearbeitet von Weber.)

(a)	Menge:	Azobenzol	1	·64 g.	Zusatz	von	Resorzin.
-----	--------	-----------	---	--------	--------	-----	-----------

Gewichtsprozent Azobenzol .. 100 91·2 83·7 77·0 69·2 63·6 57·2 47·6
Temperatur der primären

Krystallisation 65 59 66.5 76.0 81.51 84.5 88.5 92.5

b) Menge: Resorzin 2.43 g. Zusatz von Azobenzol.

1 Sekundäre eutektische Krystallisation bei 57.2°.

Tabelle V.

Azobenzol-Hydrochinon.

(Mitbearbeitet von Weber.)

a) Menge: Azobenzol 1.78 g. Zusatz von Hydrochinon.

Gewichtsprozent Azobenzol... 100 93.3 83.3 70.7 61.0 53.2 46.9 40.8

Temperatur der primären

Krystallisation 65 116 143 155 159 161 163 164

b) Menge: Azobenzol 2.15 g. Zusatz von Hydrochinon.

Gewichtsprozent Azobenzol 98·1 94·8 88·9 80·3 70·1 Temp. der primären Krystallisation ... 71¹ 110 133·5 147 155

c) Menge: Hydrochinon 2.30 g. Zusatz von Azobenzol.

Gewichtsprozent Azobenzol 0.0 9.8 11.9 21.8 Temperatur der primären Krystallisation 170 169 167.5 167

1 Sekundäre eutektische Krystallisation bei 55°.

Tabelle VI.

System Azobenzol—Pyrogallol.

a) Menge: Pyrogallol 3.44 g. Zusatz von Azobenzol.

1 Sekundäre eutektische Krystallisation bei 65°.

b) Menge: Azobenzol 2.5 g. Zusatz von Pyrogallol.

Gewichtsprozent Azobenzol 65.11 59.8 54.6 49.5 Temperatur der primären Krystallisation .. 1141 1141 1141

¹ Sekundäre eutektische Krystallisation bei 65°.

Gewicht Tempera

Gewicht Tempera

Gewicht Tempera

> Gewicht Tempera

Gewicht Tempera

Gewicht Temp. o

Gewicht Temper Kryst

Gewich Temper

Gewich Temp.

c) Menge: Azobenzol 4.90 g	. Zusatz	von Py	rogallol.		
Gewichtsprozent Azobenzol	100.0	90.3	85.7	82.4	78.7
Temperatur der primären Krystallisation	65	99	105	109.5	112

Tabelle VII.

Azobenzol-p-Nitrophenol.

(Mitbearbeitet von Weber.)

a) Menge: Azobenzol 1.81 g.	Zusa	atz von	p-Nitr	opheno	1.	
Gewichtsprozent Azobenzol	100	85.8	76.4	70.8	63.1	51.6
Temperatur der primären Krystallisation	65	51.8	55	641	75	84

b) Menge: p-Nitrophenol 2.77	8. 2	Zusatz	von Az	obenzol		
Gewichtsprozent Azobenzol	0.0	7.3	16.0	26.1	32.2	39.0
Temperatur der primären Krystallisation 1	13.5	111	107	101	981	93
1 Sekundäre eutektische Krystallisati	on b	ei 49°.				

Tabelle VIII.

System Azobenzol-m-Nitrophenol.

a) Menge: m-Nitrophenol 5.32 g. Zusatz von Azobenzol.

Gewichtsprozent Azobenzol	0.0	6.5	15.8	23.2	30.0
Temperatur der primären Krystallisation	95	91	87	83.5	81
Gewichtsprozent Azbenzol	37.9	43.4	48.7	52.2	55.7
Temperatur der primären Krystallisation	791	771	751	731	72

1 Sekundäre eutektische Krystallisation bei 58°.

b) Menge: Azobenzol 4.00 g. Zusatz von m-Nitrophenol.

Gewichtsprozent Azobenzol 100.0 90.3 84.1 76.2 65.4 58.1 52.2

Temp. der primären Krystallisation . 65 63 61 581 65.5 71.2 73.5

¹ Eutektische Krystallisation.

47.6

92.5

3·8

0.8

1

1

.8

² Sekundäre eutektische Krystallisation bei 58°.

c) Menge: Nitrophenol 2.00 g. Zusatz von Azobenzol.

Gewichtsprozent Azobenzol ... 0.0 9.1 16.07 23.08 31.03 35.5 41.17

Temperatur der primären

Krystallisation 95 89.5 86.5 84 81.5 80.0 78

Tabelle IX.

System Azobenzol-o-Nitrophenol.

a) Menge: o-Nitrophenol 3.00 g. Zusatz von Azobenzol.

Gewichtsprozent Azobenzol...... 0.0 14.4 19.1 24.2 29.5 33.4

Temp. der primären Krystallisation... 44.0 39.0 37.01 34.5 32.51 31.01

1 Sekundäre eutektische Krystallisation bei 29°.

R. Riemann, R. Zechner und G. Webel.
b) Menge: o-Nitrophenol 4.80 g. Zusatz von Azobenzol.
Gewichtsprozent Azobenzol. 0.0 7.86 16.3 23.8 30.1 40.6 46.5 50.2 Temperatur der primären
Krystallisation 44 41 37.5 351 33 292 33 36
 Sekundäre eutektische Krystallisation bei 29°. Gleichzeitig eutektische Krystallisation.
c) Menge: Azobenzol 3.80 g. Zusatz von o-Nitrophenol.
Gewichtsprozent Azobenzol 100·0 84·7 75·0 69·4 62·8 58·7 53·7 50·2 45·2 Temperatur der primären Krystallisation 65 58 52 48·5 44¹ 42¹ 38 36¹ 33¹
¹ Sekundäre eutektische Krystallisation bei 29°.
Tabelle X.
System Azobenzol-1, 2, 4-Dinitrophenol.
a) Menge: Dinitrophenol 3.000 g. Zusatz von Azobenzol.
Gewichtsprozent Azobenzol 0.0 11.2 21.4 31.8 40.4 52.6 Temp. der primären Krystallisation 112 106.5 99.5 92 85 75
b) Menge: Azobenzol 1.83 g. Zusatz von Dinitrophenol.
Gewichtsprozent Azobenzol 100 94.8 90.2 87.1 80.3 75.3 Temp. der primären Krystallisation 65 64 62 61 57.51 55.51
Gewichtsprozent Azobenzol
1 Sekundäre eutektische Krystallisation bei 54°.
Tabelle XI.
System Azobenzol-Pikrinsäure.
a) Menge: Azobenzol 3.48 g. Zusatz von Pikrinsäure.
Gewichtsprozent Azobenzol
b) Menge: Pikrinsäure 3.67 g. Zusatz von Azobenzol.
Gewichtsprozent Azobenzol 0.0 7.5 15.04 21.2 32.7 39.7 Femperatur der primären Krystallisation
1 Sekundäre eutektische Krystallisation bei 56°.
Charles to Angle and Angle
versione are Association subgratives, resamilant to puddivide up a comment

R. Stell Brook States of Seas - John St. 18. St. The World States Section of the Control of the Gedru

D

No.

lyse Verw mehr Stelle

0580

um i erarb Zwec

Mate

1.

1300

aus sentge indus unter nann ausge Sch

Schar Kaoli keit u

Wass

legba lange kling 1 · 88

Ch

aufsteigende Erweiterungen übergweiche zur Füllung und Aufnahme

Die elektrolytische Leitung in geschmolzenen emogenes Herstellungen Metallegierungen Herstellung eine Gertegenere

Form (Figure) bestehl ausgnulianim elly aren Seitenwänder 4,00

Versuche der Elektrolyse einiger Kupferlegierungen (Cu-Zn, Cu-Sn, Cu-Ag, Cu-Al) zwell Schrauben Gunit Flügelmuttern zusammengehalten: Worlden

wird ein Papierstreifen in die Einstampfeno dero Schamott Robert Kremann und Rudolf Gruber-Rehenburg

Aus dem physikalisch-chemischen Institut der Universität Graz Nadel pengesetzt ganz v mu Hone C - May que Blest

kenron der borm, Haraus (nerugitxet 01 til der beiden Kerne, Losen

Probable and Vorgelegt in der Sitzung am 26. Juni 1924

war die Kapillare F fertig bis auf zwei kleine Löcher L in den End

Vorliegende Arbeit leitet einen Versuchskomplex der Elektrolyse höher schmelzender Legierungen ein, für die naturgemäß die Verwendung von Glaskapillaren, auch solcher aus Hartglas, nicht mehr ausreichend war. Es erscheint daher zweckmäßig, an dieser Stelle über die Ausarbeitung der Methodik ausführlicher zu berichten, um in den weiter folgenden Mitteilungen nur kurz auf die schließlich erarbeitete Versuchsanordnung verweisen zu können. Die zu diesem Zweck durchgeführten Arbeiten gliedern sich:

- 1. in die Herstellung geeigneter Kapillaren aus feuerfestem Material, The waren Fur Material
 - 2. in die Konstruktion geeigneter (elektrischer) Öfen,
 - 3. in die Durchbildung der Guß- und Elektrolysiertechnik. Verlauf der Elektrolysenoperationen vorkommender

1. Die Herstellung der Kapillaren aus feuerfestem Material.

Es ergab sich, daß für Temperaturen von zirka 400° bis 1300° sich als Elektrolysiergefäße an Stelle der Glaskapillaren solche aus Schamotte vorzüglich eigneten. Das nötige Material stellte in entgegenkommendster Weise die Rosenthaler Ton- und Schamotteindustrie, Rosenthal bei Köflach, kostenlos zur Verfügung und unterstützte so unsere Arbeiten in hohem Maße. Es sei genannter Firma an dieser Stelle der herzlichste Dank des Institutes ausgesprochen. Dem zur Fabrikation feuerfester Steine verwendeten *Schamottemörtel« — ein Gemenge aus zwei Teilen gepulverter Schamotte und einem Teil plastischem Ton — wurde noch reines Kaolin (dem Volumen nach zirka 1/3 bis 1/4) zur Erhöhung der Dichtigkeit und Feuerfestigkeit zugesetzt. Diese Masse wurde nun mit soviel Wasser angemacht, daß sie sich plastisch anfühlte und in zwei zerlegbaren, weiter unten zu beschreibenden Formen 20 oder 30 cm lange Kapillaren gepreßt (Fig. 1, Teil F), an der Luft getrocknet und klingend hart und dicht gebrannt. Das Lumen der Kapillare (meist 1.88 mm² Querschnitt) geht in den beiden Köpfen K in zwei senkrecht

50.2

36

45.2

331

52.6

75

5.3

5.51

18.4

781

4.4

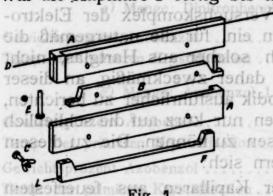
9

9.7

1

aufsteigende Erweiterungen über, welche zur Füllung und Aufnahme der Elektroden dienen. Oben sind die Köpfe eben, um dem später zu besprechenden Gußtrichter einen guten Sitz zu gewähren.

Die zur Herstellung der Kapillaren verwendete (zerlegbare) Form (Fig. 1) besteht aus zwei abnehmbaren Seitenwänden A, A. dem 10 mm breiten Boden B, zwei Kernen E für die Elektrodenerweiterungen und einer Nadel D von bestimmtem Durchmesser (in der Regel 1.52 mm). Die genannten drei Formteile werden durch zwei Schrauben C mit Flügelmuttern zusammengehalten. Vor dem Einstampfen der Schamottemischung wird ein Papierstreifen in die Form gelegt, um ein leichtes Loslösen vom Boden zu erreichen, die beiden Kerne eingesetzt und halb vollgestampft, dann wurde die Nadel eingesetzt, ganz vollgestampft und festgepreßt. Durch Umkehren der Form, Herausnehmen der Nadel, der beiden Kerne, Lösen der Schrauben, Abstreifen der Seitenwände und Abheben des Bodens war die Kapillare F fertig bis auf zwei kleine Löcher L in den End-



flächen, welche gesondert mit vorher nie negnfeingesiebter Schamottemischung die anfänglich versuchte Verwenenab in dung von reinem Kaolin erwies a sich als unzweckmäßig) verstopft wurden. Die Länge der Form war ne daß die Kapillaren is made nach dem Trocken- und Feuer-Fig. 1. selligs Later schwinden 120, beziehungsweise 30 cm lang waren. Für höhere

Temperaturen als 1300° waren unsere Schamottekapillaren zu wenig feuerbeständig, indem sie erweichten und dann nicht mehr die im Verlauf der Elektrolysenoperationen vorkommenden mechanischen Beanspruchungen vertrugen. Es wurde deshalb fallweise versucht, für noch höhere Temperaturen die Schamotte durch Magnesit- oder Maquard-Masse zu ersetzen. 1900° sich als Elektrolysiergefäße am Stell

aus Schamotte vorzüglich eigneten Das nötiges Materials stelltemin entgegenkommendster weise ogte Noeren ater Ton- und Schamotte-

Zwecks Erwärmung der Kapillaren mit der geschmolzenen Legierung auf tunlichst konstante Temperatur während der Elektrolyse war die Konstruktion eines geeigneten Ofens nötig. Der sich schließlich am geeignetsten erweisende Ofen ist ein Widerstandsofen mit indirekter Heizung. Der Heizwiderstand besteht aus gekörnter Kohle, weil ein solcher eine Reihe von Vorzügen besitzt: er erlaubt leicht die Erreichung höchster Temperaturen, denen nur die Feuerbeständigkeit der Ofenwände eine Grenze setzt. Dann garantiert er, daß zu der von ihm umschlossenen Kapillare oxydierende Gase (Luft, Kohlensäure) nur in ganz untergeordnetem

Maße leicht gebau

rinne stärke 58 mi mit tr baren gleich stein-Wider

herges zuerst

und g aus d

macht als Bir elektro werde Lage

und F

Der U einen Zustar die El anheiz für di lich w minde

schen (

Chemieben Nr. 7 und 8.

¹ Guter Gießereikoks wurde grob gemalen und alles, was durch ein Sieb mit 3 mm Maschenweite fiel, verwendet Died neb ni ineg (ilinderelle)

Maße gelangen können und schließlich ist er äußerst wohlfeil und leicht zu handhaben. Die Kapillaren sind direkt in die Kohle eingebaut.

hme

äter

are)

, A,

den-

· (in

ırch

dem

die

die

die Jm-

sen

ndher ing enies opft var ren erise

ere

im

en

ht,

ler

en

0-

ch

5-

e-

t:

n

111

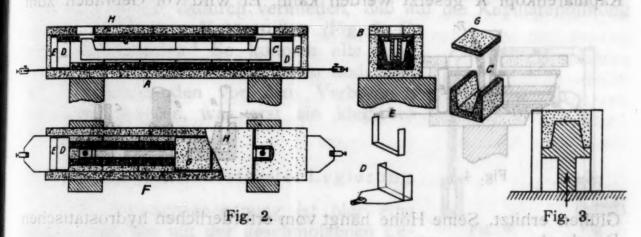
V-

m

it

Der Ofen besteht aus einer 45 cm langen Quarzschamotterinne von quadradischem Querschnitt 57×57 und 22 mm Wandstärke. In dieser Rinne liegen 5 bis 6 Formsteine (Fig. 2, C) von 58 mm Länge und 48 mm Breite, 25 mm Tiefe und 36 mm Höhe, mit trapezförmigem lichtem Querschnitt. Diese stets leicht erneuerbaren Steine schützen das Ofenmauerwerk vor Zerstörung und bilden gleichzeitig eine gute Wärmeisolation, indem die Grenzschicht Formstein—Ofenwand für das Absließen der Wärme einen erheblichen Widerstand bedeutet.

Zum Pressen dieser Steine wurde eine Form, wie sie Figur 3 zeigt, hergestellt. Es wurde hier, gerade so wie bei der Kapillarenerzeugung, zuerst ein Papierstreifen eingelegt, die feuerfeste Masse eingestampft



und gepreßt und schließlich der fertige Stein durch Druck von unten aus der Form befördert und getrocknet.

Da Schamottesteine einem sehr starken Verbrauch unterlagen, machten wir solche aus Sintermagnesit mit etwas plastischem Ton als Bindemittel; solche Steine halten mehrere Monate aus. Die Ofenelektroden (Fig. 2, D) sind aus starkem Eisenblech verfertigt und werden durch U-förmig gebogene federnde Bandeisen (E) in ihrer Lage fixiert.

Die so gebildete Rinne (Fig. 2 A Längsschnitt, B Querschnitt und F Aufriß) nimmt den Kohleheizkörper und die Kapillare auf. Der Umwandler, die Kohlefüllung, hat naturgemäß in kaltem Zustande einen ungleich höheren Widerstand als in glühendem. In kaltem Zustande geht trotz Anlegens einer 300 Volt-Betriebsspannung an die Elektroden ein so schwacher Strom durch den Ofen, daß er nicht anheizte. Anfangs wurde versucht, durch Einbau von Hilfselektroden für die Anheizdauer, durch Zusammendrücken der Kohle (was ähnlich wie im Mikrophon den Widerstand verringert) u. a. mehr oder minder unpraktische Verfahren dieser Unannehmlichkeit zu begegnen.

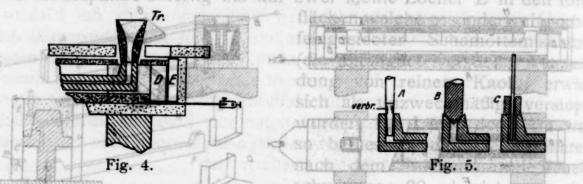
¹ Die Rinne wurde durch Abschneiden der einen Wand von einem prismatischen Quarzschamotterohr, wie solche im Handel erhältlich sind, hergestellt.

Schließlich fand sich aber eine sehr einfache Lösung: In die Kohle einen dünnen Eisendraht (Blumendraht) einzulegen, welcher beide Elektroden verband, so daß er beim allmählichen Einschalten des Stromes zuerst ins Glühen geriet, die Kohle erhitzte, bis sie eine genügende Leitfähigkeit erlangt hatte, und schließlich abbrannte.

Schließlich gehören zum Ofen noch eine Reihe von kleinen Decksteinen G von nicht ganz der Länge und Breite eines Formsteines und etwa 8 mm Dicke und schließlich drei längere Decksteine H (aus der abgeschnittenen Wand hergestellt), welche den Abschluß nach oben besorgen.

heiden Kerue 3. Die Guß- und Elektrolysiertechnik ad brastabill

Zur Füllung der Kapillaren mit geschmolzenem Metall dient ein Gußtrichter Tr aus Schamotte (Fig. 4), welcher dicht aut den Kapillarenkopf K gesetzt werden kann. Er wird vor Gebrauch zum



Glühen erhitzt. Seine Höhe hängt vom erforderlichen hydrostatischen Druck ab.

Eine der schwierigsten Aufgaben war es, Elektroden zu finden, die nicht nur den hohen Temperaturen, sondern insbesondere dem Angriff der flüssigen Legierung widerstehen konnten. Es wurde eine Reihe von Materialien und Formen durchprobiert, bis es gelang, einwandfreie und sich durch Einfachheit auszeichnende Elektroden zu finden.

Die untersuchten Elektroden kann man einteilen in:

- den hohen Temperatur),
- Der Umwandler aus der erstarrten Legierung selbst. relbnawm I seine der erstarrten Legierung selbst. relbnawm I seine der erstarrten Legierung selbst.

1. Elektroden aus fremden Stoffen.

a) Aus Kohle, Graphit. Solche Elektroden erwiesen sich als unbrauchbar, weil sie an der Stelle, wo die glühende Elektrode aus

wie in Mkrophon den Widerstand

der l begi Verj gang letzt Elek welc

Fig.

keine lich ihm weis die l auf einfa klein aufge diere die gesch

solch gieru Stron in un zur

2. E1

zufül Fig.

geeig

richti, Wärr halter kann, als di Kühls poner zu ve

den D

für K

¹ Die Anheizstromstärke soll für einen 0.4 mm-Eisendraht etwa 7 Ampère betragen und dauert dann das Anheizen 10 Minuten bis 1/4 Stunde. Der Draht darf aber keinesfalls so stark erhitzt werden, daß er plötzlich wie ein Sicherungsdraht abbrennt!

der Kapillare tritt, rasch verbrennen, welcher Vorgang noch dadurch begünstigt wird, daß sich gerade diese Stellen infolge der notwendigen Verjüngung des schlechtleitenden Elektrodenmaterials beim Durchgange starker Ströme hoch erhitzen; Fig. 5, A. Es wurde versucht, letzterem Übelstand dadurch abzuhelfen, daß die stark gehaltenen Elektroden unten zu einem stumpfen Kegel geschliffen wurden, welche in eine entsprechende Ausnehmung im Kapillarenkopf paßten; Fig. 5, B. Die Wirkung war aber trotzdem unbefriedigend.

b) Metallelektroden. Läßt sich ein Metall finden, welches in keiner der Legierungskomponenten bei der Versuchstemperatur merklich löslich ist und sich in Drahtform bringen läßt, so können aus ihm vortreffliche Elektroden verfertigt werden. So wurden beispielsweise beim System Ag-Pb Eisendrahtelektroden benutzt. Da aber die Luft zur Oberfläche des Kopfes freien Zutritt behält, wirkte sie auf die Legierung stark oxydierend ein. Dieser Fehler wurde in einfacher Weise dadurch vermieden, daß auf die Kapillarenöffnung

kleine durchbohrte Kohlenrollen (Fig. 5, C) aufgesetzt wurden.¹ So konnten alle oxydierenden Gase sicher abgehalten und auch die Eisenelektroden vor dem Verbrennen geschützt werden, was erst ein klagloses Arbeiten ermöglichte. in Kauf But Arbeiten in Kauf But Arbeiten ermöglichte.

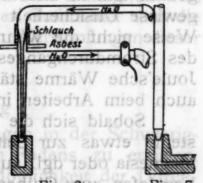
nält, werden d 2. Elektroden aus erstarrter Legierung. Die Versuchsanordnung ist hier eine

solche, daß der mit der geschmolzenen Le- Fig. 6. Fig. 7. gierung in Berührung befindliche Teil der anmornovellah enie

Stromzuführung gekühlt und so bewirkt wird, daß die Legierung in unmittelbarer Nähe der Berührungsfläche erstarrt und so selbst zur Elektrode wird.

Anfang verwendeten wir Wasserkühlung für die Stromzuführungen aus dünnem Kupferrohr. Die Konstruktion geht aus Fig. 6 hervor.

Es zeigte sich aber, daß Stromzuführungen aus luftgekühlten geeigneten Metallstäben den gleichen Zweck erfüllten (Fig. 7); durch richtige Dimensionierung ist es leicht zu erreichen, daß gerade soviel Wärme abgeleitet wird, daß etwa 2/3 der im Kopf der Kapillare enthaltenen Legierung einfriert und diese selbst als Elektrode wirken kann. Diese sich durch Einfachheit auszeichnende Form erwies sich als die beste und ist allgemein anwendbar. Es ist zweckmäßig, diese Kühlstäbe — wo angängig — aus der höherschmelzenden Komponente der Legierung herzustellen, um Verunreinigung der Legierung zu vermeiden. So wurden beispielsweise für Eisenlegierungen Eisen-, für Kupferlegierungen Kupferstäbe verwendet.



n-

ohle

Elek-

mes

ende

inen

orm-

eckden

ient

den

zum

nen

en,

em

ne

ng,

en

ls 15

ırf ht

re

⁻proof das hier beschriebenen Verfahren ist ben emiger Obt ¹ Dieselben wurden durch Absägen entsprechender Stücke von einer passenden Dochtkohle hergestellt.

Der Einbau der Kapillaren wurde so vorgenommen, daß in die Ofenrinne zuerst etwas staubseingesiebte Kohle eingestreut und darauf die Kapillare gestellt wurde, damit dieselbe überall fest aufliegt Dann wurde der Heizdraht von einer Ofenelektrode zur anderen gespannt und die Rinne mit der Widerstandskohle vollgefüllt, welche leicht festgestampft wurde, um Hohlräume zu vermeiden, schließlich die Decksteine daraufgelegt und mit dem Anheizen begonnen. Nachdem der Ofen einige Zeit im Betrieb stand, wurde die Einregulierung auf die richtige Temperatur durch Veränderung des Vorschalt. Regulierwiderstandes allmählich durchgeführt. Bei Einhaltung einer so erprobten Heizstromstärke hält sich auch die Ofentemperatur sehr konstant. Die Temperaturmessung wurde so vorgenommen, daß in die Offnung des Kapillarenkopfes für nicht allzuhohe Temperaturen das Thermoelement eines Le Chatelier'schen Pyrometers eingeführt, für hohe ein optisches Pyrometer gerichtet wurde. Zwecks Tem. peraturbeobachtung während des ganzen Versuches wurde ein abgebrochener Kapillarenkopf in der Verlängerung der Kapillare eingebaut und in diesem laufend die Temperaturmessung geübt. Eine gewisse Unsicherheit blieb nur dadurch bestehen, daß auf diese Weise nicht die wahre Temperatur des Legierungsfadens während des Stromdurchganges gemessen werden kann, welcher sich durch Joule'sche Wärme stärker erhitzt. Diese Ungenauigkeit mußte aber auch beim Arbeiten in Glaskapillaren in Kauf genommen werden.

Sobald sich die Temperatur gleichmäßig hält, werden die Decksteine etwas zur Seite geschoben, auf den Kapillarenkopf etwas Magnesia oder dgl. aufgestreut und der inzwischen in einem Heräustiegelofen zum Glühen erhitzte Gußtrichter (Fig. 4) aufgesetzt, durch eine Haltevorrichtung fixiert und die in einem Elektroschmelzofen geschmolzene Legierung eingegossen. Die Legierung muß um so stärker überhitzt sein, je dickflüssiger sie ist. Durch den Druck der im Gußtrichter befindlichen Legierung wird dieselbe durch die Kapillare gepreßt. Nach dem Einfließen werden der Trichter und die etwa auf der andern Seite ausgetretene Legierung entfernt, die Elektroden eingesetzt und der durch einen Vorschaltwiderstand regulierbare Elektrolysierstrom gewünschter Stärke eingeschaltet.

Die Beendigung des Versuches erfolgt durch Erkaltenlassen des Rohres unter Stromdurchfluß. Besser und schneller als das Verfahren, das Rohr im Ofen vollkommen erkalten zu lassen, ist es, den Strom zu unterbrechen, solange die Kapillare noch ziemlich heiß ist, sie aber sofort aus dem Ofen zu heben und durch einen kräftigen Luftstrom ganz abzukühlen.

Will man untersuchen, ob irgendeine Einwirkung des Kapillarenmaterials auf die Legierung stattgefunden hat (»Tiegelwandreaktion«), oder jeweils die Ursprungszusammensetzung bestimmen, so braucht man nur neben dem »Ernstrohr« ein genau gleich behandeltes »blindes Rohr« mitlaufen zu lassen.

Das hier beschriebene Verfahren ist bei einiger Übung und insbesondere sorgfältigem Arbeiten sicher, Schwierigkeiten können

nur a Güsse den auftre

so ist begre stante nicht

im So Versu Legie zu ve Kapil Teile

zu el keit, was führu Blase fast g mit g gelös zerre der I

Es g Stron ergeb graph

ander

der E

nach das I keit nur aus Besonderheiten der Natur der Legierung erwachsen (blasige Güsse etc.), welche Fehler auch beim Arbeiten mit niedrigschmelzenden Legierungen in Glasröhren in ganz demselben Ausmaße auftreten.

Was das Anwendungsbereich vorliegender Apparatur anlangt, so ist dasselbe nach oben nur durch die Feuerfestigkeit des Materials begrenzt. Bei Temperaturen unter Rotglut ist das Einhalten konstanter Temperaturen mit der beschriebenen Versuchsunordnung nicht mehr gut möglich.

Versuche über die Elektrolyse einiger schmelzflüssiger Kupferlegierungen.

a) Die Versuche,

Zink-Kupferlegierungen (Messing)

im Schmelzflusse zu elektrolysieren, mußte nach einer Anzahl von Versuchen aufgegeben werden, weil bei den von uns verwendeten Legierungen der Abbrand sehr stark und es fast unmöglich war, zu verhüten, daß beim Gießen Zinkoxyd in den Gußtrichter und die Kapillare mitgerissen wurde, was fast stets zu Verstopfungen dieser Teile Anlaß gab.

b) Desgleichen war der Versuch, eine Silber-Kupferlegierung

zu elektrolysieren, erfolglos. Die Ursachen lagen in der Schwierigkeit, blasenfreie dichte Güsse des kapillaren Fadens zu erzielen, was die unerläßliche Voraussetzung für die Möglichkeit der Durchführung der Elektrolyse ist. Die Güsse waren stets luckig und die Blasen hatten oft eine solche Größe, daß sie den Rohrquerschnitt fast ganz ausfüllten. Es gelangen darum nicht einmal Elektrolysen mit geringen Stromdichten. Ob die Ursache darin gelegen ist, daß gelöste Gase im Momente des Gusses entweichen und den Faden zerreißen, oder ob die Ursache in der gewählten Zusammensetzung der Legierung (etwa 50%) Cu und 50% Ag) ist, oder ob noch andere Umstände mitspielten, ließ sich nicht entscheiden.

c) Die Elektrolyse einer Kupfer-Zinnlegierung (Bronze).

Zu den Versuchen diente eine Legierung mit rund 58% Kupfer. Es gelang wohl die Kapillaren zu füllen und eine Elektrolyse mit Stromdichten von 2 bis 7 Amp./mm³ durchzuführen. Die Versuchsergebnisse sind in der Tabelle I wiedergegeben und in der Fig. 8 graphisch dargestellt.

Die Analyse der fortlaufenden Stücke des Kapillarenfadens nach der Elektrolyse erfolgte nach Classen, Handb. d. quantit. chem. Analyse,

7. Aufl., S. 98 u. 305.

Die einzelnen gewogenen Stücke wurden in HNO₃ gelöst, nach dem Verdünnen die gebildete Metazinnsäure abfiltriert und das Kupfer in ammoniakalischer Lösung mit KCN bis zur Farblosigkeit titriert.

en. Decktwas äus-

urch

ofen

in die

daraut

ifliegt. ideren

velche

eßlich

Nach-

erung

einer sehr

aß in

turen

führt,

Tem-

ein

ein-Eine

diese

irend lurch

aber

der die die

leklier-

ssen

das es, lich nen

Kandien, be-

ind

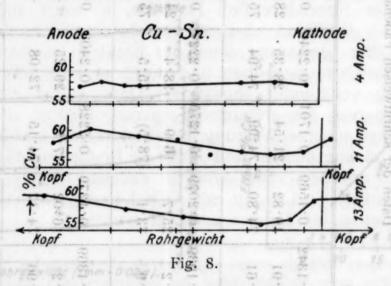
010	vii 5901153		Control Control Control	and the same of th
bissige	orwachsenja	2. 2. 38 691 g	n der Nahm d	aus Besondurheite
15 88 affe	mselbenulA	32 - 28 57 - 70	Glassohrenn	den Legierungemodn
= 0.006598	reb warny Apparatur 12 gkeitidesiM asbEinhalte	0.4816 42.45 58.16	22.92 28.63	71:9 71:9 71:9 71:9
ng: 1 cm ³	eriuchaune richtige rwiderstand	0.4251 37.29 57.88	0.4987 43.24 57.21	25.0 .555ch
KCN-Lösung:	gissüfixlem L. Die Ten jung des K. emossemen	nos regentes rungen uppes series de Ca	0.4522 39.05 56.99	0.3954 33.85 56.49
aktor der	dayoundys	ungen (Mess b rikußtei hach Inbergden wor	0.4767 41.26 57.11	33.4 55.97 55.97
. 950°. F	stiur E röglic Außtri e nter erstoper	rk blund des de oxyd do den d ust stets zudd	37 - 79 sept 2 s	verhüte@ 38 (335eil apillate ng 00 no en
le I. 11. Temp.	Daten der schrittv	stärk enierhile ig der engel	0.4404 39.24 58.79	Desgleiches en Ind w en ind market alt. werden, die
Tabelle	n den Sei dens teu chke Date u	0.3484 30.37 57.54	0.6656 59.69 59.17	0.4100 35.97 57.89
der Kapillare	en Rohrque inmal Elekt n gelegen	0.3172 27.91 58.08	0.6045 0.104 0.157 0.157	alsen hatten of \$3 ein st ganz ausfüll \$n. alt geringen Str8mdi
	Zusammens Susammens st, oder of	2.2845 24.73 57.36	0.3848 34.03 58.35	1.0328 93.3 59.59
om. Rohrquerschnitt	Chelden Lierung (F rumd 58% ne Klektroh	Einwage RCN-Lsg.	Einwage	Einwage Com KCN-Lsg.
Kapillare 20 cm.	Zeitdauer in Stunden	ganz hyzuki	w drehedalha	gebnisse sind inge graphisch dargestellt.
Kablach newyse	Stromdichte Amp./mm²	bitioke des Ka Akandis daqua	ioniaulunden enach Classen	er Elektrolys erfolgt
Rohrlänge der	Stromstärke Amp.	ücke awurden e Metazionsa	gewogenen S	Dies ein eleen
Desig	Versuchs-Nr.	sung and ka	iakalischer Lö	as kupferi in simmon

Richti Mit sin stämit zi steige Zinn als di denen der Ki gewes Strom nicht unters

> Stro Frag ist Rüc Feh dich übe solo geb mel trol zu

Ste erh wo

wo kai Aus den Versuchen geht hervor, daß bei der Stromdichte von 2 Amp./mm³ eine stetige Änderung der Zusammensetzung in der Richtung von der einen Elektrode zur anderen nicht stattfindet. Mit steigender Stromdichte, und zwar bei einer solchen von 5·9 und in stärkerem Maße bei einer solchen von 6·9 Amp./mm³ sieht man mit ziemlicher Deutlichkeit in einer die Fehlergrenze mäßig übersteigenden Weise eine Anreicherung von Kupfer an der Anode, von Zinn an der Kathode. Da die Leitungskapazität von Kupfer größer als die von Zinn ist, wäre nach den bisherigen Erfahrungen, nach denen sich stets das Metall mit der größeren Leitungskapazität nach der Kathode verschiebt, ein Gegensinn der Verschiebung zu erwarten gewesen. Jedenfalls sind die Effekte innerhalb des untersuchten Stromdichteintervalls nur klein und übersteigen die Fehlergrenze nicht erheblich. Dies ist deshalb von Interesse, weil bei allen bislang untersuchten niedriger schmelzenden Legierungen im genannten



Stromdichteintervall erheblich größere Effekte eintreten. Es ist die Frage, ob dies durch die Individualität des Legierungpaares bedingt ist oder sich hier bei der höheren Temperatur der Einfluß der Rückdiffusion stärker bemerkbar macht. Zur Erzielung größerer, die Fehlergrenze weiter übersteigender Effekte müßten höhere Stromdichten herangezogen werden. Leider gelang es uns nicht, solche über 7 Amp./mm² anzuwenden, weil die klaglose Durchführung solcher Elektrolysen an einen gleichmäßig dicken Legierungsfaden gebunden ist. Die von uns ausgeführten Güsse waren aber stets mehr oder weniger von Blasen durchsetzt und gelang nur die Elektrolyse mit relativ geringen Stromdichten, während sämtliche Versuche, zu höheren Stromdichten überzugehen, fehlschlugen. Denn an den Stellen, wo die Fadendicke merklich durch Blasen verringert war, erhitzte sich die Legierung übermäßig und verdampfte jedenfalls, wodurch es zu Lichtbögen im Rohre und damit zu Rohrbrüchen kam. Glatt dagegen gelang

d) die Elektrolyse einer schmelzflüssigen Kupfer-Aluminiumlegierung.

Effektive	der Zusam	genn nervo	eine stetig	
then von 5 op./mm² sielenze mäßig	11.48 0.0030 1.1.48 1.1.48 1.1.48 1.1.48 1.1.48 1.1.48 1.1.48 1.1.48 1.1.48 1.1.48 1.1.48 1.1.48 1.1.48 1.1.48 1.1.48 1.1.48 1.1.48 1.1.48 1.1.48 1.1.48 1.1.48 1.1.48 1.1.48 1.1.48 1.1.48 1.1.48 1.1.48 1.1.48 1.1.48 1.1.48 1.1.48 1.1.48 1.1.48 1.1.48 1.1.48 1.1.48 1.1.48 1.1.48 1.1.48 1.1.48 1.1.48 1.1.48 1.1.48 1.1.48 1.1.48 1.1.48 1.1.48 1.1.48 1.1.48 1.1.48 1.1.48 1.1.48 1.1.48 1.1.48 1.1.48 1.1.48 1.1.48 1.1.48 1.1.48 1.1.48 1.1.48 1.1.48 1.1.48 1.1.48 1.1.48 1.1.48 1.1.48 1.1.48 1.1.48 1.1.48 1.1.48 1.1.48 1.1.48 1.1.48 1.1.48 1.1.48 1.1.48 1.1.48 1.1.48 1.1.48 1.1.48 1.1.48 1.1.48 1.1.48 1.1.48 1.1.48 1.1.48 1.1.48 1.1.48 1.1.48 1.1.48 1.1.48 1.1.48 1.1.48 1.1.48 1.1.48 1.1.48 1.1.48 1.1.48 1.1.48 1.1.48 1.1.48 1.1.48 1.1.48 1.1.48 1.1.48 1.1.48 1.1.48 1.1.48 1.1.48 1.1.48 1.1.48 1.1.48 1.1.48 1.1.48 1.1.48 1.1.48 1.1.48 1.1.48 1.1.48 1.1.48 1.1.48 1.1.48 1.1.48 1.1.48 1.1.48 1.1.48 1.1.48 1.1.48 1.1.48 1.1.48 1.1.48 1.1.48 1.1.48 1.1.48 1.1.48 1.1.48 1.1.48 1.1.48 1.1.48 1.1.48 1.1.48 1.1.48 1.1.48 1.1.48 1.1.48 1.1.48 1.1.48 1.1.48 1.1.48 1.1.48 1.1.48 1.1.48 1.1.48 1.1.48 1.1.48 1.1.48 1.1.48 1.1.48 1.1.48 1.1.48 1.1.48 1.1.48 1.1.48 1.1.48 1.1.48 1.1.48 1.1.48 1.1.48 1.1.48 1.1.48 1.1.48 1.1.48 1.1.48 1.1.48 1.1.48 1.1.48 1.1.48 1.1.48 1.1.48 1.1.48 1.1.48 1.1.48 1.1.48 1.1.48 1.1.48 1.1.48 1.1.48 1.1.48 1.1.48 1.1.48 1.1.48 1.1.48 1.1.48 1.1.48 1.1.48 1.1.48 1.1.48 1.1.48 1.1.48 1.1.48 1.1.48 1.1.48 1.1.48 1.1.48 1.1.48 1.1.48 1.1.48 1.1.48 1.1.48 1.1.48 1.1.48 1.1.48 1.1.48 1.1.48 1.1.48 1.1.48 1.1.48 1.1.48 1.1.48 1.1.48 1.1.48 1.1.48 1.1.48 1.1.48 1.1.48 1.1.48 1.1.48 1.1.48 1.1.48 1.1.48 1.1.48 1.1.48 1.1.48 1.1.48 1.1.48 1.1.48 1.1.48 1.1.48 1.1.48 1.1.48 1.1.48 1.1.48 1.1.48 1.1.48 1.1.48 1.1.48 1.1.48 1.1.48 1.1.48 1.1.48 1.1.48 1.1.48 1.1.48 1.1.48 1.1.48 1.1.48 1.1.48 1.1.48 1.1.48 1.1.48 1.1.48 1.1.48 1.1.48 1.1.48 1.1.48 1.1.48 1.1.48 1.1.48 1.1.48 1.1.48 1.1.48 1.1.48 1.1.48 1.1.48 1.1.48 1.1.48 1.1.48 1.1.48 1.1.48 1.1.48 1.1.48 1.1.48 1.1.48 1.1.48 1.1.48 1.1.48 1.1.48 1.1.48 1.1.48 1.1	E. Und z88 ar ne. 52. Chen it 12. Seiner	10.00638 M. 10.006	0.1067
n der Anod von Kupfer Erfahrunger	19 19 19 19 19 19 19 19 19 19 19 19 19 1	ireicherung a die 3e etun e 3a ist oler ell mir der o	0.00810 10.42 010 10.42 010	14 14 14 15 16 16 16 16 16 16 16 16 16 16 16 16 16
ebung zu er des unters die Fehler	27.83 75.35	in Gegeraini 10.75 - 1.75 - 1.75 - 1.75 - 1.75 - 1.75 - 1.75 - 1.75 - 1.75 - 1.75 - 1.75 - 1.75 - 1.75 - 1.75 - 1.75 - 1.75 - 1.75 - 1.75 - 1.75 - 1.75 - 1.75 - 1.75 - 1.75 - 1.75 - 1.75 - 1.75 - 1.75 - 1.75 - 1.75 - 1.75 - 1.75 - 1.75 - 1.75 - 1.75 - 1.75 - 1.75 - 1.75 - 1.75 - 1.75 - 1.75 - 1.75 - 1.75 - 1.75 - 1.75 - 1.75 - 1.75 - 1.75 - 1.75 - 1.75 - 1.75 - 1.75 - 1.75 - 1.75 - 1.75 - 1.75 - 1.75 - 1.75 - 1.75 - 1.75 - 1.75 - 1.75 - 1.75 - 1.75 - 1.75 - 1.75 - 1.75 - 1.75 - 1.75 - 1.75 - 1.75 - 1.75 - 1.75 - 1.75 - 1.75 - 1.75 - 1.75 - 1.75 - 1.75 - 1.75 - 1.75 - 1.75 - 1.75 - 1.75 - 1.75 - 1.75 - 1.75 - 1.75 - 1.75 - 1.75 - 1.75 - 1.75 - 1.75 - 1.75 - 1.75 - 1.75 - 1.75 - 1.75 - 1.75 - 1.75 - 1.75 - 1.75 - 1.75 - 1.75 - 1.75 - 1.75 - 1.75 - 1.75 - 1.75 - 1.75 - 1.75 - 1.75 - 1.75 - 1.75 - 1.75 - 1.75 - 1.75 - 1.75 - 1.75 - 1.75 - 1.75 - 1.75 - 1.75 - 1.75 - 1.75 - 1.75 - 1.75 - 1.75 - 1.75 - 1.75 - 1.75 - 1.75 - 1.75 - 1.75 - 1.75 - 1.75 - 1.75 - 1.75 - 1.75 - 1.75 - 1.75 - 1.75 - 1.75 - 1.75 - 1.75 - 1.75 - 1.75 - 1.75 - 1.75 - 1.75 - 1.75 - 1.75 - 1.75 - 1.75 - 1.75 - 1.75 - 1.75 - 1.75 - 1.75 - 1.75 - 1.75 - 1.75 - 1.75 - 1.75 - 1.75 - 1.75 - 1.75 - 1.75 - 1.75 - 1.75 - 1.75 - 1.75 - 1.75 - 1.75 - 1.75 - 1.75 - 1.75 - 1.75 - 1.75 - 1.75 - 1.75 - 1.75 - 1.75 - 1.75 - 1.75 - 1.75 - 1.75 - 1.75 - 1.75 - 1.75 - 1.75 - 1.75 - 1.75 - 1.75 - 1.75 - 1.75 - 1.75 - 1.75 - 1.75 - 1.75 - 1.75 - 1.75 - 1.75 - 1.75 - 1.75 - 1.75 - 1.75 - 1.75 - 1.75 - 1.75 - 1.75 - 1.75 - 1.75 - 1.75 - 1.75 - 1.75 - 1.75 - 1.75 - 1.75 - 1.75 - 1.75 - 1.75 - 1.75 - 1.75 - 1.75 - 1.75 - 1.75 - 1.75 - 1.75 - 1.75 - 1.75 - 1.75 - 1.75 - 1.75 - 1.75 - 1.75 - 1.75 - 1.75 - 1.75 - 1.75 - 1.75 - 1.75 - 1.75 - 1.75 - 1.75 - 1.75 - 1.75 - 1.75 - 1.75 - 1.75 - 1.75 - 1.75 - 1.75 - 1.75 - 1.75 - 1.75 - 1.75 - 1.75 - 1.75 - 1.75 - 1.75 - 1.75 - 1.75 - 1.75 - 1.75 - 1.75 - 1.75 - 1.75 - 1.75 - 1.75 - 1.75 - 1.75 - 1.75 - 1.75 - 1.75 - 1.75 - 1.75 - 1.75 - 1.75 - 1.75 - 1.75 - 1.75 - 1.75 - 1.75 - 1.75 - 1.75 - 1.75 - 1.75 - 1.75 - 1.75 - 1.75 - 1.	24.68 75.33	33.70 25.5
en in begreen ger	0.2243 28:60-2243 72:51-6	1eshalb	n edrigo	39.1 c.00
Daten der schrittweisen Fadenanalyse	0.2240 28.35. 74.94	0.2227 28.4 75.5	0.2403 29:25 72:08	0.2449 30.78
er schrittw	0·1701 21·54 74·99	0·1275 16·9 (78·5)	0.2228 27.9 74.15	0.1685
Daten de	0.1569 19.82 74.80	0.2079 25-7 73-1	0.1279 16.02 74.17	0.1123
treten. Es	Fig. 6. 1342	24.2 273.9	0.1369 17.2 72.96	0.0621 7.59
ungpaares der Einfl dung größe en höhere uns nicht,	Einwage e e com3 KCN-Lsg.	cm ³ KCN-Esg.	Einwage cm ³ KCN-Lsg.	Einwage cm3 KCN-Lsg.
ose Durcht n Leggerun Erreppublicati	il die klagi imäßi g dicke ihrter c Güsse	venden, we eineregleich uns gusgef Blasen durch	trolysen an	the Elek ursten is ur oder v
Teitdauer in Stunden	en, willrend	n Stromdicht überzugeh	lativ geringe Stromdichter	vse mit re höheren
Stromdichte	durch Blas lig und ver	cke morklich ung inermä	die Fedendi die Degien	lera wo tzto sich
Stromstärke Amp.	2	ng = 2	agege g gela	1. Platt d
Versuchs-Nr.	-	einer = 0	Elektrolyse a m	am (p

prozei beschi Cu m gering ergebi wiede als A als Oi nach setzuiff. Mit

70

75

nicht Die Fig. Elek

wied erzie in F Steig errei errei bede

Legi Vori 75% eine nA !

2 111/

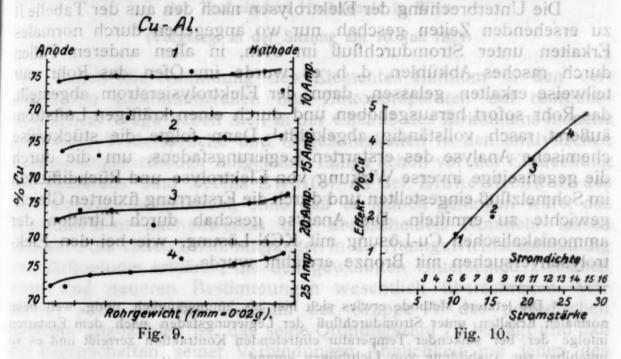
6.92

76.1

1.9/

+ + 1

Die Elektrolyse einer Aluminiumbronze von etwa je 50 Atomprozenten Cu und Al wurde gleichfalls mit Hilfe der oben beschriebenen Apparatur durchgeführt. Es ergab sich deutlich, daß das Cu mit der höheren Leitungskapazität zur Kathode, das Al mit der geringeren Leitungskapazität zur Anode wandert. Die Versuchsergebnisse bei den eingehaltenen Bedingungen sind in der Tabelle II wiedergegeben und in Fig. 9 graphisch dargestellt, in der jeweils als Abszissen in ununterbrochener Reihenfolge die Rohrgewichte, als Ordinaten über der Mitte eines jeden Stückchen die zugehörigen % Cu aufgetragen wurden. Die verwandte Cu-Al-Legierung zeigte nach dem Erkalten nicht jene Unregelmäßigkeiten in der Zusammensetzung der Endstücke, welche z. B. beim System Pb-Ag (siehe ff. Mitteilung) beobachtet wurden und als Saigerungserscheinungen und



nicht etwa durch ein Zukalthalten der Rohrenden zu erklären sind. Die Abhängigkeit der erzielten Efiekte von der Stromdichte ist in Fig. 10 graphisch dargestellt. Man sieht deutlich ein Ansteigen der Elektrolyseneffekte mit steigender Stromdichte.

Die bei gleichen Stromdichten erzielten Effekte sind auch hier wieder im Vergleiche zu den bei niedrig schmelzenden Legierungen erzielten relativ gering. Aus dem Verlauf der Stromdichte-Effektkurve in Fig. 10 folgt jedoch ein weiteres Ansteigen der Eftekte bei Steigerung über die höchste mit unseren derzeitigen Hilfsmitteln erreichbare Stromdichte von 13.5 Amp. Die der jedenfalls schließlich erreichbaren Grenzstromdichte entsprechenden Effekte werden einem bedeutend größeren Effekt entsprechen.

Die zu den Versuchen verwendete, bei etwa 900° schmelzende Legierung wurde durch Zusammenschmelzen der reinen Metalle in Vorrat hergestellt und hatte eine ungefähre Zusammensetzung von 75% Cu und 25% Al. Kurz vor dem Füllen einer Kapillare (um einen Abbrand möglichst hintanzuhalten) wurde im elektrischen

Die

Gedru

Die

Aus d

schie skopi schei Besti des Zirk Begl sich des alten

> die l Zirke Zirke des Hafi

Wiss

Syst

sche kenn des danr als

Ars

Tant

bestingerein Zr ==

Tiegelofen eine genügende Menge Legierung eingeschmolzen und dann möglichst rasch gegossen, wie es in der Einleitung ausführlich beschrieben wurde. Da die Legierung nicht leicht fließt, mußte sie genügend heiß und auch der Gußtrichter sehr heiß und möglichst hoch sein. Sobald die Legierung das Rohr durchsetzt hatte, floß der Inhalt des Gußtrichters durch die Kapillare hindurch auf der anderen Seite aus, welche »Durchspülung« eine gleichmäßige Zusammensetzung derselben in allen Rohrteilen gewährleistete. Als Elektroden dienten die im früheren unter »Elektroden aus erstarrter Legierung« beschriebenen Kupferstäbe. Die Länge der verwendeten Kapillaren betrug bei allen vier Versuchen 20 cm. Die Versuchsdauer schwankte zwischen 2 und 4 Stunden, die eingehaltene Temperatur war genügend hoch über ihrem Schmelzpunkt und betrug etwa 1050° C.

Die Unterbrechung der Elektrolysen nach den aus der Tabelle II zu ersehenden Zeiten geschah nur wo angegeben durch normales Erkalten unter Stromdurchfluß im Ofen, in allen anderen Fällen durch rasches Abkühlen, d. h. es wurde im Ofen das Rohr nur teilweise erkalten gelassen, dann der Elektrolysierstrom abgestellt, das Rohr sofort herausgehoben und durch einen kräftigen Luftstrom äußerst rasch vollständig abgekühlt.¹ Dann folgte die stückweise chemische Analyse des erstarrten Legierungsfadens, um die durch die gegenseitige inverse Wirkung von Elektrolyse und Rückdiffusion im Schmelzfluß eingestellten und durch die Erstarrung fixierten Gleichgewichte zu ermitteln. Die Analyse geschah durch Titration der ammoniakalischen Cu-Lösung mit KCN-Lösung, wie bei den Elektrolysenversuchen mit Bronze erwähnt wurde.

meht gewa durch ein Zukalthatten der Robrenden zu erklären sind.

Die Abhängigkeit der erzielten Effekte von der Stromdichte ist in

einen Abbrand möglichst hintanzuhalten) wurde im elektrischen

eneichbaren Grenzstromdichte entsprechenden Effekte werden einem

Die letztere Methode erwies sich hier als unumgänglich nötig, weil beim normalen Erkalten unter Stromdurchfluß der Legierungsfaden nach dem Erstarren infolge der bei sinkender Temperatur eintretenden Kontraktion zerreißt und es so unfehlbar zur Ausbildung von Lichtbögen kommt.

Fig. 10 graphisch dargestellt. Man sieht deutlich ein Ansteigen der Elektrolysenessekte mit steigender Stromdichtes

Die bei gleichen Stromdichten erzielten Essekte sind auch hier weder im Vergleiche zu den bei niedrig schmelzenden Legierungen erzielten relativ gering. Aus dem Verlauf der Stromdichte Essektkurve in Fig. 10 selgt jedoch ein weiteres Ansteigen der Essekte bei Steigerung über die höchste mit unseren derzeitigen Hillsmitteln erreichbare Stromdichte von 13.5 Amp. Die der jedenfalls schließlich

Die zu den Versuchen verwendete, bei etwa 900° schmelzende Legierung wurde durch Zusammenschmelzen der reinen Metalfe in Vorrat hergestellt, und hatte eine ungefähre Zusammensetzung von 75°/, Cu und 25°, Al Kurz vor dem Füllen einer Kapillare (um

d dann ihrlich

3te sie

glichst oß der

nderen

roden rung«

llaren

ankte

r ge-

0° C.

elle II males

ällen

nur

stellt,

strom

veise

lurch

Ision

eich-

der

Clek-

beim

arren

es so

elle

Die Bestimmung und die Trennung seltenerer Metalle von anderen Metallen

V. Mitteilung

Die Trennung des Zirkons und des Hafniums vom Titan, Cer und Thorium

Cer und Thor mit steigendem Atcnoyewicht sich abschwächt| wah die

Ludwig Moser und Rudolf Leßnig

Aus dem Laboratorium für analytische Chemie und für anorganische Technologie der Technischen Hochschule in Wien

ob doubow (Vorgelegt in der Sitzung am 10. Juli 1924) mas V ab at

Adsorption fremder Stoffe praktisch gleich Null wird, so kann auch Durch die Auffindung des Elementes Hafnium in den verschiedenen Zirkonmineralien und Zirkonpräparaten auf röntgenoskopischem Wege haben sich in der Chemie des Zirkoniums manche scheinbare Widersprüche und Ungenauigkeiten in den analytischen Bestimmungsmethoden aufgeklärt. Lange schon vor der Entdeckung des Hafniums sind bereits Zweisel an der Einheitlichkeit des Zirkoniums aufgetaucht, ohne daß es jedoch gelungen wäre, das Begleitelement nachzuweisen und abzuscheiden. Nunmehr lassen sich auch die vielen Unstimmigkeiten in der Atomgewichtsbestimmung des Zirkoniums erklären, die den gewohnten Unterschied zwischen alten und neueren Bestimmungen wesentlich überschreiten. Wir wissen jetzt, daß das Hafnium der Gruppe IV des periodischen Systems zuzuzählen ist, daß seine Ordnungszahl 72 beträgt und daß die Eigenschaften seiner Verbindungen Ähnlichkeit mit jenen des Zirkoniums haben. G. v. Hevesy¹ gibt an, daß eine Trennung des Zirkons vom Hafnium auf Grund der größeren Schwerlöslichkeit des Hafniumphosphates oder der größeren Löslichkeit des Hafniumkaliumfluorids möglich ist. Da man noch keine spezifischen Reaktionen für den Nachweis des Hafniums neben Zirkonium kennt, so verbleibt als einziges chemisches Mittel die Bestimmung des Aquivalentgewichtes jeder einzelnen Fällungsfraktion, die dann ein genaueres Bild über den Fortschritt der Trennung ergibt, als das röntgenspektroskopisch durch die Vergleichsprüfung mit Tantalpräparaten möglich ist.²

Wenn in dieser Arbeit über eine Trennung des Zirkons als Arsenat von den Elementen Titan, Cer und Thorium gesprochen

¹ G. v. Hevesy, Ber. 56 (1923), 1503.

² Inzwischen haben Hönigschmid, Zintl und Gonzalez eine Neubestimmung des Atomgewichtes von Zirkon mit einem von Hafnium weitgehend gereinigten Präparat vorgenommen und geben als wahrscheinlichsten Wert für das Zr = 91·2 an. Siehe Ch. Ztg. 48 (1924), 403.

Gedru

Die

Die '

Aus d

schie

skopi

schei

Besti

des

Zirk

Begle

sich

des :

Wiss

Syste

die 1

Zirk

Zirke

des

Hafi

sche

kenn

des

danr

als

Tan

Ars

besti

gerei

Zr =

Tiegelofen eine genügende Menge Legierung eingeschmolzen und dann möglichst rasch gegossen, wie es in der Einleitung ausführlich beschrieben wurde. Da die Legierung nicht leicht fließt, mußte sie genügend heiß und auch der Gußtrichter sehr heiß und möglichst hoch sein. Sobald die Legierung das Rohr durchsetzt hatte, floß der Inhalt des Gußtrichters durch die Kapillare hindurch auf der anderen Seite aus, welche »Durchspülung« eine gleichmäßige Zusammensetzung derselben in allen Rohrteilen gewährleistete. Als Elektroden dienten die im früheren unter »Elektroden aus erstarrter Legierungsbeschriebenen Kupferstäbe. Die Länge der verwendeten Kapillaren betrug bei allen vier Versuchen 20 cm. Die Versuchsdauer schwankte zwischen 2 und 4 Stunden, die eingehaltene Temperatur war genügend hoch über ihrem Schmelzpunkt und betrug etwa 1050° C.

Die Unterbrechung der Elektrolysen nach den aus der Tabelle II zu ersehenden Zeiten geschah nur wo angegeben durch normales Erkalten unter Stromdurchfluß im Ofen, in allen anderen Fällen durch rasches Abkühlen, d. h. es wurde im Ofen das Rohr nur teilweise erkalten gelassen, dann der Elektrolysierstrom abgestellt, das Rohr sofort herausgehoben und durch einen kräftigen Luftstrom äußerst rasch vollständig abgekühlt. Dann folgte die stückweise chemische Analyse des erstarrten Legierungsfadens, um die durch die gegenseitige inverse Wirkung von Elektrolyse und Rückdiffusion im Schmelzfluß eingestellten und durch die Erstarrung fixierten Gleichgewichte zu ermitteln. Die Analyse geschah durch Titration der ammoniakalischen Cu-Lösung mit KCN-Lösung, wie bei den Elektrolysenversuchen mit Bronze erwähnt wurde.

¹ Die letztere Methode erwies sich hier als unumgänglich nötig, weil beim normalen Erkalten unter Stromdurchsluß der Legierungsfaden nach dem Erstarren infolge der bei sinkender Temperatur eintretenden Kontraktion zerreißt und es so unsehlbar zur Ausbildung von Lichtbögen kommt.

nicht etwa durch ein Zukalthalten der Rohrenden zu erklären sind. Die Abhängigkeit der erzielten Effekte von der Stromdichte ist in Fig. 10 graphisch dargestellt. Man sieht deutlich ein Ansteigen der Elektrolyseneffekte mu steigender Stromdichte.

Die bei gleichen Stromdichten erzielten Effekte sind auch hier weder im Vergleiche zu den bei niedrig schmelzenden Legierungen erzielten relativ gering. Aus dem Verlauf der Stromdichte Effektläurven Fig. 10 folgt jedoch ein weiteres Ansteigen der Effekte bei steigerung über die höchste mit unseren derzeitigen Hillsmitteln ereichbare Stromdichte von 13°5 Amp. Die der jedenfalls schließlich ereichbaren Grenzstromdichte entsprechenden Effekte werden einem bedeutend größeren Effekt entsprechen.

Die zu den Versuchen verwendete, bei etwa 900° schmelzende Legierung wurde durch Zusammenschmelzen der reinen Metalle in Vorrat hergestellt und hatte eine ungefähre Zusammensetzung von 75% Cu und 25% AL Kurz vor dem Füllen einer Kapillare (um einen Abbrand möglichst hintanzuhalten) wurde im elektrischen

Die Bestimmung und die Trennung seltenerer Metalle von anderen Metallen

V. Mitteilung

Die Trennung des Zirkons und des Hafniums vom Titan, Cer und Thorium

Cer und Thor mit steigendem AtenoVewicht sich abschwächt, war

Ludwig Moser und Rudolf Leßnig

Aus dem Laboratorium für analytische Chemie und für anorganische Technologie der Technischen Hochschule in Wien

Adsorption fremder Stoffe brakusch gleich Null wird, so kann au

(Vorgelegt in der Sitzung am 10. Juli 1924) mys W rab mi

Durch die Auffindung des Elementes Hafnium in den verschiedenen Zirkonmineralien und Zirkonpräparaten auf röntgenoskopischem Wege haben sich in der Chemie des Zirkoniums manche scheinbare Widersprüche und Ungenauigkeiten in den analytischen Bestimmungsmethoden aufgeklärt. Lange schon vor der Entdeckung des Hafniums sind bereits Zweisel an der Einheitlichkeit des Zirkoniums aufgetaucht, ohne daß es jedoch gelungen wäre, das Begleitelement nachzuweisen und abzuscheiden. Nunmehr lassen sich auch die vielen Unstimmigkeiten in der Atomgewichtsbestimmung des Zirkoniums erklären, die den gewohnten Unterschied zwischen alten und neueren Bestimmungen wesentlich überschreiten. Wir wissen jetzt, daß das Hafnium der Gruppe IV des periodischen Systems zuzuzählen ist, daß seine Ordnungszahl 72 beträgt und daß die Eigenschaften seiner Verbindungen Ähnlichkeit mit jenen des Zirkoniums haben. G. v. Hevesy¹ gibt an, daß eine Trennung des Zirkons vom Hafnium auf Grund der größeren Schwerlöslichkeit des Hafniumphosphates oder der größeren Löslichkeit des Hafniumkaliumfluorids möglich ist. Da man noch keine spezifischen Reaktionen für den Nachweis des Hafniums neben Zirkonium kennt, so verbleibt als einziges chemisches Mittel die Bestimmung des Äquivalentgewichtes jeder einzelnen Fällungsfraktion, die dann ein genaueres Bild über den Fortschritt der Trennung ergibt, als das röntgenspektroskopisch durch die Vergleichsprüfung mit Tantalpräparaten möglich ist.²

Wenn in dieser Arbeit über eine Trennung des Zirkons als Arsenat von den Elementen Titan, Cer und Thorium gesprochen

tstrom tweise durch fusion leichder

ind dann

sführlich

ußte sie

floß der anderen

mmen-

ktroden ierung«

pillaren

wankte

ar ge.

belle ll rmales

Fällen

r nur

estellt,

beim tarren es so

Elek-

¹ G. v. Hevesy, Ber. 56 (1923), 1503.

² Inzwischen haben Hönigschmid, Zintl und Gonzalez eine Neubestimmung des Atomgewichtes von Zirkon mit einem von Hafnium weitgehend gereinigten Präparat vorgenommen und geben als wahrscheinlichsten Wert für das Zr = 91·2 an. Siehe Ch. Ztg. 48 (1924), 403.

wird, so ist dabei stets an Zirkon und Hafnium gedacht, da gezeigt werden wird, daß das Hafniumarsenat noch schwerer löslich ist wie das entsprechende Zirkonarsenat und es daher quantitativ mit dem letzteren ausfallen mus

-VII Mineilun I. Die Trennung des Zirkons vom Titan mit Arsenation

Gemäß der Regel, daß der negative Charakter der in der vierten Gruppe des periodischen Systems befindlichen Elemente Titan, Zirkon Cer und Thor mit steigendem Atomgewicht sich abschwächt, war die Möglichkeit, eine Trennung des Titans vom Zirkon durch fraktionierte Hydrolyse zu bewirken, gegeben, und es gelten die in der ersten Mitteilung M. 43 (1922) auf Seite 675 über das Titan machten Ausführungen, ebenso für das Zirkon. Da auch die Zirkonsäure nur in der Wärme hinreichend wasserarm ausfällt, wodurch die Adsorption fremder Stoffe praktisch gleich Null wird, so kann auch hier nur ein Neutralisationsmittel brauchbar sein, dessen Wirkung sich erst nahe der Siedehitze geltend macht. Von den möglichen neun Systemen Halogenion-Halogensäure-H'-Ion konnten wieder nur die zwei Kombinationen mit mittleter Neutralisationswirkung HCI-HBrO, und HBr-HJO, in Betracht kommen; die Versuche lehrten jedoch, daß auf diesem Wege eine Trennung des Titans (4) vom Zirkon (4) unmöglich ist, da der Unterschied in der Polarität ein zu geringer ist. Es wäre nur hervorzuheben, daß sowohl nach diesem Verfahren, als auch mit Nitriten in schwach saurer Lösung ein wasserarmes, dichteres, leicht filtrierbares Zirkonhydrat erhalten wird, was als Vorzug gegenüber dem gebräuchlichen Fällungsmittel Ammoniak zu buchen ist.

Von den bekannten Titan-Zirkontrennungen sei hier nur auf jene hingewiesen, die brauchbare Ergebnisse liefern. Vielfach bestimmt man das Titan kolorimetrisch mit Wasserstoffperoxyd, wobei Gelbfärbung zufolge Bildung von Titanpersäure eintritt, die Anwesenheit von Zirkon stört dabei nicht, jedoch ist das Verfahren nur bei kleinen Mengen von Titan brauchbar. Brown und Madden und Lundell und Knowles fällen Zirkon aus stark schwefelsaurer Lösung bei Gegenwart von Wasserstoffsuperoxyd frei von Titan als Zirkonphosphat von wechselnder Zusammensetzung. Dieser Stoff, der keine Wägungsform abgibt, muß, um die Phosphorsäure vom Zirkon zu trennen, mit Natriumkarbonat geschmolzen werden, wobei Natriumphosphat und stets etwas Zirkonat in Lösung gehen und die Hauptmenge Zirkondioxyd zurückbleibt. Dieses wird mit Natriumbisulfat aufgeschlossen und in der so erhaltenen schwefelsauren

ösur ewo1 tändl Bestin ach verde ieses

iefert vohl om Kupfe

vir u

ur W

edoc Schw Meth Elem

oder so en oder mitte durc brack die F Arse sche wen viel nitra Nied unl Imm quai Arse dies lös

> in c stof

¹ Literatur und Einzelheiten sind in der Dissertation von R. Leßnig enthalten

² Weller, Ber. 15 (1882), 2592; Diettrich und Pohl, Z. f. anorg. Ch. 43 Stimmung des Alomgewichtes von Zirkon mit einem von Hafnium .662 (1901)

³ Brown und Madden, Journ. Am. Ch. Soc. 42 (1920), 35.

⁴ Lundell und Knowles, > 41 (1920), 1801.

acht, da t noch arsenat en mus

adruckt n

r vierten, Zirkon, war die raktio.
e in der machten

ure nur
ch die
n auch
Virkung
glichen
der nur
rkung
rsuche
ans (4)
blarität
l nach

saurer

rkonräuchur auf h bexyd,² , die ahren den³ aurer h als Stoff,

die iumuren uten.

vom

Jösung durch Ammoniak Zirkonhydrat gefällt. Falls sich das so ewonnene Zirkondioxyd als titanhaltig erweist, muß der ganze umtändliche Vorgang wiederholt werden, was häufig der Fall ist. Zur Bestimmung des Titans im Filtrate muß die Azidität der Flüssigkeit ach Zerstörung des Wasserstoffperoxyds wesentlich verringert verden, und dann wird das Titan (4) auch als Phosphat gefällt, lieses genau so wie das Zirkonphosphat behandelt und als TiO2 zur Wägung gebracht. Wenn auch dieses Verfahren gute Ergebnisse iefert, so wird es wegen seiner besonderen Umständlichkeit vohl selten zur Anwendung kommen.

Von Schröder¹ ist zuerst angegeben worden, daß man Titan om Zirkon aus salzsaurer Lösung durch einmalige Fällung mit Kupferron quantitativ scheiden könne; die Ergebnisse sind, wie vir uns überzeugen konnten, gute.

Die beiden genannten Verfahren sind, wie gesagt, brauchbar, edoch hat das erste den Nachteil, sehr zeitraubend, das andere die Schwäche, teuer zu sein. Es war deshalb wünschenswert, eine neue Methode zu ersinnen, um diese heute gar nicht mehr seltenen Elemente rasch und genau bestimmen zu können.

1. Qualitative Beobachtungen.

Fügt man zu einer saueren Zirkoniumsalzlösung (Chlorid, Sulfat oder Nitrat) eine Lösung von Dinatrium- oder Diammoniumarsenat, so entsteht je nach den Fällungsbedingungen ein schleimiger, flockiger oder körniger Niederschlag, der sich weder im Überschuß des Fällungsmittels, noch auf Zusatz von verdünnten Mineralsäuren löst, selbst durch längeres Kochen kann der Niederschlag nicht in Lösung gebracht werden. Die Gegenwart von Wasserstoffperoxyd beeinträchtigt die Fällung nicht, es bedarf aber eines etwas größeren Zusatzes an Arsenation. Auch beim Zirkonium zeigt sich wieder, daß die analytische Beschaffenheit des Niederschlages dann um so besser wird, wenn man die Fällung in der Siedehitze und bei Gegenwart von viel H'-Ion vornimmt, und zwar ist hier die Lösung des Zirkonnitrates bei Vorhandensein von Salpetersäure am günstigsten, da der Niederschlag in dieser Säure in Anwesenheit von Arsenation praktisch unlöslich ist, wie wir durch besondere Versuche zeigen konnten. mmerhin ist die Fällung auch aus salz- oder schwefelsaurer Lösung quantitativ, nur bedarf es dann eines noch größeren Überschusses an Arsenation. Wichtig für die weitere Behandlung ist die Tatsache, daß dieser Niederschlag in konzentrierter Schwefelsäure vollkommen und ihre Untersuchung lergab, daß dann das Zirkentsichlich

Unter denselben Bedingungen werden Titanlösungen, sowohl in der Kälte als auch in der Siedehitze, in Gegenwart von Wasserstoffperoxyd nicht gefällt; die Lösung bleibt selbst beim längeren

TO BULL DE PROPERTIES OF SEASON PERSON TO THE TRUE TO SEASON THE PROPERTY OF T

¹ Schröder, Z. f. anorg. Ch. 72 (1911), 89.

Kochen zufolge der gebildeten Pertitansäure unverändert rot gefärbt und auch ein Zusatz von Ammoniak bewirkt keine Fällung.

Dieses verschiedene Verhalten der beiden Elemente gegen Arsensäure und Wasserstoffperoxyd wurde nun zur Grundlage einer Trennung ausersehen.

2. Untersuchung der Verbindungen des Zirkons und des Titans

ses genau so wie das Zirkonphosphat behandelt und als TiO

Bisher hat sich nur Paykull¹ mit der Untersuchung der Zirkonarsenate befaßt. Er versetzte die salzsaure Lösung von Zirkon-chlorid mit sekundärem Natriumarsenat und erhielt so einen weißen schleimigen Niederschlag, dem er auf Grund seiner Analysen die Zusammensetzung 3 ZrO₂. 2 As₂O₅. 5 H₂O zuschreibt.

Zur Überprüfung und Ergänzung der Angaben von Paykull wurde eine salzsaure Zirkonchloridlösung in der Siedehitze tropfenweise unter Umrühren solange mit Natriumarsenat versetzt, als ein Niederschlag ausfiel, dieser wurde durch Dekantation, dann auf dem Filter heiß gewaschen und bei 100° getrocknet. Eine gewogene Menge davon wurde in konz. Schwefelsäure gelöst, 2 g Hydrazinsulfat zugefügt und das Arsen aus stark salzsaurer Lösung als Trichlorid nach Zusatz von 2 g Natriumbromid im Luftstrome abdestilliert.²

Dabei ist zu beachten, daß der Zusatz der konz. Salzsäure durch den Tropstrichter zunächst nur tropsenweise vorgenommen wird, denn die Berührung der Salzsäure mit der konz. Schweselsäure bewirkt hestige Chlorwasserstossentwicklung in dem Maße, als die Lösung verdünnter wird, läßt die stürmische Reaktion nach und man kann dann mehr Salzsäure zusließen lassen. Schließlich fügt man noch 50 cm³ Salzsäure zu, lüstet für einen Augenblick den Stopsen, um 2 g Natriumbromid einzubringen, schließt, setzt den Kolben in ein bereitgestelltes siedendes Wasserbad und destilliert im lebhasten Luststrome. In Pausen von je 10 Minuten setzt man durch den Tropstrichter 20 cm³ konz. Salzsäure zu und nach Verlauf von 50 bis 60 Minuten ist alles Arsen in der mit Wasser beschickten und gekühlten Vorlage enthalten, wo es dann durch Titration mit Natriumbromat bestimmt wird.

Das Zirkon wird im Rückstande mit Ammoniak gefällt. Da aber das Zirkonhydroxyd noch Sulfation enthalten kann, löst man es am Filter mit Salzsäure und wiederholt die Fällung, durch Glühen wird es als ZrO₂ bestimmt.

Wir fanden so, daß bei Fällung des Zirkonchlorids aus salzsaurer Lösung stets Niederschläge erhalten wurden, die dem normalen Zirkonarsenat Zr₃(AsO₄)₄ entsprechen, der Wassergehalt war ein wechselnder, was bei der kolloidalen Beschaffenheit dieses Stoffes nicht zu verwundern ist. Arbeitet man in stark salpetersaurer Lösung, so sind die Niederschläge wesentlich dichter und ihre Untersuchung ergab, daß dann das Zirkonylarsenat vorliegt, dem die Zusammensetzung ZrO. HAsO₄ zukommt. Da die ZrO Gruppe ein stärkeres Ion als das Zr Inlon ist, so neigt

das d bar e i c l weite

wurd

anbet Siche samn bloß salzes säure

wurd so w Zirko

B. Fe

diese

suche Verfü Hafni

n Be

säure Lösung wasche Salzsäu Erhitze gedamj

Reinhe Der so säure

zehnm

gerein lich in ziehu dann dünne ursen öfters

Frakt Wied

Che

¹ Paykull, Oefvers. Sv. Akad. Förh. 1873, 621.

² Moser und Ehrlich, Ber. 55 (1922), 437.

gefärbt (.

e gegen Grund-

Titans

erden

ng der Zirkonweißen, sen die

aykull tropfenals ein uf dem wogene drazining als me ab-

erührung vicklung: on nach nan noch mbromid asserbad etzt man 1 50 bis Vorlage

Zirkoniure und

ls aus
le dem
Vasserfenheit
k salichter
senat
Da die
o neigt

das Zirkonylarsenat weniger zur Hydrolyse, woraus sich unmittelbar die dichtere Beschaffenheit dieser Niederschläge und ihre leichtere Filtrierbarkeit ergibt. Das ist der Grund, warum alle weiteren Bestimmungen nur in salpetersaurer Lösung ausgeführt wurden.

Was nunmehr die Verbindungen des Titans mit Arsenation anbetrifft, so ergibt sich aus unseren Versuchen, daß man nicht mit Sicherheit die Existenz eines Titanarsenates von bestimmter Zusammensetzung annehmen kann, sondern daß durch die Arsensäure bloß eine mehr oder weniger vollständige Hydrolyse des Titansalzes bewirkt wird. Es wurde schon hervorgehoben, daß Pertitansäurelösungen, die mit Natriumarsenat versetzt wurden, weder mit diesem allein, noch auch dann, wenn sie ammoniakalisch gemacht wurden, eine Fällung geben. Fügt man jedoch schwefelige Säure zu, so wird diese beständige Komplexion reduziert und es kann das Zirkon als Hydroxyd mit Ammoniak nunmehr gefällt werden.

3. Feststellung der Anwesenheit von Hafnium und dessen Verhalten zu Natriumarsenat.

Da wir nicht annehmen konnten, daß wir zu unseren Versuchen Zirkonverbindungen, die frei von Hafnium waren, zur Verfügung natten, so mußten wir uns vorerst überzeugen, ob auch Hafnium durch Arsenation gefällt werde.

Als Ausgangsmaterial kam Zirkondioxyd, reinst (Merck), in Betracht.

200 g ZrO₂ wurden in einer großen Platinschale durch Flußsäure und Schwefelsäure in Lösung gebracht und bis zur Entwicklung von SO₃-Dämpfen erhitzt, die Lösung mit Wasser verdünnt und zweimal mit Ammoniak gefällt. Der sorgfältig gewaschene Niederschlag wurde abermals in Salzsäure gelöst und so viel konzentrierte Salzsäure zugegeben, bis Zirkonoxychlorid auszufallen begann, dieses wurde durch Erhitzen nochmals gelöst und die Lösung auf ungefähr ¹/₃ ihres Volumens eingedampft, wodurch Zr OCl₂.8 H₂O in langen seidenglänzenden Nadeln erhalten wurde; es wurde auf der Nutsche gesammelt und mit konz. Salzsäure gewaschen. Durch zehnmaliges Umkrystallisieren aus reinster Salzsäure wurde das Zirkonoxychlorid so von den noch anhaftenden geringen Verunreinigungen befreit und auf seine Reinheit geprüft. Es wurde nunmehr in Wasser gelöst und mit Ammoniak gefällt. Der sorgfältig gewaschene Hydroxydniederschlag wurde zuletzt in reinster Salpetersäure (Merck) gelöst und die Fällung mit reinstem Ammoniak wiederholt.

Unsere Absicht bestand nun, mit einer geringen Menge dieses so gereinigten Ausgangsmaterials, das außer Zirkon höchstwahrscheinlich noch Hafnium enthalten mußte, eine angenäherte Atom-, beziehungsweise Äquivalentgewichtsbestimmung zu machen, und dann im Hauptanteil nach Lösen desselben in Salpetersäure und Verdünnen mit Wasser durch unvollständigen Zusatz von Natriumursenat das Zirkon (Zirkon + Hafnium) zu fällen, diesen Vorgang öfters zu wiederholen und das mittlere Äquivalentgewicht jeder Fraktion zu bestimmen. Im Falle diese Zahl trotz mehrmaliger Wiederholung dieser Operation konstant geblieben wäre,

war offenbar nur Zirkon vorhanden, nahm sie ab, so durfte auf eine Anreicherung des Hafniums im Arsenatniederschlage und damit auf eine größere Schwerlöslichkeit des Hafniumarsenats gegenüber dem Zirkonarsenat geschlossen werden.

Da eine Untersuchung im Gange ist, die den Zweck hat, mit Hilfe von Natriumarsenat eine vollkommene Trennung des Zirkons vom Hafnium durchzuführen und in dem zu erhaltenden reinen Hafniumpräparat das Atomgewicht des Hafniums zu bestimmen, so wird über die Einzelheiten an anderer Stelle berichtet werden. Hier sei nur hervorgehoben, daß wir in dem oben gereinigten Zirkonoxychlorid aus dem Verhältnis ZrO2: Zr(SO4)2 auf Grund von drei Versuchen zu einem mittleren Äquivalentgewicht von 90.80 gelangten. Dagegen ergab die Bestimmung des Aquivalentgewichtes im Niederschlage nach der ersten partiellen Fällung mit Arsenation ein Äquivalentgewicht von 98.68, nach der zweiten Fällung 95.20, nach der dritten 95.03 und nach der 13. Fällung 90.56. Daraus ergibt sich also unzweideutig, daß die Löslichkeit des Hafniumarsenats eine geringere als die des Zirkonarsenats ist, und daß also auch die Fällung des Hafniumions eine quantitative sein muß, wenn man das Zirkon aus salpetersaurer Lösung mit Arsenation zur Abscheidung bringt. Gleichzeitig ist aber auch die Anwesenheit des Hafniums durch das höhere Äquivalentgewicht der ersten partiellen Fällungen nachgewiesen. hyxothoddioxyd tairetamzgnagauA

4. Die Trennung Zirkon + Hafnium vom Titan.

Verwendet wurden Stammlösungen von Titannitrat und Zirkonnitrat von bekanntem Gehalt, dadurch hergestellt, daß wir die frisch gefällten und gewaschenen Hydroxydniederschläge in Salpetersäure lösten und mit Wasser auf ein bestimmtes Volumen auffüllten. Der Titer wurde durch Fällung mit Ammoniak in der üblichen Weise bestimmt. Es sei nochmals hervorgehoben, daß unter Zirkon stets die Summe von Zirkon und Hafnium zu verstehen ist.

Wir können nun auf Grund einer größeren Anzahl von Versuchen, die die Trennung und Bestimmung von Zirkon und Titan mittels Arsenation und Wasserstoffperoxyd zum Gegenstande hatten, folgende Arbeitsvorschrift empfehlen:

Die das Zirkon- und Titanchlorid enthaltende Lösung wird in der Wärme mit Ammoniak gefällt und der Hydroxydniederschlag nach sorgfältigem Auswaschen mit heißem Wasser in verdünnter Salpetersäure (1 Vol. HNO₃ D 1·40 und 3 Vol. H₂O) gelöst. Liegen schon die Nitrate der beiden Metalle vor, so setzt man gleich etwa 50 cm³ dieser verdünnten Salpetersäure zu, dann 5 cm³ 30/0 iges Wasserstoffsuperoxyd, erhitzt zum Sieden und fällt unter Umrühren mit einer Lösung von Dinatriumarsenat (20 g in 100 cm³ Wasser) im geringen Überschuß. Man erhält 10 Minuten im Kochen, läßt auf dem Wasserbade absitzen und wäscht das Zirkonylarsenat erst durch Dekantation mit verdünnter Salpetersäure und dann auf dem Filter mit heißem Wasser säurefrei aus.

das glüh Dest nied von bron wird

Amn

säure Nied

verse ist (Siede heiße

sich

wenn

1417

0

II. I

im A Lösu bewi zu b

arsen

Chemieheft Nr. 7 and 8.

Nun wird der Niederschlag samt dem Filter in einen Porzellantiegel gebracht, das Filter bei möglichst niedriger Temperatur eingeäschert und dann schwach geglüht. Nach dem Erkalten bringt man das Zirkonylarsenat quantitativ in einen Destillierkolben, spült den Tiegel mit konz. Schwefelsäure nach, löst den Gesamtniederschlag in dieser Säure und destilliert das Arsen als Trichlorid nach Zusatz von Salzsäure und von Hydrazin als Reduktionsmittel und schließlich von Natriumbromid im Luftstrome, wie oben S. 4 genau angegeben ist Der arsenfreie Rückstand wird auf das Dreifache seines Volumens mit Wasser verdünnt und das Zirkon mit Ammoniak gefällt. Diese Fällung wird nach dem Lösen des Niederschlages in Salzsäure 1:1 wiederholt, die zweite Fällung mit heißem Wasser gewaschen und der Niederschlag nach dem Glühen im Platintiegel als ZrO₂ (ZrO₂ + HfO₂) zur Wägung gebracht.

Das Filtrat nach der Zirkonfällung wird nur mit so viel schwefeliger Säure versetzt, als zur Reduktion der Pertitansäure und des Wasserstoffperoxydes erforderlich ist (Verschwinden der Rotfärbung). Die Fällung des Titans mit Ammoniak in der Siedehitze wird doppelt gemacht, gewaschen wird zuerst durch Dekantation mit heißem, ammoniakalischem Wasser und dann am Filter nur mit Wasser. Nach dem Glühen im Platintiegel wird es als TiO₂ gewogen.

Anmerkung: Natürlich kann man das Zirkon auch indirekt bestimmen, wenn man zuvor die Summe der Oxyde $ZrO_2 + TiO_2$ bestimmt.

In der Tabelle 1 sind einige Analysenzahlen angegeben, die sich auf die eben besprochene Zirkon-Titan-Trennung beziehen.

ausgehen, da in salpetersaurel isting gearbeitet wird. Hat man

Angev	vendet	Gefunden (XorbyH sib na									
$\operatorname{ZrO}_2 g$	TiO ₂ g	ZrO ₂ g	Fehler ZrO ₂ mg	TiO ₂ g	Fehler TiO ₂ mg						
0.0484	0.0528	0.0481	-0.3	0.0526	-0.2						
0.0968	0.1056	0.0964	-0.4	0:1053	0.3						
0.0968	0.1056	0.0968	±0.0	0.1055	0-1						
0.2420	0.0241	0.2417	-0.3	0.0240	-0.1						
0.2420	0.0241	0.2413	-0.7	0.0238	-0.2						
0.0242	0.2405	0:0240	-0.2	0.2403	-0.2						
0.0242	0.2405	0.0239	-0.3	0.2403	-0.2						
0.0484	0.0528	0.0480	-0.4	0.0527	1.0cmpad						

II. Die Trennung des Zirkons vom Cer mit Arsenation.

Wenn auch die Trennung des Zirkons (Zirkons + Hafnium) im Analysengange durch die Oxalsäurefällung aus schwach saurer Lösung unter Zugrundelegung der Löslichkeit von Zirkonoxalat bewirkt wird, so wird man sich in manchen Fällen auch der nun zu beschreibenden Arsenatmethode mit Vorteil bedienen können.

Versetzt man eine neutrale Lösung von Cerinitrat mit Natriumarsenat, so bildet sich ein weißer Niederschlag, dem auf Grund der

ederdes ssen t, mit

des

urfte

nden i bechtet i geauf entg des ellen

der der die des umaus ichdas

gen

onsch ure Der ise

ernd de

ets

me ien ol. ich off-

ält ylter Untersuchungen von Barbieri und Calzolari¹ die Zusammensetzung Ce(HAsO₄)₂.6 H₂O oder Ce(H₂AsO₄)₄.4 H₂O zukommt. Nun fanden wir, daß dieselben beiden Salze sich auch dann bilden, wenn man von einer Ceronitratlösung ausgeht, diese mit wenig Salpetersäure ansäuert und dann die Fällung mit Arsenation vornimmt. Wird aber die Lösung des Cer(IV)Ions mit Wasserstoffsuperoxyd versetzt, so löst sich der vorhandene Niederschlag wieder auf, es kommt zur Rückbildung von Cerosalz und dieses bildet mit dem Arsenation keine schwerlösliche Verbindung.

Dieses Verhalten des Ceroions gestattet es demnach, das Zirkon vom Cer mit Hilfe von Dinatriumarsenat zu trennen, da es durch Zusatz von Wasserstoffsuperoxyd zur stark salpetersauren Lösung leicht gelingt, das gebildete Cerisalz in das Cerosalz überzuführen, wodurch letzteres von der Fällung des Zirkons unberührt bleibt.

2. Durchführung der Trennung.

Man kann sowohl vom Cer(III)- als auch vom Cer(IV)nitrat ausgehen, da in salpetersaurer Lösung gearbeitet wird. Hat man salzsaure oder schwefelsaure Lösungen der beiden Metalle, so fällt man die Hydroxyde in der Siedehitze mit Ammoniak, löst den gut gewaschenen Niederschlag in Salpetersäure (1:3) vom Filter und hat nun die Lösung der Nitrate.

Arbeitsvorschrift.

Die mit Salpetersäure (1:3) versetzte Lösung der Nitrate des Cers und des Zirkons, die frei von anderen Säuren sein muß, wird unter Zusatz von 10 cm³ 30/0 igem Wasserstoffsuperoxyd zum Sieden erhitzt (die orangegelbe Farbe des Cer(IV)nitrates verschwindet und die Lösung wird farblos) und nun erfolgt der Zusatz von Natriumarsenat (20 g in 100 cm³ Wasser), bis die Fällung des Zirkonylarsenats eine vollständige ist. Der Niederschlag wird auf dem Wasserbade absitzen gelassen, zuerst mit salpetersäurehaltigem Wasser, dann mit heißem Wasser gewaschen und heiß filtriert. Es ist zu beachten, daß sich die Farbe der Flüssigkeit während des Kochens nicht verändert, sollte sie wieder in Gelb übergehen, dann setzt man neuerdings etwas Wasserstoffsuperoxyd zu. Die Bestimmung des Zirkons wird dann genau so durchgeführt, wie sie auf p. 326 beschrieben ist.

Das im Filtrate befindliche Cerion wird in der Wärme mit Ammoniak gefällt, der Niederschlag nach dem Kochen erst durch Dekantation, dann auf dem Filter mit heißem Wasser gewaschen, dann nochmals in Salzsäure gelöst und die Ammoniakfällung wiederholt. Nach dem Glühen im Platintiegel wird das CeO, dann zur Wägung wert man Oxal amm aber

dann

satz,

gebi

auf

200

Hai

hib (

der dann mehr lisier daß

font durch Zirko mögl

meis

Ch. 14

^{18 1} Barbieri und Calzolari, Ber. 45 (1910), 2214. Is joblid os danosus

gebracht. In der Tabelle 2 sind einige Analysenergebnisse, die sich auf die Trennung des Zirkons vom Cer beziehen, enthalten. Natriumarsenat zu erzieler

Tabelle 2.

Angev	vendet	Gefunden wird									
ZrO ₂ g	Ce O ₂ g	ZrO ₂ g	Fehler ZrO ₂ mg	Ce O ₂ g	Fehler CeO ₂ mg						
0.0484	0.0513	0.0482	-0.2	0.0510	0.3						
0.0484	0.0513	0.0484	+0.0	0.0512	-0.1						
0.0968	0.1026	0.0967	-0.1	0.1023	-0.3						
0.0968	0.1026	0.0967	4-0-1	0.1025	01 -0.1						
0.2420	0.0513	0.2418	1817 0.5 p	0.0510	□ 0.3						
0.2420	0.0513	0.2417	-0.3	0.0511	-0.2						
0.0242	0.2052	0.0241	-0.1	0.2050	-0.2						
0.0242	0.2052	0.0238	-0.4	0.2049	-0.3						

E. Fernere Versuche heften uns enkemene daft die Löslichkeit des III. Die Trennung des Zirkons vom Thorium Mondente and a mit Natriumarsenat.

Im Gang der Analyse trennt man das Zirkon von den dreiwertigen seltenen Erden, dann vom Cer und Thorium dadurch, daß man von der Eigenschaft des Zirkonoxalates Gebrauch macht, in Oxalsäure löslich zu sein; es findet sich also dann in der Schwefelammongruppe neben Eisen und Aluminium vor. Verringert man aber die H-Ionenkonzentration durch Zugabe von Ammonoxolat, dann geht das Thorium mit dem Zirkon in Lösung. Dieser Grundsatz, zuerst beide Elemente als Doppeloxalate in Lösung zu bringen, wird von Glaser¹ befolgt. Nach Glaser verdünnt man die Lösung der Oxalate mit Wasser auf etwa das doppelte Volumen und gibt dann tropfenweise konz. Salzsäure solange zu, bis keine Fällung mehr hervorgerufen wird, es fällt dabei das Thorium als krystallisiertes Hexahydrat aus. Verschiedene Autoren? haben gezeigt, daß dieses Verfahren nur in sehr engen Grenzen brauchbar ist, zumeist aber unrichtige Ergebnisse liefert.

Noch weniger brauchbar ist die Flußsäuremethode von Delaiontaine, bei der das Thorium als Tetrafluorid aus eiskalter Lösung durch Ammonfluorid abgeschieden wird, während das Zirkon als Zirkonfluorwasserstoffsäure in Lösung bleibt. Andere Trennungsmöglichkeiten sind unseres Wissens nicht bekannt, und deshalb

menmmt. lden, venig Vor-

stoffieder mit

das nen. etersalz

un-

itrat man fällt

und

des

vird

gut

den und ımyllem em

Es des ann Besie

mit ch nn

olt. ng

¹ Glaser, Ch. Ztg. 20 (1896), 612.

² Hintz und Weber, Z. f. anal. Ch. 36 (1897), 27; Droßbach, Z. f. angew Ch. 14 (1901), 655; Benz, Z. f. angew. Ch. 15 (1902), 297.

³ Delafontaine, Ch. News 75 (1897), 229.

suchten wir auf Grund von günstig ausgefallenen Vorversuchen eine einwandfreie Trennung des Thors vom Zirkon mit Hilfe von Natriumarsenat zu erzielen.

1. Qualitative Versuche.

Aus einer neutralen oder schwach sauren Thoriumsalzlösung fällt Arsenation in der Kälte einen weißen, flockigen Niederschlag, in der Siedehitze fällt dieser Niederschlag sofort krystallinisch und leicht filtrierbar aus, im Überschuß des Fällungsmittels ist er unlöslich, Wasserstoffsuperoxyd und Weinsäure verhindern die Fällung nicht. Barbieri² hat sich mit der Untersuchung der aus Thorionlösung durch Arsenation entstehenden Stoffe schon zum Teil befaßt und stellte fest, daß diese Niederschläge je nach den Fällungsbedingungen verschieden zusammengesetzt sind. Der aus heißen Lösungen gefällte Niederschlag ist ein saures Thoriumarsenat von der Zusammensetzung Th(HAsO₄)₂ mit 4 bis 6 Molekülen Krystallwasser. Wird die Fällung mit unzureichenden Mengen an Arsenation durchgeführt, so entstehen Gemische basischer Salze, die stets amorphen Charakter aufweisen.

Fernere Versuche ließen uns erkennen, daß die Löslichkeit des so erhaltenen Thoriumarsenats in Salpetersäure von bestimmter Konzentration eine genügende ist, um so eine Trennung vom Zirkon, dessen Arsenat praktisch unlöslich ist, zu ermöglichen. Um nun die untere Löslichkeitsgrenze feststellen zu können, wurde das saure Thoriumarsenat auf präparativem Wege hergestellt und mit diesem Löslichkeitsversuche angestellt.

Es wurde eine gesättigte Lösung von je 2g Thoriumarsenat Th $(HAsO_4)_2.6H_2O$ in Salpetersäure bestimmter Normalität im Thermostaten bei 20 und 80° hergestellt, und der Gehalt an Thoriumarsenat dadurch bestimmt, daß man dieses zuerst durch

Liemente al allada Talate in Losung zu bringen.

Vers.	Angewendet HNO ₃	In 20 cm ³ Lösung g	gefunden ThO2 bei
ir vsta	Normalität 93 11	wird, es 1.05t dabei	herv. 08 emien
ist z	Grenzei tch auchbar	nur in 8000.0 engen	es Hexanydra les 1280:0 fahren
2	0.64	1191610.02831d9313	0.0936 de
1931 1	ov abodo.85 missbul	encho 8860.0 de	19810 0 1277 0 V
Ligan.	affuorid 8051eiskaller	Thorns 1132	0.1669 all
TKOD B	d, wantend das di	0.1674	0.1676
6	1:72 - 1:72	0:1682	0.1681
ekanta	2.60 Halen F	0.1679	0.1678
ochmal	s in Salzsaure gelo-	und mie adapage	Pers arterize

¹ Bergelius, Pogg. A. 16 (1825), 412.

Amm diese mit A

der dies

defin wir Nied mitt halte diese Zirke Arse

Azid mögl von (1 Vo der zu f nied Zirk such Einhagelan

> Elem nur d und ausge tratio

> erhalte tration Lösung zugese Dann mit he

> eine b

² Barbieri, Atti dei Linc. Rend. (5) 19 (1910), 643.

Ammoniak fällte, filtrierte, heiß auswusch, auf dem Filter in Salzsäure 1:1 löste, in dieser Lösung das Arsen durch Schwefelwasserstoft fällte und im Filtrat das Thorium mit Ammoniak bestimmte.

Aus der Tabelle ist zu ersehen, daß vollständige Lösung in der Kälte einer Normalität von 1:13 entspricht, während bei 80° diese fast mit einer Salpetersäure von 1:03 erzielt wird.

Diese Löslichkeitsbestimmungen setzen das Vorhandensein der definierten Phase Th(HAsO₄)₂.6 H₂O voraus, nun hängt aber, wie wir uns des öfteren überzeugt haben, die Zusammensetzung des Niederschlages auch ab von der Menge des angewendeten Fällungsmittels. Wendet man mehr von letzterem an, so sind die so erhaltenen Niederschläge dann basischer und leichter löslich. Aus diesem Grunde ist es von Wichtigkeit, daß bei der Trennung des Zirkons vom Thorium ein möglichst geringer Überschuß an Arsenation zur Anwendung komme.

Vergleichen wir nun die Löslichkeit des sauren Thoriumarsenats mit der durch Versuche ermittelten höchst anwendbaren Azidität, die noch eine quantitative Fällung des Zirkoniums ermöglicht, so kommen wir zu dem Schlusse, daß bei einer Normalität von 1·13, die angenähert einer verdünnten Salpetersäure 1:3 (1 Vol. HNO₃, D = 1·40 und 3 Vol. H₂O) entspricht, eine Trennung der beiden Elemente möglich ist. Steigert man die Azidität der zu fällenden Lösung, dann werden die Ergebnisse für Zirkon zu niedrig, läßt man dieselbe aber unter 1·03 sinken, dann fallen die Zirkonwerte zu hoch aus. Wie sich aus den folgenden Untersuchungen ergeben wird, ist es nicht schwer, bei angenäherter Einhaltung dieser Bedingungen zu einer brauchbaren Trennung zu gelangen.

2. Quantitative Versuche zur Trennung.

Zur quantitativen Prüfung der Trennungsmöglichkeit der beiden Elemente Zirkon und Thorium kommen auf Grund des Gesagten nur die Aziditäten der Reihen 4,5 und 6 der Tabelle 3 in Betracht und es wurde deshalb eine größere Anzahl von derartigen Versuchen ausgeführt, um auf empirischem Wege die günstigste Konzentration der Salpetersäure mit Sicherheit feststellen zu können.

Arbeitsvorschrift:

Der durch Ammoniak aus einem Gemisch der Zirkon- und Thoriumionlösung erhaltene Niederschlag wurde auf dem Filter in Salpetersäure der bestimmten Konzentration gelöst, das Filter mit derselben Salpetersäure gut gewaschen, die klare Lösung zum Sieden erhitzt und tropfenweise so lange Dinatriumarsenatlösung zugesetzt, als noch das Ausfallen eines Niederschlages beobachtet werden konnte. Dann wurde filtriert, zuerst mit Salpetersäure der gegebenen Konzentration und dann mit heißem Wasser säurefrei ausgewaschen. Im Filtrat wurde das Thorium durch

Analysen wurde

Aut Grund der weiteren 12

sung ilag,¹ und

eine

Von

unlung rionefaßt ngsißen

an die des

von tall-

vom Um das mit

nter

H₂O rellt,

Möglicherweise spielt auch hier der kleinere oder größere Gehalt an Hafnium eine bestimmte Rolle.

doppelte Fällung (der erste Niederschlag ist immer noch arsenhaltig) mit Ammoniak niedergeschlagen und als $Th O_2$ zur Wägung gebracht.

Der Zirkonylarsenatniederschlag wurde zur Bestimmung des Zirkons als $\rm Zr\,O_2$ so, wie auf p. 326 ausführlich angegeben ist, behandelt.

D =

0

Konz faller Salpe

des !

eine

Grer

gegel

Thor Erge

0 0

0

Wärm

heißen säure

a) Versuche mit norm. 1.03-Salpetersäure (1 Vol. HNO₃ D = 1.40 und 4 Vol. H₂ O).

Diese Löslichkeitsbestimmungen setzen das Vorhandensein der

Angev	vendet	Gefunden Sahar Gefunden								
ZrO ₂ g	ThO2 g	ZrO ₂ g	Fehler ZrO2 mg	Th O2 g	Fehler ThO2 mg					
0.0968	0.0943	0:0971	+0.3	0.0939	-0.4					
0.0968	0.0943	0.0974	+ 0.6	0.0935	-0.8					
0.0968	0.0943	0.0970	+0.2	0.0942	0.1					
0.0968	0.0943	0:0970	0:1/ 9	0.0946	+0.3					
0.0968	0.0943	0.0969	+0:10	0.0938	-0.5					
0.0968	0.0943	0.0970	ir 2:0 dem	0.0943	±0.0					

Die Ergebnisse für ZrO_2 sind etwas zu hoch, jene für ThO_2 zu niedrig, der Fehler für ZrO_2 beträgt im Höchstmaß $+ 0.85^0/_0$, im Mindestmaß $+ 0.1^0/_0$; der größte Fehler für ThO_2 ist $- 0.85^0/_0$ der kleinste $\pm 0.0^0/_0$.

b) Versuche mit norm. 1·13-Salpetersäure (1 Vol. HNO₃ D=1·40 und 3 Vol. H₂O).

Tabelle 5.

Anger	wendet	Gefunden								
ZrO ₂ g	Th O ₂ g	ZrO ₂ g	Fehler ZrO ₂ mg	ThO2 g	Fehler Th O ₂ mg					
0.0484	0.04715	0.0483	-0.1	0.0470	- 0·15					
0.0484	0.04715	0.0480	0:4	0.0472	+ 0.05					
0:0484	0.04715	0.0481	-0.3	0.0468	- 0.35					
0.0484	0.04715	0.0485	A1:00+15	0.0470	- 0.15					
0.0484	0.04715	0.0482	-0.2	0.0471	-0.05					
0.0484	0.04715	0.0484	+0.0	0.0470	-0.15					

Hier entsprechen die Ergebnisse innerhalb der analytischen Fehlergrenzen dem wahren Gehalt der Lösungen an Zirkon und Thorium. Auf Grund der weiteren 12 Analysen wurde der Durchschnittsfehler mit $+0.2^{0}/_{0}$ ZrO₂ und jener für Thorium mit $-0.1^{0}/_{0}$ ermittelt.

c) Versuche mit norm. 1.72-Salpetersäure (1 Vol. HNO3 D=1.40 und 2 Vol. H_2O). Man light moch nuffenden und nine. 6 alladar nine Filter Das West

Anger	wendet	Gefunden Germannster Gefunden								
$\operatorname{ZrO}_2 g$	ThO2g	ZrO ₂ g	$ZrO_2 g$ Fehler $ZrO_2 mg$ $ThO_2 g$ Tl							
0.0968	0.0943	0.0950	1.8	0.0969	+1.6					
0.0968	0.0943	0.0957	-1.1	0.0957	+1.4					
0.0968	0.0943	0.0962	-0.6	0.0950	+0.7					
0.0968	0.0943	0.0953	1.5	0.0953	+1.0					
0.0968	0.0943	0.0959	-0.9	0.0956	+1.3					
0.0968	0.0943	0.0951	0-127	0:0971 ad	+1.8					

Wie sich schon aus den Vorversuchen ergab, ist hier die Konzentration der H'-Ionen bereits zu hoch, die Werte für ZrO, fallen wegen der Löslichkeit des Zirkonylarsenats in einer so starken Salpetersäure zu niedrig aus.

führlich beschrieben wurde, das Arsentrichlorid ab. Die nach

Die Untersuchungen zeigen demnach, daß die Trennung des Zirkons vom Thorium mit Hilfe von Natriumarsenat an eine Azidität von 1.13 norm. HNO3, nur in relativ engen Grenzen schwankend, gebunden ist.

In der Tabelle 7 sind noch einige Analysenbeispiele wiedergegeben, die sich auf Lösungen von extremen Zirkon- und Thoriumgehalten beziehen, auch hier gibt das Verfahren gute Ergebnisse. IV. Theoretische Bamerkungen. 7 abelle 7.

Anger	wendet	htet werde	outled Gefun	nden mel	oretischer
ZrO ₂ g	Th O2 g	ZrO_2g	Fehler ZrO2 mg	ThO ₂ g	Fehler ThO ₂ mg
0.1452	0.0157	0.1450	te 2.0 east	0.0155	0.2
0.1452	0.0157	0.1451	1	0.0158	+0.1
0.1452	0.2355	0.1451	-0.1	0.2353	-0.2
0.1452	0.2355	0.1453	1:0 ter	0.2351	-0.4
0.0145	0:1570	17:0:0143 n	b-0:2/	0.1568	0.2
0.0145	218 0·1570 0d	0 0:0146 V	de 120 40		

arsenats außert. Das Cer in seiner viewerigen Form schließt sich in seinem Verhalten seinfrahren seinem Verhalten seinem Verh arsenats autlent Das Ce

Die das Zirkon und Thorium enthaltende Lösung wird mit Ammoniak in der Wärme gefällt, der Niederschlag auf einem Filter gesammelt und vollständig mit heißem Wasser ausgewaschen. Dann löst man den Hydroxydniederschlag in Salpetersäure 1:3 (1 Vol. HNO₃ D = 1.40 und 3 Vol. H₂O) vom Filter und wäscht mit

moniak

Is ZrO,

HNO.

ler mg 1.4

.8 .1 .3 .5

.0

DO: hO2 $\frac{5^{0}}{5^{0}}$, $\frac{5^{0}}{5^{0}}$

NO₃

8

nd h-

1/0

unlös

der Z

sproc

Salze

Imme

Hydr

geger

einer

z.B. Die 7

Lösli

das Z

dieser Salpetersäure sorgfältig nach. Das Volumen der zu fällenden Lösung betrage 100 bis 120 cm³, wenn nicht mehr wie 0·2 g der beiden Erden vorhanden sind. Die Lösung wird zum Sieden erhitzt und tropfenweise mit einer Dinatriumarsenatlösung (20 g Salz in 100 cm³ H₂O) versetzt, bis kein Niederschlag mehr ausfällt. Man läßt noch aufkochen und filtriert heiß durch ein dünnes Filter. Das Waschen des Niederschlages wird mit Salpetersäure 1:3 drei- bis viermal besorgt, zuletzt mit heißem Wasser fortgesetzt, bis im Waschwasser kein H-Ion mehr nachweisbar ist. Das Thorium im Filtrate wird durch Ammoniak niedergeschlagen, das Thoriumhydroxyd erst durch Dekantation im Becherglase, dann auf dem Filter mit heißem Wasser gewaschen, hierauf der Niederschlag in Salzsäure (1:1) gelöst, das Filter mit verdünnter Salzsäure, dann mit Wasser gewaschen und die Arsensäure durch Einleiten von Schwefelwasserstoff in der Wärme gefällt. Nach Filtration und gutem Auswaschen des Arsensulfidniederschlages wird das Filtrat durch Kochen vom Schwefelwasserstoff befreit, das Thorium mit Ammoniak gefällt und durch Glühen im Platintiegel in ThO2 übergeführt.

Das Zirkonylarsenat wird nach dem Auswaschen in einen Porzellantiegel gebracht und samt dem Filter schwach geglüht. Nach dem Erkalten bringt man den Glührückstand mittels eines Haarpinsels quantitativ in einen Destillierkolben, löst in möglichst wenig Schwefelsäure, fügt Hydrazinsulfat als Reduktionsmittel zu und destilliert nach Zugabe von 2 g Natriumbromid im Luftstrome, wie auf p. 4 ausführlich beschrieben wurde, das Arsentrichlorid ab. Die nach der Arsendestillation im Kolben verbliebene Lösung wird nach dem Abkühlen und Verdünnen mit Ammoniak gefällt, das Zirkonhydroxyd sorgfältig gewaschen, auf dem Filter in Salzsäure 1:1 gelöst und die Fällung mit Ammoniak wiederholt. Durch Glühen im Platintiegel wird das ZrO2 erhalten und als solches gewogen.

Anmerkung: Will man den Analysengang abkürzen, so verzichtet man auf den Aufschluß des Zirkonylarsenats und bestimmt in einer besonderen Probe die Summe $ZrO_2(+HfO_2)$ und ThO_2 . Nach Abzug der gefundenen Menge ThO_2 erhält man dann das $ZrO_2(+HfO_2)$. Eine weitere Vereinfachung ist auch bei der Bestimmung des Thoriums dann möglich, wenn dieses nur in geringen Mengen vorhanden ist. Dann gelingt es durch doppelte Fällung mit Ammoniak die Arsensäure vollkommen zu entfernen und erspart ihre Abscheidung durch Schwefelwasserstoff.

IV. Theoretische Bemerkungen.

regeden, vdie siche auf blüsungen von extremen Zirkone und Thonumgehalten beziehen, auch hier (gibt das Stesiahren lgute

Wenn nunmehr die Ergebnisse der vorliegenden Arbeit vom theoretischen Standpunkte betrachtet werden, so ergibt sich, daß die Trennung der Elemente Titan, Zirkon (Hafnium), Cer und Thor durch den chemischen Charakter dieser Metalle bedingt ist. Das Titan, als das schwächste elektropositive Element dieser Reihe, ist nicht imstande Arsenate von bestimmter Zusammensetzung zu bilden und es zeigt sich in Gegenwart von Arsenation sofort der Einfluß der Hydrolyse. Eine noch wesentliche Verstärkung nach der elektronegativen Richtung hin wird durch die Überführung in Pertitansäure mittels Wasserstoffperoxyd erzielt und es kommt so zur Bildung einer löslichen Verbindung von Pertitansäure mit Arsenation. Beim Zirkon wirkt die Zirkonylgruppe bereits als stärkeres Kation, was sich auch in der Existenz des beständigen Zirkonylarsenats äußert. Das Cer in seiner vierwertigen Form schließt sich in seinem Verhalten sehr an das Zirkon an, und es ist die Löslichkeit der beiden Arsenate eine ziemlich gleich große. Hier kommt einer Trennung der beiden Elemente zustatten, daß man das Ceriion leicht in das Ceroion verwandeln kann, und daß letzteres kein

betrage sind. rsenatusfällt. aschen zt mit t. Das iroxyd Vasser it vernleiten Aus-

tiegel man olben, el zu ausation oniak 1:1 tiegel

wefel-

Platin-

auf die rhält Bevoräure toff.

om laß or ist. ser ng ler er r-

n. es 1h Snt

n n

ur

unlösliches Arsenat bildet. Etwas anders liegen die Verhältnisse bei der Zirkon-Thorium-Trennung. Das Thorium ist schon ein ausgesprochen positives Element, was sich auch daraus ergibt, daß es Salze aller Art bildet, denen das vierwertige Th ...-Ion zugrunde liegt. Immerhin ist es noch ein schwaches Ion, das die Neigung zur Hydrolyse zuweilen deutlich zeigt. Der stärkere positive Charakter gegenüber dem Zirkon ist schon so bedeutend, daß es zur Grundlage einer Trennung herangezogen werden kann. Diese Eigenschaft kommt z. B. im Verhalten gegenüber Flußsäure sehr deutlich zum Ausdruck. Die Trennung der beiden Metalle mittels Arsenation wird durch die Löslichkeit des Thoriumarsenats in Salpetersäure bewirkt, in welcher das Zirkonylarsenat unlöslich ist.

wurde das Eintreten eines Elektrotyseneffektes und dessen Ab-

ersuch anlangs auf die Weise zu Ende geführt, daß unter Strom-

All Sinkon From Sinder Etwins anders liegen die Verhältnisse bei Zirkon From Trennung. Das Thorium ist schon ein ausgen gerschen positivas Element, was sich much daraus ergibt, daß est sich Art bildet, denen das vierwerige 1 h. . In augrunde begt markehm ist es noch ein schwaches ion, das die Neigung zur Bydrolyse zuweilen deutlich zeigt. Der stürk ein positive Charakter ernüberidem Zirkon ist schon so bedeutend, daß es zur Grundlage mer Frennung herangezogen werden kann Diese Eigenschaft kommt bei Trennung der beiden Metalle mittels Arsenauen wird durch die Institute des Theriumarsenats in Salpetersäure bewirkt, in evelctieste Zirkonylarsenat unlöslich ist.

Das Zirkonylarsenst wird auch dem Auswaschen in einen Porzellander gebracht und samt dem Filter schwach gegläht. Nach dem Erkelten bringt mit den Glübrückstand mittels eines Haarpinsels quantitativ in einen Destillierkonlöst in möglichst wenig Schwefelslure, fügt Hydrazinsulfat als Reduktionsmittel in und destilliert nach Zugabe von 2 g Natriumbromid im Luftstrome, wie nur p. 4 mit führlich beschrieben wurde, das Arsentrichlorid ab. Die nach der Arsendestilland im Kolben verbliebinge Lösung wird nach dem Abkühlen und Verdünnen mit Ammorial gefällt das Zirkonhydroxyd sorpfältig gewaschen, auf dem Filter in Salzsäure i geföst und die Fällung mit Ammoriak wiederheit. Durch Glüben im Platietiest wird das ZrO₂ erhalten und als solches gewogen.

IV. Theoretische Bemerkungen.

Wann nunmehr die Ergebnisse der vorliegenden Arbeit von theoretischen Standpunkte betrachtet werden, so ergibt sich, das die Trennung der Elemente Titan, Zirkon (Hafnium), Cer und Thodurch den ehemischen Charakter dieser Metalle bedingt im Das Titan, als das schwächste elektropositive Element dieser Reihe, ist nicht imstande Arsenate von bestimmter Zusammensetzung zu bilden und es zeigt sich in Gegenwart von Arsenation sofort der Einfluß der Hydrolyse. Eine noch wesentliche Verstärkung nach der elektronegativen Richtung hin wird durch die Überführung in Postitansäure mittels Wasserstoffperoxyd erzielt und es kommt so zus Bildung einer löslich en Verbindung von Pertitansaure mit Arsenation. Beim Zirkon wirlt die Zirkonylgruppe bereits als stärkeres Kation, was sich auch in der Existenz des beständigen Zirkonylarsenate Außer. Des Cer in seiner vierwertigen Form schließt sich in seinem Verhalten sehr an das Zirkon an, und es ist die Leslichkeit der beiden Arsenate eine ziemlich gleich größe. Hier kommenner Trennung der beiden Elemente zustatten, daß man das Cerien leicht in das Ceroion verwandeln kann, und daß letzteres kein

Gedru

Die

OVI) Surg

wurd häng und durch Meta

teilur 20 u Die vorig Umv genü Eiser mit 1 der i erhitz dicht gesc und der ; diese schü Elek Oxy lysie Vers durc

> aber von komi Durc

Die elektrolytische Leitung in geschmolzenen Metalllegierungen

Um dies zu vermeiden, werde noch vor dem vollständigen Erkeiter

Analyse die Zusammense gnulieniM .IlVtallfadens stückweise er mittelt, zu welchem Zwecke die Napillure zerschlagen, die Motel

Die Elektrolyse von Ag-Pb-Legierungen

der Prozentgehalt an Ag durchnoytration nach der Methode von

Robert Kremann und Otto Benda

Aus dem physikalisch-chemischen Institut der Universität Graz

Mit 2 Textfiguren) West deb sur thooley

(Vorgelegt in der Sitzung am 26. Juni 1924)

Mittels der in der vorigen VI. Mitteilung beschriebenen Methode wurde das Eintreten eines Elektrolyseneffektes und dessen Abhängigkeit von Stromdichte und Rohrlänge bei einer etwa 50% Ag und 50% Pb enthaltenden Legierung studiert. Die Legierung wurde durch Zusammenschmelzen der berechneten Mengen der reinen Metalle hergestellt.

Die Elektrolyse wurde auch hier in den in der vorigen Mitteilung beschriebenen, aus Schamotte gefertigten Kapillaren von 20 und 30 cm Länge mit 1.55 mm lichtem Durchmesser ausgeführt. Die Erhitzung der Kapillaren erfolgte in dem gleichfalls in der vorigen Mitteilung beschriebenen elektrischen Widerstandsofen mit Umwandler aus gekörnter Kohle, und zwar auf rund 1000° C., also genügend hoch über dem Schmelzpunkt. Als Elektroden dienten Eisendrähte; Eisen legiert sich bei der Versuchstemperatur weder mit Blei noch mit Silber. Der Gang der Versuche war kurz etwa der folgende: Auf den Kopf der im Elektroofen auf rund 1000° C. erhitzten Kapillare wurde der auf starke Rotglut gebrachte Gußtrichter dicht (durch Aufstreuen von Magnesia) aufgesetzt, in denselben die geschmolzene Legierung eingegossen, welche in die Kapillare einfloß und einen homogenen Faden bildete. Dann wurden auf die Köpfe der gefüllten Kapillare durchbohrte Kohlerollen aufgesetzt und durch dieselben die Elektroden eingeführt. Die glühenden Kohlerollen schützten die Legierung und den am meisten gefährdeten Teil der Elektrode, d. i. den, wo dieselbe in die heiße Kapillare taucht, vor Oxydation, beziehungsweise Abbrennen. Sodann wurde der Elektrolysierstrom eingeschaltet. Nach drei bis vier Stunden wurde der Versuch anfangs auf die Weise zu Ende geführt, daß unter Stromdurchfluß langsam erkalten gelassen wurde. Da sich die Legierung aber beim Erkalten zusammenzieht, kann es hiebei zur Bildung von gefährlichen Querschnittsverkleinerungen oder gar Hohlräumen kommen, was bei den erforderlichen hohen Stromdichten leicht zum Durchbrennen des Fadens und zu Lichtbögen im Rohr führen kann.

Um dies zu vermeiden, wurde noch vor dem vollständigen Erkalten der Strom unterbrochen, das Rohr sofort aus dem Ofen gehoben und durch einen kräftigen Luftstrom rasch abgekühlt.

Im erkalteten Rohr wurde nun in bekannter Weise durch Analyse die Zusammensetzung des Metallfadens stückweise er-mittelt, zu welchem Zwecke die Kapillare zerschlagen, die Metallseele herausgelöst, blankgeputzt und in gegen die Enden an Länge abnehmende Stücke geschnitten wurde. In jedem dieser Teile wurde der Prozentgehalt an Ag durch Titration nach der Methode von

8.34

8688.0

13.

0.6911

0.019663 0.4621

Rohr- cm³ N.H₄CN S-Lösung Nr. 1 1 cm³ entspricht Gramm

Volhard bestimmt.

Es wurde die gewogene Legierung in halogenfreier HNO. (spez. Gew. 1.2) gelöst, bis zur Zerstörung der salpetrigen Säure gekocht, aus den Lösungskolben in eine Stöpselflasche gespült, 2 bis 3 cm³ halogenfreie Eisenammoniumalaunlösung hinzugefügt, auf 50 bis 100 cm3 mit Wasser verdünnt und mit n/10-Rhodanammonlösung¹ bis zur dauernden Rosafärbung titriert.

Eintreten eines I elle da Tabelle bei e

Versuch	Stromstärke	Stromdichte	Rohrlänge in Zenti- meter	Rohr- querschnitt	Dauer der Elektrolyse in Stunden	Temperatur	Erkaltet	Effekt in Prozent Ag	An- merkung
getuhr in l de	10 at	8:3	OSm	ichten ne -id	mmm etfol	nillare (rasch	2.02	0 und 36
m 219	15 /18	8.0	/ 30 d	ektrist	9 4191	edeini	normal	2.91	origen M
283	2000	10.3	30	ws p	nu ₄ ,91	teroco	rasch	3.59	mwandle
diente 4	25	13.2	30	1110	chmelz		über	4.57	entigend
5	25	13.2	30	·884 mm²	3	pis SI	normal	4.9	iscinitan
°600	1 9 nu	4.77	1200	188 188	mi 4 19	000	uf den	1.8	er folgen
dd 7 int	12.5	6.6	3 20 3	ke Ro	nst 4 lu	e der a	rasch	2.40	thitzten I
990	20	10.3	20	ia) at	fagnes	1040° C.	rasch	3.34	icht (dur
ii	25	13.2	20	well	COSSER	1040° C.	rasch	4.16	eschmok
köpt d durc	at un	den a ifgeset	n wun	. Dan oblero	bildete hrte K	raden iurchbo	genen pillare	home ten Ka	einer

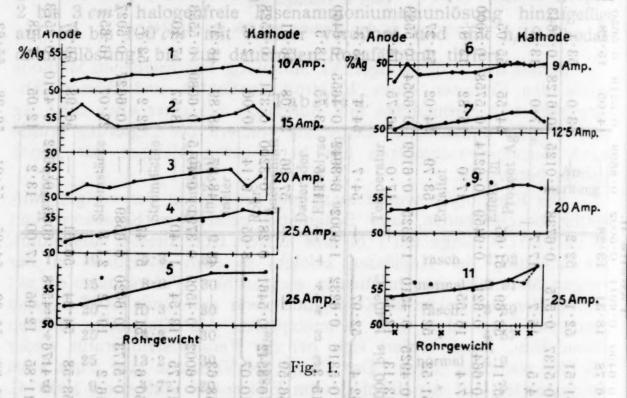
Die Bedingungen für die einzelnen Versuche sind in Tabelle I, die einzelnen Versuche in Tabelle II wiedergegeben. Die schrittweise Änderung der Zusammensetzung des Metallfadens unter dem Einfluß der Elektrolyse ist für die einzelnen Versuche in Fig. 1 zur graphischen Darstellung gebracht, wobei als Abszissen in ununterbrochener Reihenfolge die Einwagen an Legierung und über der Mitte jeden Stückes als Ordinaten die zugehörigen Prozentgehalte an Ag aufgetragen wurden. von gefährlichen Querschnittsverkleinerungen

¹ Der Titer der Rhodanlösung wurde durch Stellen gegen eine durch Auflösen von chemisch reinem Ag hergestellte Ag-Lösung bestimmt.

Dan.						1	Elek	trol	yse	vo	n A	g-F	b-L	eg	ieru	nger	n.							0	41	
ten en	fens her-	ra n	es Hige	m d einu Abl	ini mi	Esers	ien ing: ch	Sile Sile Sile	gia	S	ur ron len	A 519	len ten dis	0.3512	10.27	50.03	iki iki	Wis H	llsi n	90 11	in w	Pro III			era Egy	
rch er- all-	0.3118 8.34	52.6	0.384	alle 24.70	y si alli ak	wri wri Al	illoc for	0.3432		55.57	Ka Fer	o Tree Tree Tree Tree Tree Tree Tree Tre	de de de	0.2873	8.4	50.03	m al	rio Par rior			18 SB	ini fi fi en		TE TE	w were	
nge rde ron	0.4712	52.7	0.4683	(Harri	0.3385	9.15	53-15	0.4092	9.14	55.74	ins issi	de de	ere ere	0.378		50.25	0.3244	9.18	51.5	0.3958	13.0		2.99	eib iar iar	den gel ers	
O ₃ ire	0.4051	53.52	0.5038	55.42	0.443	11.92	52.91	0.5085	6.5 0.05	56.1	0.5395	de	62.29	0.3423	10.01	49-99	0.4321	13.3	52.8	0.3843	12.2	10. 23:	0		8.12	58.16
ilt, gt, in-	0.5650	53.1	0.4643	ngt	0.2000	13.8	54.27	0.5583	2.01	55.3	0.6460	0.01	56.31	0.4528	12.8	48.37	0.5553	17.10	52.7	0.5027	16.65	1	0		7.28	55.63
W M	0.5219	53.0	0.6128	sich.	80	15.82	54.02	4	62.91	54.4	0.4655	0).0	58.08	0.371	10.08	48.89	0.6089	18.52	52.2	0.6627	25.02	-	0		12.05	56.28
Control of the Contro	0.8898	1	1.0125		114	0.21	53.79	601	0.21	54.7	0.3942	CHI	57.36	0.3200	9.14	48.87	0.4015	E	1	1	1			0.4642	13.2	55.91
	0.5002 13.28	52.2	0.6738	51.65	0.9459		röß Iso	1.2625	102	in	1.9002	Į A	Pas Pas	0.2817	8.05	48.9	0.3791	11.40	51.45	0.6589	21.8		19.99	0.6083	17.00	54.95
	0.6911	52 1 5	7 0.575	0	1	16.55	52.4	0.4510	12.15	52.97	0.6232	in the	125	0.5461		da	0.4209	13.54	51.4	0.6020	19.12		10		12.95	55.63
	0.6400	51.51	14.5		-	Wall.	nig R	25	13.13	52.4	3 0.5316	0.01	56.59	0.3542	10.01	48.63	0.6002	17.75	9.09	0.2342 0.6005 0.5173	16.5		53.28	0.2772 0.4176	11.85	55.80
	0.4299 1.56	28.2	0.3593	97 7	0.6395 0.6641	68.89	51-93	43	.65	.2	33	3	52.80	0.2990 0.4000 0.3542	1.7	20.02	0.3120	9.34	51.25	0.6005	18.6 16.2	18	53.0		7.65	54.26
,	0.4621 12.1 0.019663	51.5	0.39	0.01966	2	11.38 16.89 17.4	50.68	2	0.01986	51.5	0.362	0.01988	52.69 52.80 56.59	0.5890	8.3	47.5	0.3641	10.78	50.4 51.25	0.2342	7.3	g 0.0171	53.33	0.2265	6.22 g 0.01960	54.0
l, r r	Rohr- cm ³ N,H ₄ CN S-Lösung 12·1 1 Nr. 1 1 cm ³ entspricht Gramm Ag 0·019663	9 5 0/0 Ag 5 0 0	Einwage	cm ³ entspricht Gramm Ag	Einwage	Seung	0/0 Ag	eio	cm ³ NH ₄ CN S-Lösung	4	Einwage	1 cut 3 entspricht Gramm Ap 0.019663		Einwage	Cm3 N		Einwage	,	1 cm ³ entspricht Gramm Ag 0.01711 0/0 Ag 50.4	Einwage	CM3 NH4CNS-Lösung	Nr. 9 1 cm3 entspricht Gramm Ag 0.01711	O Ag B C	9:	Rohr- cms NH ₄ CNS-Lösung 6.22 7.1 Nr. 11 1 cms entspricht Gramm Ag 0.019663	0/0 Ag
	Rohr-	Che	Rohr-	Nr. 2 1	7	Rohr-			Nr. 4		Dota	Nr. 5			Rohr-			Rohr-	Nr. 7		Rohr-	Nr. 8			Rohr- Nr. 11	

Die auffallenden, bei allen Kurven an den Enden des Fadens anzutreffenden »Haken« dürften von Saigerungserscheinungen herrühren. Wir müssen uns vorstellen, daß sich beim Abkühlen der Legierung an den Wänden der Kapillare Silberkrystalle ansetzen, während sich die mit sinkender Temperatur fortwährend an Silber verarmende Mutterlauge nach den Stellen der Abkühlung (infolge der hiebei eintretenden Kontraktion) zurückzieht. Zieht nun an einem Ende die Mutterlauge fort, so finden wir hier einen zu hohen Silbergehalt, während an der zuletzt erkalteten Stelle, wo das Eutektikum erstarrt, ein zu niedriger Silbergehalt verbleibt.

Vor allem sehen wir aus den Versuchen, daß bei der Elektrolyse ein Effekt in dem Sinne eintritt, daß sich die Konzentration des Silbers zur Kathode, die des Bleies zur Anode verschiebt. Dies



steht mit der bisher fast immer beobachteten Tatsache im besten Einklang, daß das besser leitende Metall, das die höhere Leitungskapazität besitzt, zur Kathode wandert. Es beträgt die Leitungskapazität von Ag 1·4, die von Pb 0·45.

Die Abhängigkeit des Elektrolyseneffektes von Stromdichte und Rohrlänge läßt sich an Hand der Fig. 2, in der als Ordinatus die Elektrolyseneffekte in Prozent Ag, als Abszissen die Stromdichten in Amp./mm² eingezeichnet sind, leicht übersehen. Die den Versuchen mit 20 cm langen Röhren entsprechenden Wertepaare sind mit x, die 30 cm langen Röhren entsprechenden Wertepaare mit o bezeichnet.

Wir sehen, daß die Versuchsergebnisse mit beiden Rohrlängen praktisch innerhalb der Fehlergrenze in die gleiche Kurve fallen. Wir dürfen also schließen, daß im untersuchten Längenbereich die Grenzlänge bereits erreicht war. Zum zweiten sehen wir, daß mit steigender Stromdichte der Elektrolyseneffekt ansteigt und bei der

höch noch Legi schn des l größ

mit festg prak die] bach vers wird Einfl besti tratio Einfl den Einf Konz gleic Tem fluß Tem Grur hera vers erhö. betra bei kom von

> den muß

über

effek

Verg eine

C

höchsten verwendeten Stromdichte der maximale Effekt jedenfalls noch nicht erreicht war. Die Effekte sind ähnlich wie bei den Cu-Al-Legierungen relativ klein im Vergleich zu den Versuchen mit tiefer schmelzenden Legierungen, d. h. abgesehen von der Individualität des Legierungspaares bedarf es bei höheren Temperaturen erheblich größerer Stromdichten, um die gleichen Effekte zu erzielen.

Dies scheint kein Widerspruch mit den früheren Versuchen mit Pb-Bi-Legierungen (siehe II. Mitteilung dieser Folge), bei denen festgestellt wurde, daß im Temperaturbereich von 200 bis 400° C. ein

praktischer Temperatureinfluß auf die Elektrolyseneffekte nicht beobachtet wurde. Die Konzentrationsverschiebung durch Elektrolyse wird bedingt durch zwei inverse Einflüsse, die den erreichten Effekt bestimmen: den eine Konzentrationsverschiebung bedingenden Einfluß des Potentialgefälles und 2 3 den entgegengesetzt wirkenden Einfluß der Diffusion, die den Konzentrationsunterschied auszugleichen strebt. Mit steigender Temperatur wird natürlich der Einfluß der Diffusion größer, steigende Temperatur muß also aus diesem Fig. 2. Grunde den Elektrolyseneffekt

dens

her-

der

tzen,

ilber

olge

nem

lber-

kum

ktro-

tion

Dies

ıp.

p.

en

rs-

S-

ite

us

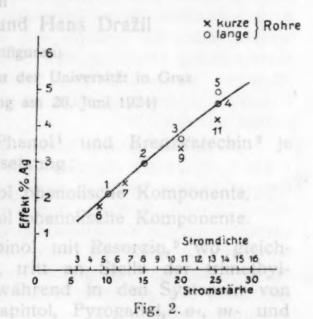
m-

en

re

re

en n. 10 nit er



herabmindern. Wenn wir nun annehmen, daß die Konzentrationsverschiebung unter dem Einflusse des Potentialgefälles infolge erhöhter Elektronenbeweglichkeit mit steigender Temperatur für sich betrachtet ansteigt, kann man sich ganz gut vorstellen, daß zunächst bei tiefen Temperaturen beide inversen Einflüsse sich nahezu kompensieren, so daß der Elektrolyseneffekt praktisch unabhängig von der Temperatur erscheint; erst bei höheren Temperaturen überwiegt der Einfluß der Rückdiffusion, wodurch der Elektrolyseneffekt kleiner wird.

Dies würde somit erklären, weshalb man bei hochschmelzenden Legierungen in der Regel zu viel höheren Stromdichten greifen muß, um nennenswerte Elektrolyseneffekte zu erreichen.

Auch hier, bei hohen Temperaturen, wird naturgemäß einer Vergrößerung des Effektes durch Stromdichtesteigerung schließlich eine maximale »Grenzstromdichte« eine Grenze ziehen.

in d

Di

zwei

falls carbin Trime

p-Nitre

Typus

System

Verbir

schwä

lageru

Maße

der of

des to

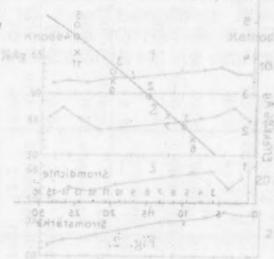
des T

ersetz

Hydro

43, 321

hogh sten gyeryendeten. Stromdichte der maximale klickt jedenfalls nicht, etreicht war, Die Effekte sindt ähplich wie heirden fatz her der gerungen relativ kleine im Vergleich zu den Versuchen mitstelle zehnetzenden Legierungspaares dedarf es ein höheren Temperaturen erheblich mann Dies nscheint Neuen-Wildersprucht mit oden erheblich mann Dies nscheint Neuen-Wildersprucht mit oden einsberen Versuchen mit Dreit der ungen stehen Wildersprucht mit oden einsberen Versuchen mit der Effekte zu erziehen mann mit der Einstelle wurde, das in Femperaturenning aufgreich wont 200 des 100°, Chein mit diektrolysenefickte nicht begeb zue nie undes mehr kan hat der der Konzentrationsnie aus nie under der Konzentrationsnie aus nie under der Konzentrationsnie and ein aboottakt unz erschie wird bedingt durch zwei inverse



wird bedingt durch zwei inverse Einflüsse die den erreichten Effekt bestimmen: den eine Konzenmatchsverschiebung bedingenden
Einfluß des Potentialgefälles und
den entgegengesetzt wirkenden
Einflüß der Diffusion, die den
konzentrationsunterschied auszugleichen strebß. Mit steigendern
gleichen strebß, Mit steigendern
inß der Diffusion größer, steigende
inß der Diffusion größer, steigende
Gemperatur muß also aus diesem
Geunde den Elektrolyseneffekt

erabmindern. Wenn wir nun annehmen, daß die Konzentrationsvelschiebung unter dem Einflüsse des Potentialgefülles infolge phöhter Elektronenbeweglichkeit mit steigender Temperatur für sich betrachtet ansteigt kann man sich ganz gut vößlehen, daß zunächst bei tiefen Temperaturen beidt sinversen Einflüsse sich nahezu kompensieren, so daß der Elektrolyseneffekt praktisch unabhängig von den Temperature erscheint erst mbeischöheren Temperaturen aberwiegt der Elektrolyseneffekt wedurcheilefteltwolysein einektiskleiser wurden 3. Ironaw abouten zus "tstisad zichsagen

Dies würde somit erklären, weshalb man bei höchschinellen den Legierungen in der Regel zu viel höheren Stromdichten greifen muß aus nennenswerte Elektrolyseneffelte zu erkeichen Index bau der Auch hier, bei höhen Temberaturen, wird haturgemäß einer Vergröberung des Effektes durch Stromdichtestelgerung schlieblich wird maximale Urenzstromdichtes eine Grenze ziehen.

Wir sehen, das die Versuchsergebnisse mit beiden Robriengen praktisch innernalb der Fehlergrenze in die gleiche Kurve fallen Wir dürfen also schlieben, das im untersuchten Längenbereich die Grenzlänge bereits erreicht war. Zum zweiten sehen wir, das intsteigender Stromdichte der Elektrofyseneffekt ansteigt und bei der

Über den Einfluß von Substitution in den Komponenten binärer Lösungsgleichgewichte

drei isomeren Dinirroben gnulisttiM .VJX nimotoluola und Trining

Die binären Zustandsdiagramme von Benzhydrol mit Phenolen und Aminen

dungstabigkeit des Benzhydrole, nov Diphenylcarbinols mit Phenoten

Robert Kremann und Hans Dražil

(Mit 4 Textfiguren)

Aus dem phys.-chem. Institut der Universität in Graz
(Vorgelegt in der Sitzung am 26. Juni 1924)

Trimethylcarbinol gibt mit Phenol¹ und Brenzkatechin² je zwei Verbindungen der Zusammensetzung:

2-Trimethylcarbinol und 1 Mol phenolische Komponente,

1-Trimethylcarbinol und 2 Mol phenolische Komponente.

Im System von Trimethylcarbinol mit Resorzin,² wo gleichfalls zwei Verbindungen vorliegen, tritt an Stelle der trimethylcarbinolärmeren die äquimolare, während in den Systemen von Trimethylcarbinol mit α- und β-Naphtol, Pyrogallol,² o-, m- und p-Nitrophenol³ nur mehr eine Verbindung vorliegt, und zwar vom Typus der trimethylcarbinolreicheren Verbindung, während im System 1, 2, 4-Dinitrophenol³ als einzige Verbindung die äquimolare Verbindung vorliegt.

Man darf sagen, daß die Einführung von OH-Gruppen in schwächerem Maße, von Nitrogruppen, beziehungsweise die Anlagerung eines zweiten Benzolringes an das Phenol in stärkerem Maße den totalen Affinitätsunterschied der beiden Komponenten der oberwähnten Systeme herabmindert.

In noch stärkerem Maße kommt es zu einer Verminderung des totalen Affinitätsunterschiedes, wenn wir die drei Methylgruppen des Trimethylcarbinols durch drei elektronegativere Phenylgruppen ersetzen, also in den Systemen von:

Triphenylcarbinol mit phenolischen Komponenten.

Hier sehen wir, daß das Triphenylcarbinol mit Brenzkatechin, Hydrochinon⁴ und m-Nitrophenol je eine Verbindung der Zusammen-

¹ Paterno u. Montemartini, Gazz. chim, 24, II, 208, 1894.

² Kremann u. Wlk, Monatshefte für Chemie. 40, 205, 1919.

³ Kremann, Mauermann, Müller II u. Rösler, Monatshefte für Chemie. 43, 321, 1922.

⁴ Kremann u. Wlk, Monatshefte für Chemie. 40, 235, 1919.

und zwar

setzung 1-Triphenylcarbinol-2-Dioxybenzol, beziehungsweise 2-Nitrophenol², mit Pyrogallol, ähnlich wie mit β-Trinitrobenzol² je eine solche der Zusammensetzung: 2-Triphenylcarbinol-3-Pyrogallol, beziehungsweise 3-Trinitrobenzol und mit Pikrinsäure² eine äquimolare Verbindung gibt, mit Phenol¹ α-, β-Naphtol, o-, p-Nitophenol² den drei isomeren Dinitrobenzolen, 1, 2, 4-Dinitrotoluol und Trinitrotoluol² keine Verbindungen im festen Zustand, sondern nur mehr einfache Eutektika gibt.

gibt

ebens

90

80

70

60

\$ 50

240

30

20

Pheno

mit d

diesen

festen

Es schien uns nun von Interesse, systematisch die Verbindungsfähigkeit des Benzhydrols, des Diphenylcarbinols mit Phenolen zu untersuchen, da zu vermuten war, daß bezüglich des Polaritätsunterschiedes die Systeme von Diphenylcarbinol mit Phenolen eine Mittelstellung zwischen den Systemen von Trimethylcarbinol und Phenolen einerseits, den Systemen von Triphenylcarbinol und Phenolen andrerseits einnehmen, und zwar näher den letzteren stehen würden.

Diese Vermutung konnte auf Grund unserer in den Figuren 1 bis 3 graphisch dargestellten Versuchsergebnissen zwar in gewisser Hinsicht bestätigt werden. Andrerseits aber ist eine besonders starke Empfindlichkeit der Verbindungsfähigkeit des Diphenylcarbinols auf die Konstitutionsänderungen der zweiten (phenolischen) Komponente nicht zu verkennen. Aus unseren Versuchen geht hervor, daß das Diphenylcarbinol mit Phenol aller Wahrscheinlichkeit nach nur eine Verbindung gibt, und zwar einwandfrei der -S pun Zusammensetzung von

1-Benzhydrol-2-Phenol,

die also in ihrer Zusammensetzung mit der trimethylcarbinolärmeren Verbindung im System Trimethylcarbinol-Phenol korrespondiert, während im System Triphenylcarbinol-Phenol keine Verbindung im festen Zustande zur Abscheidung kommt.3

In den Systemen mit α- und β-Naphtol macht sich gleichfalls einerseits die geringe Neigung des Benzhydrols zur Bildung von Verbindungen, als sie das Trimethylcarbinol zeigt, bemerkbar, sowie andrerseits die in dieser Mitteilungsfolge oft betonte geringere Einzelaffinität des α-Naphtols.

Im System β-Naphtol-Diphenylcarbinol (Benzhydrol) liegt eine Verbindung der Zusammensetzung 2-β-Naphtol-3-Diphenylcarbinol vor, während 1 Mol β-Naphtol 2 Mol Trimethylcarbinol, Triphenylcarbinol aber nicht mehr soweit zu binden vermag, daß es zur Abscheidung von Verbindungen im festen Zustand kommt.

¹ Kremann u. Wlk, Monatshefte für Chemie, 40, 235, 1919.

² Kremann, Mauermann, Müller II u. Rösler, Monatshefte für Chemie. 43, 321, 1922.

³ Schmidlin und Lang, Ber. 45, 899, 1912, haben aus ihrem Zustandsdiagramm noch die sich durch einen Umwandlungspunkt gekennzeichnete äquimolare Verbindung ersehen. Wie im experimentellen Teil ausgeführt, möchten wir uns dieser Deutung nicht anschließen. die alle effectente M. M. W. an name alle

carus

Nitro-

eine

, be-

olare

den

nitromehr

rbin-

nolen

itäts-

eine

und

und

eren

uren

ge-

ders nyl-

nen) geht

der

ren ert, im

alls on vie

el-

ne

ol vl-

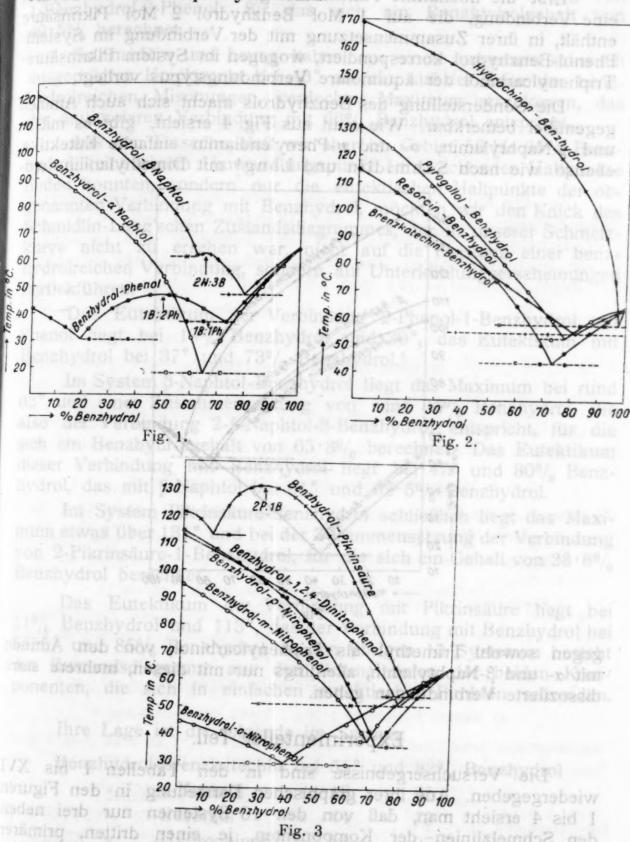
ur

ie.

S-

ns

α-Naphtol hingegen, infolge seiner geringen Einzelaffinität, gibt mit Diphenylcarbinol nur mehr ein einfaches Eutektikum, ebenso wie mit Triphenylcarbinol.

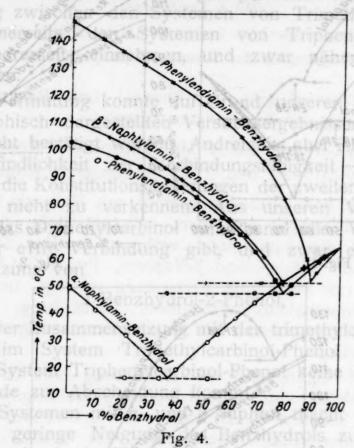


Von der Mittelstellung weicht Benzhydrol den mehrwertigen Phenolen gegenüber ab, indem es, wie im besondern Fig. 2 zeigt, mit diesen ausschließlich einfache Eutektika gibt, obschon mit diesem sowohl Trimethyl- als Triphenylcarbinol Verbindungen im festen Zustande geben.

Ebenso geben mit Benzhydrol sämmtliche Mononitrophenole und auch das 1, 2, 4-Dinitrophenol einfache Eutektika (vgl. Fig. 3).

Erst die hochaffine Pikrinsäure gibt wieder mit Benzhydrol eine Verbindung, die auf 1 Mol Benzhydrol 2 Mol Pikrinsäure enthält, in ihrer Zusammensetzung mit der Verbindung im System: Phenol-Benzhydrol korrespondiert, wogegen im System Pikrinsäure-Triphenylcarbinol der äquimolare Verbindungstypus vorliegt.

Die Sonderstellung des Benzhydrols macht sich auch Aminen gegenüber bemerkbar. Wie man aus Fig. 4 ersieht, gibt es mit aund β-Naphtylamin, o- und p-Phenylendiamin einfache Eutektika, ebenso wie nach Schmidlin und Lang1 mit Dimethylanilin, wo.



gegen sowohl Trimethyl- als Triphenylcarbinol, von den Aminen mit α- und β-Naphtylamin, allerdings nur mit diesen, mehrere stark dissoziierte Verbindungen geben.

Experimenteller Teil.

Die Versuchsergebnisse sind in den Tabellen I bis XVI wiedergegeben. Aus ihrer graphischen Darstellung in den Figuren 1 bis 4 ersieht man, daß von den 16 Systemen nur drei neben den Schmelzlinien der Komponenten, je einen dritten, primärer Krystallisation einer Verbindung entsprechenden Ast des Zustandsdiagrammes aufweisen, der in allen drei Fällen durch ein Maximum verläuft. oedo dateig existered Dateiche beschiebte obschliebte

und stand 1-Be 49.5

ausg hydr der a

hydro finde genai Schm kurve hydro

Phene Benzi

zurüc

62° 1 also sich e dieser hydro

mum von 2 Benzh

11% 54.5° das Z ponen

Gewicht

usten Zustande geben.

desem sewehl Trimethyl als Triphenyl arbinol Verbin 1 Ber. 45, 899, 1912.

nenole ig. 3). lydrol säure stem:

ninen nit aktika, Wo-

nen

tark

XVI

ren

ben irer

ds-

um

äure-

Das Maximum liegt im System Benzhydrol-Phenol bei 47:3° und rund 50%. Es entspricht in Übereinstimmung mit dem Zustandsdiagramm von Schmidlin und Lang der Verbindung von 1-Benzhydrol-2-Phenol, für das sich ein Benzhydrolgehalt von 49:5% berechnet.

Schmidlin und Lang haben aus einem ungemein schwach ausgeprägten Knickpunkt bei 43° auf ein, auf der Seite der benzhydrolreichen Mischungen, verdecktes Maximum geschlossen, das der äquimolaren Verbindung mit 66% Benzhydrol entspricht.

Aus der Tatsache, daß wir aber im Gebiet 50 bis 66% Benzhydrol keine einem Umwandlungspunkt entsprechenden Haltpunkte finden konnten, sondern nur die eutektischen Haltpunkte der obgenannten Verbindung mit Benzhydrol, möchten wir den Knick des Schmidlin-Lang'schen Zustandsdiagrammes, der in unserer Schmelzkurve nicht zu ersehen war, nicht auf die Existenz einer benzhydrolreichen Verbindung, sondern auf Unterkühlungserscheinungen zurückführen.

Das Eutektikum der Verbindung 2-Phenol-1-Benzhydrol mit Phenol liegt bei 19% Benzhydrol und 30°, das Eutektikum mit Benzhydrol bei 37° und 73% Benzhydrol.

Im System β -Naphtol-Benzhydrol liegt das Maximum bei rund 62° und einer Zusammensetzung von rund $65^{\circ}/_{0}$ Benzhydrol, die also der Verbindung 2- β -Naphtol-3-Benzhydrol entspricht, für die sich ein Benzhydrolgehalt von $65\cdot 8^{\circ}/_{0}$ berechnet. Das Eutektikum dieser Verbindung mit Benzhydrol liegt bei 47° und $80^{\circ}/_{0}$ Benzhydrol, das mit β -Naphtol bei 61° und $62\cdot 5^{\circ}/_{0}$ Benzhydrol.

Im System Pikrinsäure-Benzhydrol schließlich liegt das Maximum etwas über 131° und bei der Zusammensetzung der Verbindung von 2-Pikrinsäure-1-Benzhydrol, für die sich ein Gehalt von $28\cdot6^{\circ}/_{\circ}$ Benzhydrol berechnet.

Das Eutektikum der Verbindung mit Pikrinsäure liegt bei $11^{0}/_{0}$ Benzhydrol und 113° , das der Verbindung mit Benzhydrol bei $54\cdot 5^{\circ}$ und $85^{0}/_{0}$ Benzhydrol. In den übrigen 13 Systemen besteht das Zustandsdiagramm aus den Schmelzlinien der beiden Komponenten, die sich in einfachen eutektischen Punkten schneiden.

Ihre Lage ist die folgende im System:

Benzhydrol-Brenzkatechin bei 55° und 82% Benzhydrol

- » -α-Naphtol » 18 » 65 »
- -Resorzin » 44 » 73
 - » -Hydrochinon ** 58 * 97.5
 - » -Pyrogallol of mo » 53 vi » 78 vi 78 vi v silo » mez 4

¹ Es sei bemerkt, daß wir jeweils den beobachteten Haltpunkten das größere Gewicht beimaßen.

Benzhydrol-o-Nitrophenol bei 29° und 39% Benzhydrol
""-Nitrophenol "" 38 " 70 " " Tophenol" " 15 38 " 70 " Tophenol" " 15 38 " 70 " Tophenol" " 15 38 " 15 38 " 15 38 " 15 38 " 15 38 " 15 38 " 15 38 " 15 38 " 15 38 " 15 38 " 15 38 " 15 38 " 15 38 " 15 38 " 15 38 " 15 38 " 15 38 " 15 38 " 15 38 " 15 38 " 15 38 " 15 38 " 15 38 " 15 38 " 15 38 " 15 38 " 15 38 " 15 38 " 15 38 " 15 38 " 15 38 " 15 38 " 15 38 " 15 38 " 15 38 " 15 38 " 15 38 " 15 38 " 15 38 " 15 38 " 15 38 " 15 38 " 15 38 " 15 38 " 15 38 " 15 38 " 15 38 " 15 38 " 15 38 " 15 38 " 15 38 " 15 38 " 15 38 " 15 38 " 15 38 " 15 38 " 15 38 " 15 38 " 15 38 " 15 38 " 15 38 " 15 38 " 15 38 " 15 38 " 15 38 " 15 38 " 15 38 " 15 38 " 15 38 " 15 38 " 15 38 " 15 38 " 15 38 " 15 38 " 15 38 " 15 38 " 15 38 " 15 38 " 15 38 " 15 38 " 15 38 " 15 38 " 15 38 " 15 38 " 15 38 " 15 38 " 15 38 " 15 38 " 15 38 " 15 38 " 15 38 " 15 38 " 15 38 " 15 38 " 15 38 " 15 38 " 15 38 " 15 38 " 15 38 " 15 38 " 15 38 " 15 38 " 15 38 " 15 38 " 15 38 " 15 38 " 15 38 " 15 38 " 15 38 " 15 38 " 15 38 " 15 38 " 15 38 " 15 38 " 15 38 " 15 38 " 15 38 " 15 38 " 15 38 " 15 38 " 15 38 " 15 38 " 15 38 " 15 38 " 15 38 " 15 38 " 15 38 " 15 38 " 15 38 " 15 38 " 15 38 " 15 38 " 15 38 " 15 38 " 15 38 " 15 38 " 15 38 " 15 38 " 15 38 " 15 38 " 15 38 " 15 38 " 15 38 " 15 38 " 15 38 " 15 38 " 15 38 " 15 38 " 15 38 " 15 38 " 15 38 " 15 38 " 15 38 " 15 38 " 15 38 " 15 38 " 15 38 " 15 38 " 15 38 " 15 38 " 15 38 " 15 38 " 15 38 " 15 38 " 15 38 " 15 38 " 15 38 " 15 38 " 15 38 " 15 38 " 15 38 " 15 38 " 15 38 " 15 38 " 15 38 " 15 38 " 15 38 " 15 38 " 15 38 " 15 38 " 15 38 " 15 38 " 15 38 " 15 38 " 15 38 " 15 38 " 15 38 " 15 38 " 15 38 " 15 38 " 15 38 " 15 38 " 15 38 " 15 38 " 15 38 " 15 38 " 15 38 " 15 38 " 15 38 " 15 38 " 15 38 " 15 38 " 15 38 " 15 38 " 15 38 " 15 38 " 15 38 " 15 38 " 15 38 " 15 38 " 15 38 " 15 38 " 15 38 " 15 38 " 15 38 " 15 38 " 15 38 " 15 38 " 15 38 " 15 38 " 15 38 " 15 38 " 15 38 " 15 38 " 15 38 " 15 38 " 15 38 " 15 38 " 15 38 " 15 38 " 15 38 " 15 38 " 15 38 " 15 38 " 15 38 " 15 38 " 15 38 " 15 38 " 15 38 " 15 38 " 15 38 " 15 38 " 15 38 " 15 38 " 15
now *indeple-p-Nitrophenol dom *sb36 in *ler7319 9-lorbyoxned
-1, 2, 4-Dinitrophenol » 51 de » 81
» — α-Naphtylamin » 16 » 37·5
and weighen, Mi97 nuwgen, 15 erwecktes nimalythqaNaphussew, das
-o-Phenylendiamin * 47 * 79 * 79
» — p-Phenylendiamin » 51 » 89 »

Zu erwähnen ist noch, daß sich die Löslichkeitskurven (Schmelzlinien) von Resorzin und Brenzkatechin bei 76.5° und 50% Benzhydrol schneiden, daß also bezüglich der Löslichkeit dieser beiden Isomeren und Benzhydrol ein Fall der Ausnahme der Regel von Carnelley und Thomson¹ vorliegt.

Phonol hegt bei 190/ Benzh elleda Ta 30°, das Eutektikum mit

Das Eutektikum der Verbindung 2-Phenol-1-Benzhydrol mit

System Benzhydrol-Phenol.

a) Menge: Phenol 2.82 g. Zusatz von Benzhydrol.

Gewichtsprozent Benzhydrol.. 0.0 7.5 13.2 22.5 30.8 36.3 44.8 51.9 Temp. der prim. Krystallisation 41.5 38 35 35 34 41.51 441 46.5 46.8

b) Menge: Benzhydrol 2.15 g. Zusatz von Phenol.

Sekundäre eutektische Krystallisation bei 30°.

Benzhydrol berechnete. or or or or or or or

3 Gleichzeitig eutektische Krystallisation.

10° Benzhydrol und 113°, das der Verbindung mit Benzhydrol bei beräh und 85% Benzhydroll bilbeda Thrigenada Systemen besteht

System Benzhydrol—β-Naphthol.

a) Menge: β-Naphthol 1.59 g. Zusatz von Benzhydrol.

Gewichtsprozent Benzhydrol... 0.0 14.9 23.1 32.3 41.1 48.5 54.0 58.5 61.9 Temp. der prim. Krystallisation .121 113 107 100.5 91.5 84 77 711 62

b) Menge: Benzhydrol 1.62 g. Zusatz von β-Naphthol.

Gewichtsprozent Benzhydrol... 100 91.6 84.4 74.0 70.0 67.5 64.0 61.2 Temp. der prim. Krystallisation. 64.5 58.5 51.52 562 60 62 61.5 65

1 Es sei bemerkt, daß wir jeweils den beobachteten Haltpunkten das größer

1 Sekundäre eutektische Krystallisation bei 61°.

verläuft. , , 47°.

Gewick Temp.

Gewich

Temp.

Gewich Temp.

Gewich Temp.

> Gewich Temp.

Gewich Temp.

Gewich Temp.

Gewich Temper

Gewicht beimaßen.

¹ Journ. chem. Soc. 53, 7283, 1883.

drol

rven und ikeit

hme

51.9 16.8

4.1 6.5

.9

.2

Tabelle III.

System Benzhydrol—α-Naphthol.

a) Menge: 2-Naphthol 3.10 g. Zusatz von Benzhydrol.

Gewichtsprozent Benzhydrol.... 0.0 8.0 16.2 26.3 33.7 39.6 49.8 Temp. der prim. Krystallisation . . 95 90.5 85 77.5 71 66

b) Menge: Benzhydrol 2.99 g. Zusatz von α-Naphthol.

Gewichtsprozent Benzhydrol.....100 93.8 86.5 78.1 71.3 60.3 50.9 Temp. der primären Krystallisation 64.5 58 50 40.5 301 311 51.51

1 Sekundäre eutektische Krystallisation bei 18°.

Tabelle IV.

System Benzhydrol—Pyrogallol.

a) Menge: Pyrogallol 2.23 g. Zusatz von Benzhydrol.

Gewichtsprozent Benzhydrol..... 100 87.2 72.9 63.9 55.2 71 Temp. der primären Krystallisation. . . 65 60 601

b) Menge: Pyrogallol 2:32 g. Zusatz von Benzhydrol.

Gewichtsprozent Benzhydrol..... 0.0 12.1 27.2 38.4 Temp. der primären Krystallisation...131 122.5 109 57.5

1 Sekundäre eutektische Krystallisation bei 53°.

Tabelle V:

System Benzhydrol—Brenzkatechin.

a) Menge: Brenzkatechin 2·14 g. Zusatz von Benzhydrol.

Gewichtsprozent Benzhydrol..... 0.0 15.0 26.4 Temp. der primären Krystallisation .. 103.5 98 92 851

b) Menge: Benzhydrol 2.22 g. Zusatz von Brenzkatechin.

91.0 81.1 71.2 63.5 55.8 48.8 Gewichtsprozent Benzhydrol....100 Temp. der primären Krystallisation 64.5 60.5 552 61.51 671 72.5 77.0

- ¹ Sekundäre eutektische Krystallisation bei 55°.
- ² Gleichzeitige eutektische Krystallisation.

Tabelle VI.

System Benzhydrol-Hydrochinon.

a) Menge: Hydrochinon 2.03 g. Zusatz von Benzhydrol.

Gewichtsprozent Benzhydrol.. 0.0 10.1 18.8 25.6 33.0 40.6 46.1 53.5 Temp. der prim. Krystallisation 169 165.0 161 158 154 150 147 140

b) Menge: Benzhydrol 1.77 g. Zusatz von Hydrochinon.

Temperatur der primären Krystallisation. 64.8 75 911 1081 120 130

1 Sekundäre eutektische Krystallisation bei 58°.

Benghydroi - O Nitrophenol Tabelle VII.

System Benzhydrol-Resorzin.

a) Menge: Resorzin 1.55 g. Zusatz von	Benzhydrol.
---------------------------------------	-------------

Gewichtsprozent Benzhydrol 0.0	14.3	25.1 34.3 41.9	51.8
Temp. der primären Krystallisation 115	. 20.00	98.5 92 84.5	

b) Menge: Benzhydrol 2:30 g. Zusatz von Resorzin.

Gewichtsprozent Benzhydrol 100	93.5 86.8 78.3 68.9 66	0.3
Temp. der primären Krystallisation 64.5	60 1011 55 5 481 511 6	51

¹ Sekundäre eutektische Krystallisation bei 44.0 bis 44.2°.

Tabelle VIII.

System Benzhydrol—o-Nitrophenol.

a) Menge: o-Nitrophenol 2.99 g. Zusatz von Benzhydrol.

Gewichtsprozent Benzhydrol	0.0	5.9	16.0	26.1	35.0	42.1
Temp. der primären Krystallisation	44.5	43	39.5	35.51	32 01	32.0

b) Menge: Benzhydrol 2.00 g. Zusatz von o-Nitrophenol.

Gewichtsprozent BenzhydroI100	89.7	79.4	71.5	62.2 55.0	48.1
Temp. der primären Krystallisation 64.5	60	54	49.5	441 401	36

¹ Sekundäre eutektische Krystallisation bei 29.0°.

Tabelle IX.

System Benzhydrol—m-Nitrophenol.

a) Menge: m-Nitrophenol 2.68 g. Zusatz von Benzhydrol.

Gewichtsprozent Benzhydrol 0.0	7.5	16.4	24.5	33.4	38.2	44.0
Temp. der primären Krystallisation95	91	85.5	80.5	74	71	67

b) Menge: Benzhydrol 2.58 g. Zusatz von m-Nitrophenol.

Gewichtsprozent BenzhydroI.....100 92.5 86.6 79.7 73.4 67.4 58.6 49.6 Temp. der primären Krystallisation . 64.5 61.5 57 51 44 411 53 1 Sekundäre eutektische Krystallisation bei 38°.

Tabelle X.

System Benzhydrol—p-Nitrophenol.

a) Menge: p-Nitrophenol 2:63 g. Zusatz von Benzhydrol.

Temp. der primären Krystallisation .. 114:5 108 00 103 seida 95 12 m 90 105 82

b) Menge: Benzhydrol 1.77 g. Zusatz von p-Nitrophenol.

Gewichtsprozent Benzhydrol..100 87.7 76.7 70.5 64.4 62.2 54.5 47.4 37.2 Temp. der prim. Krystallisation 64:5 54 41:81 42 54 59 71:5 81 91

1 Sekundäre eutektische Krystallisation bei 36° namman ersbande 1

Gewic Temp.

Gewic Tempe

> Gewic Temp

Gewic Temp

Gewi Temp

Gewi Temp

Gewi

Temp

minalynday on any Tabelle XI.

System Benzhydrol—1, 2, 4-Dinitrophenol.

- a) Menge: 1, 2, 4-Dinitrophenol 2.24 g. Zusatz von Benzhydrol.

 Gewichtsprozent Benzhydrol...... 0.0 11.4 23.0 29.5 36.7 43.8 49.3

 Temp. der primären Krystallisation... 112.5 108 101 97.51 93.5 89 85.5
- b) Menge: Benzhydrol 1.74 g. Zusatz von 1, 2, 4-Dinitrophenol.

 Gewichtsprozent Benzhydrol......100 91.6 79.9 72.5 63.1 57.7

 Temperatur der primären Krystallisation 63.5 59 53 651 75.01 79.51

 Gewichtsprozent Benzhydrol.........49.6 43.7 37.8

 Temperatur der primären Krystallisation.....85 89 93
 - 1 Sekundäre eutektische Krystallisation bei 51°.

51.8

74

60.3

651

42·1 32·0

48.1

36

44.0

67

49.6

32

5.7

7.2

Tabelle XII.

System Benzhydrol-Pikrinsäure.

- a) Menge: Pikrinsäure 3.22 g. Zusatz von Benzhydrol.
- Gewichtsprozent Benzhydrol..... 0.0 6.6 16.3 20.4 24.4 27.6
- - Temperatur der primären Krystallisation...130 127 124 121.5
 - b) Menge: Benzhydrol 1.58 g. Zusatz von Pikrinsäure.
- Gewichtsprozent Benzhydrol....100 88·3 79·4 76·7 69·3 63·2 56·5 54·0 Temp. der primären Krystallisation 64·5 57 65² 70² 85 96 110 113
 - ¹ Sekundäre eutektische Krystallisation bei 113°.

Tabelle XIII.

System Benzhydrol—β-Naphtylamin.

- a) Menge: β-Naphtylamin 2·18 g. Zusatz von Benzhydrol.
- Gewichtsprozent Benzhydrol... 0.0 13.8 21.9 28.9 34.5 40.5 45.2 50.6 Temp. der prim. Krystallisation 110 104 100.5 96.0 93 88.8 86 81.51
 - b) Menge: Benzhydrol 2.41 g. Zusatz von β-Naphtylamin.
- Gewichtsprozent Benzhydrol......100 93.8 86.4 79.1 71.4 65.2 59.4 Temp. der primären Krystallisation... 64.5 61 56.5 51.2 61 68 76
 - 1 Sekundäre eutektische Krystallisation bei 51°.
 - ² Gleichzeitig eutektische Krystallisation.

Tabelle XIV.

System Benzhydrol—α-Naphtylamin.

- a) Menge: a-Naphtylamin 2.47 g. Zusatz von Benzhydrol.

b) Menge: Benzhydrol 2.54 g. Zusatz von α-Naphtylamin.

Gewichtsprozent Benzhydrol....100 93.4 86.2 77.7 68.3 61.6 55.0 51.5 Temp. der prim. Krystallisation . . 64.5 60.5 56.5 51 44 38 32.4 29.51

1 Sekundäre eutektische Krystallisation bei 16°. Ionbedange Insangeldere

b) Menge: Benzhydrof LVX elled Ton L2, 4-Dinbophenol

ter primaren Krystallisation and 112 5 108 101 97

System Benzhydrol—o-Phenylendiamin.

a) Menge: o-Phenylendiamin 2.03 g. Zusatz von Benzhydrol.

Gewichtsprozent Benzhydrol..... 0.0 6.4 16.8 25.7 35.7 40.6 46.5 Temp. der primären Krystallisation .102.5 100.5 97 93.5 88.51 86 82.5

b) Menge: Benzhydrol 2.09 g. Zusatz von o-Phenylendiamin.

Gewichtsprozent Benzhydrol......100 92.1 82.0 76 68.6 62.8 56.2 Temp. der primären Krystallisation .. 64.5 59 501 521 62.5 69

1 Sekundäre eutektische Krystallisation bei 47°.

Storge der agrimleren gier graffentien a fore 40 ... Weiterdanie financement and Tabelle XVI.

System Benzhydrol—p-Phenylendiamin.

a) Menge: Benzhydrol 1.79 g. Zusatz von p-Phenylendiamin.

Gewichtsprozent Benzhydrol..100 90.9 87.7 79.3 70.8 62.4 57.2 48.3 Temp. der prim. Krystallisation 64.5 55 60 81.51 951 104.5 109.5 116.5

b) Menge: p-Phenylendiamin 2.78 g. Zusatz von Benzhydrol.

Gewichtsprozent Benzhydrol...... 0.0 10.8 18.4 36.7 Temperatur der primären Krystallisation..147 140 136 131.5 124.5

System Benzhydrol-B-Naphtylamin.

a) Menge: \$-Naphtylamin 2:18 g. Zusatz von Benahydrol.

Gewichtsprozent Benghydrol 0.0 13:8 21:9 28:9 34:5 3 40:5 45:2 50:6

emp der prim Krystellisation 110 104 100-5 96-0 93 88-8 86 81-51

b) Menge: Benzhydrol 2'41 g. Zusatz von S-Naphtylamin.

Sowichtsprozent Benzhydrol X 1901 9 08 E 86.4 79.1 71.4 65.2 59.4

¹ Sekundäre eutektische Krystallisation bei 51°.

liegen Zustan

Essigs

I

Estern zu sein

Gedruck

in der

konnte festen

9778 diejeni eine k

Tymp der primären Krystallisation 64 5 61 56 5 512 61 68 76 1 Sekundare eutektische Krystallisation bei 51° Geithzeitig entektische Krystallisation adquilden agnaM (p.

Gewichtsgrozent Benzigdral 7. 0:0 12-8 20-2 20-7 38-0 Temp. der primären KrystallisatioNIX telladeT 103 05 05 04 Jon of System Benefity drol - x-Naphtylamine (d

Constitution of the Manual States of Tar 25 Zdeats, von Bonstitution of the day

Consisting of the Carte of the Comparatur der primären Kryställisationstatellusterid petretidage zwihnigte.

Über den Einfluß von Substitution in den Komponenten binärer Lösungsgleichgewichte

51.5 29.51

46.5

82.5

56.2 74.8

8.3

6.5

6.7

4.5

erwiesen wurde, denen nich die auf präpaktiven Wege erschlosser

XLVII. Mitteilung

Die binären Zustandsdiagramme von Säuren, beziehungsweise Estern und Phenolen

Es schien daber von In novse, durch Aufnahme

Robert Kremann, Eduard Zechner und Hans Dražil

(Mit 7 Textfiguren)

Aus dem physikal.-chem. Institut der Universität Graz (Vorgelegt in der Sitzung am 3. Juli 1924)

Die Komponenten der Systeme von Säuren, beziehungsweise Estern mit Phenolen, sowie Alkoholen scheinen im allgemeinen inert zu sein. Denn in den Systemen von

α-Monochloressigsäure—Äthylalkohol¹

β-Monochloressigsäure—Äthylalkohol¹

Propionsäure—Methylalkohol²

Methoxyzimtsäure—Hydrochinon³

Essigsäure-Thymol⁴ und

Diacetyltartrat—Phenol⁵

liegen einfache Eutektika vor und in dem ausgearbeiteten Teil der Zustandsdiagramme der Systeme:

Essigsäure—Methylalkohol (ausgearbeitet bis 58·3% Methylalkohol)6

- -Äthylalkohol 3 3 3 3 6 Äthylalkohol) 6
- » 81·1 Propylalkohol)6 -Propylalkohol

konnte kein Anhaltspunkt für die Existenz von Verbindungen im festen Zustande ersehen werden.

Eine Ausnahme machen von den untersuchten Systemen diejenigen, welche Oxalsäure, beziehungsweise Diaethyloxalat als eine Komponente enthalten, indem die Existenz der Verbindungen:

1 Oxalsäure—1 Phenol7

1 Oxalsäure—1 m-Kresol⁷

exalat ent eiger R

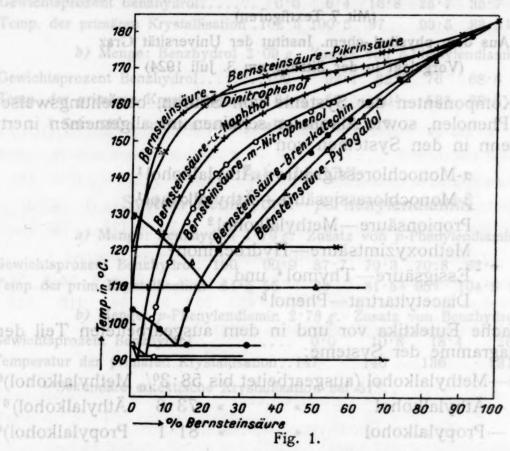
- 1 Mameli u. Mannesier, Gaz. chim. 43, II, 586, 1913.
- ² Baume u. Pamfil, C. r. 155, 426, 1912.
- 3 de Kock, Z. f. phys. Chem. 48, 129, 1904.
- 4 Paternò u. Ampola, Gaz. chim. 27, 481, 1897.
- ⁵ Scheuer, Z. f. phys. Chem. 72, 528, 1910.
- 6 Pickering, Journ. chem. Soc. 63, 998, 1893.
- 7 Schmidlin u. Lang, Ber. 45, 899, 1912.

erwiesen wurde, denen sich die auf präparativen Wege erschlossene Verbindung: 1 Diäthyloxalat—1 Hydrochinon 1

anschließt.

Wir dürfen. zunächst sagen, daß es sich dabei um eine spezifische Eigenschaft der Oxalsäure oder vielleicht zweibasischen Säuren überhaupt handelt. Dagegen können stark negativierte Säuren, wie Trichloressigsäure mit Phenol, o-, m- und p-Kresol2 zu äquimolaren Verbindungen zusammentreten.

Es schien daher von Interesse, durch Aufnahme von Zu. standsdiagrammen von Systemen von Säuren, beziehungsweise



Estern mit Phenolen ein weiteres Untersuchungsmaterial beizubringen.

Nom Säuren wurde Zimmtsäure und als Vertreter der zweibasischen Säuren Bernsteinsäure ins Bereich der Untersuchung gezogen, da die Systeme mit Oxalsäure infolge ihrer Zersetzlichkeit sich schwer exakt untersuchen ließen. Was die Systeme von Estern mit Phenolen anlangt, wurden die Zustandsdiagramme von Dimethyloxalat mit einer Reihe von Phenolen sowie solche von Diäthyloxalat mit einzelnen Phenolen aufgenommen.

I. Die Systeme von Bernsteinsäure mit Phenolen.

Es wurden die Zustandsdiagramme von Bernsteinsäure mit Phenol, m- und p-Nitrophenol, 1, 2, 4-Dinitrophenol, Pikrinsäure,

1 Bayer u. Villiger, Ber. 35, 1211, 1900.

dunge

schlief

eutekt

- und

allol

regebe

ebrac

keinen

Gewich Temper

Gewich Temper

² Kendall, Journ. Amerik. chem. Soc. 38, 1309.

- und β-Naphtol, Brenzkatechin, Resorzin, Hydrochinon und Pyrogallol aufgenommen.

Die Versuchsergebnisse sind in den Tabellen I bis XI wiederregeben und in den Figuren 1 und 2 zur graphischen Darstellung rebracht.

Wie man aus den Zustandsdiagrammen ersieht, kommt es in keinem der untersuchten Systemen zur Abscheidung von Verbin-

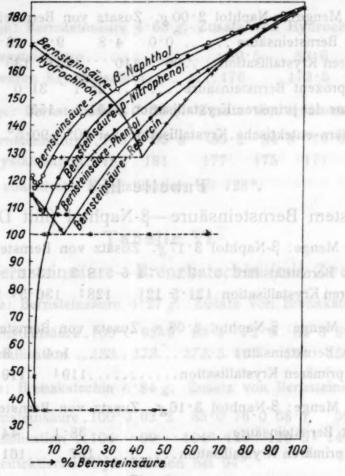


Fig. 2.

dungen im festen Zustande. Die Zustandsdiagramme bestehen ausschließlich aus den Schmelzen der Komponenten, die sich in einfachen eutektischen Punkten schneiden.

Tabelle I.

System Bernsteinsäure—Phenol (mit Dražil).

a) Menge: Phenol 6.22 g. Zusatz von Bernsteinsäure. Gewichtsprozent Bernsteinsäure 0 2 6.7 9.8 14.9 23.7 Temperatur der primären Krystallisation 41 481 1001 109 119 1301 138

Gewichtsprozent Bernsteinsäure...... 46.3 no 54.5 no 60.9 no no bernsteinsäure...... Temperatur der primären Krystallisation...1511 155 160

b) Menge: Bernsteinsäure 7.76 g. Zusatz von Phenol. Gewichtsprozent Bernsteinsäure 100 97.1 92.8 82.9 72.8 Temperatur der primären Krystallisation... 183 181 179 172.5 167

1 Sekundäre eutektische Krystallisation bei 36°.

izu-

druck.

ossene

e spe-

ischen

ivierte resol

1 Zu-

weise

weiung keit tern

hylhyl-

mit ire,

erary 9- bour admidsenby Hamis Tabelle III. takeneray lottigal de bour

Verbindu	System	Bernsteinsäure—a-Naphtol	(mit Zechner).
wieder-	IX sid I	mess sind in den Tabellen	Die Versuchsergeb

a) Menge: Bernsteinsäure	2.00 g.	Zusatz	von α-Napht	tol.
Gewichtsprozent Bernsteinsäure 100	95.2	90.9	87.0 83.	3 76.9 74.1
Temp. der prim. Krystallisation 183	181	179	177.5 176	174 / 173
Gewichtsprozent Bernsteinsäure 69	0 64	5 158	8.8 52.4	47.6 43.5
Temp. der primären Krystallisation . 170	51 168	.5 16	71 165	162.51 161

b) Menge: a-Naphtol 2.00 g. Zusat	z von Bernsteinsäure.	
Gewichtsprozent Bernsteinsäure 0.0 4.8	8 9.1 13.0 16.7	23.1
Temp. der primären Krystallisation 96 110	1251 135 1401 14	181
Gewichtsprozent Bernsteinsäure	25.1 31.0 35.5	

Temperatur der primären Krystallisation . . 151 155 157 51°

Sekundäre eutektische Krystallisation bei 90°—90.5°.

Tabelle III.

System Bernsteinsäure-β-Naphtol (mit Dražil).

a) Menge: β-Naphtol 3.1	7 g. Zu	satz von	Bernst	einsäure		
Gewichtsprozent Bernsteinsäure 0	4.5	8.3	13.1	19.1	21.7	31.5
Temp. der primären Krystallisation. 121.	5 121	1281	136.51	143	145	153

120

b) Menge: β-Naphtol 2.08 g. Zusatz von Bernstein	nsäure.	
Gewichtsprozent Bernsteinsäure 1.4 3.0	8 28.5	38.2
Temperatur der primären Krystallisation	150.5	157

c) N	Menge: β-Naphtol 3·16 g.	Zusatz von B	ernsteinsä	ure.	
Gewichtsprozent 1	Bernsteinsäure	38·1	44.9	53.4	64.8
Temperatur der pr	imären Krystallisation	157	161	165	170

d) Menge: Bernsteinsäure	2·64 g.	Zusatz von β-Naphtol.
Gewichtsprozent Bernsteinsäure	100	92.0 85.5 78.7 72.9
Temperatur der primären Krystallisation	183	181 mg 178.5 176.0 173
1 Sekundäre eutektische Krystalli-	sation b	allektischen Punkten senti-is

Tabelle IV.

Sauren Bernsteinsäugziege TBereich der Unter

System Bernsteinsäure-Resorzin (mit Dražil.

a) Menge: Resorzin	3.41 g.	Zusa	tz von	Bernstei	insäure.	sedula;	
Gewichtsprozent Bernsteinsäure	0.0	5.5	11.2	22.3	43.4	39.7	46.9
Temp. der prim. Krystallisation1	15 1	09.51	102	1161	1431	138	146

b) Menge: Bernsteinsäure 6.29	g.	Zusatz	von	Resorz	in.	4
Gewichtsprozent Bernsteinsäure	.100	96.	1	90.3	80.7	65.3
Temperatur der primären Krystallisation	. 183	3 179.	9 1	76:5	170.5	159.81
1 Sekundäre eutektische Krystallisation	bei	100°.	tekti	บอ ธามี	Sekund	1

Gewich Temp.

Gewich Temper

Gewich Temp.

Gewicht Temp. d

Gewicht Temp. d

161

Gewicht

Gewich: Temper

Cher

Tabelle V.

System Bernsteinsäure-Hydrochinon (mit Dražil).

a) Menge: Hydrochinon 5.06 g	Zusat	z von B	ernsteins	säure.	
Gewichtsprozent Bernsteinsäure 0	4.8	11.3	20:4	28.6	36.6
Temp. der primären Krystallisation 169 · 5	165.5	161-51	157	150	1391
Gewichtsprozent Bernsteinsäure	44	3 49	6 5	6:7 doiwe	G
Temp, der primären Ktystallisation	133	5 140	5 1	49.5	T

b) Menge: Bernsteinsäure 4.68 g Zusatz von Hydrochinon.	
Gewichtsprozent Bernsteinsäure 89.5 83.6 76.8 66.1	-
Temperatur der primären Krystallisation	

c) M	enge: Bernsteinsäure	7·23 g.	Zusatz	von Hydrochi	inon.	
	Bernsteinsäure 100 Krystallisation 183					
Toll Street	ire eutektische Krysta					

Tabelle VI.

System Bernsteinsäure-Brenzkatechin (mit Zechner).

a) Menge: Bernsteinsäure 4.27 g. Zusatz von Brenzkatechin.

Gewichtsprozent Bernsteinsäure.100.0 92.9 83.4 72.9 64.6 59.4 53.6 49.1

Temp. der prim. Krystallisation ..183 178 173.5 167 161 156.5 152 147

b) Menge: Brenzkatechin 4.84 g. Zusatz von Bernsteinsäure.

Gewichtsprozent Bernsteinsäure, 100.0 92.2 85.0 76.0 68.1 59.0 52.3 46.9

Temp. der prim. Krystallisation .. 104 99 104.1 120 129.5.1 140 146.5 151.5

1 Sekundäre eutektische Krystallisation bei 94°.

. Tabelle VII. onedquille and Tabelle VII.

System Bernsteinsäure-Pyrogallol (mit Zechner).

a) Menge: Bernsteinsäure 3.44 g.	Zusatz	von Pyrog	gallol.	Plantol,
Gewichtsprozent Bernsteinsäure 100.0	94.0	82.5	75.7	67.5
Temperatur der primären Krystallisation. 183	179.5	172	167	161.5
Gewichtsprozent Bernsteinsäure	61.5	57.6	53.2	
Temperatur der primären Krystallisation.	156	152 19321	148	Syst

b) Menge: Pyrogallol 2.44 g. Zus	atz von	Bernsteins	aure.	
Gewichtsprozent Bernsteinsäure 0.0	6.9	172.2	28.7	42.0
Temperatur der primären Krystallisation.130	125	117	121	136
Gewichtsprozent Bernsteinsäure	50-7	58.0	63.0	
Temperatur der primären Krystallisation.	1461	152	157	jewichtsp

1 Sekundäre eutektische Krystallisation bei 110°.

27

Chemieheft Nr. 7 und 8.

74·1 173 43·5 161

23·1 1481

31·5 153

38·2

64·8 170

72·9

46·9 46

5·3 9·81

Tabelle VIII.

System p-Nitrophenol—Bernsteinsaure (mit Drazi)	System	p-Nitrophenol-Bernsteinsäure	(mit Dražil
-------------------------------------------------	--------	------------------------------	-------------

a) N	lenge: p-Nitropheno	1 6.88 g.	Zusatz	von E	Jernsteins	säure.	
Gewichtsprozent	Bernsteinsäure	4-1	0	· 5	10.0	112.9	ď,

Temp. der primären Krystallisation.....114.5 108.7 120.51 1261 132

Gewichtsprozent Bernsteinsäure 19.9 29.2 39.0 Temperatur der primären Krystallisation 137

b) Menge: p-Nitrophenol 4.84 g. Zusatz von Bernsteinsäure.

Gewichtsprozent Bernsteinsäure ... 50.6 57.4 64.1 70.6 76.6 80.8 Temp. der prim. Krystallisation .. 161.5 165 168.5 171.5 174 175.5

c) Menge: Bernsteinsäure 6.30 g. Zusatz von p-Nitrophenol.

Gewichtsprozent Bernsteinsäure100 96.5 92.7 87.8 82.3

Temperatur der primären Krystallisation ..183 182 180.5 179 176

1 Sekundäre eutektische Krystallisation bei 107° derinatus eräbnung 1

Tabelle IX.

System Bernsteinsäure - m-Nitrophenol (mit Zechner).

a) Menge: Bernsteinsäure 4.70 g. Zusatz von m-Nitrophenol.

Gewichtsprozent Bernsteinsäure..... 62.5 54.0 47.5 Temperatur der primären Krystallisation 162 160 156

b) Menge: m-Nitrophenol 3.49 g. Zusatz von Bernsteinsäure.

Gewichtsprozent Bernsteinsäure.. 0.0 6.4 16.3 25.4 33.6 42.1 48.8 54.7 Temp. der prim. Krystallisation.. 95.0 105 131.5 144 150 155 158 161

c) Menge: p-Nitrophenol 3.02 g. Zusatz von Bernsteinsäure.

Gewichtsprozent Bernsteinsäure 0.0 5.6 10.6 15.2 19.2 23.0 Temp. der prim. Krystallisation 96 1011 117 1281 1361 1411

1 Sekundäre eutektische Krystallisation bei 91.5°.

Tabelle X. Xatallisa X. Tabelle X.

Gewichtsprozent Bernsteinsäure . . 17. . . 190; 97 94.0

Chemienelt Mr. 7 and 8.

82-5

67.5

System Bernsteinsäure -1, 2, 4-Dinitrophenol (mit Zechner).

a) Menge: Bernsteinsäure 4.27 g. Zusatz von 1, 2, 4-Dinitrophenol.

Gewichtsprozent Bernsteinsäure100.0 90.1 78.0 69.1 63.0 54.9 47.6

Temp. der prim. Krystallisation183 178 174 172 171 169 167.5

b) Menge: Dinitrophenol 4:31 g. Zusatz von Bernsteinsäure.

Gewichtsprozent Bernsteinsäure 0.0 6.3 13.9 23.8 35.8 46.2 52.8 Temp. der prim. Krystallisation112 148 158 162.5 166.0 167.5 169

Gewic Temp

Gewic Temp.

Gewic Tempe

Berns

in de geht a- un p- un

absch

Mel

STILL

Zimmisaure Pyrogallo.IX elleda Tabelle XI.ollagory - suparments Ver-

System Bernsteinsäure-Pikrinsäure (mit Zechner).

a) Menge: Bernsteinsäure 3.05 g. Zusatz von Pikrinsäure.

Gewichtsprozent Bernsteinsäure ... 100.0 90.2 70.5 56.0 51.3 945.2 40.8

Temp. der primären Krystallisation . 183.0 179 175 1731 171 170 1691

b) Menge: Pikrinsäure 3.64 g. Zusatz von Bernsteinsäure.

Gewichtsprozent Bernsteinsäure.. 0.0 8.0 19.2 26.2 36.0 41.1 44.0

Temp. der prim. Krystallisation..121.5 147.5 160 165.1 168.0 168.5 169.5

1 Sekundäre eutektische Krystallisation bei 121°.

17.0

132

80.8

175.5

82·3

65.7

66

54.7

23.0

111

7.5

2.8

61

Ihre Lage ist die folgende: Im System

bei 36° und 1.50/ Bernsteinsäure, Bernsteinsäure-Phenol -p-Nitrophenol »107 » 4·5 »117 » 2·5 -β-Naphtol >100 » 12·5 -Resorzin -Hydrochinon »128 » 41 » 90·5 » 2 -α-Naphtol » 91·5 » 4 -m-Nitrophenol -Brenzkatechin » 94 » 13·5 ·110 » 21 -Pyrogallol -1, 2, 4-Dinitrophenol »111 1 »121 -Pikrinsäure 0

II. Die Systeme von Zimmtsäure mit Phenolen.

Aus den in den Tabellen XII bis XXIII wiedergegebenen und in den Figuren 3 und 4 graphisch dargestellten Versuchsergebnissen geht hervor, daß in den Systemen von Zimmtsäure mit Phenol, α - und β -Naphtol, Pyrogallol, Hydrochinon, Resorzin, Brenzkatechin, p- und o-Nitrophenol keine Verbindungen im festen Zustand sich abscheiden, sondern nur einfache Eutektika vorliegen.

Ihre Lage ist die folgende: Im System

Zimmtsäure-Phenol bei	29° und	15% Zimmtsäure
p-Nitrophenol "	83	39 Hual bd seischen 28
» —β-Naphtol »	87. »	dach durch ein 184
Resorzin Resorzin	87»	die sich eiff Gehalt 14
hnmiX > 922 b Hydrochinon Was	179 m	tikum der 4 erbindut8
tsaure belothqaNa-Naphtolog	6811X sim	säure zum Kutektiku76

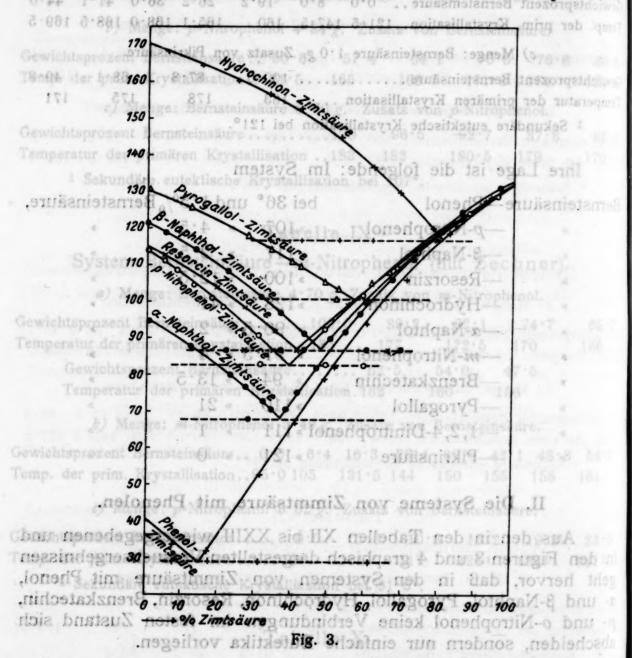
Zimmtsäure—Pyrogallol bei 101° und 56°/₀ Zimmtsäure

Brenzkatechin 39 81 Manie 46 8 mora 28

» — o-Nitrophenol » 42 » 11

Abweichend verhalten sich die Systeme von Zimmtsäure mit Pikrinsäure sowie mit 1, 2, 4-Dinitrophenol und m-Nitrophenol.

In diesen drei Fällen schiebt sich, wie man im besonderen aus Fig. 4 ersieht, zwischen die Schmelzlinien der Komponenten



je ein dritter primärer Abscheidung einer Verbindung beider Komponenten entsprechender Ast des Zustandsdiagrammes ein.

Derselbe läuft im System Pikrinsäure—Zimmtsäure ungemein flach durch ein Maximum bei 106.5° und bei der Zusammensetzung einer äquimolaren Verbindung beider Komponenten, für die sich ein Gehalt von 39.3% Zimmtsäure berechnet, vom Eutektikum der Verbindung mit Pikrinsäure bei 103° und 22% Zimmtsäure zum Eutektikum mit Zimmtsäure bei 105° und 50% Zimmtsäure.

zieht zeitig Krys Verb

bind

der

zwis Hori

Zimi

Grwi

im S

bind ersc

pher folgt würd e mit deren enten

m-

ein

enfür

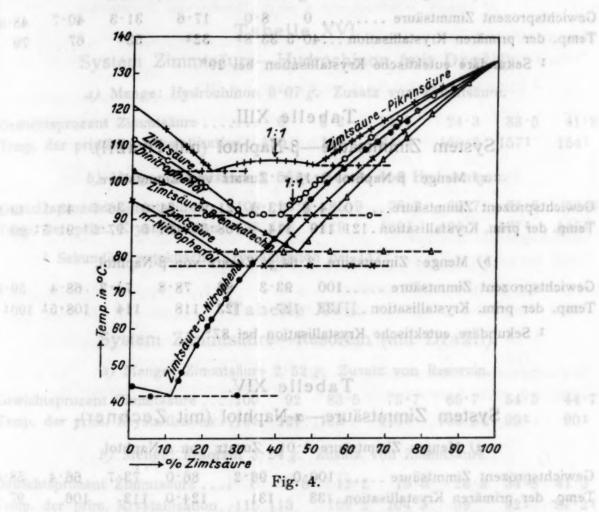
k-

nt-

re.

ure

Zimmtsäure und Pikrinsäure geben also eine äquimolare Verbindung, die im Schmelzsluß stark dissoziiert ist. Die Dissoziation der Verbindungen von Zimmtsäure mit 1, 2, 4-Dinitrophenol, beziehungsweise m-Nitrophenol ist so weitgehend, daß bei gleichzeitiger Verminderung des Konzentrationsbereiches der primären Krystallisation der Verbindung, das primärer Krystallisation der Verbindung entsprechende Stück der Schmelzlinie praktisch eine



zwischen den beiden Eutektika gleicher Temperatur verlaufende Horizontale darstellt. Dieses Stück liegt im System:

Zimmtsäure—m-Nitrophenol bei 77.5° und zwischen 29 bis 36°/₀
Zimmtsäure,

im System Zimmtsäure—1, 2, 4-Dinitrophenol bei 91° und zwischen 30 bis 41% Zimmtsäure.

Es läßt sich in diesen Fällen die Zusammensetzung der Verbindung naturgemäß nicht exakt ermitteln. Aus Analogiegründen erscheint der Schluß auf Äquimolarität dieser Verbindungen erlaubt.

Für eine äquimolare Verbindung von Zimmtsäure und Dinitrophenol errechnet sich ein Zimmtsäuregehalt von 44.5%, woraus folgt, daß die äquimolare Verbindung nicht homogen schmelzen würde.

Dissoziation

eine äquimalares Ver-	rigala	Tabelle XII.	Zimmtsällie onid
-----------------------	--------	--------------	------------------

tion	Dissozia	System	Phenol-	Zimmtsäure	(mit	Dražil).
-90	.lonshqo	4-Dimitro	mit 1.2	Zummtsäure	TO.	Verbindungen, N

doielg ied da) Menge: Zimmtsäure 1.52 g. Zusatz von Phenol.

Temperatur der primären Krystallisation...133.0 119 106 941 82

b) Menge: Phenol 2.28 g. Zusatz von Zimmtsäure.

Gewichtsprozent Zimmtsäure 0 8.0 17.6 31.3 40.7 48.6 Temp. der primären Krystallisation ... 40.5 33.81 531 321 67 79

1 Sekundäre eutektische Krystallisation bei 29°.

Tabelle XIII.

130

50

System Zimmtsäure—β-Naphtol (mit Dražil).

a) Menge: β-Naphtol 2:15 g. Zusatz von Zimmtsäure.

Gewichtsprozent Zimmtsäure .. 0 4.8 13.6 21.9 31.0 36.7 43.1 49.8 Temp. der prim. Krystallisation . 121 119 114 108 · 51 101 · 5 97 · 51 91 · 51 90

b) Menge: Zimmtsäure. 2.64 g. Zusatz von β-Naphtol.

Gewichtsprozent Zimmtsäure 100 93.3 86 78.8 74.2 68.4 59.8 Temp. der prim. Krystallisation . . . 133 127 123 118 114 2 108 - 51 1001

Sekundäre eutektische Krystallisation bei 87°.

Tabelle XIV.

System Zimmtsäure—a-Naphtol (mit Zechner).

a) Menge: Zimmtsäure 4.01. Zusatz von α-Naphtol.

Gewichtsprozent Zimmtsäure 100.0 96.2 86.0 73.7 66.4 58.5 Temp. der primären Krystallisation . 133 124.0 106 97 112 Gewichtsprozent Zimmtsäure54.6 47.0 38.0 32.3 73.01 Temp. der primären Krystallisation . . 921 70.51 821

b) Menge: α-Naphtol 5.6 g. Zusatz von Zimmtsäure.

Gewichtsprozent Zimmtsäure0.0 12.0 23.7 28.0 41.5 34.5 Temp. der primären Krystallisation. 95.0 88 80 771 71

1 Sekundäre eutektische Krystallisation bei 68°.

je ein dritter primärer Abscheidun Es salt seich in diese.VX alledaTZusammensetzung ziene Verg

ois 41% Zimmtsaure.

System Zimmtsäure—Brenzkatechin (mit Zechner).

a) Menge: Brenzkatechin 2.03 g. Zusatz von Zimmtsäure.

Gewichtsprozent Zimmtsäure 0.0 8.6 18.8 26.8 36.2 41.9 48.6 Temp. der prim. Krystallisation . . 103.5 100 95.5 91.51 86.5 83.01 84.0

1) Sekundäre eutektische Krystallisation 81°.

Gewic Tempe

Gewic Temp.

Gewic Temp.

Gewic Temp

Gewie Temp

Gewi Temp

Gewi Temp 50·9 82 48·6 79

49·8 1 90

59·8 1001

58·5 97

41·5 75 8·6 4·0

Binäre Zustandsdiagramme von Säuren.	365
3) Menge: Zimmtsäure 2.27 g. Zusatz von Brenzkatechin.	
Gewichtsprozent Zimmtsäure	68.6
Gewichtsprozent Zimmtsäure	
1 Sekundäre eutektische Krystallisation bei 81°.	Temp
5) Menge: p-Nitrophenot 4,48 gr Zusatz von Zimmtsaure.	
Tabelle XVI.	Gewig
System Zimmtsäure-Hydrochinon (mit Dražil).	
a) Menge: Hydrochinon 9.07 g. Zusatz von Zimmtsäure.	
Gewichtsprozent Zimmtsäure 0 5.2 14.7 24.3 33.5	41.8
Temp. der primären Krystallisation 170 168 164.3 160.5 1571	1541
b) Menge: Zimmtsäure 2.55 g. Zusatz von Hydrochinon.	
Gewichtsprozent Zimmtsäure 100 93.8 85.9 78.2 69.7 61.5	52.6
Temp. der prim. Krystallisation 133 128 119 1201 130 1371	1451
1 Sekundäre eutektische Krystallisation bei 117°.	Temp
Gewichtsprozent Zimmtsäure 59 8 53 5 48 8	
Temperatur des primares IVabelle XVII.	
System Zimmtsäure-Resorzin (mit Dražil).	
a) Menge: Zimmtsäure 2.52 g. Zusatz von Resorzin.	Gewic
Gewichtsprozent Zimmtsäure 100 92 83.5 75.7 65.7 54.5	
Temp. der prim. Krystallisation 133 127 122 1161 108.51 991	901
b) Menge: Resorzin 3.24 g. Zusatz von Zimmtsäure.	
Gewichtsprozent Zimmtsäure 0 5.8 12.2 19.6 26.8 34.8	41.3
Temp. der prim. Krystallisation115 113 109.2 104.3 99 921	87.21
¹ Sekundäre eutektische Krystallisation bei 87°.	
Gewichtsprösent Zimmtslige / 127/2/ 44 h 49 8 7 78 8 02 1	
der geim Krystallisation . 133 126 120 115 109 104 100 30	
System Zimmtsäure—Pyrogallol (mit Zechner).	
a) Menge: Zimmtsäure 3.60 g. Zusatz von Pyrogallol.	
Gewichtsprozent Zimmtsäure 100·0 92·3 81·8 66·7 60·0 53·6 Temp. der prim. Krystallisation 133 126 118·0 107·5¹ 104¹ 103¹	48·6 1061
b) Menge: Pyrogallol 3.93 g. Zusatz von Zimmtsäure.	
Gewichtsprozent Zimmtsäure 0.0 12.6 27.2 34.5 Temperatur der primären Krystallisation .130.5 126 118 1151	
Gewichtsprozent Zimmtsäure	
1 Sekundäre eutektische Krystallisation bei 101°.	

108.51

48.0

Menge: Zimmis XIX Tabelle XIX.

System Zimmtsäure - p-Nitrophenol (mit Dražil).

a) Menge:	Zimmtsäure	2.24 g.	Zusatz	von	p-Nitrophenol.	Ger
-----------	------------	---------	--------	-----	----------------	-----

Gewichtsprozent	Zimmtsäure100	95	87.2	77.0	67.9	59.2	49.0
	Krystallisation 133						- 1

b) Menge: p-Nitrophenol 4.49 g. Zusatz von Zimmtsäure.

Gewichtsprozent Zimmtsäure 0 4.8 8.7 12.8 18.0 21.1 30.7 Temp. der prim. Krystallisation ... 114 111 108.5 104.5 101.0 98.51 91.11

1 Sekundäre eutektische Krystallisation bei 83°.

ewichtsprozent Zimmtsäure ... JIK collegge 14.7 24.8 78.5 41.1

System Zimmtsäure-m-Nitrophenol (mit Zechner).

a) Menge: Zimmtsäure 5.61 g. Zusatz von m-Nitrophenol.

Gewichtsprozent Zimmtsäure100.0	88.7	82.3	74.7	66.2
Temp. der primären Krystallisation 133	124.5	120	133.5	1071
Gewichtsprozent Zimmtsäure	59.8	53.5	48.6	

Gewichtsprozent Zimmtsäure 59·8 53·5 48·6
Temperatur der primären Krystallisation .. 101¹ 95·5¹ 90·0¹

b) Menge: m-Nitrophenol 5.20. Zusatz von Zimmtsäure.

Gewichtsprozent Zimmtsäure0:0 14:7 23:0 29:6 37:5 44:2 50:2 Temp. der prim. Krystallisation...95 87 82 77:51 77:51 86 911

1 Sekundäre eutektische Krystallisation bei 77.5°.

Tabelle XXI.

b) Menge Resorzin 3 24 g. Zusatz von Zimmisaure

System Zimmtsäure-o-Nitrophenol (mit Zec'hner).

a) Menge: Zimmtsäure 4.94 g. Zusatz von o-Nitrophenol.

Gewichtsprozent Zimmtsäure 100 88·3 78·3 72·0 64·1 57·8 53·5 49·0 Temp. der prim. Krystallisation ... 133 126 120 115 109 104 106 96

b) Menge: o-Nitrophenol 6.64 g. Zusatz von Zimmtsäure.

Gewichtsprozent Zimmtsäure 0·0 13·4 22·2 29·3 33·5 39·2 43·8¹
Temp. der prim. Krystallisation ... 44·5 46 63 73·5 78·5 85 90

c) Menge: Zimmtsäure 2.36 g. Zusatz von o-Nitrophenol.

Gewichtsprozent Zimmtsäure 79.0 75.5 71.0 67.3

Temp. der primären Krystallisation ... 120 71.0 114 111

1 Sekundäre eutektische Krystallisation bei 64°.

Gewick Tempe

Gewic Temp

Gewice Temp

Gewie

Gewi

Gew

Gew

remperate

30·7 1 91·11

wicht

66·2 1071

50·2 911

49·0 96

3·81 0

83·1 23

d) Menge: o-Nitrophenol 2.00 g. Zusatz von Zimmtsäure.
Gewichtsprozent Zimmtsäure 0·0 5·2 9·9 14·2 18·0 Temperatur der primären Krystallisation 44·5 —1 481 561
Gewichtsprozent Zimmtsäure
1 Sekundäre eutektische Krystallisation bei 42:0°.
Tabelle XXII.
System Zimmtsäure—1, 2, 4-Dinitrophenol (mit Zechner).
a) Menge: Zimmtsäure 3:51 g. Zusatz von Dinitrophenol.
Gewichtsprozent Zimmtsäure
Temp. der primären Krystallisation 107.0 1011 90096 811 19010 1010
b) Menge: Dinitrophenol 3.32 g. Zusatz von Zimmtsäure.
Gewichtsprozent Zimmtsäure 0.0 9.7 18.4 26.8 36.0 43.1 50.1 Temp. der prim. Krystallisation 112 106 100 951 91 94 100.01
c) Menge: Dinitrophenol 2:00. Zusatz von Zimmtsäure.
Gewichtsprozent Zimmtsäure 0.0 16.7 20.0 23.1 20.28.6
Temp. der prim. Krystallisation112 101 99.01 971 931
Gewichtsprozent Zimmtsäure33·3 41·9 47·4 51·2 Temp. der primären Krystallisation.91 91 97¹ 101¹
1 Sekundäre eutektische Krystallisation bei 91°.
und 6 zur grachischen Datstellung gehracht.
Man sight dab in dab in dab in dab in dab
System Pikrinsäure—Zimmtsäure (mit Zechner).
a) Menge: Pikrinsäure 3.00 g. Zusatz von Zimmtsäure.
Gewichtsprozent Zimmtsäure 0.0 19.3 23.5 28.6 32.1 39.4 Temp. der prim. Krystallisation 121.5 105.51 104 1051 106 106.5
Gewichtsprozent Zimmtsäure
Temperatur der primären Krystallisation. 106 1052 109 1133
b) Menge: Zimmtsäure 3.27 g. Zusatz von Pikrinsäure.
Gewichtsprozent Zimmtsäure
c) Menge: Pikrinsäure 5.44 g. Zusatz von Zimmtsäure.
Gewichtsprozent Zimmtsäure 0.0 8.9 14.6 20.5 28.4
Temperatur der primären Krystallisation. 121:5 115 110 105 105
Gewichtsprozent Zimmtsäure 35·2 42·2 48·2 53·1 Temperatur der prim. Krystallisation. 106 106 105·5 107
 Sekundäre eutektische Krystallisation bei 103°. Eutektische Krystallisation. Sekundäre eutektische Krystallisation bei 105°.

d) Menge: Pikrinsäure 2.00 g. Zusatz von Zimmtsäure.

Gewichtsprozent Zimmtsäure 0.0	16.7	20.0	25.9	31.0	35.3
Temperatur der prim. Krystallisation. 121.5	108	1051	del prima	105:5	106
Gewichtsprozent Zimmtsäure 39:4	44:4	50.0	55.6	0.0	65.5
Temp. der prim. Krystallisation 106.5	1062	210	1092 11	1.52	1152

1 Sekundäre eutektische Krystallisation bei 103°.

2 . Menge: p-Nitroppexx offed a Tesatz vi

Vom valenzchemischen Standpunkt darf aus der Tatsache, daß Bernsteinsäure mit Phenolen in keinem der untersuchten Fälle Verbindungen im festen Zustand gibt, vermutet werden, daß bei den Verbindungen von Zimmtsäure mit den obgenannten nitrierten Phenolen nicht die Carboxylgruppe den Träger der Verbindungsfähigkeit darstellt, sondern die eine ungesättigte Bindung (Doppelbindung) tragende Seitenkette.

Andrerseits ist es wenig wahrscheinlich, daß die Restfelder der OH-Gruppen der Phenole hier wirksam sind, indem es zur Bildung von Verbindungen im festen Zustand erst dann kommt, wenn Nitrogruppen eingeführt werden, und zwar wird, wie wir oben sahen, die Affinität der Komponenten mit steigender Zahl der Nitrogruppen sichtlich größer.

III. Die Systeme von Dimethyloxalat mit Phenolen.

Die Versuchsergebnisse mit diesen Systemen sind in den Tabellen XXIV bis XXXV wiedergegeben und in den Figuren 5 und 6 zur graphischen Darstellung gebracht.

Man sieht, daß in den Systemen von Dimethyloxalat mit αund β-Naphtol, o-, m- und p-Nitrophenol, Brenzkatechin, Resorzin, Pyrogallol, 1, 2, 4-Dinitrophenol und Pikrinsäure einfache Eutektika vorliegen, ebenso wie in dem anschließend untersuchten System von Dimethyloxalat mit p-Toluidin.

Die Lage der Eutektika ist die folgende: Im System

Dimet	hyloxal	at—Brenzkatechin bei 30° und 61% Dimethyloxalat
	» .31%	Resorzintsen 2 72 % = 28 m x 1 57 m 14 x
5-89	* 17	-Pyrogallol 35 » 67 mix down a down
4.5 Wen	> SG1.	-o-Nitrophenol × 26 × 37
	»	-m-Nitrophenol » 24 » 54 » »
28:4	2000	-p-Nitrophenol 32 × 59 59
	» 001	-1,2,4-Dinitrophenol » 43 • 72
	»	—Pikrinsäure 38 » 56
	701 W	—α-Naphtol » 26 → 59
	»	—β-Naphtol » 39 » 69 »
		-p-Toluidin

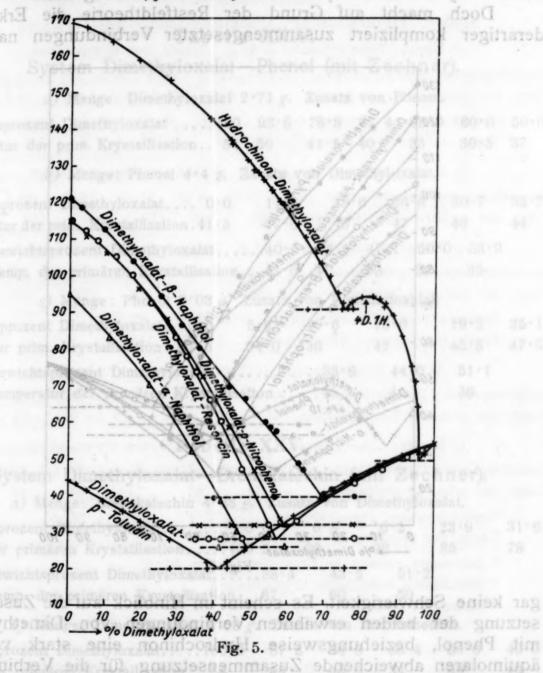
Hydr Kom bindu diagr Eute

Dime 47.5

den Dimet gehalt chinor Dimet

bindu

In den Systemen Phenol—Dimethyloxalat sowie im System Hydrochinon—Dimethyloxalat liegt außer den Schmelzlinien der Komponenten je ein dritter, primärer Krystallisation einer Verbindung beider Komponenten entsprechender Ast des Zustandsdiagrammes vor. Derselbe durchläuft im erstgenannten System vom Eutektikum mit Phenol bei 32° und 12·5°/₀ zum Eutektikum mit Dimethyloxalat bei 28° und 64°/₀ Dimethyloxalat ein Maximum bei 47·5° und 24 bis 25°/₀ Dimethyloxalat.



Die Zusammensetzung dieser bei 47.5° homogen schmelzenden Verbindung entspricht demnach 4 Mol Phenol und 1 Mol Dimethyloxalat, für welche Verbindung sich ein Dimethyloxalatgehalt von 23.9% berechnet. Im System Dimethyloxalat—Hydrochinon geht die Schmelzlinie der Verbindung bei 94° und 81% Dimethyloxalat durch ein Maximum. Es liegt also hier eine Verbindung von

4 Dimethyloxalat. 1 Hydrochinon

35·3 106 65·5

152

che, älle

Erklaring

natürlich

rten ngspel-

lder zur mt, wir der

den n 5

0.-

zin, ika em

alat

d) Menge: Pikrinsäure 2.00 g. Zusatz von Zimmtsäure.

Gewichtsprozent Zimmtsäure 0.0	16.7	20.0	25.9 31.0	35.3
Temperatur der prim. Krystallisation. 121.5	108	1051	-1 105·5	106
Gewichtsprozent Zimmtsäure 39:4	44:4	50.0	55.6 60.0	65.5
Temp. der prim. Krystallisation 106.5	1062	no 2 19	1092 111-52	1152

1 Sekundäre eutektische Krystallisation bei 103°.

2 . 105°.

Menge: p-Nitrophyx 5ffed a T sale v

Vom valenzchemischen Standpunkt darf aus der Tatsache, daß Bernsteinsäure mit Phenolen in keinem der untersuchten Fälle Verbindungen im festen Zustand gibt, vermutet werden, daß bei den Verbindungen von Zimmtsäure mit den obgenannten nitrierten Phenolen nicht die Carboxylgruppe den Träger der Verbindungsfähigkeit darstellt, sondern die eine ungesättigte Bindung (Doppelbindung) tragende Seitenkette.

Andrerseits ist es wenig wahrscheinlich, daß die Restfelder der OH-Gruppen der Phenole hier wirksam sind, indem es zur Bildung von Verbindungen im festen Zustand erst dann kommt, wenn Nitrogruppen eingeführt werden, und zwar wird, wie wir oben sahen, die Affinität der Komponenten mit steigender Zahl der Nitrogruppen sichtlich größer.

III. Die Systeme von Dimethyloxalat mit Phenolen.

Die Versuchsergebnisse mit diesen Systemen sind in den Tabellen XXIV bis XXXV wiedergegeben und in den Figuren 5 und 6 zur graphischen Darstellung gebracht.

Man sieht, daß in den Systemen von Dimethyloxalat mit αund β-Naphtol, o-, m- und p-Nitrophenol, Brenzkatechin, Resorzin, Pyrogallol, 1, 2, 4-Dinitrophenol und Pikrinsäure einfache Eutektika vorliegen, ebenso wie in dem anschließend untersuchten System von Dimethyloxalat mit p-Toluidin.

Die Lage der Eutektika ist die folgende: Im System

Dimet	hyloxal	at—Brenzkatechin bei 30° und 61% Dimethyloxalat
	» .910	Resorzinteen 2 72 % = 28 m sil 57 mold (d »
69.5	* .22	-Pyrogallol 35 . 35 . 67 mix has org side and
403 Wen	3	-o-Nitrophenol > 26 > 37
	» Moli	-m-Nitrophenol × 24 × 54 × ×
28-4	2 . (17.	-p-Nitrophenol 32 » 59 ms days who was
	» 601	-1,2,4-Dinitrophenol » 43 • 72
	» ~	—Pikrinsäure 38 × 56
	»	-α-Naphtol » 26 » 59
	»	—β-Naphtol * 39 * 69 *
	»	—p-Toluidin » 20 » 41:5

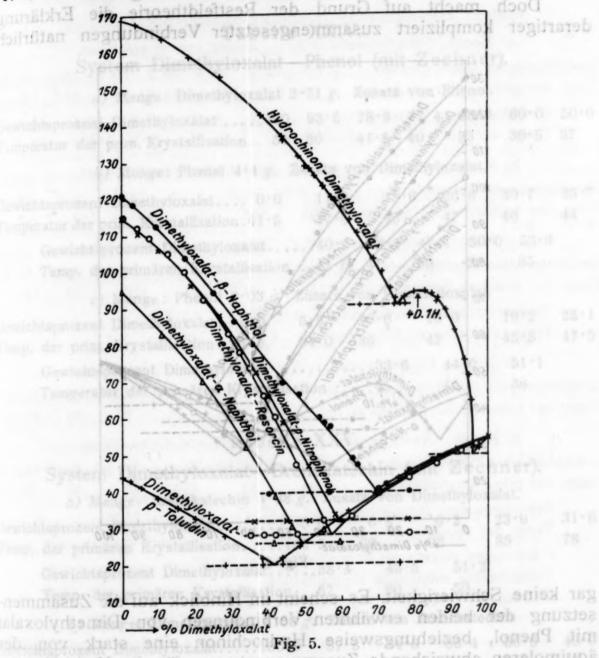
Hydr Komp bindu diagr Eutel Dime

47.5

den Dimet gehalt chinor Dimet

bindu

In den Systemen Phenol—Dimethyloxalat sowie im System Hydrochinon—Dimethyloxalat liegt außer den Schmelzlinien der Komponenten je ein dritter, primärer Krystallisation einer Verbindung beider Komponenten entsprechender Ast des Zustandsdiagrammes vor. Derselbe durchläuft im erstgenannten System vom Eutektikum mit Phenol bei 32° und 12·5°/₀ zum Eutektikum mit Dimethyloxalat bei 28° und 64°/₀ Dimethyloxalat ein Maximum bei 47·5° und 24 bis 25°/₀ Dimethyloxalat.



Die Zusammensetzung dieser bei 47.5° homogen schmelzenden Verbindung entspricht demnach 4 Mol Phenol und 1 Mol Dimethyloxalat, für welche Verbindung sich ein Dimethyloxalatgehalt von 23.9% berechnet. Im System Dimethyloxalat—Hydrochinon geht die Schmelzlinie der Verbindung bei 94° und 81% Dimethyloxalat durch ein Maximum. Es liegt also hier eine Verbindung von

4 Dimethyloxalat. 1 Hydrochinon

35·3 06

152

65.5

che, älle bei

ngspellder zur

nmt, wir der

den en 5

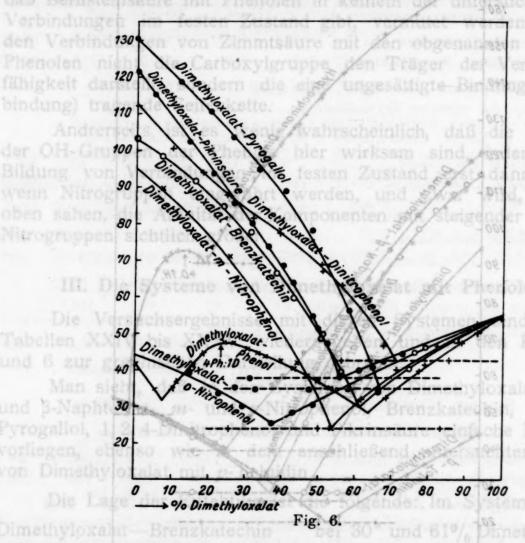
t αrzin, tika stem

alat

vor, für die sich ein Dimethyloxalatgehalt von 81% berechnet. Ihr Eutektikum mit Hydrochinon liegt bei 91° und 75·5% Dimethyloxalat, ihr Eutektikum mit Dimethyloxalat bei 49·5° und 96·5% Dimethyloxalat.

Die Zusammensetzung dieser Verbindung schien von vomherein deshalb auffällig, weil die auf präparativem Wege von Bayer und Villiger dargestellte homologe Verbindung von Diäthyloxalat—Hydrochinon äquimolare Zusammensetzung hat.

Doch macht auf Grund der Restfeldtheorie die Erklärung derartiger kompliziert zusammengesetzter Verbindungen natürlich



gar keine Schwierigkeit. Es scheint im Hinblick auf die Zusammensetzung der beiden erwähnten Verbindungen von Dimethyloxalat mit Phenol, beziehungsweise Hydrochinon eine stark von der äquimolaren abweichende Zusammensetzung für die Verbindungen von Phenolen mit Dimethyloxalat charakteristisch.

Dies, wie die Tatsache, daß Dimethyloxalat mit den übrigen Phenolen nur einfache Eutektika gibt, deutet darauf hin, daß Dimethyloxalat eine größere Anzahl von Restfeldern nicht allzugroßer Intensität enthält, die sich nur unter ganz besonders günstigen Verhältnissen unter Bildung von Verbindungen in solchen Konzentrationsbeträgen, daß sie im festen Zustand sich abscheiden, betätigen und wenn sie es tun, die Möglichkeit zur Bildung von

Verbir abweid Hydro muten Restfe aber j der za OH-G

Gewich Temper

Gewich Temper

Gewich Temp.

Gewich Temp.

Gewich Temp.

Gewich Temp. net. Ihr nethyl.

vorn. Bayer liäthyl.

lärung türlich

nenkalat der ngen

igen

daß

gen tenbevon Verbindungen bieten, deren Zusammensetzung von der äquimolaren abweicht. Dies ist in den Systemen mit Phenol einerseits, mit Hydrochinon andrerseits der Fall. Im ersten Falle darf man vermuten, daß vier Restfelder eines Mol Dimethyloxalats sich je einem Restfeld eines Mol Phenols gegenüber betätigen, im zweiten Falle aber je 2 Moleküle Dimethyloxalat, vermittels jeweils des stärksten der zahlreichen Restfelder des Dimethyloxalats an jedes der beiden OH-Gruppenrestfelder des Hydrochinons sich binden.

System Dimethyloxalat-Phenol (mit Zechner).

a) Menge: Dimethyloxalat 2.71	g. Zusatz von Phenol.
Gewichtsprozent Dimethyloxalat100 93	·5 78·8 77·4 68·0 60·0 50·0
Temperatur der prim. Krystallisation 54 50	41.5 40 33 30.5 37
b) Menge: Phenol 4.4 g. Zusa	z von Dimethyloxalat.
Gewichtsprozent Dimethyloxalat 0.0 1	1.3 18.6 26.6 30.7 35.7
Temperatur der prim. Krystallisation .41.5	7.0 45 47 46 44
Gewichtsprozent Dimethyloxalat 4	0.0 43.3 47.1 50.0 53.9
Temp. der primären Krystallisation4	2.5 . 41slaz 39 trom 37 mox 35 parlor wo

c) Menge: Phenol 3.03 g.	Zusatz von Dimethyloxalat.
Gewichtsprozent Dimethyloxalat 0.0	5.6 10.6 16.0 19.2 25.1
Temp. der prim. Krystallisation41.5	34.0 36 42 45.5 47.5
Gewichtsprozent Dimethyloxalat	
Temperatur der primären Krystalli	sation 45 40 36

Menge: Dimethylox.VXX Selle Tabelle XXV.xolydeechinon.usc

Temp. der primaren Krystallisation. 64 gr. 75 g. 83 g. 91 5 93 5 94 b 2 5

System Dimethyloxalat—Brenzkatechin (mit Zechner).

a) Menge: Brenzkatechin 4.88 g. Zusa	itz von D	Dimethylo	xalat.	
Gewichtsprozent Dimethyloxalat 0.0	6.8	6.2	23.9	31.6
Temp. der primären Krystallisation103.5	99	92	85	78
Gewichtsprozent Dimethyloxalat38.4	43.5	51.	2 Pekunder	
Temp. der primären Krystallisation67	60	50	BAHDIBLD .	

b) Menge: Dimethyloxalat 4.08 g.					à.
Gewichtsprozent Dimethyloxalat100.0	87.8	74.8	66.4	56.6	49.0
Temp. der primären Krystallisation 54	48	40.5	34	39	49

System Dimethyloxida System Dimethyloxida System (mit Zechner)

System Dimethyloxalat—Resorzin (mit Dražil).

a) Menge: Resorzin 4.48 g.	Zusatz von Dimethyloxalat.	emp.
Gewichtsprozent Dimethyloxalat 0	4.1 7.3 12.1 16.9	22.1
Temp. der primären Krystallisation115	112 109 104.8 100	92.5

Menge: Dimethyloxalat 4.39 g. Zusatz von Resorzin.
Gewichtsprozent Dimethyloxalat100 96.7 92.4 86.1 78.7 70.2 62.6
Temp. der primären Krystallisation 54 52 50 47 1 431 39 331
Gewichtsprozent Dimethyloxalat55.0 47.6 41.6 38.5 34.8 32.2 29.1
Temp. der primären Krystallisation321 471 601 661 741 78 83
1 Sekundäre eutektische Krystallisation bei 28°.
oxalat Hydrodabaid Al Tabelle XXVII. sab nabletisannequiro El
System Hydrochinon—Dimethyloxalat (mit Dražil).
a) Menge: Dimethyloxalat 3.85 g. Zusatz von Hydrochinon.
Gewichtsprozent Dimethyloxalat100 95.5 90.8 86.2 80.2 76.1 71.6 Temp. der primären Krystallisation 54 641 83.51 91.51 94 912 100
Gewichtsprozent Dimethyloxalat 67:5 64:7 58:3 50:5 44:0 Temp. der primären Krystallisation. 106 1103 119:0 128:5 137:0
b) Menge: Hydrochinon 4.27 g. Zusatz von Dimethyloxalat.
Gewichtsprozent Dimethyloxalat 0.0 4.0 11.0 18.6 26.9 38.0
Temp. der primären Krystallisation169 168 164 160 153 143
c) Menge: Hydrochinon 3.98 g. Zusatz von Dimethyloxalat.
Gewichtsprozent Dimethyloxalat 44.6 48.6 51.3 52.5 55.0 57.4
Temp. der primären Krystallisation136 131.5 128 126 123 120
Gewichtsprozent Dimethyloxalat 60:1 62:7
Temp. der primären Krystallisation117.5 114
d) Menge: Dimethyloxalat 4.12 g. Zusatz von Hydrochinon.
Gewichtsprozent Dimethyloxalat95.5 94.0 90.5 86.5 85.0 80.5 75.0 Temp. der primären Krystallisation64 75 83 91.5 93.5 94 92.53
e) Menge: Dimethyloxalat 3.87 g. Zusatz von Hydrochinon.
Gewichtsprozent Dimethyloxalat 0.0 97:3 95:0 89:2 86:6 83:1
Temp. der prim. Krystallisation 54 51 714 89 92 94
Gewichtsprozent Dimethyloxalat77·1 73·3 68·8 Temp. der primären Krystallisation93 ⁵ 95 103
1 Sekundare eutektische Krystallisation bei 91.5°.
 Gleichzeitig eutektische Krystallisation. Sekundäre eutektische Krystallisation bei 91°.
wichtsprozent Dimethylox. 17:00 . Ovol 48-18 W 74 1864 . 484 8 2 494 9
von Phenolen mit Dime Tabelle XXVIII.
System Dimethyloxalat-Pyrogallol (mit Zechner).
a) Menge: Dimethyloxalat 4.54 g. Zusatz von Pyrogallol.
Gewichtsprozent Dimethyloxalat100.0 98.1 94.8 89.0 80.3 71.1
Temp. der primären Krystallisation 54 53 52 49 45 40
Gewichtsprozent Dimethyloxalat65.5 58.3 49.1

Temp. der primären Krystallisation...41 56.5 65 73.5

ewich emp.

Gewich Temp.

Gewich Temp.

Gewich Temp.

Gewich Temp.

Gewich Temp.

Gewich Temper

Gewick Temp. 2 62·6 331

·2 29·1

1 71·6 100 44·0 37·0

38·0 143

57·4 120

75·0 92·5³

83·1 94

Gewja

11.1

b) Menge: Pyrogallol 3 23 g. Zusatz von Dimethyloxalat.	
Gewichtsprozent Dimethyloxalat 0.0 11.5 19.8 26.4 33.5 Temp. der primären Krystallisation 130.5 119 111 1041 951	40·6 89·0
Gewichtsprozent Dimethyloxalat47.8 53.7 Temp. der primären Krystallisation78.01 65	
1 Sekundäre eutektische Krystallisation bei 35°.	
Tabelle XXIX.	11.
System Dimethyloxalat—a-Naphtol (mit Zechner).	
a) Menge: Dimethyloxalat 4.65 g. Zusatz α-Naphtol.	
Gewichtsprozent Dimethyloxalat100·0 88·5 78·6 69·7 59·1 51·4 Temp. der primären Krystallisation. 54 49 44 39 32 27	
b) Menge: α-Naphtol 3.41 g. Zusatz von Dimethyloxalat.	.qms
Gewichtsprozent Dimethyloxalat 0.0 10.7 22.5 34.6 42.6 Temp. der primären Krystallisation95 83 70 52 39	48·3 28
c) Menge: α-Naphtol 2.00 g. Zusatz von Dimethyloxalat.	l'emp.
Gewichtsprozent Dimethyloxalat 0.0 41.1 45.9 48.7 54.5 Temp. der primären Krystallisation 95 39.51 301 261 29.01	59·0 321
1 Sekundäre eutektische Krystallisation bei 26°.	
Menge Dimethylox XXX Tabelle XXX Natrophenol.	
System Dimethyloxalat—β-Naphtol (mit Dražil).	Gewich
a) Menge: β-Naphtol 3.97 g. Zusatz von Dimethyloxalat.	Temp.
Gewichtsprozent Dimethyloxalat 0 3.1 9.5 17.4 24.8 31.0 Temp. der primären Krystallisation.121 119 112.3 103.5 94 86.5	80
Gewichtsprozent Dimethyloxalat43·3 47·9 55·7 Temp. der primären Krystallisation70 66 58·5	l'emp.
b) Menge: Dimethyloxalat 4.05 g. Zusatz von β-Naphtol.	
Gewichtsprozent Dimethyloxalat100 95.1 90.6 85.3 78.5 Temp. der primären Krystallisation 54 51.5 50.5 48 45.5	70·6 40¹
Gewichtsprozent Dimethyloxalat63.5 56.8 50.8 Temp. der primären Krystallisation491 57.61 63	luri-
c) Menge: β-Naphtol 1.91 g. Zusatz von Dimethyloxalat.	Team
Gewichtsprozent Dimethyloxalat40.5 54.0 64.5 68.5 Temperatur der primären Krystallisation751 60 47 42	71.9
¹ Sekundäre eutektische Krystallisation zwischen 39.6 und 39°.	
htsprogent Dimethyloxalat .IXXX sileating 18.0 25.2 35.5	Gewic
System Dimethyloxalat—p-Nitrophenol (mit Dražil).	Temp
a) Menge: Dimethyloxalat 3.75 g. Zusatz von p-Nitrophenol.	
Gewichtsprozent Dimethyloxalat100 97:7 86:3 78 69 58:6	51.1
Temp. der primären Krystallisation 54 52 48 44.5 39.1 33.51	

A. A. M.	
Gewichtsprozent Dimethyloxalat44·2 40 36·6 Temp. der primären Krystallisation591 65·8 72·51	81.3.30m
b) Menge: p-Nitrophenol 5.02 g. Zusatz von Dimethyloxalat.	
Gewichtsprozent Dimethyloxalat 0 4.3 10.0 19.1 26.3	33.1
Temp. der primären Krystallisation 114.5 110.5 106 96.5 88.0	
1 Sekundäre eutektische Krystallisation bei 32°.	
Tabelle XXIX	
Tabelle XXXII. System Dimethyloxalat—o-Nitrophenol mit Zechner).	
a) Menge: o-Nitrophenol 4.95 g. Zusatz von Dimethyloxalat.	and silver
Gewichtsprozent Dimethyloxalat 0.0 15.2 22.0 29:4 36.8 Temp. der primären Krystallisation44.5 39.0 33.5 30 26	48.4 30
b) Menge Dimethyloxalat 3.19 g. Zusatz von o-Nitrophenol.	ST O
Gewichtsprozent Dimethyloxalat100.0 91.41 79.5 67.1 57.9 49.7 Temp. der prim. Krystallisation 54 51 46 40 35 31	42·5 28
eprozent Dimethyloxalat 0-0 41 1 45.9 48.7 54.5 59.0 er primiren Krystadisan HIXXX elled Tabelle Tabelle 261 321	
System Dimethyloxalat-m-Nitrophenol (mit Zechner).	
a) Menge: Dimethyloxalat 3.93 g. Zusatz von m-Nitrophenol.	
Gewichtsprozent Dimethyloxalat100·0 90·8 83·1 71·5 61·9 Temp. der primären Krystallisation 54 50 47¹ 40 32	54·6 241
b) Menge: m-Nitrophenol 3.51 g. Zusatz von Dimethyloxalat.	
Gewichtsprozent Dimethyloxalat 0.0 7.0 14.3 25.9 36.5 43.6 Temp. der prim. Krystallisation95 90 83 71.1 54 42.1	321
1 Sekundäre eutektische Krystallisation bei 24°.	10.53
Nenge: Dimethyloxalat 4.05 c. Zusata von 3-Nachtoff	
Sprozent Dimethyloxalat .VIXXX sleep Tabelle XXXIV.	intoiw -
System Dimethyloxalat-1, 2, 4-Dinitrophenol (mit Zechne	
a) Menge: Dimethyloxalat 4.32 g. Zusatz von 1, 2, 3-Dinitrophenol.	
Gewichtsprozent Dimethyloxalat100.0 92.9 84.7 76.1	68.1
Temp. der primären Krystallisation 54 52 481 45.5 Gewichtsprozent Dimethyloxalat 56.4 50.6 44.5	471 Idoiwal
Temp. der primären Krystallisation62	rmper
b) Menge: 1, 2, 4-Dinitrophenol 4.30 g. Zusatz von Dimethyloxalat.	
Gewichtsprozent Dimethyloxalat	32.5
Temperatur der primären Krystallisation. 112·5 101 94 89 Gewichtsprozent Dimethyloxalat 39·5 45·9 50·6	82
Temperatur der primären Krystallisation, 781 73 67	
tsprozent Dimethyloxalat	Temp.

Gewice Temp

Gewice Temp.

Gewich Temp.

Gewich Temper

IV. D

Resort schen bis XX man, linien reiche

für die Demen

schung

e von

Chem

repreten keine thermischVXXX elledaTEffekte unter denen der

System Dimethyloxalat- Pikrinsäure (mit Zechner).

Menge: Pikrinsäure 3:01 g. Zusatz von Dimethyloxalat. Gewichtsprozent Dimethyloxalat 0.0 4.8 14.4 21.0 26.8 31.7 Temp. der primären Krystallisation. .. 121.5 115.5 102.5 94 86 11 801

Gewichtsprozent Dimethyloxalat....35.5 39.9 43.3 48.2 52.3 Temp. der primären Krystallisation .74 691 64 65 551 471

b) Menge: Dimethyloxalat 2.92. Zusatz von Pikrinsäure.

Gewichtsprozent Dimethyloxalat.....100.00 95.9 86.7 79.1 72.82 Temp. der primären Krystallisationk... 54 52.5 49.5 47.0 44.8

Gewichtsprozent Dimethyloxalat.....67.8 61.9 56.1 50.3 Temp. der primären Krystallisation...42·81 40·51 38·5 51·5

1 Sekundäre eutektische Krystallisation bei 38°.

33.1

78.5

48-4

42.5

28

54.6

241

50.5

321

qma!

38.1

171

32.5

32

30

Tabelle XXXVI.

System Dimethyloxalat—p-Toluidin (mit Dražil).

a) Menge: p-Toluidin 3.47 g. Zusatz von Dimethyloxalat.

Gewichtsprozent Dimethyloxalat..... 0.0 2.3 5.2 9.6 15.3 20.3 Temp. der primären Krystallisation 44 / 43 41 38.5 35.8 Temp. der primären Krystallisation 281 221 22 251

b) Menge: Dimethyloxalat 3.24 g. Zusatz von p-Toluidin.

61.9 Temperatur der primären Krystallisation.... 54 51 42.81 34.8

1) Sekundäre eutektische Krystallisation bei 20°.

IV. Die Systeme von Diäthyloxalat mit Phenolen (Versuche mit Dražil).

Von den Systemen mit Dioxalat wurden die Systeme mit Resorzin, 3-Naphtol und Hydrochinon untersucht. Aus der tabellarischen Wiedergabe der Versuchsergebnisse in den Tabellen XXXVII bis XXIX und ihrer graphischen Wiedergabe in der Fig. 7 ersieht man, daß sich von diesen Zustandsdiagrammen nur die Schmelz-linien der phenolischen Komponenten aufnehmen lassen; dieselben reichen im System: Verbindung nachwiesen, die sie durch Abdunsten einer Machunger

Playmoz Diathyloxalat Resorzin bis 62% Diathyloxalat or nov

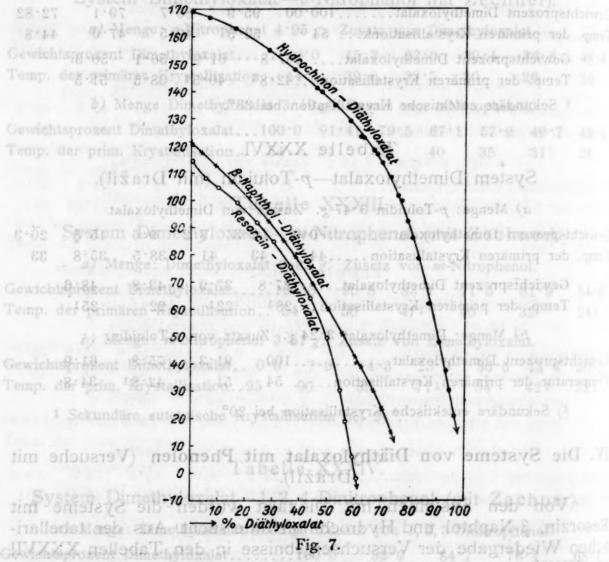
säure erhielten« Wir halden dahelothqaN+βmär aus einer Mischung

von zirka 94º/c, bei 30° 70ch nonidoorbyH beidenden Krystalle von

der Mutterlauge getrennt und auf Tonscherben getrocknet Wir sehen, daß dieselben stetig verlaufen und keine Anzeichen für die Abscheidung von Verbindungen der Komponenten zeigen. Dementsprechend wurden auch in den untersuchten Mischungsgebieten keine thermischen sekundären Effekte unter denen der primären Krystallisation gefunden.

Man darf vermuten, daß die in Fig. 7 dargestellten Schmelz. linien mit steigenden Dimethyloxalatgehalt nach tieferen Temperaturen verlaufen, um in Eutektikum mit Diäthyloxalat zu enden. Es dürste also in den genannten Systemen keine Verbindung im festen Zustande vorliegen.

Dies ist so gut wie sicher im System Hydrochinon—Diäthyloxalat, wo sich die Hydrochinonschmelzlinie bis nahe an reines



Diäthyloxalat verfolgen ließ (bis 97% Diäthyloxalat). Dieses Ergebnis ist deshalb von besonderem Interesse, da Bayer und Villiger auf präparativem Wege die Existenz einer äquimolaren Verbindung nachwiesen, die sie durch Abdunsten einer Mischung von 10 Teilen Diäthyloxalat mit 1 Teil Hydrochinon über Schwefelsäure erhielten. Wir haben daher die primär aus einer Mischung von zirka 94% bei 30° sich primär abscheidenden Krystalle von der Mutterlauge getrennt und auf Tonscherben getrocknet. Die Krystalle schmolzen etwas über 160°, erwiesen sich also keinesfalls als solche einer äquimolaren Verbindung, die 580 Diäthyloxalat enthalten würde und demgemäß nach dem Diagramm

bei Hy Lös geh unt

fest

Gew Tem

Gewi Temp

Gewi Temp

Gewi Temp

Gewic

Gewic Temp

hochv

Chemiehen Nr. 7 and 8.

äthyleines

Erund

laren

hung

vefelhung

von

knet.

als0 580

ramm

1 der

melz-

turen

dürfte

1 Zu-

bei 130° restlos geschmolzen sein müßten, sondern als ein Hydrochinon, das etwa mechanisch adhäriert oder in Form fester Lösung eine relativ geringe Menge Diäthyloxalat enthält. Jedenfalls geht aus unseren Versuchen hervor, daß die äquimolare Verbindung unter den Bedingungen der Aufnahme des Zustandsdiagrammes in fester Form sich nicht abscheidet oder überhaupt nicht existiert.

Tabelle XXXVII. manifered and selection of the contract of the

System Diäthyloxalat—Hydrochinon.

The state of the s	man		
a) Menge: Hydrochinon 3.79 g. Zusatz	von Diät	hyloxalat.	
Gewichtsprozent Diäthyloxalat 0.0	5.9 16	1 28.6	38.4
Temperatur der primären Krystallisation 169 167	163	155	148
Gewichtsprozent Diäthyloxalat 46.3	53.0	57.7	
Temp. der primären Krystallisation141	135	129	
b) Menge: Diäthyloxalat 3.61 g. Zusatz	von Hyd	rochinon.	
Gewichtsprozent Diäthyloxalat	.6 90.8	87.2 83.2	2 77:0

Gewichtsprozent Diäthyloxalat 96.8	8 93.6	90.8	87.2	83.5	77.0
Temp. der primären Krystallisation 21	37	48	62	79	100
Gewichtsprozent Diäthyloxalat 78	5.7 72.	8 70.0	66.8	63	6
Temp. der primären Krystallisation102	108	5 114	119	123	

c) Menge: Hydrochinon 1.83 g. Zusatz von Diäthyloxalat. Gewichtsprozent Diäthyloxalat 47.7 52.4 61.8 67.8 72.8 78.8 Temp. der primären Krystallisation..140 135 123 117 108 82 Gewichtsprozent Diäthyloxalat81.0 94.3 Temp. der primären Krystallisation.....86 30 wenig zu den Elektrolysier-

Tabelle XXXVIII.

System Diäthyloxalat—Resorzin.

a) Menge: Resorzin 4.48 g. Zusatz von Diäthyloxalat. Gewichtsprozent Diäthyloxalat 0.0 4.9 10.7 17.2 23.8 30.6 Temp. der primären Krystallisation. 114.5 108 104.3 99 92 85 Gewichtsprozent Diäthyloxalat36.6 44.0 49.9 54.7 Temp. der primären Krystallisation..75.5 64 49.5 30

b) Menge: Diäthyloxalat 4.67 g. Zusatz von Resorzin. Gewichtsprozent Diäthyloxalat 100-61.2 56.4 19 ente, dan die Grenzlange erreicht

c) Menge Resorzin 3.62 g. Zusatz von Diäthyloxalat. Gewichtsprozent Diäthyloxalat59.2 60.9 64.1 Temperatur der primären Krystallisation.. 6 -2 -1

¹ In diesen Gebieten gelang uns die Erzielung einer Krystallisation aus den hochviskosen Schmelzen nicht.

ei 130 restlos gesciXIXXX elle Tüllen, sondern als ein Hydrochinon, das Live Diagram (as Live Diagram) en participation of the Color o
Temp. der prim. Krystallisation 121 5 118 113 0 107 101 101 102 85
Gewichtsprozent Diäthyloxalat37.8 44.4 50.1 55.4 59.7 61.7 70
Temp. der prim. Krystallisation79 69.3 60 51 42.5 39.5 24
b) Menge: Diäthyloxalat 2.71 g. Zusatz von 3-Naphtol.
Gewichtsprozent Diäthyloxalat
Gewichtsprozent Diäthyloxalat 46.3 53.0 57.7 Temp. der primären Krystaläsation141 135 129
b) Menge: Diäthyloxalat 3.61 g. Zusatz von Hydrochinon.
Gewichtsprozent Diäthyloxalat 06.8 93.6 90.8 87.2 83.2 77.0 Cemp. der primären Krystallisation 21 237 48 62 79 100
Gewichtsprozent Diäthyloxalat 75 7 72.8 70.0 66.9 63.6 Temp. der primären Krystallisation 102 108.5 114 119 128
c) Menge: Hydrochinon 1.83 g. Zusatz von Diäthyloxalat.
Gewichtsprozent Diäthyloxalat 47 7 52-4 61:8 67-8 72-8 78-8 7emp. der primären Krystallisation . 740- 135 123 117 108 82
Gewichtsprozent/Diäthyloxalat81.0 94.3 Temp. der primären Krystallisation88 30
Tabelle XXXVIII05
System Diathyloxalat—Resorzin.
a) Menge: Resorzin 4.48 g. Zusatz von Diäthyloxalat.
Cewichtsprozent Digthyloxalat 0.00 4.9 5 10.7 01 17.2 23.8 30.6 Temp. der primären Krystallisation. 114.5 2408 20.0 104.3 99 92 85
Gewichtsprozent Diäthyloxalat 38.6 44.0 49.9 54.7
Temp. der primären Krystallisation, 75 to 1 64 glot 49 5 tal 30 olydbild
Gwichtsprozent Diathyloxalat 100 81.2 mevicate von Resorzin zi zinden Gwichtsprozent Diathyloxalat 100 81.2 mevichtsprozent Diathyloxalat 100 81.2 mevichtsprozent Diathyloxalat 100 81.2 mevicate genuchtsprozent Diathyloxalat mit Teil Hydrochinon ber Schwa
shure erhights work and Start Start Start Start Start Misches Misches Start St
der Mutterlange gengenet and neinstelle Krystelle schmolzen etwas über 160, erwiesen sich
Alln diesen Gebeien gelang uns die Erzielung einer Krystallisation aus den
Diathyloxalat enthalten wurde und demgeldein nezlemdes nezolaighen

Ced

191

lem Der lüht

bis d in tren

Unte lysie sätzl übrig besch beme Legie solch der,

der Hand Folge die R

legiei versu

geme zur V hat, v sagen

konnt Elektreine legier

Festsch

versehen und nun durch je 4 Stunden der Elektrolyse unterworfen

Die elektrolytische Leitung in geschmolzenen

risg'i

Thor 33.9

> 85 70

24

60.7

40

Temp

Teinp

hyeby

Die eingewogene Leginlistim Rilly's 0.5 g) wird im Bochers glas mit 8 cm. Salpetersäure (Dichte 1.5) übergossen und langsam

Die Elektrolyse von Zinn-Zinklegierungen entwicklung wird zum Sieden erhitzt, mit 50 cm. siedendem

Wasser verdünnt, filtriert und nio Vneißem Wasser gewaschen. Der

Robert Kremann und Otto Baukovac und als SnO.

Aus dem physikalisch-chemischen Institut der Universität in Graz

haltenden Legierung bei den angewandten Stromstärken von 4 bis 22.5 Amp. sind in den (narugiltxaT e tiM) wiedergegeben und in Fig. 1 bis 4, in (4201 ilul. 6 ma gnustig rab ni tgeleget) der einzelnen Stückchen der Legierung, als Ordinaten die zugehörigen Zim-

Im Anschluß an die in den vorigen Mitteilungen beschriebenen Untersuchungen haben wir geschmolzene Zinn-Zinklegierungen elektrolysiert. Die Versuchsanordnung und Methodik der Versuche war grundsätzlich die gleiche, wie sie bei den analogen Arbeiten mit den übrigen Metallpaaren angewandt und in den früheren Mitteilungen beschrieben wurde. Nur bezüglich der Elektrolysiergefäße ist zu bemerken, daß an Stelle der in der Regel bei tiefer schmelzenden Legierungen verwendeten Kapillaren aus Hart- oder Weichglas solche aus Schamottemasse Verwendung fanden. Der Grund war der, daß im besonderen bei Zink-, sowie auch bei Kadmiumlegierungen die Glaskapillaren sich wenig zu den Elektrolysierversuchen eigneten, da sie ungemein häufig sprangen. Bezüglich der Herstellung der Schamottekapillaren sowie deren Füllung und Handhabung sei auf die Ausführungen in der VI. Mitteilung dieser Folge verwiesen.

Nur sei an dieser Stelle bemerkt, daß auch diesmal wieder die Rosenthaler Ton- und Schamotteindustrie bei Köflach in ungemein entgegenkommender Weise den Schamottemörtel kostenlos zur Verfügung gestellt und unsere Arbeit so erheblich gefördert hat, wofür wir ihr an dieser Stelle wieder unseren besten Dank sagen möchten.

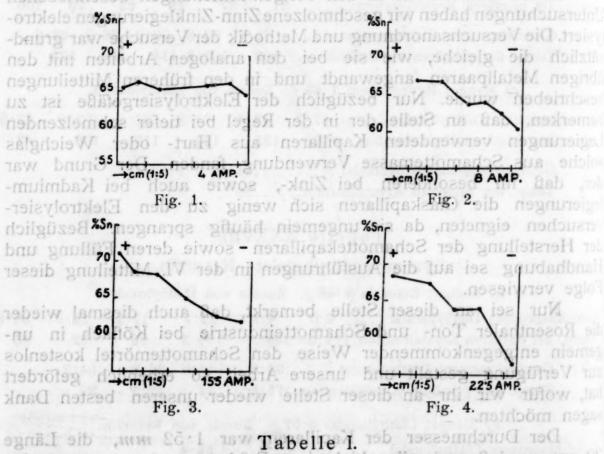
Der Durchmesser der Kapillaren war 1.52 mm, die Länge 20 cm, so daß nach allen bisherigen Erfahrungen vermutet werden konnte, daß die Grenzlänge erreicht war. Zur Durchführung der Elektrolyse wurden die Schamottekapillaren in einem Gasofen auf eine Temperatur von 400° erhitzt, mit geschmolzener Zinn-Zinklegierung von bestimmter Zusammensetzung gefüllt, mit Eisenelektroden SnO₂ 0.1827 0.8271 0.3318 - 0.3254

Monatsh. f. Chemie, 44, 404 und 383, 1923, 45, 133, 1924. Nernst Festschrift, Z. phys. Chemie. 110, 559, 1924.

versehen und nun durch je 4 Stunden der Elektrolyse unterworfen. Nach dem Erkalten unter Stromdurchgang, wurde die Kapillare zerschlagen, der freigelegte, mechanisch gereinigte Faden in einzelne Stückchen zerschnitten, diese fortlaufend numeriert und auf folgende Weise analysiert:

Die eingewogene Legierung (0.2 bis 0.5 g) wird im Becherglas mit 8 cm3 Salpetersäure (Dichte 1.5) übergossen und langsam 4 cm3 Wasser hinzugefügt. Nach Beendigung der Stickoxydentwicklung wird zum Sieden erhitzt, mit 50 cm3 siedendem Wasser verdünnt, filtriert und mit heißem Wasser gewaschen. Der getrocknete Niederschlag wird verascht, am Teklubrenner geglüht und als SnO, gewogen.

Die Ergebnisse der Versuche mit einer 50 Atom % Sn enthaltenden Legierung bei den angewandten Stromstärken von 4 bis 22.5 Amp. sind in den Tabellen I bis IV wiedergegeben und in Fig. 1 bis 4, in denen als Abszissen die Längen der einzelnen Stückchen der Legierung, als Ordinaten die zugehörigen Zinngehalte aufgetragen sind, graphisch dargestellt.



- bonie dotes	more wondered	Sall committee	daid call	a dear Sai	h no my 05
50 Atom ⁰ / ₀ S	Sn, Stromstär	rke 4 Amp	o., Stron	ndichte 2.2	2 Amp/mm ²
GasofenNauf					
cmr.Z.nniZ 1"					
Einwage 00:	2193 0.3892	0.4003	uumsny2	0.3898 0.3	3017 0.2053
$SnO_2 \dots O$					2524 0.1680
0/0 Sn 65 ·					
	F	ffekt = 1.7	70/0 Sn.	phys. Chemi	. Sischrift, Z.

50

N

cm . Einw SnO2

0 Sn

50 /

cm . Einwa SnO2

0/0 Sn

50 A

N

Einwa SnO_2

0/0 Sn

lysen das 2 Verg den 1 von ! Fehle orfen. illare

in und

oxydndem

nd in elnen Zinn-

chergsam

. Der glüht ent-4 bis

mm 7

.5 2053 · 1680 .46

Wie man im besonder II slleda To sieht, in der die Abhangig

50 Atom⁰/₀ Sn, Stromstärke 8 Amp., Stromdichte 4·3 Amp/mm².

Nr.C isd	of his	10 12 (dici 8 e ar	GTOTAL 18	bne 5 eta	11116 171	lys6neffe
			do 4.0 12				
Einwage	47711127	0.3323	0.4532	0.3312	0.1701	0.2651	0.1662
Sn O	- Jest Varie	0.2826	0.3846	0.2686	0.1380	0.2098	0.1273
0/0 Sn	37/10/12	66.98	66.84	63.86	63.90	62.33	60.33
graphisch							

Man siebt, and die Tabelle III.

dargestellt. Unter Einbeziehung des Versuches III mit der gleichen

50 Atom % Sn, Stromstärke 15.5 Amp., Stromdichte 8.3 Amp/mm².

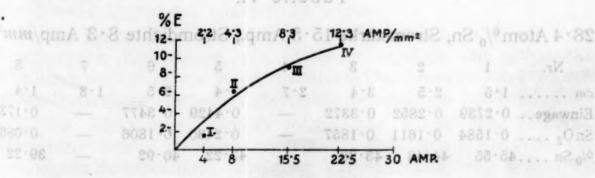
				Juna			
Nr.	1 00	2	3	804 80	5 -	6	+700
cm	1.5	2.5	3.4	3.7	1.5	3	3
Einwage	0.1506	0.2852	0.3599	0.3606	-	0.2797	0.3801
$SnO_2 \dots$	0.1360	0.2484	0.3119	0.2999	-	0.2233	0.3080
0/0 Sn	71.13	68.60	68.26	65.51	ONG	62.87	62.19
Sal-Mr Os		H	ffelt - 8	.00/ Sn			

Tabelle IV.

50 Atom % Sn, Stromstärke 22.5 Amp., Stromdichte 12.3 Amp/mm2.

Nr.	1	2	168 3111	n Lauste	erapli z che	3 765	gezngen)
cm	2.6		3	4	3	2	1.8
Einwage	0.2153	gin, the	0.3731	0.4944	0.3007	-	0.1981
$SnO_2 \dots$	0.1873	Balanteerin	0.3204	0.4029	0.2444		0.1428
0/ ₀ Sn	68.52	doublino	67.64	64.18	64.02	.02 0	56.79
			ffold 11				extender on

Man sieht einmal, daß bei diesem Legierungspaar Elektrolyseneffekte eintreten, und zwar verschiebt sich das Zinn zur Anode, das Zink das Metall mit höherer Leitungskapazität zur Kathode. Verglichen mit der Größe der Effekte bei anderen niedrig schmelzenden Legierungspaaren, sind sie relativ klein, bei einer Stromdichte von 2.2 Amp/mm² sind sie der gleichen Größenordnung wie die Fehlergrenze. Tabelle VI.



Effekt . 5. pia Sn.

0.1981

Wie man im besonderen aus Fig. 5 sieht, in der die Abhängigkeit der Elektrolyseneffekte E von der Stromdichte dargestellt erscheint, steigt, wie in allen übrigen untersuchten Fällen, der Elektrolyseneffekt mit steigender Stromdichte an und dürste bei 25 bis 30 Amp/mm² der maximale Effekt erreicht sein.

12

cm .

Einw

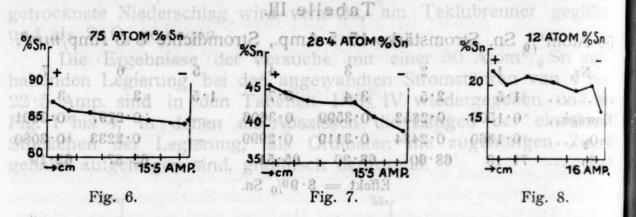
Sn O

0/0 S

Effe

Zinr

Angeschlossen wurden noch einige Versuche bei einer konstanten Stromdichte von 8:3 Amp/mm² mit Zinn-Zinklegierungen von verschiedener Zusammensetzung. Diese Versuche sind in den Tabellen V bis VII wiedergegeben und in den Fig. 6 bis 8 graphisch dargestellt. Unter Einbeziehung des Versuches III mit der gleichen



Stromdichte ist in Fig. 9 die Abhängigkeit der Elektrolyseneffekte vom Atom⁰/₀ Gehalt (gestrichelt) und Gewichts⁰/₀ Gehalt (ausgezogen) zur graphischen Darstellung gelangt.

Tabelle V.

75 Atom % Sn, Stromstärke 15.5 Amp., Stromdichte 8.3 Amp/mm2.

Nr.	1	2	3	4	5	6	7
cm	1.5	2.5	3.5	4.5	3.5.	2.5	1.5
Einwage	0.1875	0.3051	0.4290	2 Garage le	0.3784	0.2422	0.1674
SnO_2	0.2083	0.3342	0.4679	in vvix it	0.4092	0.2605	0.1797
0/0 Sn	87.50	86.28	86.00	der En	85.18	84.72	84.55

den Legierungspaaren, sind 0/00 8 = thaffa ein, bei einer Stromdichte

Tabelle VI.

von 2.2 Amp mim2 sind-sie der gleichen Größenördnung wie die

28.4 Atom % Sn, Stromstärke 15.5 Amp., Stromdichte 8.3 Amp/mm2.

Nr. 1	2	3	4	5	6	7	8
cm 1.5	2.5	3.4	2.7	3.4	2.5	1.8	1.4
Einwage 0 · 2739	0.2852	0.3372	- 1	0.4429	0.3477	5 2	0.1739
SnO ₂ 0.1584	0.1611	0.1857	(N)	0.2430	0.1806	0-3012	0.0866
0/0 Sn 45.55	44148 08	43.38	हे स	43 . 22	40.92	11-2574	39.22

Effekt = $6.30/_0$ Sn.

Tabelle VII.

ingig-

estellt

ektro-

5 bis

einer

ingen

den

hisch ichen

%Sn

AMP.

fekte

(aus-

nm².

.5 1674 1797 .55.

1100

Ida I

 nm^2 .

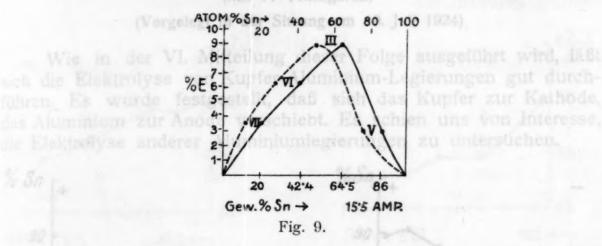
4 1739

0866 22

12 Atom % Sn, Stromstärke 16 Amp., Stromdichte 8 7 Amp/mm2. .3 . 4 1 6 . 7 Nr. 2.3 3.3 3.9 3.1 1.5 1.5 1.5 cm 0.1890 0.3009 0.4105 0.4294 0.4674 0.0874 0.0911 Einwage.. 0.0767 0.1110 0.1113 0:0528 0.1148 0.0222 0.0192 Sn O. 0/₀ Sn (21.99) 20.08 21.30 20.42 19.35 20.01 16.60

Effekt = $3.40/_0$ Sn.

Man sieht, daß die gleichatomige Legierung den größten Effekt zeigt, der sowohl bei steigendem Zink- als auch steigendem



Zinngehalt abnimmt. Doch sind diese Änderungen nach beiden Seiten hin scheinbar nicht ganz konform.

Sa zur Verwendung, die durch Zusammenschmelzen der Kom-

Kapillaren der Länge von 20 i es und einem Durchmesser von 1 53 mm,

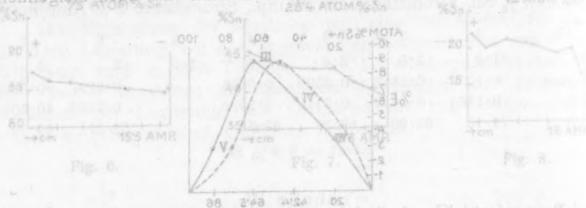
Als Elektroden dienten solche aus Eisen, die Verauchs-

Di

I

Gedruc

Wie man im besonderte trade of alle of the der die Abnard der Elder vernehete der Stromdichte der Stromdichten der Stro



Stromdichte ist in Flama die Abhanendseit der Elektrolyseneffen.
vom Atom? Gehalt (gestrichelt und Gewichts? Gehalt (mit
gezogen) zur graphischen Darstellung gelangt.

Amngehalt abnimmt. Doch sind diese Anderungen nach beiden seiten hin scheinbar nicht ganz konform.

75 Atom % Sa, Stromstärke 15 5 Amp, Stromdichte 8 3 Amp/mm

1.5	3.5		

Tabelle VI.

28 4 Atom 1/2 Sn, Stromstärke 15 5 Amp., Stromdichte 8 3 Amp/mm

Nr.				6	2	
			3/4			
	U12855 ·					
Sa Ou Line				10-1306		
						39-00

Effect ex 6:3% Sn.

sich führe das A

% Si

mg and

8

Zinn Sn pone

gele Blei

Kap dere

tem schi erstarrie Metallfaden von der Schambtlehülse befreit und stückre

Die elektrolytische Leitung in geschmolzenen Die eingewogene negnureigelige Metallegierungen im Bechergig mits & cm. Salpetersaure (6 1 5) tiber cossen and langsam 4 cm. Wasser hinzagefügt, Naci gnulistiM...XI der Stickoxydentwicktur

Die Elektrolyse von Zinn-Aluminium-Legierungen

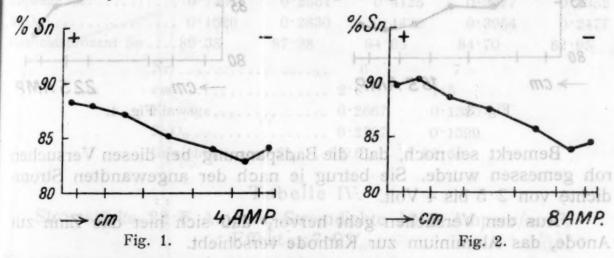
schlag wird verascht, am Techovrenner geglüht und als Son

Robert Kremann und Jakob Dellacher

Aus dem Physikalisch-chemischen Institut der Universität Graz (Mit 11 Textfiguren)

(Vorgelegt in der Sitzung am 10. Juli 1924)

Wie in der VI. Mitteilung dieser Folge ausgeführt wird, läßt sich die Elektrolyse von Kupfer-Aluminium-Legierungen gut durchführen. Es wurde festgestellt, daß sich das Kupfer zur Kathode, das Aluminium zur Anode verschiebt. Es schien uns von Interesse, die Elektrolyse anderer Aluminiumlegierungen zu untersuchen.



Es kam zunächst eine Zinn-Aluminium-Legierung mit einem Zinngehalt von rund 58.5 Atomprozent = $86^{\circ}/_{\circ}$ Gewichtsprozenten Sn zur Verwendung, die durch Zusammenschmelzen der Komponenten gewonnen wurde. Stromstarke 4 Ampere, Stromdichte 2.

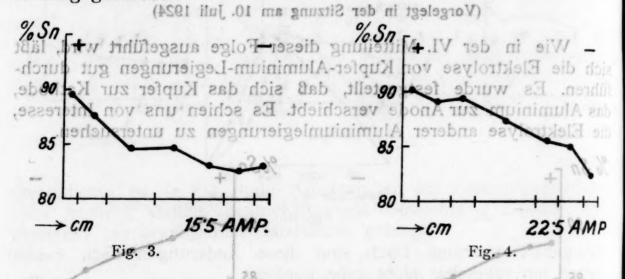
Die Arbeitsmethode war grundsätzlich die gleiche, wie sie gelegentlich der Elektrolysenversuche mit Kupferlegierungen sowie Blei-Silber-Legierungen angewendet wurde.

Als Heizofen diente der in der VI. Mitteilung dieser Folge beschriebene Elektroofen, als Elektrolysiergefäße die Schamotte-Kapillaren der Länge von 20 cm und einem Durchmesser von 1.52 mm, deren Darstellung dortselbst gleichfalls beschrieben erscheint.

Als Elektroden dienten solche aus Eisen, die Versuchstemperatur betrug zunächst rund 800°. Nach den jeweils bei verschiedenen Stromdichten, mit einer Versuchsdauer von 4 Stunden, durchgeführten Elektrolysen wurde der unter Stromdurchgang erstarrte Metallfaden von der Schamottehülse befreit und stückweise vom Anoden- gegen das Kathodenende analysiert. Der Analysen-gang war kurz der folgende 2001 900 900 900

Die eingewogene Legierung (0-2 bis 0.5 g) wird im Becherglas mit 8 cm³ Salpetersäure (d=1.5) übergossen und langsam 4 cm³ Wasser hinzugefügt. Nach Beendigung der Stickoxydentwicklung wird zum Sieden erhitzt, mit 50 cm³ siedendem Wasser verdünnt filtriert und mit heißem Wasser gewaschen. Der getrocknete Niederschlag wird verascht, am Teolubrenner geglüht und als Sno. gewogen. Robert Kremann und Jakob Dellacher

Die Versuchsergebnisse sind in den folgenden Tabellen I bis IV wiedergegeben und in den Figuren 1 bis 4 zur graphischen Darstellung gebracht stellung gebracht.



Bemerkt sei noch, daß die Badspannung bei diesen Versuchen roh gemessen wurde. Sie betrug je nach der angewandten Stromdichte von 2.5 bis 4 Volt.

Aus den Versuchen geht hervor, daß sich hier das Zinn zur

Anode, das Aluminium zur Kathode verschiebt.
Es kam zunächst eine Zinn-Aluminium-Legierung mit einem Zinngehalt von rund 58.5 Ar eile gert = 86% Gewichtsprozenten Sn zur Verwendung, die durch Zusammenschmelzen der Kom- % 4.4 = 14973, mm/ereqmA 2.2 etalbmort 2.2 engemA 4.4%
Die Arheitsmethode war grundsätzlich die gleiche, wie sing gegentlich der Elektrotysenversuche mit kauferlegierungen sowies 3.5. 2.5.

schiedenen Striggrio hten 3781:10 einer Versuchsde von 4 Stunden, durchgeführten 10.48trolys 87.28 v.u. de the trongengang

Nr. ... cm ... Einwag SnO_2 .

Gewich

Bullos

Str Nr. . . .

Einwag SnO_2 . Gewich

St

Einwag SnO2. Gewich

Strom totiscl Strom

wie F

t although from add	Taballa I	In male has	TO PERSONAL COL	:71
chr groß. Immerhin haben wir				
Rand Stromstärke 8 Ampere, Studieren, Studieren,	ekt = 5.4	of die 6,01	myerequipant	der Ten
Nr 1	2	3	4	5
cm	2.5	2.9	4.7	3.8
Little com a com		0.3456	0.4259	0.3186
SnO ₂ 0.1860	0.3223	0.3882	0.4740	0.3466
Gewichtsprozent Sn 89.71	90.28	88.47	87.66	85.69
Nrs. 09		6	7 11-2470	10.00
cm	2	•5	.0	3 48 /
Einwage	0	•1509 0	.0649	1 - 5
$\operatorname{SnO}_2 \ldots \ldots$	0	.1604 0	.0695	1-3
Gewichtsprozen	nt Sn83	75 84	:31	1
		15.5 2		47
nost ma sma	abelle	8.3 8.8	43 1011	5.5
Stromstärke 15.5 Ampere				
Eff	fekt = 5.9	150 1001		•
Nr 1	hte 2	3	4	5
cm 1.5	2.5	4.5	3.2	2.7
Einwage 0.1433		0.4125	0.3677	0.2352
$SnO_2 \dots O \cdot 1626$	0.2830	0.4432	0.3954	0.2477
Gewichtsprozent Sn89.38	87.38	84.63	84.70	82.95
Nr		6	7 85-68	
cm	2	8 1	5	
Einwage		2667 0	1320	
$\operatorname{SnO}_2 \dots$		2797 0	1399	
Gewichtsprozen	nt Sn 82	61 83	50	
Sewightspers	abelle IV			
			A mam ana /44	2
Stromstärke 22.5 Amper			Ampere/w	im-,
	$ekt = 7.9^{\circ}$		Suibere, mi	100/
Nr 1	2.7	3	4	5
cm	2.7	2.2	5.5	0.1000
Einwage 0·2220	0.2995	0.2106	0.5733	0, 1932
	0.3381	0.2387	0.6352	00.2098
Gewichtsprozent Sn90.08	88.92	89.28	87.27	85.2
Nr		6	7	20
cm				00
Einwage	0.	2565 0.	1247	
SnO_2 ,	0:	2771 0.	1306	08

Die maximalen Elektrolyseneffekte steigen mit steigender Stromdichte besonders rasch an und nähern sich alsbald assymptotisch einem Grenzwert, der bei 7.5% liegen dürfte und bei Stromdichten von 12.3 Ampère/mm² bereits erreicht sein dürfte, wie Fig. 5 es zeigt.

weise ysen-

Cedruc

erglas 4 cm³ klung ünnt,

eder-SnO₂

Dar-

sich führe das

H MP

hen om-

Zin

zur

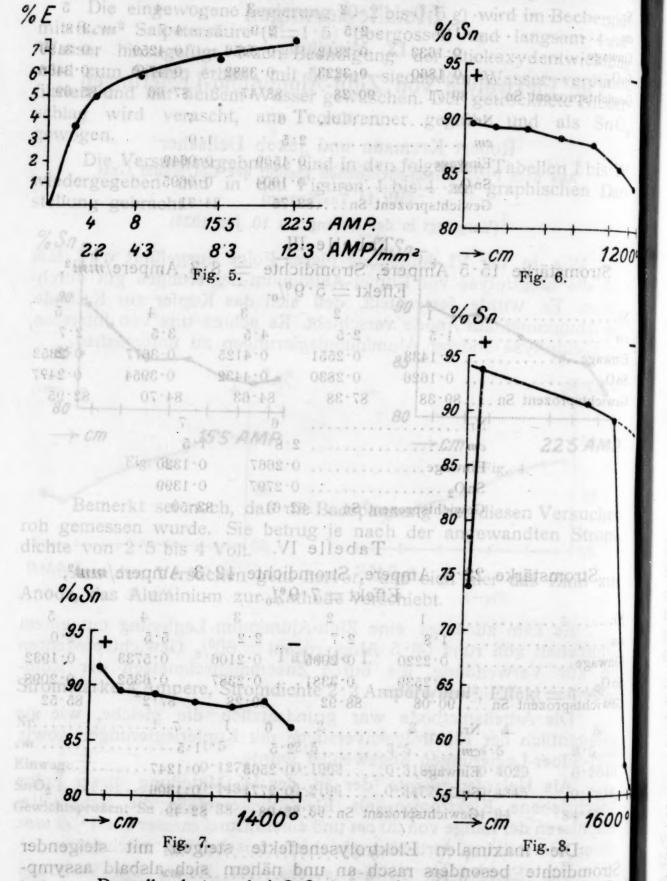
0/0.

640 816

der

loa

Die Effekte sind also relativ nicht sehr groß. Immerhin haben wir es versucht, bei einer Stromdichte von 8.3 Ampere/mm² den Einfluß der Temperatur auf die Größe der Elektrolyseneffekte zu studieren.



Derselbe betrug bei 8·3 Ampere/mm² und 800° 5·9°/₀ Sn. Es wurden außer dem obbeschriebenen Versuche Nr. III be 800° Versuche bei 1200°, 1400° und 1600° angestellt.

wie

Nr. .

Einw Sn O₂ Gewi

Tem

cm . Einwa Sn O₂ Gewid

Nr. .

Einwa Sn O₂ Gewic

den nahn der en wir Einfluß dieren.

1200

000°

Sn.

II ba

Die diesbezüglichen Versuche sind in den Tabellen V bis VII wiedergegeben und in den Figuren 6 bis 8 graphisch dargestellt.

Tabelle V.

Temperatur 1200				m², Effekt =	$=5.7^{\circ}/_{\circ}$
Nr Me relation	nul den m			1_{4}	. 0
cm		2.5	3.5	2.6	3.5
Einwage	0.1365	0.2554	0.3647	0.2210	0.2611
SnO_2		0.2898	0.4122	0.2476	0.2894
Gewichtsprozent Sn		89.38	89.02	88.25	87.30
Zinnverluste an	Nr.	rasi 190ki	6 done	dema dem	Be
zeigt, ist die	cm	.nebienne2	·5 doon 19	ktrodenerad	den Elei
n dem anderen	Einwage	now gano	.2445	1523	aurebne.
	SnO ₂		.2652	· 1625	Elektrod
	Gewichtsproze			•04	
	tract and				

nosn 744 AT. of Sn. IV abelle VI. nos of AT. 445

Temperatur 140	0°, Stromdicht	e = 8.3	Ampere/mn	n², Effekt	$=5:5^{\circ}/_{\circ}$.
Nr	1	2	3	4	5
cm	1.5	2.5	3.8	3.4	3.5
Einwage	0.1997	0.3135	0.3482	0.3445	0.4011
Sn O ₂	0.2326	0.3559	0.3946	0.3879	0.4488
Gewichtsprozent Sn	91.75	89.42	89.26	88.68	88.14
and the same of th	Nr	652	6	7	
1-11	cm		2.5	0	85
15:5 AMR	Einwage	(0.3712	1584	m3 <
	Sn O ₂		0.4183	1735	1110
	Gewichtsprozent	Sn88	3.77 86	28	kt an Bo/

Der Effekt entspricht. IIV felledaT Wir I sehen also, daß auch

Temperatur	1600°,	Stromdichte	= 8.3	Ampere/mm2,
und die lat	nemmE	ffekt = zirka	6%.	ganzagennge

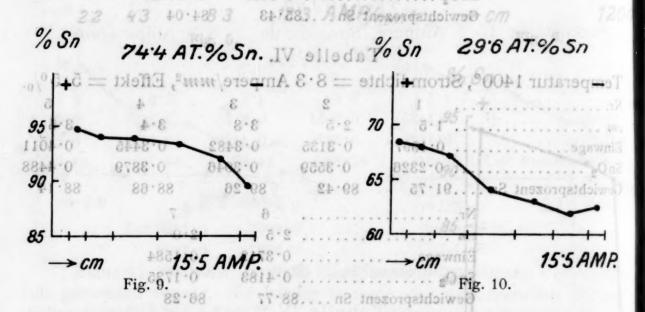
Nr					200
cm divisities enu	0.7	1.3	ROST 8	1 0	3.3
Einwage	0.0483	0.0952	vidualităi	0.1066	0.1765
SnO_2	0.0454	0.1141	n wird.	0.1224	0.1998
Gewichtsprozent Sn	74.03	93.72	ab dolla	90.44	89.17
uais ant pun us	Nr	maige, m	6	orrup ness	Massen M
manustra 1, 177 - 1	cm	1	.5	0.8	nemagn
der Elektrorysen-	Einwage	A. sib. no	1058	0.0743	36
Annielia 1- annieli	Sn O ₂	0	0780	0.0524	citekie v
edollar land	Gewichtsprozen	t Sn 58	07 5	5.55	nement of

Wie man sieht, ändert eine Temperatursteigerung um 400° den Elektrolyseneffekt nur relativ wenig. Man beobachtet eine Abnahme um etwa 0.20/0, die also gewiß in der Fehlergrenze liegt. Bei der Steigerung der Versuchstemperatur um weitere 400° werden

jedoch die durch Zinnverdampfung bedingten Fehler so groß, daß die Zusammensetzungskurve (Fig. 8) nicht mehr den normalen Verlauf zeigt, sondern an beiden Elektrodenenden auf sekundäre Zinnverluste deutet.

Wenn man die Werte an den Elektrodenenden, an denen die Zinnverluste möglich sind, verwirft und nur den mittleren Teil der Legierung zugrunde legt und nach den Elektrodenenden die Zinngehalte extrapoliert, resultiert ein Wert von zirka 6% für den Effekt, der sich von dem bei 800° und 1200° abgeleiteten nur wenig unterscheidet.

Bei dem Versuch bei 1400° lassen sich die Zinnverluste an den Elektrodenenden noch vermeiden. Wie Fig. 7 zeigt, ist die Änderung der Zusammensetzung von einem nach dem anderen Elektrodenende hier die ganz normale.



Der Effekt entspricht 5.5% Sn. Wir sehen also, daß auch in diesem großen Temperaturintervall die Effekte von der Temperatur nur in ganz geringem Maße abhängen können und die Tatsache, daß viele der hochschmelzenden Legierungen geringere Elektrolyseneffekte cet paribus aufweisen, als niedriger schmelzende Legierungen eher auf die Individualität des angewandten Legierungspaares zurückzuführen sein wird, als auf die hohe Temperaturlage als solche. Es ist möglich, daß sich der Temperatureinfluß schärfer fassen lassen dürfte bei einem Legierungspaar, das an und für sich überhaupt höhere Effekte zeigt.

Schließlich haben wir noch die Abhängigkeit der Elektrolyseneffekte von der Zusammensetzung der Zinn-Aluminium-Legierung bei einer Stromdichte von 8:3 Ampere/mm² und einer Temperatur von 800° untersucht. Die Ergebnisse zweier Versuche mit Legierungen mit 65:2 Gewichtsprozent = 29:6 Atomprozent Sn, beziehungsweise 92:2 Gewichtsprozent = 74:4 Atomprozent Sn sind in den Tabellen VIII bis IX wiedergegeben, beziehungsweise in den Fig. 9 bis 10 graphisch dargestellt.

74·4 A

Nr.

Einwage SnO₂ . . Gewichts

29 · 6 A

Nr.

Einwage SnO₂ ... Gewicht

von de bei Ei enthalt Maxim Sn lie

Chen

Tabelle VIII.

74.4 Atomprozent S	n, Stromd	ichte = 8.	3 Ampere	mm², Effel	$st = 5^{0}/_{0}$.
Nr	1	2	3	4	5
cm	1.5	1.5	2.6	3.8	4
Einwage		0.1167	0.1995	0.3272	0.3172
SnO ₂		0.1403	0.2385	0.3907	0.3772
Gewichtsprozent Sn	- 130	94.70	94.16	94.05	93.67
Nr.			6	7	
		3.4		• 5	
Einv	vage	0.2	2232 0	.0988	
SnC	2	0.5	2610 0	1125	
Gew	richtsprozen	t Sn 92 · 1	11 89	.69	

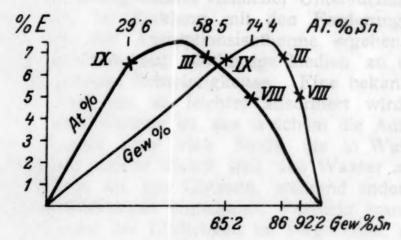


Fig. 11.

Tabelle IX.

-				
29.6 Atomprozent Sn, Stromdi	ichte = 8	3·3 Amper	e/mm², Effe	$kt = 6^{0}/_{0}$.
Nr 1	2	3	4	5
cm 1.5	2.5	3.0	4.2	3.2
Einwage 0.1395	0.2260	0.2224	0.2950	0.1818
SnO ₂ 0·1211	0.1946	0.1892	0.2403	0.1457
Gewichtsprozent Sn68.39	67.82	67.02	64.16	63.12
Nr	• • • • • • •	6	7 Tyorge	
cm		3.3	1.5	
Einwage		0.2552	0.1177	
$\operatorname{SnO}_2 \ldots \ldots$		0.2008	0.0933	
Gewichtsprozen	t Sn6	1.98	32.44	

Aus der graphischen Darstellung der Abhängigkeit der Effekte von der Zusammensetzung der Legierungen in Fig. 10 ersieht man bei Einbeziehung des Versuches mit der 58.5 Atomprozent Sn enthaltenden Legierung (siehe Tabelle III und Fig. 3), daß das Maximum der Effekte bei einer Legierung mit 50 Atomprozent Sn liegen dürfte.

daß daß malen ndäre

n die il der die den nur

e an die leren

MP.

uch atur che, engen res als rfer ich

en-

tur

nit

Sn, nd

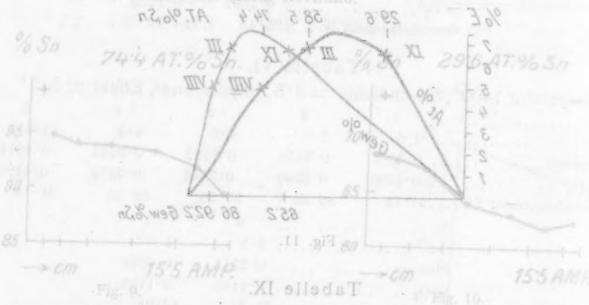
en

Ged

jedoch die durch Zimver MIV ette die Eingten Fehler so gro-Nomprozent Sn. Stromdichte = 8 3 Ampere mm. Effekt = 5% Zionverluste Heutet

*Wenn flien die Weste an den Elektrodenenden an denen Steinenden an denen Steine glichent der vertellt und nur den mistleren Tenen 1758: grung 7008: grunde 2885 grunde 1764 in den Elektrodenenden 2008 Zielen gerichten den Elektrodenenden den Elektrodenenden den Elektrodenenden den Elektrodenenden den Elektrodenenden den Elektrodenenden den Elektroden den Effect, der sich, von den bei 800° und 1200% abgeleiteten CH 3.4

Bel dem gagerarch sass of 00. Lussen: siegewdia Zinnverluste den Elektrodezenrien norfes ormelden...Wie 19227 zeigt, ist Anderung der Targenmenstellung anderen eine eine anderen dem andere



20.6 Atomprozent Sn, Stromdichte = 8.3 Ampere/min², Effekt = $6^{\circ}/_{0}$. a Der Effekt entspricht 5,5% Sn. Wir rechen also, daß auch in dargem großen Temporaterinterval sile Effekte von der Temperatus rarar lo ganzes gringers sande abbspoen logesten und die Latsgewill effelt gacet pagibes autwegenes, als garraiger seargelzende losgieratores cher auf die Individualität des angewandten Legierungspaares zurückzuführen Sein wird, als auf die hohe Temperaturlage as solche. Es. ist möglich, daß sich der Tumperaffrainfluß scharfe fassen lassen der Me bei effen Legierungspan an and für sich

Schließlich haben wir doch die Abhangigkeit der Elektrolysen Aus der graphischen Darstellung der Abhängigkeit, der Effekted von der Zusammensetzung der Legierungen in Fig. 10 ersieht man, Einbeziehung des Versuches mit det 58 a Atomprozent Sn athallenden Legierung (siehe Tahelle III und Rig 3), daß das Maximum der Enekte bei einer Legierung mit 50 Atomprozent Fig. 9-bis 10 graphisch datgestellt.

welc jedoc stößt sagt, löslic finde Glyz besse Medi tionsy keine in so

inner und

große Oberf Glyze gefäh nicht

welch

gegne daß d sich Unter zustel durch

isothe wurde genon Kohle Teil r

der L

aus der viskosen Plüssigkeit, in welcher die Adsorption Über die Adsorption an Kohle aus wert der Adsorption zähflüssigen Medien zu lange Zeit in Anspruch nahr und wir entschlossen uns, ein Filtereinrichtung zu benützen. no ahnlicher Weise machte de

Die Kohle stellte ein feines Pulver dar, dessen Entlen

G. Weißenberger und H. Waldmann

Aus dem II. chemischen Institut der Universität Wien (Vorgelegt in der Sitzung am 10. Juli 1924)

Die Adsorption an Kohle aus Flüssigkeiten mit geringer innerer Reibung ist Gegenstand vielfacher Untersuchungen gewesen und wurde stets im Einklang mit den Forderungen befunden, welche sich aus der Adsorptionsisotherme ergeben. Sucht man jedoch diese Resultate auf zähflüssige Medien zu übertragen, so stößt man auf gewisse Schwierigkeiten. Eine bekannte Regel besagt, daß ein Stoff um so leichter adsorbiert wird, je weniger löslich er in dem Medium ist, aus welchem die Adsorption statt-findet. Nun werden aber viele Stoffe, die in Wasser leicht, in Glyzerin hingegen schwer löslich sind, aus Wasser an Kohle weit besser festgehalten als aus Glyzerin, während andere zähflüssige Medien Zwischenstellungen einnehmen. Versucht man, die Adsorptionswerte auf Grund der Löslichkeit zu vergleichen, so erhält man keine Übereinstimmung und man wird zur Annahme geführt, daß

in solchen Flüssigkeiten auch noch andere Umstände mitspielen. Die Adsorption soll weiters groß sein in Flüssigkeiten mit großer Oberflächenspannung, hingegen gering in solchen mit kleiner Oberflächenspannung. Nun ist für Wasser bei 20° σ = 72·7, für Glyzerin bei derselben Temperatur $\sigma = 65$, man sollte also ungefähr gleiche Adsorptionswerte erwarten, was durch die Erfahrung

nicht bestätigt wird.

Es drängt sich die Vermutung auf, daß die Unstimmigkeiten, welchen man bei der Adsorption aus zähflüssigen Medien begegnet, nur scheinbar bestehen und dadurch hervorgerufen sind, daß der Einfluß der hohen inneren Reibung in diesen Flüssigkeiten sich in überwiegendem Maße geltend macht. Die vorliegende Untersuchung wurde daher in der Absicht unternommen, festzustellen, inwieweit die Adsorption aus zähflüssigen Medien sich durch bekannte Gesetze beschreiben läßt.

Die wichtigste Aufgabe war, zu prüfen, ob die Adsorptionsisotherme auch für zähe Medien Geltung behält. Als Adsorptiv wurde Jod gewählt. Ein gemessenes Volumen der in Untersuchung genommenen zähen Flüssigkeit wurde mit einer gewogenen Menge Kohle geschüttelt und nachher bestimmte man in einem aliquoten Teil nach Entfernung des Adsorbens durch Titration den Jodgehalt der Lösung.

Die Kohle stellte ein feines Pulver dar, dessen Entfernung aus der viskosen Flüssigkeit, in welcher die Adsorption stattge. funden hatte, rasch geschehen mußte, wenn man den Augenblickswert der Adsorption im Moment der Unterbrechung des Versuches erhalten wollte. Es stellte sich bald heraus, daß das Zentrifugieren zu lange Zeit in Anspruch nahm und wir entschlossen uns, eine Filtereinrichtung zu benützen. In ähnlicher Weise machte das Abmessen der Flüssigkeiten Schwierigkeit, da die zähen Medien an der Wand der Pipette haften blieben und die Meßgenauigkeit beeinflußten. Die Versuche wurden daher in folgender Weise vor. (Vorgelegt in der Sitzung am 10. Juli 1924) genommen:

Die viskose Jodlösung wurde in ein Rohr gebracht, das mit einer Einteilung versehen war und durch Auffüllen bis zu einer bestimmten Marke gemessen. Dadurch konnte das gleiche Volumen stets mit großer Genauigkeit gemessen werden, um so mehr, als die Röhre nach der Füllung einige Zeit in einem Thermostaten belassen wurde, worauf die letzten Tropfen hinzugefügt wurden. Man brachte nun die gewogene Menge Kohle in das Rohr, verschloß es und befestigte es an der Schüttelmaschine, die aus einem mit Klammern versehenen Rad bestand, das durch eine kleine Wasserturbine mit geeigneter Übersetzung langsam gedreht wurde. Die Drehung mußte langsam sein, da sonst die zähen Flüssigkeiten an der Gefäßwand haften blieben und nicht abliefen. Wenn der Versuch unterbrochen werden sollte, nahm man das Rohr von der Schüttelmaschine und filtrierte dessen Inhalt unter Anwendung der Wasserstrahlpumpe durch einen Trichter mit eingeschmolzener Siebplatte, die mit einem Scheibchen Filtrierpapier und mit einer dünnen Schichte von Asbest bedeckt war. Unter die Trichter-öffnung innerhalb des Saugkolbens war eine Eprouvette gestellt, welche die von der Kohle befreite viskose Lösung auffing.

In ähnlicher Weise wie bei Beginn des Versuches, nur in kleineren Dimensionen, wurde nun aus dem Inhalt des Reagensglases ein kleines Röhrchen gefüllt, das geeicht war. Dieses Gefäß entleerte man nachher in den Titrierkolben und spülte es mit einer Flüssigkeit nach, die mit der untersuchten in jedem Verhältnis mischbar war. Auf diese Weise gelang es, die Fehler durch Abmessen in Pipetten vollständig auszuschalten.

Die Viskosität der verwendeten Flüssigkeiten wurde mit Hilfe eines Ostwald'schen Kapillarviskosimeters bestimmt, dessen Durchlaufzeit für Wasser 7 Sekunden bei 18° C. betrug. Die angegebenen Werte sind auf Wasser = 1 bezogen.

Als zähflüssige Medien wurden drei Stoffe möglichst verschiedener chemischer Zusammensetzung gewählt, um einen eventuellen Einfluß der chemischen Konstitution als konstanten Fehler auszuschalten. der Lösung.

in Wi 15° C Visko: bezog

Riedel mittlu Zähigl

zum 2

aus P am R Konde wasse dar, d

werde werde Die b wurde Titrier geschi konnte

ab. E Kohle wendu in die beuger Herku stellun

kanntl

chemis lauge.

ähnlich

Holz. pulveri

Généra zerklei Es waren: Street of the County of the Street of the County of the County

1. Glyzerin. Ein chemisch reines Produkt, von der Schicht-A. G. in Wien zur Verfügung gestellt. Das spez. Gewicht betrug bei 15° C. 1·23, was einem Wassergehalt von 15·5% entspricht. Die Viskosität des Präparates war, wie oben angegeben, auf Wasserbezogen 120·1.

2. Cyklohexanol. Das Präparat war chemisch rein von der Riedel A. G. in Rotleben (Anhalt) hergestellt und uns durch Vermittlung der Firma D. L. Schön in Wien überlassen worden. Seine

Zähigkeit betrug 16.1.

3. Phtalsäure-n-dibutylester. Dieses Produkt wurde von uns zum Zweck der vorliegenden Untersuchung erstmalig hergestellt aus Phtalsäureanhydrid und n-Butylalkohol, in bekannter Weise am Rückflußkühler unter Verwendung von Schwefelsäure als Kondensationsmittel. Es war im Vakuum destilliert und stellte eine wasserhelle, zähe Flüssigkeit vom spez. Gewicht 1.49 bei 18° C. dar, deren Viskosität 13.5 betrug.

Hinsichtlich der Durchführung der Titration mag noch erwähnt werden, daß im Glyzerin sofort nach Zusatz von Stärke titriert werden konnte, da es ein Lösungsmittel für Jodkalium darstellt. Die beiden anderen Flüssigkeiten lösen Jodkalium nicht. Daher wurde in diesen Fällen nach der Überführung der Lösung in den Titrierkolben mit einer wässerigen Jodkaliumlösung versetzt und geschüttelt, worauf die Titration in der gewohnten Weise erfolgen konnte.

Die Wirksamkeit einer Kohle als Adsorptionsmittel hängt bekanntlich vom Ausgangsmaterial und vom Herstellungsverfahren
ab. Es ist daher für das Resultat nicht gleichgültig, mit welcher
Kohle man arbeitet und es könnte der Fall sein, daß bei Verwendung von nur einer einzigen Kohlensorte ein konstanter Fehler
in die Ergebnisse eingeführt wird. Um diesem Umstand vorzubeugen, wurden Adsorptionskohlen von möglichst verschiedener
Herkunft herangezogen, bei denen sowohl Rohstoff als auch Herstellungsweise gänzlich voneinander unterschieden waren:

- 1. Sorboid I und II, beigestellt von der Gesellschaft für chemische Produktion in Mannhein-Waldhof. Rohstoff: Zellstofflauge. Feines Pulver.
- 2. Sanasorben, von D. Adler, Wien. Pflanzenkohle, die in ähnlicher Weise hergestellt ist wie die Präparate Sorboid. Pulver.
- A-Kohle der Farbwerke Bayer u. Co., Elberfeld. Rohstoff: Holz. Das Präparat war körnig und wurde vor Verwendung gepulvert.
- 4. Norit, belgische Kohle, beigestellt von der Compagnie Générale Brégeat, Paris. Rohstoff: Holz. Körniges Produkt, welches zerkleinert wurde.

das ledien igkeit vor-

rnung

tattge.

olicks-

uches

gieren

einer umen ;, als staten urden.

veraus eine dreht ähen

von dung zener einer

Venn

thterstellt,

gens-Gefäß mit Ver-

urch

Hilfe rchnge-

vervenehler 5. Adsorptionskohle 1 und 2, beigestellt von der österreichischen Bundesfabrik Blumau. Rostoff: Kalziumkarbid. Feines Pulver.

Im Laufe der Untersuchungen ergab sich, daß sich alle vorgenannten Kohlen qualitativ gleichartig verhalten, während quantitativ bedeutende Unterschiede bestehen. Es war daher nicht erforderlich, alle Versuche unter Heranziehung sämtlicher Kohlenmuster durchzuführen, sondern es genügte das gegenseitige Verhältnis der einzelnen Kohlen untereinander aufzuklären und die Mehrzahl der Versuche nur mit einem einzigen Kohlenpräparat zu verfolgen. Zu diesem Zweck wählte man das Präparat Sorboid II, dessen Wirksamkeit besonders groß war. Im nachfolgenden ist also stets, wenn die Angabe über die verwendete Kohle fehlt, der betreffende Versuch mit Sorboid II durchgeführt worden. Andere Kohlen werden in jedem Fall ausdrücklich angeführt.

Es handelte sich zunächst darum, festzustellen, ob die Adsorption aus zähen Medien zu einem Gleichgewichtszustand führt und wie derselbe erreicht wird. Schon die ersten Versuche zeigten, daß man dabei mit längeren Zeiten zu rechnen haben werde als sonst bei Adsorptionsreaktionen und es war daher notwendig, sich zu überzeugen, daß sich der Jodtiter der Glyzerinlösung während der Versuchszeit nicht ändert. Man stellte daher einen Blindversuch an, in welchem die Glyzerin-Jodlösung 14 Stunden lang in der oben beschriebenen Weise geschüttelt, nachher durch das Filter gegossen und titriert wurde. Die Filtration fand statt, um eine eventuelle Jodadsorption an den Filtermaterialien konstatieren zu können. Es zeigte sich jedoch, daß der Jodtiter der Lösung nach dieser Behandlung konstant geblieben war, demnach waren Fehler durch chemische Reaktionen nicht zu befürchten.

In den nachstehend wiedergegebenen Versuchen mit Kohle betrug der Titer der Glyzerin-Jodlösung 0.007004 g J pro Kubikzentimeter, der Titer der Thiosulfatlösung 0.01274 g J pro Kubikzentimeter. Angewandte Menge: 25 cm³ Glyzerin-Jodlösung. Kohleeinwage 0.0406 g.

In der Tabelle 1 bezeichnet t die Dauer des Schüttelns in Minuten, x' die adsorbierte Jodmenge und m die Kohleneinwage, beides in Grammen.

Tabelle 1. nang law Marsh Aden Tabelle 2.

V. consd Rohstoff	Eligerield	verke Bayer u. C	e der Farby	$\frac{x'}{m}$
2.5	0.267	Lusammensetzung	90	0.288
10.0	19 0.345	Kohle, beigestellt	270	0.288
20.0	0.408	negi .ziori :noisno	1080	0.288

getre wurd gefül Kubi Kohl

Adso ob & Versi erreid

0.01 2 Stu einer währ Glyze Fälle zentr zu ei

schri gültig schie nachl in de c die die a m ist Gleichgewicht ist also nach 20 Minuten noch nicht eingetreten, der Titer der Glyzerinlösung ändert sich noch. Daher wurde eine zweite Versuchsreihe mit längerer Versuchsdauer durchgeführt. Der Titer der Glyzerinlösung betrug 0.007055 g Jod pro Kubikzentimeter, der Titer der Thiosulfatlösung war wie oben, die Kohleneinwage 0.0751 g auf 25 cm³ (Tabelle 2).

Trägt man die Resultate graphisch auf, so zeigt sich, daß die Adsorption nach etwa 1½ Stunden beendet ist. Um zu erkennen, ob es sich um einen Gleichgewichtszustand handelt, wurde der Versuch gemacht, den gleichen Punkt von der anderen Seite her zu erreichen.

Zu diesem Zweck wurden in einem Schüttelrohr 50 cm³ einer 0.01390 = molaren Glyzerin-Jodlösung mit 0.5239 g Kohle 2 Stunden lang geschüttelt. In einem zweiten Rohr wurden 25 cm³ einer 0.02779 = molaren Lösung ebenfalls mit 0.5239 g Kohle während der gleichen Zeit behandelt, dann mit 25 cm³ reinem Glyzerin versetzt und noch eine Stunde geschüttelt. In beiden Fällen ergab sich nach dem Entfernen des Adsorbens eine Konzentration von 0.005017 Mol pro Liter. Die Adsorption führt also zu einem Gleichgewichtszustand.

Auf Grund dieser Feststellung konnte zur Ermittlung geschritten werden, ob die Freundlich'sche Adsorptionsisotherme gültig ist. Gleiche Mengen Glyzerin-Jodlösung wurden mit verschiedenen Mengen von Kohle 2 Stunden lang geschüttelt und nachher titriert. Der Titer der Glyzerinlösung war der gleiche wie in der zweiten Versuchsreihe, 0.007055. In der Tabelle 3 bedeutet c die Endkonzentration, ausgedrückt in Mol pro Liter und x ist die adsorbierte Jodmenge, üblicherweise in Millimol angegeben, m ist die Kohleneinwage in Grammen.

der nachstehenden Tabelle. Der Titer der Cyklohexanol-Jodiösung betrug 0.001361 g Jod. pro E silbada Imeter, der der Thiosultat

111	Costing Costing	$\frac{x}{m}$ beob.	ber.	Forg A D
0.3401	0.0010	0.39 dal	0.44	- 0.02
0.2736	0.0016	0.48	0.21	- 0.03
0.1585	0.0045	0.73	0.72	+ 0.01
0.1020	0.0094	0.90	0.91	- 0.01
0.0723	0.0130	1.02	1.02	+ 0.00
0.0534	0.0164	1.07	1.09	- 0.02
0.0475	0.0172	1.11	1.11	± 0.00
0.0380	0.0192	0 0 1.14	1.15	- 0.01
0.0245	0.0221	0.0 1.16 0.00	1.21	- 2.05

der dere sorpund

daß

onst

ster-

eines

Vor-

lanti-

t erhlen-

Ver-

die

t zu

id II.

ist

der an, oben ssen

Es Beurch

ohle bikbikhle-

in age,

Trägt man die logarithmischen Werte von c und $\frac{x}{w}$ in ein ereten, Mier There der Edyzerinlösung gändent zieh moch Laher

Koordinatensystem ein, so zeigt sich, daß die erhaltenen Punkte sehr angenähert auf einer Geraden liegen, wie es die Freundlich' sche Gleichung verlangt. Ermittelt man mit Hilfe des Satzes am Zweistrahl das Mittel von lg a, so ergibt sich:

The man die Resultate graphische auf, so zeigt sich, dan die Resultate graphische auf, so zeigt sich, dan die
$$\alpha = 0.629$$
 auf $\alpha = 0.629$ auf $\alpha = 0.330$.

Man setzt diese Werte in die Gleichung

$$\frac{x}{m} = \alpha c^{\frac{1}{n}}$$

ein und erhält daraus $\frac{x}{m}$ ber. In Tabelle 3 finden sch diese

Werte neben den beobachteten eingesetzt und die letzte Vertikalreihe enthält die Abweichungen. Die Übereinstimmung zwischen Rechnung und Experiment ist vorzüglich, insbesonders in den mittleren Werten. Die Adsorptionsisotherme hat also auch für das hochviskose Glyzerin Gültigkeit.

Die mit Glyzerin angestellten Versuche wurden mit Cyklohexanol wiederholt. Der Blindversuch zeigte jedoch hier, daß der Titer auch beim Aufbewahren der Lösung im Dunkeln nicht konstant blieb, sondern ständig, wenn auch wenig, zurückging. Es erwies sich als erforderlich, den Titer vor jedem Versuch neu zu stellen und ihn bei Dauerversuchen von Zeit zu Zeit zu kontrollieren. Die Zeit der Gleichgewichtseinstellung ergibt sich aus der nachstehenden Tabelle. Der Titer der Cyklohexanol-Jodlösung betrug 0.001361 g Jod pro Kubikzentimeter, der der Thiosulfatlösung 0.009859 g Jod pro Kubikzentimeter, die Kohleneinwage 0.0656 g pro 35 cm³ (Tabelle 4):

Minister . . . die adsorbie Tabelle 4. a ungion die Kohhansone

sking on Gra	nmeRe o		84.0	x'	0.0018	0.2736
10:0 Tabel	0 72 10	ı	8:0	m	\$400.0 Tal	e [686 p. 0
10-0	10 11		04.0		4000×0	
00°0 ±	1:025	1	20-1	0.063	000001	0.0728
20.0	1 00	10	1:07	0.074	48.00:0 ::	0.0534
00;Qs±	1,414.0	20	· · · · · · · · · · · · · · · · · · ·	0.076	9710-0100	N:0475
10:0-	1. 51.1	60	2 1	0.084	\$910-970	DE 0880
80.0	1.21	120	E301 - 1	0.084	080,025	0.0245

Werte

(Tabe Daten

1g a =

man o

ersche

0

ebens wiewo

- b

zeigte stant Jodlös 1 cm einwa

Tabel

n ein inkte llich'

am

iese

calhen den das

10der

cht

ng.

eu zu

us

ng

it-

ge

Das Gleichgewicht wird nach etwa 1 Stunde erreicht. Die Werte von $\frac{x}{m}$ ergeben sich wie nachstehend zusammengefaßt (Tabelle 5). Der Wert der Konstanten errechnet sich aus diesen Krammun zu. Lie innere Reibungs ist führden Phialsäureestel: uz nated

$$lg \alpha = -0.0508 \qquad \alpha = 0.890 \qquad \frac{1}{n} = 0.383$$

In die Gleichung der Adsorptionsisotherme eingesetzt, erhält man die Werte von $\frac{x}{m}$ ber., welche in Tabelle 5 aufgenommen

Tabelle 7 enthalt and 5 silebnisse, welche zur Be-

en tolgt m diese W	nd. Aus ihr 3 45. Setzt mar	$\frac{x}{m}$ beob.	$\frac{x}{m}$ ber.	numg der All 225, d
0.4218	0.00030	0.058	0.040	+ 0.018
0.1703	0.00238	0.082	0.088	- 0.006
0.1396	0.00287	0.099	0.094	+ 0.005
0.0572	0.00397	0.104	0.107	- 0.003

erscheinen. Die Übereinstimmung mit den beobachteten Werten von - beweist, daß die Adsorption an Kohle aus Cyklohexanol ebenso wie die aus Glyzerin der Freundlich'schen Formel genügt, wiewohl Cyklohexanol zähflüssig ist.

Die entsprechenden Daten für den Phtalsäureester sind in den Tabellen 6 und 7 enthalten. Der Blindversuch mit dem Ester zeigte, daß der Titer ebenso wie bei der Glyzerin-Jodlösung konstant bleibt. Für die Gleichgewichtsermittlung wurde eine Ester-Jodlösung vom Titer 0.001420 g Jod pro Kubikzentimeter verwendet 1 cm³ der Thiosulfatlösung entsprach 0.01258 g Jod, die Kohleneinwage war 0.07 g pro 35 cm³ (Tabelle 6).

rusammentassen, dall addh bei de Adsorption ans zanitussagen Medien de Isotherme gam. 6. silsett changen wheen damir and

attanzmengen-in-sler	rbierten Sul	ly se gyj aski	einer sichere Ensiss ge- worden, daß dieraus G Monge nicht den Erwa
nd, mit abnehmender agenommen wurden igvetsn anderen Ko	60	0.214	daß I die Substanzmeng Zähigkeite austelgt. Die deferman dies zähe Fi
Addition Gleich			geringerei innerer Reiby
ash Miseolai Ainsbyli	420 1/	0.239	gewildhtswertiene ingenzi Gemisches labhängig ist

Beim Phtalsäureester wird das Gleichgewicht erst nach 3 Stunden erreicht. Man ist versucht, die Geschwindigkeit der Gleichgewichtseinstellung mit der Viskosität der Medien, aus denen adsorbiert wird, in Beziehung zu setzen, doch trifft dies offenbar nicht vollkommen zu. Die innere Reibung ist für den Phtalsäureester geringer als für das Cyklohexanol, und dennoch stellt sich das Gleichgewicht bei diesem rascher ein, andrerseits besitzt das Glyzerin, bei welchem das Gleichgewicht in einer dazwischen liegenden Zett erreicht ist, eine wesentlich höhere Zähigkeit als beide anderen Medien. Es scheinen hier noch andere Umstände mitzuspielen, vielleicht die Molekülgröße der chemischen Verbindung oder die Adsorption der viskosen Flüssigkeiten an der Oberfläche der Kohle.

Tabelle 7 enthält alle Zahlenergebnisse, welche zur Berechnung der Isotherme erforderlich sind. Aus ihnen folgt für $\lg \alpha = 1 \cdot 125$, $\alpha = 13 \cdot 3$ und $\frac{1}{n} = 0 \cdot 445$. Setzt man diese Werte in die Gleichung ein, so zeigt das derart berechnete $\frac{x}{m}$ eine gute Übereinstimmung mit den gefundenen Zahlen (Tabelle 7).

Tabelle 7.

Dy Widhes an	Konte auson	m beob.	ber.	bhi gaistraí
0.1326	J. 0.00010	1000 0.50	1987 0:22 US	b - 0.02
0.0795	0.00040	0.32 1880	Adiso.4116x9	0.09
0.0311	ote 0.00109	neb0.70 nei	O n0:64 foor	gan+ 0:06
0.0258	0.00159	8 0.75 .fis	ind 0.76	₩ 4 0.01
0.0165	0.00248	0.90	0.92	- 0.02
0.0044	0.00436	1.23	1.19	+ 0.04

Das Resultat dieser Bestimmungen läßt sich dahingehend zusammenfassen, daß auch bei der Adsorption aus zähflüssigen Medien die Isotherme gilt. Die Untersuchungen waren damit auf eine sichere Basis gestellt. Es war nun schon eingangs erwähnt worden, daß die aus Glyzerin adsorbierten Substanzmengen in der Menge nicht den Erwartungen entsprachen. Es ergab sich jedoch, daß die Substanzmenge, welche adsorbiert wird, mit abnehmender Zähigkeit ansteigt. Die Versuche, welche so vorgenommen wurden, daß man die zähe Flüssigkeit mit einer geeigneten anderen von geringer innerer Reibung verdünnte, zeigten, daß der Gleichgewichtswert in ganz bestimmter Weise von der Viskosität des Gemisches abhängig ist.

dar, beliel noch stant visko 2 Str mögl filtrie und jeder

> der reich Glei Max

ergi

hexa

von hexa Cyk belie betr von tion Man stellte durch sorgfältige Titration eine wässerige Jodlösung und eine Lösung von Jod in Glyzerin von gleichem Titer dar, 1 cm³ entsprechend 0.003549 g Jod. Diese Lösungen konnten beliebig mit einander gemischt werden. Da hierbei weder Dilatation noch Kontraktion eintritt, blieb auch der Titer der Mischung konstant. Die Viskosität der Mischung wurde mit Hilfe des Kapillarviskosimeters bestimmt. 35 cm³ jeder Mischung behandelte man 2 Stunden lang mit etwa 0.07 g Kohle, wobei man sich bemühte, möglichst gleiche Einwagen zu treffen. Nach 2 Stunden wurde filtriert und titriert, gleichzeitig wurden Parallelversuche mit kürzerer und mit längerer Schütteldauer vorgenommen. Es zeigte sich, daß jeder Verdünnung ein ganz bestimmter Gleichgewichtswert zukommt,

Tabelle 8.

η	<u>x</u>	.0 91	Tabe
	m	I gi	117.8
120 · 1	0.89	376	1,4
52.5	0.93	0-33	
38.5	1.07		
26.6	1.24		
15.4	1.44		ers untre
11.9	1.82	HrdRf ⁰ geg	
4.7	2.70	nleckabst erafeilche	
3.1	3.30	The reig	
1.5	4.62	r Ester un	
1.3	5.11	wa teerigi	Substan
1.0	6.04	ssen	. 4

der von beiden Seiten her einstellbar ist und um so rascher erreicht wird, je verdünnter die Glyzerin-Wassermischung ist. Die Gleichgewichtswerte nehmen regelmäßig zu und besitzen ein Maximum in der wässerigen Jodlösung (Tabelle 8).

Trägt man diese Werte in ein Koordinatensystem ein, so ergibt sich eine Kurve, die den Charakter einer Hyperbel besitzt.

Ahnlich wie bei Glyzerin wurden die Versuche bei Cyklohexanol durchgeführt. Als Verdünnungsmittel diente eine Lösung
von Jod in Benzol, deren Titer mit dem der Jodlösung in Cyklohexanol identisch war. Da auch beim Mischen von Benzol mit
Cyklohexanol keine Volumsänderung vor sich geht, konnte jedes
beliebige Verhältnis eingehalten werden. Der Titer beider Lösungen
betrug 0.00136 g Jod pro Kubikzentimeter. Bei den Mischungen
von Benzol mit Cyklohexanol mußten alle Operationen, wie Filtration, Viskositätsbestimmung usw. unter geeigneten Vorsichtsmaßregeln

unden richts. orbiert vollringer leich-

Zeit deren ielen, die der

zerin,

Befür Verte

Ol slisdel

gute

nd en uf

nt

er h, er n,

S

vorgenommen werden, um ein Verdunsten des Benzols und damit eine Änderung des Mischungsverhältnisses zu verhindern. 35 cm³ der Mischung behandelte man 1½ Stunden lang mit möglichst gleichen Kohleneinwagen, etwa 0.07 g und kontrollierte den erreichten Gleichgewichtszustand durch Parallelbestimmungen von kürzerer und längerer Versuchsdauer. Die Werte, welche sich hierbei ergaben, sind in Tabelle 9 festgehalten.

Mit

Mi

Mit

Oh

Oh

aber nach dens Es Hing getr sche das hera

Flüs

gew die

noc

der

nur

lass

die

Gül

Tite

eine

zu

Jod

Zur Mischung mit dem Phtalsäureester konnte ebenfalls eine Jodbenzollösung Anwendung finden. Der Titer beider Lösungen war 0.00142 g Jod pro Kubikzentimeter. Alle übrigen Versuchsbedingungen waren dieselben wie bei Cyklohexanol, mit Ausnahme der Schütteldauer, die hier natürlich 3 Stunden betrug. Die Resultate enthält Tabelle 10.

enthalt ale Hadarergebnisse, weiche zur

Tabe	lle 9.	7. Y.	Tab	elle 10.
η	$\frac{x}{m}$	120:1	η	$\frac{x}{m}$
16-1	0.33	80.5	13.5	0.94
9.8	0.37	pertotal ser	7.6	0.97
3.9	0.54	26-6 1-24 Tabelle 17-14	3.8	0.99
3.5	0.54	The same as the same state of the same and the same and the same as the same and the same as the same	1.5	1.04
1.6	0.95	11.8	0.9	1.23
1.4	1.15	4.7 00 W 2 70		
0.9	1.23	3·1 3·30 1·5 02·0 4·62 010		

Es erübrigt sich, zu erwähnen, daß auch in diesem Falle Kontrollbestimmungen über längere Zeit die Erreichung des Gleichgewichtszustandes erhärteten.

Hier sei einer Betrachtung gedacht, die der Anlaß zu weiteren Kontrollversuchen war. Beim Filtrieren des Phtalsäureesters wurde wiederholt die Bemerkung gemacht, daß die Kohle durch das Filter lief, wiewohl sie vor dem Schütteln leicht filtrierbar war. Das Pulver war feiner geworden und man mußte besonders dichte Filter vorsehen. Es war nun der Verdacht gegeben, daß der Ester, der wie alle Phtalsäuredialkylester ein ausgezeichnetes Lösungsmittel für Harze, Lacke usw. darstellt, auf die Kohle einwirkt und ihre Adsorptionsfähigkeit verändert. Infolgedessen wurden Proben der Kohle mit Phtaläureester behandelt und nach verschieden kräftiger Regenerierung auf ihre Wirksamkeit, ihren »Titer« geprüft, worunter die pro 100 g Kohle aus wässeriger Jodlösung bestimmter Konzentration aufgenommene Jodmenge verstanden wird (Tabelle 11):

Zeit man wiederholt um 11 elledaT. gießt man den lahalt de

cm³
chst
ervon
sich

gen linder tate

lle

es

zu

e-

le

r-

e-

9-

in lt,

t.

e

e

Art der Behandlung der Kohle	Titer
Mit Phtalsäureester geschüttelt, filtriert, mit Benzol gewaschen und bei 120° getrocknet	164 • 4
Mit Phtalsäureester geschüttelt, filtriert und geglüht	180.7
Mit Phtalsäureester geschüttelt, filtriert, mit Benzol gewaschen und geglüht	216.9
Ohne Vorbehandlung bei 120° getrocknet	197 • 6
Ohne Vorbehandlung geglüht	217 · 8
North North Commercial	

Die Tabelle besagt, daß Kohle, welche mit Ester vorbehandelt, aber nachher durch Waschen mit Benzol davon befreit wurde, nach dem Ausglühen, welches die letzten Reste des Esters entfernt, denselben Wirksamkeitswert aufweist, wie direkt geglühte Kohle. Es kann also keine Einwirkung auf die Kohle selbst erfolgt sein. Hingegen ist sichtlich eine Verkleinerung der Teilchengröße eingetreten, wie das Durchlaufen durch das Filter zeigt. Die Erscheinung ist vielleicht so zu deuten, daß der Ester aus der Kohle das die Teilchen verkittende Material, etwa teerige Substanz, herauslöst, ohne die Kohle selbst zu beeinflussen.

Das Ergebnis der Untersuchung von Gemischen viskoser Flüssigkeiten mit leichtbeweglichen war also, daß der Gleichgewichtswert der Adsorption regelmäßig geändert wird. Bevor auf die weitere Behandlung dieser Resultate eingegangen wurde, sollte noch festgestellt werden, in welchem Verhältnis die Wirksamkeit der verschiedenen Kohlenmuster zu einander steht und ob sich nur quantitative Unterschiede oder auch qualitative konstatieren lassen, mit anderen Worten, ob die gemachten Beobachtungen auf die verwendete Kohle beschränkt seien oder ob ihnen allgemeine Gültigkeit zukomme.

Zur raschen Kennzeichnung einer Kohle wird allgemein der Titer benützt. Man bestimmt ihn mit $0.1\,g$ Kohle und $50\,cm^3$ einer $\frac{n}{10}$ Jodlösung. In einer Stöpselflasche werden $0.1\,g$ der zu untersuchenden Kohle abgewogen und aus einer Bürette $50\,cm^3$ Jodlösung zufließen gelassen. Nach einer Stunde, während welcher

bst erfolgt sein.

Zeit man wiederholt umgeschüttelt hat, gießt man den Inhalt der Flasche durch ein Papierfilter. Die ersten Anteile des Filtrats werden verworfen, dann wird ein aliquoter Teil titriert. Nachstehend sind die Titer der zur Verfügung stehenden Kohlen angeführt (Tabelle 12): Kill Phialskureester, geschüttelt, hibiert, mit Benzol reewaschen ban

hierde for gaten, and in Tabelle 12. temperate of led bonn

Zur Mischus Jodbir084 osung war 0 00142 /r Jos	id Kohle base frontla	Titer	Trestablish niv
guigen warehasis Schieroldanen, die	Sorboid II od Jim Januar	217.8	Ver Phialsaurogster und geglübt.
enthalt Tabelle 10	Sorboid I	187 . 7	Olms Vorbehandlu
Tabelle 9	Sanasorben	173.9	pelle 10.
217.8	Bayer	114.4	Office Vorbehandlu
16-1 0	Norit	31.1	
ster vorbehandek, n befreit wurde	Karbidkohle 2	7.01 de	Die Tabelle ber nachher d
s Esters enffernt, geglühte Kohle.	Karbidkohle 1.9. 915. 291	uharnwelc	ach dem Ausgri lenselben Wirks

lingegen ist sichtlich eine Verkleinerung der Teilchengröße ein-Wie ersichtlich, sind die Kohlen von größter Verschiedenheit in der Wirkung, so daß sie ein recht geeignetes Versuchsmaterial für die vorliegenden Zwecke darstellten.

Die einfachste und naheliegendste Prüfung bestand in der Aufsuchung der Adsorptionsisotherme aus Glyzerin. Die Versuche wurden so durchgeführt, wie oben eingehend beschrieben ist. Eine Zusammenstellung der Resultate enthalten die Tabellen 13 (Sorboid I),

14 (Sanasorben) und 15 (Bayer). Die Werte für α und $\frac{1}{n}$ sind in Tabelle 16 zusammengefaßt.

Man sieht zunächst, daß die Übereinstimmung der berechneten mit den durch Messung gefundenen Werten ausgezeichnet ist. Für alle die untersuchten Systeme gilt daher die Adsorptionsisotherme. Wir haben qualitativ ganz genau dieselben Erscheinungen wie bei der Kohle Sorboid II, nur in der Intensität sind Unterschiede vorhanden und diese entsprechen wieder ganz genau den Unterschieden im Titer der einzelnen Kohlen. Auch die Konstanten zeigen den zu erwartenden Gang. Man kann also mit Berechtigung annehmen, daß sämtliche mit einer Kohle gewonnenen Resultate qualitativ allgemein zutreffen. das de desenen nedeiller grusolbet

alt der iltrats ehend eführt

Nun konnte an die El allada Te der Resultate geschrite

worden eit ein w r	gewonnen orpuo ? stähigk	beob.	ber.	pie v mebri ere V 🛆 e
0.2462	0.00377	0.49	do0.946	+ 0.03
0.1353	0.00952	0.69	0.70	- 0.01
0.0921	0.01300	10:82	0.80	+ 0.02
0.0782	15 74410 · 0 ie . Finensch	ma 78.0 end	uni 48:0 lbar	+ 0.03

dem Adsorptionsvorgang in engstem Zusammenhang steht. Tabelle 14.

ng dell Pur	m die Anordnur	$\frac{x}{m}$ beob.	$\frac{x}{m}$ ber.	mU Aush
0.2500	0.00506	0.46	0.44	+ 0.02
0.1001	0.01487	0.66	0.66	± 0·00
0.0722	0.01784	0.71	0.71	± 0.00
0.0425	0.02181	0.73	0.76	- 0.03
0.0178	b0:02518 dain	trete 18.0 2 Ve	ua 10.8110b	± 0.00

Tabelle 15.

m	c	$\frac{x}{m}$ beob.	$\frac{x}{m}$ ber.	Δ
0.3263	0.00397	0.37 abs	9ib 0·37 ene	± 0.00
0.1768	305 0.01051	0.50	0.49	+ 0.01
0.1031	0.01645	0.56	0.56	± 0.00
0.0297	0.02428	0.63	0.63	+ 0.00

Tabelle 16.

da noineKohle sib nes	en Ergebnis a	a_expendaentell
Sorboid II	4.26	0.330
Sorboid I	5.61	0.447
Sanasorben	3.33	0.385
Bayer . Islabnaaibania	1.91	0.297
noen dem reinen Wa	der Wischt	This and the

heit erial

der che Line d I),

chnet nsgen

in

erlen en ng ate

grechneten

Nun konnte an die Auswertung der Resultate geschritten werden, welche an den Mischungen gewonnen worden waren. Wie die Versuche lehren, wird die Adsorptionsfähigkeit einer Kohle bei ihrer Anwendung in einer zähen Flüssigkeit um vieles vermindert. Man ist jedoch in der Lage, durch Herabsetzung der Viskosität die Adsorptionsfähigkeit der Kohle zu erhöhen, d. h. die beiden Größen stehen zu einander in einem umgekehrt proportionalen Verhältnis. Damit soll nicht gesagt sein, daß die Zähigkeit des Mediums unmittelbar maßgebend ist für die Adsorption, aber sie ist zweifellos der Ausdruck für eine Eigenschaft, welche mit dem Adsorptionsvorgang in engstem Zusammenhang steht.

Wie ersichtlich, zeigt die η , $\frac{x}{m}$ = Kurve einen regelmäßigen

Verlauf. Um das Gesetz zu finden, dem die Anordnung der Punkte gehorcht, versuchten wir, die logarithmische Form der Kurve zu zeichnen und konnten feststellen, daß die so erhaltenen Punkte sämtlich auf einer Geraden liegen. Der Winkel, den die Gerade mit der x-Achse einschließt, ist größer als 90°, daher muß die Tangente negativ sein, d. h. die Gerade entspricht einer Gleichung von der Form x = b - ay. Diese Gleichung läßt sich unter Berücksichtigung der hier auftretenden Variabeln und unter Anlehnung der Bezeichnung für die Konstanten an die Freundlich'sche Isotherme auf die Form bringen:

Darin bedeuten: x die adsorbierte Substanzmenge in Millimol, m die Gramme des Adsorbens, das verwendet wurde, η die innere Reibung des Mediums, aus welchem die Adsorption stattfand und β und $\frac{1}{r}$ Konstanten, die von den Versuchsbedingungen unabhängig, jedoch von den verwendeten Stoffen abhängig sind.

Zur Prüfung der neuen Gleichung wurden in bekannter Weise aus den experimentellen Ergebnissen die Konstanten abgeleitet und mit ihrer Hilfe die Werte von $\frac{x}{m}$ berechnet. Es ergab sich für Glyzerin: $\lg \beta = 0.715$, $\beta = 5.19$, $\frac{1}{r} = 0.447$. Tabelle 17 enthält die Gegenüberstellung der gefundenen und der berechneten Werte.

Die Übereinstimmung ist befriedigend, erst gegen das Ende der Tabelle hin, die absichtlich sehr weit ausgedehnt wurde, also dort, wo wir uns in den Mischungen dem reinen Wasser nähern, manr mehr uns

verlä

beder

 $\frac{x}{m}$

0. 0.

0.

für C

Tabell

Cher

treten höhere Differenzen auf. Dies ist nicht überraschend, wenn mann bedenkt, daß in diesem Gebiet die Bestimmung des η nicht mehr so genau ist wie bei den zähen Mischungen und daß, wir uns auf dem Kurvenanteil besinden, der fast parallel zur y-Achse verläuft, wo also kleine Unterschiede in den Werten von $\frac{x}{m}$ schon bedeutende Verschiebungen auf der Kurve zur Folge haben.

Tabelle 17.

$\frac{x}{m}$ beob.	$\frac{x}{m}$ ber.	1	leuten: In den Reibung sind Ko on Finzelmole
0.89	0.61	+ 0.28	
0.93	0.88	+ 0.05	dsorbierenden (
1:07	1.02	+ 0.05	
1:24	vog 1:200	+ 0.04	tit dem adsorbie
1.44	1.53	1	od aufgenomme
1.82	1.72	+ 0.10	st. Fügt man na
2.70	2.60	1 - 0.10	nit ihnen in jede Jerlegung der M
3.30	3.11	0:19	
9 4 62	4.28	0.34	
5.110	191 4:55	+ 0.56	1 11 - 19
6.04	5.19	+ 0.85	lie innere Reib arkeit und die

Tabelle 18.

eil der Kohlen

tten

ren.

hle

erder

die tio-

keit ber

mit

gen

kte zu

kte ade die

Being me

ol, die tt-

en

ise nd

ür

ält

en

de

so n,

Tabelle 19.

$\frac{x}{m}$ beob.	$\frac{x}{m}$ ber.	gebaer	n inter also g bei bei	$\frac{x}{m}$ beob.	$\frac{x}{m}$ ber.	ls v ei c∆er t
0.33	0.26	+ 0.07	irkung	W 0.94 str	0.94	± 0.00
0.37	0.34	+ 0.03	19DC	0.97	0.97	+ 0.00
0.54	0.55	- 0.01	noiten	0.99	1.00	- 0.01
0.54	0.59	- 0.05	ong ibs	1:04	sg1:04 si0	+ 0.00
0.95	0.89	+ 0.06	ก่อย ก่อก	1.23	1.06	+ 0.17
1.15	0.94	+ 0.21	1000	M	de[west	
1.23	1.06	+ 0.17	ml in	= dissis I		

In gleicher Weise wie für Glyzerin kann man die Konstanten für Cyklohexanol rechnen: $\lg \beta = 0.0450$, $\beta = 1.11$, $\frac{1}{r} = 0.515$.

Tabelle 18 enthält die Zusammenstellung der $\frac{x}{m}$ = Werte. Für

Phtalsäureester folgt: $lg\beta = 0.0251$, $\beta = 1.060$, $\frac{1}{r} = 0.0453$. Die Ergebnissse enthält Tabelle 19.

Wie man sieht, ist auch in diesen beiden Fällen die Übereinstimmung sehr gut, bis auf die letzte Horizontalreihe jeder Tabelle, welche die reine Mischflüssigkeit enthält. Es ist verständlich, daß in diesem Gebiet größere Abweichungen eintreten können.

Die Gleichung läßt sich physikalisch etwa folgendermaßen deuten: In den organischen Flüssigkeiten von hoher innerer Reibung sind Komplexe vorhanden, die aus einer großen Anzahl von Einzelmolekülen bestehen. Der Ausdruck dieser hohen Assoziation ist die Zähigkeit. Solche Molekülkomplexe werden an adsorbierenden Oberflächen leicht festgehalten, wie von den Kolloiden bekannt ist. Sie belegen daher einen Teil der Kohlenoberfläche und drängen Jod ab, beziehungsweise sie setzen sich mit dem adsorbierten Jod ins Gleichgewicht. Es wird also weniger Jod aufgenommen werden als dies in anderen Lösungen der Fall ist. Fügt man nun zu solchen Flüssigkeiten Lösungsmittel, welche mit ihnen in jedem Verhältnis mischbar sind, so tritt eine teilweise Zerlegung der Molekülkomplexe ein. Sie werden verkleinert, die innere Reibung sinkt, aber gleichzeitig geht auch die Adsorption zurück und Jod tritt an die Stelle der adsorbierten Flüssigkeitskomplexe. So bilden sich beständig neue Gleichgewichtswerte aus. Die innere Reibung der Mischung ist also symbat der Adsorbierbarkeit und dies erklärt die gesetzmäßige Beziehung zwischen

r und η und η und η adsorbierte Substantino de T Million

Es war nun weiters von Interesse, zu untersuchen, ob man bei einer bestimmten Lösung, also gegebener Anfangskonzentration und gegebenem Volumen, und bei bekannter Menge an Adsorptionsmittel, die zu erwartende Wirkung, d. h. die Endkonzentration, im voraus berechnen kann oder ob man für eine gewünschte Wirkung, beziehungsweise Endkonzentration auf diesem Wege die erforderliche Menge an Adsorptionsmittel zu bestimmen in der Lage ist. Die Frage hat offenbar praktische Bedeutung. Zu diesem Behufe bietet sich die Freundlich'sche λ-Formel an:

Glyzerin:
$$l_{g,h} = 0.715$$
, $\lambda = \frac{v}{m} \ln \frac{y^{2 \cdot 0} + 10 \cdot 0}{c}$ 100 178 286 178 286 178

In dieser Formel bedeuten: y die Millimole des im Volumen v gelösten Stoffes, m das Gewicht des Adsorbens in Grammen und c die Endkonzentration in Millimol. λ ist eine Konstante. Die nachstehenden 3 Tabellen 20, 21 und 22 enthalten die Werte der Konstanten für die Versuche an Glyzerin (20), Cyklohexanol (21) und Phtalsäureester (22).

stant ist, v

0.1

will.

eines bei z

Chemiebeff Nr. 7 und 8.

Die Übereinstimmung unter den einzelnen Werten der Konstanten zeigt, daß auch die gesuchte Vorausberechnung möglich ist, wenn man Adsorptionsreaktionen in zähen Medien durchführen ing aden Roblen Spread I Sangsorben und Bayer mc

m	C	λ
0.0246	22 · 1	47
0.0380	19.2	49
0.0476	17.2	50
0.0534	16:4	50
0.0724	13.0	52
0.1020	9.4	53
0.1585	4.5	57
0.2736	1.6	52
0.3401	1.0	49
[12 , x/0	(röne Differ	

Tabelle 22.

Tabelle 21.			L .	No. 10 10 10 10 10 10 10 10 10 10 10 10 10		
m	c	0.1081	1-72	m 08	C	87 λ
0.0572	3.965	23	1188	0.0044	4.36	252
0.1396	2.874	24	1.56	0.0165	2.48	239
0.1703	2.379	23	88	0.0258	1.59	240
0.4218	0.297	24	2196	0.0311	1.09	259
6 +.	litte Different	h0.5	8107	0.0795	0.40	265
Mittelwert23.5			015	0.1326	0.10	251
nis mi	ößte Difleren	esist, dan	te bew Kohle	DEE A.V. BY	telwert	

will. Es sind lediglich einige Versuche zur Bestimmung der Konstanten erforderlich, deren Wert sich von Fall zu Fall ändert.

Da es sich bei der Vorausberechnung der zur Erreichung eines bestimmten Endzustandes erforderlichen Menge des Adsorbens bei zähflüssigen Medien um eine wichtige Frage handelt, wurde

Die

Jbereder vereten

aßen erer zahl hen

an den lensich iger

Fall Iche eise

die tion eitsaus.

ierhen

nan tion onsion,

chte die der sem

ge-

and .chder 21)

auch hier die Kontrolle auf allgemeine Gültigkeit des Resultates dadurch gesucht, daß andere Kohlen zum Versuch herangezogen wurden. Man führte die gleichen Bestimmungen wie oben angegeben, mit den Kohlen Sorboid I, Sanasorben und Bayer in Glyzerin durch und erhielt die in den nachstehenden Tabellen enthaltenen Resultate (23 = Sorboid I, 24 = Sanasorben, 25 = Bayer):

Tabelle 23.

manisch.	en g c) jissig	keiteko-(
0.0782	14.5	42
0.0901	13.0	41
0.1353	9.5	40
0.2562	3.8	41
wenden is	Mitelwe	ert41
sil solch c	Größte Differen	nz+ 1

Die Gleich

oberfläche und

m	Rei c Selleda	der Mischu Luza di	m	rab Sudmya a
0.0178	25.2	30	0.02	97 24.3
0.0425	21.8	30	0.10	31 16.5
0.0722	17.8	31	0.17	38 10.5
0.1001	14.9	32	0.326	33 4.0
0.2500	5.1	34	ung deh	die Lindkor
yaraus	berechne	i jegna ode	r oo ma	Mittelwer
Mitte	elwert	312/7	mze umito	Größte Differenz

m	abelle 2	T A
0.0297	24.3	24
0.1031	16.5	26
0.1768	10.5	28
0.3263	4.0	30
tegi wa man fi	Mittelwert ßte Differenz	27

Die Konstanz der λ-Werte beweist, daß es sich um ein für den Fall der Adsorption an Kohle aus den untersuchten zähflüssigen Medien und für das Adsorptiv Jod allgemein gültiges Ergebnis handelt, wobei es gleichgültig ist, welche spezielle Kohle man anwendet. Die qualitative Seite der Erscheinung wird davon nicht berührt, sondern nur die quantitative, worin allerdings bedeutende Unterschiede in den Endresultaten hervorgerufen werden können, ohne aber den allgemeinen Verlauf der Erscheinung zu beeinflussen. Medien de and wichtige Traggering and deliber de deliberation de la company de la comp

das v auf 2 in d sei, schaf

ab. (subst des spezi einer kenna mit g adsor stehe affin

wiede

0.00 0.00 0.00 0.00 0.01 0.02

0.10 0.10

0.05

affin : daß s spezifi der re Adsorp Gleich tates ogen eben, zerin enen

für äh-

ges

hle

ron

be-

len

zu

Die strenge Gültigkeit der vorerwähnten Gesetzmäßigkeiten, das wohl definierte Gleichgewicht, welches sich bei der Adsorption auf zähen Medien einstellt und die mäßige Wirksamkeit der Kohle in diesen Medien ließen die Frage entstehen, ob es nicht möglich sei, auf diesem Wege näheren Einblick in die Adsorptionseigenschaften der Kohle zu gewinnen.

Die Adsorption an Kohle hängt bekanntlich von zwei Faktoren ab, einerseits vom spezifischen Adsorptionsvermögen der Kohlensubstanz, einer Größe, welche durch die chemische Konstitution des adsorbierenden Stoffes bestimmt ist, und andrerseits von der spezifischen Oberfläche der betreffenden Kohle. Die Wirksamkeit einer Kohle ist durch das Zusammenwirken beider Faktoren gekennzeichnet. Mecklenburg hat nun gezeigt, daß bei Adsorbentien mit gleichem spezifischen Adsorptionsvermögen die pro Gramm adsorbierten Mengen im Verhältnis der spezifischen Oberflächen stehen. Daraus folgt, daß die Isothermen für solche Adsorbentien affin sein müssen.

Die folgende Tabelle 26 gibt das Verhältnis der 2 - Werte oder meg www ish - nut - zanehmender in onzentration i positiv ode riegativ sein. Swas ber den erhaltenen Resultaten nach Tal rabeiw

tatsachlich zumitt nebnegel Tabelle 26.

С	$\left \frac{x}{m} S_{II} \middle/ \frac{x}{m} S_{I} \right $	$\left \frac{x}{m} S_{II} \middle \frac{x}{m} S_{a} \right $	$\left \frac{x}{m} S_{II} \right _{\frac{x}{m}} B$	$\left \frac{x}{m} S_I \right \sqrt{\frac{x}{m}} Sa$	$\left \frac{x}{m} S_I \right \frac{x}{m} B$	$\frac{x}{m}$ Sa $\frac{x}{m}$ B
0.002	1.56	1.70	1.72	1.09	1.10	1.01
0.004	1.44	1.67	1.79	1.16	1.24	1.07
0.006	1.38	1.65	1.83	1.19	1.32	1.11
0.008	1 · 34	1.65	1.86	1.23	1.39	1.13
0.010	1.31	1.62	1.88	1.24	1.44	1.16
0.020	1.21	1.59	1.96	1.31	1.62	1.24
0.050	1.10	1.55	2.07	1.41	1.89	1.34
0.100	1.02	1.51	2.15	1.49	2.12	1.42
0.102	1.02	1:51	2.16	1.49	2.12	1.43

Ein Blick auf die Tabelle lehrt, daß die Isothermen nicht affin sind. Es steht dahin, ob sich daraus der Schluß ziehen läßt, daß sowohl das spezifische Adsorptionsvermögen als auch die spezifische Obersläche der Kohlen verschieden sind. Jedenfalls ist der regelmäßige Gang, den die Zahlenreihen zeigen, aus der Adsorptionsisotherme ableitbar. Für je 2 Kohlen gelten die Gleichungen:

Ged

III.

daß geg ein aus jene

der

Kor nun unt erw Trä

ente der klär rich verl Res hing ob Bin suc Phe bei die

Die strange Gültigkeit; der vorervähnten Gesetsmäßigkeiten word, definierte Geleicher
$$\frac{(x)}{m}_2 = \frac{(x)}{m}_2 = \frac{(x)}{m}_2$$

the diesem Wege
$$n = \frac{1}{\epsilon^n}$$
 even $\lim_{n \to \infty} \left(\frac{|x|}{m} \right)$ in the Adsorptions and Kohle hängt bekanntlich von zwei Faktoren

durch Division erhält man das Verhältnis: 2002 mov zijberenis

substanz, einer Größe, welche durch die chemische Konstitution des adsorbierenden Stoffet
$$+\frac{1}{r^n}$$
impt ist, und andrerseits von der pezitischen Oberfläche der benzigen Kohle. Die Wirksamkeit einer Kohle ist durch das Zusanfnenwirken beider Faktoren ge-

und die Differentiation nach c ergibt:

$$\frac{d \, v}{d \, c} = \frac{\alpha_1}{\alpha_2} \left(\frac{1}{n_1} - \frac{1}{n_2} \right) c^{\frac{1}{n_1} - \frac{1}{n_2} - 1}.$$

Der Gang wird also je nachdem, ob der Klammerausdruck positiv oder negativ ist, mit zunehmender Konzentration positiv oder negativ sein, was bei den erhaltenen Resultaten nach Tabelle 26 tatsächlich zutrifft.

0.0178	25.2	00-1	00.1	0297.	14.35.1	
0 0435	21.8	30	1.72	1031	10-5	
0.0729	1.32	21	88+1	1768		
0,1001	1-38	1.28	98.1	3263	4.458-1	
0-2500	1 1	10.54	88-1	1-62	18.1	010
1-24	1-62	18-1	96.1	1.59	Attite gen	020
1-84	ittelwert		20-8	6. Emplice	Distorbale.	
Gigipliq I	Different - 3 - 2	7 04 1F 2	8-15	10-1	-89-1	
1-43	21.8	94-1.	2116	1-51		
	Konstanz d					

spezitische Oberlläche der Kohlen, verschieden sind. Jedenfalls sist. der regelmätige Vang, den die Zahlenreihen gzeigen, aus idet asommonsisotherme ableithation: Eurode 22 Kohlenangaltenandie

audrochinganichem mit Chinggen dankelfarbien Schmelgen b

Über die Molekülverbindungen der Phenole III. Das Verhalten binärer Systeme mit hydrierten Phenolen bei dem Finggolen: vermutlich em hoylrexylenuerstoff odergam: Bennet

G. Weißenberger und F. Schuster Aus dem II. Chemischen Institut der Universität Wien Vorgelegt in der Sitzung am 16. Oktober 1924

In zwei vorangegangenen Untersuchungen ist gezeigt worden, daß die Phenole einigen leichtflüchtigen organischen Substanzen gegenüber Nebenvalenzen zu betätigen vermögen, was sich z.B. in einer starken Erniedrigung des Dampfdruckes der binären Gemische ausdrückt, die einerseits aus einem Phenol, andererseits aus einem jener flüchtigen Stoffe bestehen.

P. Pfeiffer² ist der Anschauung, daß in derartigen Komplexen der saure Phenolwasserstoff die koordinative Bindung vermittelt. Die Komplexe, um welche es sich im vorliegenden Fall handelt, haben nun große Ähnlichkeit mit den Chinhydronen, bie bereits eingehend untersucht sind, und die dort gemachten Beobachtungen lassen es erwünscht erscheinen, die Annahme, daß der Hydroxylwasserstoff Träger der Nebenvalenz sei, einer weiteren Prüfung zu unterziehen.

Die Chinhydrone, deren erster Vertreter von F. Wöhler³ entdeckt worden ist, sind Gegenstand vieler Untersuchungen gewesen, deren Zweck es war, die Konstitution dieser Verbindungen aufzuklären. Es gelang jedoch erst R. Willstätter und J. Piccard, die richtigen Formeln festzulegen und nachzuweisen, daß Nebenvalenzverbindungen vorliegen. Die genannten Autoren sehen den Sitz der Residualaffinität beim Chinon am Karbonylsauerstoff, bei den Phenolen hingegen an der Hydroxylgruppe. Sie lassen dabei die Frage offen, ob der Sauerstoff oder der Wasserstoff der Hydroxylgruppe die Bindung übernimmt. K. H. Meyer⁵ kommt auf Grund der Untersuchungen von Molekülverbindungen aus Chinon und einwertigen Phenolen ebenfalls zu dem Schluß, daß der Ort der Absättigung bei den Chinonen am Ketonsauerstoff liegt und daß bei den Phenolen die Hydroxylgruppe als Bindungsstelle in Frage kommt.

Dia significant Ameritation was the durch Malaumehlusely mitainance

ositiv oder le 26

¹ Sitzungsber. W. Acad. (2) 133, 187 (1924); Egr. 45, 281 (1924).

<sup>Organische Molekülverbindungen. Stuttgart, 1922.
Lieb. Ann. 45, 354 (1843).</sup>

⁴ Ber. 41, 1458 (1908). Amil 190 door niw nollow ellet 192 has a

⁵ Ber. 42, 1149 (1909); 43, 157 (1910)-

me

de

da

als

ze

Ge

Sti

Ur

ge

un

Ve

sol

Da

hir

höl

me

ZO

kle

die

dru

me

WU

Fü

and Ver

Bes

W. Schlenk¹ gelang es jedoch, aus Dimethyl- und Diäthylhydrochinonäthern mit Chinonen dunkelfarbige Schmelzen herzustellen und damit zu beweisen, daß der Hydroxylwasserstoff der Phenole nicht als Träger der Nebenvalenz in Betracht kommen kann. In den Molekülverbindungen der Phenole mit Chinonen treten also die Nebenvalenzen, welche die Komplexbildung veranlassen. bei den Phenolen vermutlich am Hydroxylsauerstoff oder am Benzolkern auf. Die Komplexe, welche sich aus Phenolen und den eingangs erwähnten organischen Stoffen bilden, verdanken ihre Entstehung wahrscheinlich den gleichen Kräften und es ist daher die Annahme berechtigt, daß sich bei ihnen die Nebenvalenzen ähnlich geltend machen.

Um zur Klärung dieser Frage beizutragen, haben wir versucht. in gleicher Weise, wie dies in den vorhergehenden Untersuchungen beschrieben ist, die Eigenschaften binärer Gemische zu untersuchen. welche die betreffenden organischen Stoffe einerseits, andererseits jedoch an Stelle der Phenole deren Hydrierungsprodukte enthielten. bei denen der Sechsring durch Wasserstoffanlagerung vollkommen abgesättigt war.

Zur Durchführung der Versuche wurde die bereits angegebene Apparatur benutzt, doch wurden im einzelnen einige Abänderungen vorgenommen. An Stelle der Kapillarwaschflasche setzten wir eine gewöhnliche Waschflasche, in deren Eintauchrohr von unten her ein gut passender Glasstab eingeführt war. Diese Kombination ließ mehr Luft durchtreten als die Kapillare, jedoch immer nur kleine Bläschen, so daß sich der Luftstrom genau regulieren ließ. Die Arbeitstemperatur war 20°. Der Thermostat, in welchem die Sättigungsgefäße hingen, gestattete eine Konstanthaltung der Temperatur auf + 0.1°. Die Sättigungsgefäße wurden in ihrer unteren Erweiterung mit Glaskugeln vom Durchmesser 2.5 mm gefüllt und hierauf mit je 5 cm3 der zu untersuchenden Mischung beschickt. Die handliche Form der Sättigungsgefäße (U-Rohr mit zwei kugelförmigen Erweiterungen in einem der beiden Schenkel) gestattete eine rasche und gründliche Reinigung derselben. Zur Vermeidung eines großen schädlichen Raumes schlossen wir einen Blasenzähler an, dessen Eintrittsrohr in eine feine Spitze ausgezogen war und der mit dem jeweils untersuchten Gemisch beschickt wurde.

Auch die Messung des Luftvolumens erfuhr eine Änderung. Zur Erhöhung der Genauigkeit war es erwünscht, auch sehr kleine Volumteile noch messen zu können und dieser Forderung genügten Gasuhren nicht, wiewohl wir Instrumente höchster Empfindlichkeit anwendeten, die eigens für diesen Zweck konstruiert wurden.2 Wir arbeiteten schließlich mit einem Glasaspirator, der aus drei miteinander oben und unten verbundenen Röhren bestand. Zwei dieser Röhren waren weit; die mittlere, enge, hatte die Form einer Bürette und war in derselben Weise wie eine solche ausgestattet. Sie trug eine Teilung, die gestattete, 5 cm³ genau abzulesen und Zwischenwerte zu schätzen. Der ganze Aspirator war 90 cm hoch. Über das untere Mundstück wurde ein Schlauch mit einem Schraubenquetschhahn gezogen, wodurch man den Wasseraustritt regulieren konnte.

Die einzelnen Apparaturteile wurden durch Vakuumschlauch miteinander verbunden.

d Sitzungsber, W. Acad. (2) 135, 187 (1924); Esr. 45, 281 (1924).

2 Organische Melekulverbindungen. Stuttgart, 1922

¹ Lieb. Ann. 368, 277 (1909).

³ Lieb. Ann. 45, 354 (1843). 2 An dieser Stelle wollen wir auch der Firma F. Manoschek A. G. in Wien unseren Dank für die freundliche Überlassung verschiedener Gasuhren aussprechen.

Die bei den Messungen durch die Apparatur geleitete Luftmenge betrug in jedem Fall mindestens 400 cm³. Sie wurde je nach dem Dampfdruck der zu untersuchenden Mischung so eingestellt, daß die Gewichtsabnahme der beiden Sättigungsgefäße nicht geringer als 0·1 g und nicht höher als 0·35 g war. Die Erfahrung hatte gezeigt, daß dies die günstigsten Meßbedingungen darstellt. Die Geschwindigkeit des Luftstromes wurde so gehalten, daß in einer Stunde etwa 500 cm³ Luft die Apparatur passierten. Unter diesen Umständen beträgt die Gewichtsabnahme des zweiten Sättigungsgefäßes nur etwa bis 70/0 der Gewichtsabnahme des ersten Gefäßes und dieses Verhältnis ist zugleich ein Kriterium für den guten Verlauf des Versuches.

Wir haben wiederholt die Fehlergrenze bestimmt, die bei solchen Messungen-auftritt und haben gefunden, daß der Fehler bei Dampfdrucken bis $100 \, mm$ Hg etwa $2^{0}/_{0}$ betragen kann. Darüber hinaus steigt der Fehler an, erreicht aber auch bei beträchtlich höheren Drucken nicht $5^{0}/_{0}$.

Alle Bestimmungen der vorliegenden Versuchsreihe wurden mehrmals ausgeführt und aus den Resultaten wurde das Mittel gezogen. Die erhaltenen Werte sind also wahrscheinlich mit einem kleineren Fehler behaftet, als obige Grenze angibt.

Zur Berechnung des Dampfdruckes aus den Messungen diente die Formel:

Nach der bei einzel
$$g$$
en gedakten erforderlichen Reinigung zeigten sie die Konstante M . $\frac{1}{l}$ $\frac{1}{l}$ $\frac{1}{l}$ $\frac{1}{l}$

Darin bedeuten:

 $p_{20} = \text{Dampfdruck bei } 20^{\circ} \text{ in } mm \text{ Hg.}$

g = Gewichtsabnahme der Sättigungsgefäße in Grammen.

l = Luftvolumen in Litern, reduziert auf Normalbarometerstand.

M = Molekulargewicht der flüchtigen Substanz in Grammen.

Der Zahlenfaktor errechnet sich in Berücksichtigung von Luftdruck, Temperaturkorrektion und Molvolumen (760.22:414. $\frac{293}{273}$).

Die Zähigkeit der binären Systeme wurde mit zwei Viskosimetern gemessen, wie bereits früher beschrieben. Alle Messungen wurden bei 20° ausgeführt. Das eine Instrument besaß bei einer Füllung von 8 cm³ einen Wasserwert von 49·7 Sekunden, das andere bei 9 cm³ Füllung einen solchen von 15·2 Sekunden. Die Versuchsfehler betrugen nicht mehr als 1%. Wir wiederholten alle Bestimmungen drei bis viermal und nahmen daraus den Mittelwert.

herzuoff der
ommen
treten
lassen,
enzol-

Gedmiote

ehung nahme eltend

sucht, ungen ichen, erseits ielten, mmen

paratur

Stelle

Komkleine eratur e eine ihrer nierauf n der beiden idung essen unter-

in zu nente den.² oben tlere, olche und ntere urch

Vien

nder

¹ loc. c.

consolar

Truel no

Zur Messung der Oberflächenspannung benutzten wir anfangs noch das Stalagmometer. Die besondere Natur der vorliegenden Substanzen ließ es jedoch wünschenswert erscheinen, eine andere Methode anzuwenden und wir gingen daher zur Steighöhenmethode über. Das zu untersuchende Flüssigkeitsgemisch befand sich in einem kleinen, 50 cm³ fassenden Glasgefäß, das vollgefüllt und verschlossen im Thermostaten auf die Temperatur von 20° gebracht wurde. Nach vollendeter Temperatureinstellung wurde die mit einer willkürlichen Einteilung versehene, sorgfältig gereinigte Kapillare eingesenkt, durch Eintauchen benetzt und dann hochgehoben.

Der Wasserwert der Kapillare, in deren Einheiten abgelesen, betrug 6.94. Der Versuchsfehler war etwas größer als $1^{\circ}/_{0}$. Alle Bestimmungen wurden drei- bis viermal wiederholt und der Mittelwert errechnet.

Als Versuchsmaterial wurden folgende Stoffe benutzt:

- 1. Zyklohexanol, beigestellt von der Firma Dr. Ludwig Schön in Wien.
- 2. o-, m- und p-Methylzyklohexanol, beigestellt von der Firma Riedel A. G. in Rodleben bei Roßlau (Anhalt).

W

3. Verschiedene leichtflüchtige organische Substanzen, geliefert von den Firmen Merk, Darmstadt, und Kahlbaum, Berlin.

Nach der bei einzelnen Produkten erforderlichen Reinigung zeigten sie die Konstanten:

Substanz	Kp Colored	D_{18}
Zyklohexanol	.160° ((—	0.950
o-Methylzyklohexanol	.165 WOO ==	0.930
m-Methylzyklohexanol	172.5	0.918
p-Methylzyklohexanol		0.919
Methylalkohol	66'010'	0.793
Aceton	. 56	0.795
Essigsäureäthylester	entaktor 75	0.902
Benzol A. CO. Taralloviell. Day as	80 moduja	0.878
Chloroform	61:5	1.478

Sämtliche Produkte waren demach genügend rein, um für die beabsichtigten Untersuchungen verwendet werden zu können.

A. Die Dampfdruckmessungen wurden in der beschriebenen Weise durchgeführt und ergaben Resultate, die in den nachstehenden Tabellen zusammengefaßt sind.

coscren Dank für die freundliche Uncassiung verschiedener Gasuhren, ausgegeber

Tabelle 1.

△ 10

13

17

17

16

Zyklohexanol — Benzol

18

28

41

49

56

63

67

71

72

75

31

46

60

67

71

74

21

75 15 15 16 160 160

75

54.8

8

15

25

32

37

50

56

60

p'

15

25

37

45

50

56

60

32.0

100	
nfangs	Т
genden andere	Zykloh
ethode	c
ich in	0.13
d ver-	0.25
bracht einer	0.50
pillare	0.75
01105	1.00
elesen,	1.50
Alle Mittel-	2.00
Mittel-	3.00
ginau	4.00
(Osnini	∞
chön	rogittaüli T
Firma	m-Methylzy
Miliahi	C
iefert	0.25
depuis	0.50
gung	0.75
three	1:00
	1.50
130	2.00
	3.00
Attention to	4.00
-	∞
103	T
aben.	Zyklohexanol
BARTO	AWGIET CARE
water -	0.25

die

beden

Bei Chlor		elle 5.	ge H	V.	12/	Bas
Zyklohex	anol—E	Essigsä	ureät	hy	este	r
C	p'	p	Δ	·	10° 1	150 11
0.2	5 15	27	12		gh	24474
0.5	0 24	38	14	TUT J-J-	ILDN V	Harri
0.7	5 31.2	44.8	13.6			edia
1.0	0 36	49	13			
1.5	0 44	54	10			
2.0	0 49	57	8			9649
3.0	0 55	60	5			
4.0	0 58	62	4			(c)
00	ie Phon	73				

	0.54	labe	He 2.	
0-N	Methylzy	yklohe	exanol	— Benzol
nol.	c	p'	p	Δ .
	0.25	15	30	15
	0.50	25	44	19
	0.75	32	52	20
	1.00	37	58	21
errec	1.50	45	64	19
	2.00	50	68	18
	2.50	53	70	17

56

60

71

72

15

12

3.00

4.00

Tabelle 4. m-Methylzyklohexanol—Benzol p-Methylzyklohexanol—Benzol A continue of the profit p Δ 16 0.25 17 15 32 21 25 0.50 48 22.8 32 57 23 1.00 37 63 22 1.50 45 69 学士文字母 Chillin 2.00 72 50 56 75 19 gdagaad

75 15 75

C	p'	p	A dosn
0.25	36	69	33 7070
0.50	60	101	41
0.75	77	122	45
1.00	90	136	46
1.50	108	151	43
3.00	135	165	30
5.18	151	168	17

Tabelle 6.

	ur M	[abe	lle 7	Ober	fiğchensı	smoung	Tab	elle 8	Vir an	
Zykl	ohexa	nol-	Meth	ylalho	ohol	Zyklohe	exano	l—Ch	lorofor	m
Method	C	p'	p	Δ	Wif ginge	n da G	p'	p	Δ	
iber.	0.50	32	41	10.9	de Fluss	0.50	54	54	0.0	
inem (75	41	51	10	nden Gla	0.74	68	74	6	
chloss	1.00	48	59	11	ATT IN	0.99	80	92	12	
will belief	1.50	58	68	10	mperana	1:48	96	111	15	
2	5.00	64	74	10	n benên	2:01	107	123	16	
3	3.00	72	81	9	· amiltona	2:50	115	133	18	
4	.00	77	85	8.	lehler w	3.00	120	140	20	
	00	45 1	96	(6) (8)	bis vien	4.02	128	145	17	
		9/-	00	DO-1		00	0	160	00.0	

In den Tabellen bedeuten:

c = molare Konzentration, d. h. Anzahl der Mole des flüchtigen Stoffes pro Mol des hydrierten Phenols;

p' = nach der Formel von Raoult-van't Hoff errechneter hypothetischer Partialdruck in mm Hg;

p =experimentell ermittelter Partialdampfdruck in mm Hg;

$$\Delta = p - p'$$
. Jest Firmen block, Darmstadt, und Kahlbagen, Regio.

Der hypothetische Partialdampfdruck p' wurde nach der Formel

$$p' = P_{20} \frac{c}{c+1} \frac{32}{12} \times \frac{78}{12} = \frac{64}{12}$$

berechnet, worin P_{20} den Dampfdruck des reinen slüchtigen Stoffes bei 20° bedeutet. Für P_{20} wurden der Rechnung folgende Werte zugrunde gelegt:

Methylalkohol . . . 96.0 mm Hg (W. Ramsay und S. Young¹) Aceton 179.6 mm Hg (V. Regnault²)

Essigsäureäthylester . 72.8 mm Hg (S. Young und G. L. Thomas3)

Chloroform 160.5 mm Hg (V. Regnault⁵)

Die Dampfdrucke der reinen Zyklohexanole wurden nach der Strömungsmethode von uns selbst bestimmt und betragen bei 20°:

Aus

Par Dez

mit die sind aus pro Ber bet Kol

> Zyl zwi info dru uno ein Vei

Bin

ver häl säu Bei nic zw

mit Zyl

hin

o-N

Einbei m-

we

¹ Phil. Trans. 178 A, 313 (1887).

² Mém. de l'Acad. 26, 339 (1862).

³ J. Chem. Soc. 63, 1191 (1893).

⁴ J. Chem. Soc. 55, 486 (1889).

⁵ Mém. de l'Acad. 26, 339 (1862).

Aus diesen Zahlen ist ersichtlich, daß man den Partialdruck der schwerflüchtigen Komponente in den Gemischen ohne großen Fehler vernachlässigen kann.

In den Tabellen sind die errechneten und die gemessenen Partialdampfdrucke auf ganze Zahlen abgerundet, da die erste Dezimale wegen des Versuchsfehlers nicht mehr ganz sicher ist.

Wie ersichtlich. geben alle untersuchten leichtslüchtigen Stoffe mit den Zyklohexanolen Partialdampfdrucke, welche größer sind als die hypothetischen Drucke. Die Abweichungen der Dampfdruckkurve sind positiv, die Nebenvalenzbetätigung, die bei den Phenolen so ausgeprägt zu beobachten war, ist also bei ihren Hydrierungsprodukten verschwunden. Dieses Ergebnis läßt vermuten, daß der Benzolkern an der Äußerung der Nebenvalenzkräfte bei den Phenolen beteiligt ist, sei es nun direkt dadurch, daß von allen oder einzelnen Kohlenstoffatomen Partialvalenzen ausgehen, oder sei es, daß er die Bindungsart des Sauerstoffatoms der Hydroxylgruppe beeinflußt und dieses Sauerstoffatom befähigt, Nebenvalenzen geltend zu machen.

Bei der Auflösung der untersuchten flüchtigen Stoffe in den Zyklohexanolen tritt offenbar eine Verminderung der Anziehung zwischen den Molekülen des gelösten Stoffes untereinander ein und infolgedessen steigt der Dampfdruck. Verfolgt man nun die Dampfdruckzunahme, die Differenz zwischen dem hypothetischen Wert und dem gemessenen, so bemerkt man, daß diese Differenz durch ein Maximum geht, welches einem einfachen stöchiometrischen Verhältnis entspricht. Es scheint also, daß ein bestimmtes Molverhältnis die Molekülanziehung am meisten beeinflußt. Dieses Verhältnis liegt in der Mehrzahl der Fälle bei 1:1, nur beim Essigsäureäthylester liegt es bei 1:2 Zyklohexanol: Essigsäureäthylester. Bei Chloroform treten verwickelte Beziehungen auf, die sich noch nicht klar übersehen lassen und vielleicht auf das Vorhandensein zweier ausgezeichneter Punkte, bei dem Molverhältnis 1:1 und 1:3 hinweisen.

Die aufspaltende Kraft gegenüber Benzol steigt also mit dem Eintritt einer Methylgruppe in den Zyklohexanring an und wächst bei den drei isomeren Methylzyklohexanolen von der o- über die m-zur p-Stellung. Es ist dies die umgekehrte Reihenfolge, mit welcher die Phenole ihre Nebenvalenzen betätigen.

ntigen

rm

iypo-

rmel

offes

g1)

 $1S^3$

der 0°: B. Die innere Reibung wurde in der eingangs geschilderten Weise bei 20° gemessen und mit jenen Werten verglichen, welche sich aus der Mischungsregel ergeben würden:

$$\eta = rac{\eta_1\,v_1 + \eta_2\,v_2}{v_1 + v_2}$$

Die Resultate sind nachstehend wiedergegeben:

	Tabelle	Tab	elle 10.	
Zyklohez		ethylalkohol		nol—Aceton
0.00	ab yber.	ηgef. enlers pic.	ης Tury des V 0·00 hafe	ner. ηgef. 14·5
0.50	12.3	Uniersuce to	olla 0.25 97 12	2.4 Size 4.2 //
		unpldrucla. 8 wel		
		b n 2:9 udoiswd/		
1.50	9.4	tätigung, 8.2 þ	sebem 00.11zbe	.71b .71.30g
		, ist also·thei		
3.00	91.87.17	s-Ergebng. 1 Mil	3.00 phar 5	0.68
100 4.00	6.1	En 1.2 h rands M	19 5 18 16 UU/3	·45 ns 0.61 los
		novo:61 Rionuba		
		o susgehen, ode det Hydroxing	Tabe	elle 12.
Zyklohexan	ol—Essig	rsäureäthylester	Zyklohes	canol—Benzol
A CONTRACTOR OF THE PARTY OF TH		A LOSE BOARD AND AND AND AND AND AND AND AND AND AN	23 Kiones	tanoi Donzoi
net me alle	nber.	ηgef. (Old Our 19)	าน าะป นานทุ	er. 1A Tongef.
offe on den	Aber. Un	η _{gef.} Ποιαουετοία 1814•5 11974 11916	о· 00	er. Λ ηgef. ΘΕ
neb n c ello gaud 0.00 U bau 0.25 el	7 ηber, 1111 1400 - 2411 1111 - 8010	nersuchien.hegelen hegelen 2·41en lösten Sto 7·8 un	ο ο ο ο ο ο ο ο ο ο ο ο ο ο ο ο ο ο ο	er. A 7 ηgef. A 1 110 10 14 · 5 10 10 - 1 / 10 15 · 2 10 2
900 0.00 0.25 1900 0.50	ηber. 111 111.8 11 11.0 11	ngef. Oinousiei 14.5 19.4 Beid 10sten Stoγ.8 undi. Ver0.12.0	о о о о о о о о о о о о о о о о о о о	er. 14 7 ηgef. 4 1 100 14·5 100 1 1 1 10 15·2 102 14 13 10 2·9 109
90 0 0 0 0 0 0 0 0 0 0 0 0 0 0 0 0 0 0	ηber. 11.8 10.0 μα 10.0 μα	ngef. Oldousett 14·5 (2·41 a) 10sten Stoγ. 12·0 (2·1) 11·1 (1·1)	о о о о о о о о о о о о о о о о о о о	er. / ηgef. Α • 1 / ποι 5 • 2 που • 4 / ε πο 2 • 9 ο ο ο ο • 1 . ο πο 2 • 1
90 0 0 0 0 0 0 0 0 0 0 0 0 0 0 0 0 0 0	ηber. 11.8 10.0 8.7 7.7	ntersuchien.gelonies bige Post 6·41 lösten Sto7·8 under Verlote ruck Verlote wischen 4·11 in rkt man, 2·11 d	0.00 2011 12 0.00 0.25 12 0.25 10 10 0.50 10 10 0.75 11 9 8 0.1.00 8	n ηgef. 14.5 14.5 2.9 1.002.1 2.1 2.003.1
90 0 0 0 0 0 0 0 0 0 0 0 0 0 0 0 0 0 0	ηber. 11.8 10.0 8.7 7.7	ngef. Oldousett 14·5 (2·41 a) 10sten Stoγ. 12·0 (2·1) 11·1 (1·1)	0.00 2011 12 0.00 0.25 12 0.25 10 10 0.50 10 10 0.75 11 9 8 0.1.00 8	n ηgef. 14.5 14.5 2.9 1.002.1 2.1 2.003.1
0.00 0.00 0.25 0.50 0.75 1.00	ηber. 11.8 10.0 8.7 7.7	nersuchich de her der her de h	0.00 0.25 0.00 12 0.50 10 0.75 0.00 9 0.75 0.00 9 0.75 0.00 9 0.75 0.00 9 0.75 0.00 9 0.75 0.00 9 0.00 9 0.00 9 0.00 9 0.00 9 0.00 9 0.00 9 0.00 9 0.00 9 0.00 9 0.00 9 0.00 9 0.00 9 0.00 9 0.00 9 0.00 9 0.00 9 0.00 9 0.00 9 0.00 9 0.00 9 0.00 9 0.00 9 0.00 9 0.00 9 0.00 9 0.00 9 0.00 9 0.00 9 0.00 9 0.00 9 0.00 9 0.00 9 0.00 9 0.00 9 0.00 9 0.00 9 0.00 9 0.00 9 0.00 9 0.00 9 0.00 9 0.00 9 0.00 9 0.00 9 0.00 9 0.00 9 0.00 9 0.00 9 0.00 9 0.00 9 0.00 9 0.00 9 0.00 9 0.00 9 0.00 9 0.00 9 0.00 9 0.00 9 0.00 9 0.00 9 0.00 9 0.00 9 0.00 9 0.00 9 0.00 9 0.00 9 0.00 9 0.00 9 0.00 9 0.00 9 0.00 9 0.00 9 0.00 9 0.00 9 0.00 9 0.00 9 0.00 9 0.00 9 0.00 9 0.00 9 0.00 9 0.00 9 0.00 9 0.00 9 0.00 9 0.00 9 0.00 9 0.00 9 0.00 9 0.00 9 0.00 9 0.00 9 0.00 9 0.00 9 0.00 9 0.00 9 0.00 9 0.00 9 0.00 9 0.00 9 0.00 9 0.00 9 0.00 9 0.00 9 0.00 9 0.00 9 0.00 9 0.00 9 0.00 9 0.00 9 0.00 9 0.00 9 0.00 9 0.00 9 0.00 9 0.00 9 0.00 9 0.00 9 0.00 9 0.00 9 0.00 9 0.00 9 0.00 9 0.00 9 0.00 9 0.00 9 0.00 9 0.00 9 0.00 9 0.00 9 0.00 9 0.00 9 0.00 9 0.00 9 0.00 9 0.00 9 0.00 9 0.00 9 0.00 9 0.00 9 0.00 9 0.00 9 0.00 9 0.00 9 0.00 9 0.00 9 0.00 9 0.00 9 0.00 9 0.00 9 0.00 9 0.00 9 0.00 9 0.00 9 0.00 9 0.00 9 0.00 9 0.00 9 0.00 9 0.00 9 0.00 9 0.00 9 0.00 9 0.00 9 0.00 9 0.00 9 0.00 9 0.00 9 0.00 9 0.00 9 0.00 9 0.00 9 0.00 9 0.00 9 0.00 9 0.00 9 0.00 9 0.00 9 0.00 9 0.00 9 0.00 9 0.00 9 0.00 9 0.00 9 0.00 9 0.00 9 0.00 9 0.00 9 0.00 9 0.00 9 0.00 9 0.00 9 0.00 9 0.00 9 0.00 9 0.00 9 0.00 9 0.00 9 0.00 9 0.00 9 0.00 9 0.00 9 0.00 9 0.00 9 0.00 9 0.00 9 0.00 9 0.00 9 0.00 9 0.00 9 0.00 9 0.00 9 0.00 9 0.00 9 0.00 9 0.00 9 0.00 9 0.00 9 0.00 9 0.00 9 0.00 9 0.00 9 0.00 9 0.00 9 0.00 9 0.00 9 0.00 9 0.00 9 0.00 9 0.00 9 0.00 9 0.00 9 0.00 9 0.00 9 0.00 9 0.00 9 0.00 9 0.00 9 0.00 9 0.00 9 0.00 9 0.00 9 0.00 9 0.00 9 0.00 9 0.00 9 0.00 9 0.00 9 0.00 9 0.00 9 0.00 9 0.00 9 0.00 9 0.00 9 0.00 9 0.00 9 0.00 9 0.00 9 0.00 9 0.00 9 0.00 9 0.00 9 0.00 9 0.00 9 0.00 9 0.00 9 0.00 9 0.00 9 0.00 9 0.00 9 0.00 9 0.00 9 0.00 9 0.00 9 0.00 9 0.00 9 0.00 9 0.00 9 0.	n ηgef. 14.5 14.5 2.9 1.002.1 2.1 2.003.1
0.00 0.00 0.25 0.50 0.75 1.00	ηber. 11·8 10·0 8·7 7·7 6·3 5·4	ngef. One 199η Color of 199η	0.00 9 0.25 10 12 0.50 10 10 0.75 11 9 1.50 6 2.00 5 2.00 5	r. ηgef. 14·5 ·1/ πο 5·2 ·4 / 2·9 ·1 2·1 ·2 2·1 1·7 ·8 4 / 1/ 3
0.00 0.25 0.50 0.75 1.00 1.50 2.00	ηber. 11·8 10·0 8·7 7·7 6·3 5·4 4·2	ngef. Dinouses of 14·5 (14·5) (16·6) (16·6) (16·6) (16·6) (16·6) (16·6) (16·6) (16·6) (16·6) (16·6) (16·6) (16·6) (16·6) (16·6) (16·6) (16·6) (16·6) (16·6) (16·6) (16·6) (16·6) (16·6) (16·6) (16·6) (16·6) (16·6) (16·6) (16·6) (16·6) (16·6) (16·6) (16·6) (16·6) (16·6) (16·6) (16·6) (16·6) (16·6) (16·6) (16·6) (16·6) (16·6) (16·6) (16·6) (16·6) (16·6) (16·6) (16·6) (16·6) (16·6) (16·6) (16·6) (16·6) (16·6) (16·6) (16·6) (16·6) (16·6) (16·6) (16·6) (16·6) (16·6) (16·6) (16·6) (16·6) (16·6) (16·6) (16·6) (16·6) (16·6) (16·6) (16·6) (16·6) (16·6) (16·6) (16·6) (16·6) (16·6) (16·6) (16·6) (16·6) (16·6) (16·6) (16·6) (16·6) (16·6) (16·6) (16·6) (16·6) (16·6) (16·6) (16·6) (16·6) (16·6) (16·6) (16·6) (16·6) (16·6) (16·6) (16·6) (16·6) (16·6) (16·6) (16·6) (16·6) (16·6) (16·6) (16·6) (16·6) (16·6) (16·6) (16·6) (16·6) (16·6) (16·6) (16·6) (16·6) (16·6) (16·6) (16·6) (16·6) (16·6) (16·6) (16·6) (16·6) (16·6) (16·6) (16·6) (16·6) (16·6) (16·6) (16·6) (16·6) (16·6) (16·6) (16·6) (16·6) (16·6) (16·6) (16·6) (16·6) (16·6) (16·6) (16·6) (16·6) (16·6) (16·6) (16·6) (16·6) (16·6) (16·6) (16·6) (16·6) (16·6) (16·6) (16·6) (16·6) (16·6) (16·6) (16·6) (16·6) (16·6) (16·6) (16·6) (16·6) (16·6) (16·6) (16·6) (16·6) (16·6) (16·6) (16·6) (16·6) (16·6) (16·6) (16·6) (16·6) (16·6) (16·6) (16·6) (16·6) (16·6) (16·6) (16·6) (16·6) (16·6) (16·6) (16·6) (16·6) (16·6) (16·6) (16·6) (16·6) (16·6) (16·6) (16·6) (16·6) (16·6) (16·6) (16·6) (16·6) (16·6) (16·6) (16·6) (16·6) (16·6) (16·6) (16·6) (16·6) (16·6) (16·6) (16·6) (16·6) (16·6) (16·6) (16·6) (16·6) (16·6) (16·6) (16·6) (16·6) (16·6) (16·6) (16·6) (16·6) (16·6) (16·6) (16·6) (16·6) (16·6) (16·6) (16·6) (16·6) (16·6) (16·6) (16·6) (16·6) (16·6) (16·6) (16·6) (16·6) (16·6) (16·6) (16·6) (16·6) (16·6) (16·6) (16·6) (16·6) (16·6) (16·6) (16·6) (16·6) (16·6) (16·6) (16·6) (16·6) (16·6) (16·6) (16·6) (16·6) (16·6) (16·6) (16·6) (16·6) (16·6) (16·6) (16·6) (16·6) (16·6) (16·6) (16·6) (16·6) (16·6) (16·6) (16·6) (16·6) (16·6) (16·6) (16·6) (16·6) (16·6) (16·6) (16·6) (16·6) (16·6) (16·6) (16·6)	0.00 9 0.25 10 12 0.75 10 9 1.00 8 1.50 6 2.00 5 2.13.00 14 1.4.00 17 3	n ηgef. 14·5 14·5 14·5 14·5 14·6 10·96 10·96 10·96
0.00 0.25 0.50 0.75 1.00 1.50 2.00 3.00 4.00	ηber. 11·8 10·0 8·7 7·7 6·3 5·4 4·2	tersuchien.jeglichen Store. 14.6 in des Store. 14.6 in des Store. 16.6	0.00 9 0.25 10 12 0.75 10 9 1.00 8 1.50 6 2.00 5 2.13.00 14 1.4.00 17 3	n ηgef. 14.5 14.5 2.9 1.0 2.1 2.1 2.1 2.0 1.7 8.4 1.3 8.4 1.1 6.4 9.96

Tabelle 13.	Tabelle 14.
Zyklohexanol—Chloroform	o-Methylzyklohexanol—Benzol

C	Ther.	nget.		C	ber.	ngei.
0.00	der binär	mo14.5 Sm	ruckdiffere	0.00	an die D	21.7//
0.50	10.7	616 3:6	THEN THE	0:50	16.1	3:2no8
0.74	9.4	2.4	ibst besti	1.00	12.9	1.8
0.99	8.5	1.9		1.50	10.8	1.2
1.48	6.1	1.3	-d 12	2.00	109.390	ethy 8.1 klo
2.01	7.1	101:28	gegenübe	3.00	sbr 7:3 ga	Dit tuff
2.50	5.4	1.16		4.00 an	6.1	roll:0 minu
3.00	194.800	7 11:13 BX	vizyklohe	∞ / ·	isomèter	0.64 sb
4.02	ed:4:0 al	1:10	dies die			zur p-Stel
00	gen.	0.58	ebenvalen		henole	

m

Noer.

Versidie Erst bez

sinc Mis dru eine find läßt

so im alk

dan

lderten welche

dies

1/18

misM III	Tabelle	15. Egunen m	Aceten, r	Tabelle	16.	
m-Methyl	zyklohexa	anol-Benzol	p-Methyla	zyklohexa	anol—Ben	zol
C	ηber.	ηgef.	c C	ηber.	ηgef.	i in

C	ηber.	ηgef.		C	ηber.	ngef.
0.00		22.8		0.00		30.4
0.50	16.9	4.2	XXX	0.50	22.6	5.3
1.00	13.5	2.1		1:00	18.0	2.4
1.50	11.3	1.6		1.50	15.0	1.8
2.00	9.7	1.5		2.00	12.9	1.6
3.00	7.7	1.2		3.00	10.1	1.4
4.00	6.4	1.1	5. 1. 1. 1. 1. 1. 1. 1. 1.	4.00	8.3	1.3
00	V. H. Wha	0.64	reb risan	∞	n messel	0.64

In den Tabellen bedeuten:

c =molare Konzentration;

 $\eta_{\text{ber.}} = \text{relative innere Reibung, nach der Mischungsregel berechnet;}$ $\eta_{\text{gef.}} = \text{gemessene relative innere Reibung, bezogen auf Wasserbei 20°.}$

Die Zahlenwerte der Tabellen wurden mit Rücksicht auf den Versuchsfehler auf eine Dezimale abgerundet. Nur dort, wo auch die zweite Dezimale verläßlich ist, erscheint sie wiedergegeben. Erstmalig bestimmt wurden die relativen inneren Reibungen in bezug auf Wasser (η_{20}) für:

Zyklohexanol	10	Romo	8	U.	5]	. 14.5
o-Methylzyklohexanol .			3 .			. 21.7
m-Methylzyklohexanol						. 22.8
p-Methylzyklohexanol.						.30.4

Für die verwendeten flüchtigen Stoffe ergab sich η_{20} zu:

Benzol				348	0		. 0.64	3.00
Methylalkohol	.0.			d.F	0		. 0.61	n Į
Chloroform .								
Essigsäureäthyl	ester	-na					. 0.48	
Aceton								evadobly.

Die Kurven der inneren Reibung der untersuchten Gemische sind stark negativ in bezug auf die hypothetische Kurve nach der Mischungsregel. Dieses Ergebnis bestätigt die Resultate der Dampfdruckmessungen. Wenn durch Mischung der beiden Komponenten eine Herabsetzung der Anziehung zwischen den Molekülen stattfindet, muß auch die innere Reibung sinken. Dieser Parallelismus läßt sich ganz deutlich verfolgen. Greift man z. B. die Zyklohexanoldampfdruckkurven und die Zyklohexanolviskositätskurven heraus, so erkennt man, daß bei ersteren die größte Dampfdruckerhöhung im System mit Aceton auftritt, die geringste in dem mit Methylalkohol. Entsprechend wird die innere Reibung am stärksten er-

Zykloba

niedrigt im System mit Aceton, am geringsten in dem mit Methylalkohol. Die folgende Gegenüberstellung von \triangle_{max} einerseits und η für die gleiche molare Konzentration c=1 andererseits zeigt dies deutlich:

Sub	ostanz	o. j \triangle m	ax η
Methylalkol		11	2.9
Chloroform			
Benzol	·	19	1.7
Aceton		46	1.3

C. Die Oberflächenspannung eines Gemisches läßt sich aus der der Komponenten nach der von W. H. Whatmough¹ angegebenen Formel rechnen:

$$\sigma = \text{molare Konzentration} \frac{v_2 v_2 v_3 v_4 v_2}{R} = \frac{\sigma_1 v_1 + \sigma_2 v_2}{R} \frac{\sigma_1 v_2 + \sigma_2 v_3}{R} = \frac{\sigma_1 v_3 + \sigma_$$

worin R der Kontraktionsfaktor ist. Diese Formel ist im nachstehenden benutzt worden, zu welchem Zweck für jedes Gemisch die Dichte bestimmt wurde. Die in den Tabellen enthaltenen Werte sind auf Wasser bezogen.

Zivanasara	Tabelle	ni 17. navitale te	vurden die T für:	abelle 1	Erstmalig be
Zyklohe	xanol—Me	thylalkohol	Zyklol	hnxanol—	Aceton
C	G'ber.	c'gef.	kioh e xanol	vs c'ber. M	o c'gef.
0.00	8 22 0	. 0.474	1000 O 000	-Methylzy	434
0.50	0.448	0.439	0.25	0.450	0.436
0.75	0.438	0.425	0.50	0.433	0.416
1.00	0.429	0.415	0.75	0.419	0.401
1.50	0.415	0.399	1.00	0.403	0.388
2.00	0.404	0.385	1.50	0.392	0.369
3.00	0.388	0.366	3.00	0.365	0.351
4.00	0.376	0.353	5.18 od	0.348	0.346
00	86.0	0.312	00	nioroform	0.313
	Tabelle 1	9.	Thylester	abelle 2	.0.
Zyklohexar	nol—Essigs	säureäthyleste	Zyklol	nexanol—	Benzol
Comische	netro'ber.et	nu c'gef. gnudi	inneren Re	o'ber.	o'gef.
10.00 der	sche kurv	0.474 d 9ib	be00.0 auf	ni vidaga	0.474
-10 0·25 b	0.445	90.412	210 0.25	0.460	0.445
0.50	0.425	0.390	0.50	0.451	0.433
0.75	0.411	0.378	0.75	0.444	0.431
1.00	0.400	0.369	1.00	0.439	0.432
8110181195011	0.385	0.357	9/1 91 50	0.431	0.415
-long 2.00 >	0.375	0.352 men	neo[2:00 d	0.425	0.410
3.00	0.361	0.349	3.00	0.418	0.405
4.00	0.353	0.347	4.00	0.414	0.403
Sundo S	Daily witti	0.321	Del Calere	DED DEST	0.396
ntt Alethyl-	i maboni	die genngste	DITTITUDE OF	mit Acet	III System

J' gef

wui

un

¹ Z. phys. Ch. 39, 129 (1902). The briw briefly bride bride

ethylund n t dies

sich ughi

ehenn die Verte gemessen. .22 selleda Tahraus ist 73.0. F. 1.12 selleda T giot min Zyklohexanol—Chloroform

0-	Methylz	yklohexar	nol-Benzol	Zyklohe	xanol—C	hloroforn
	C	o'ber.	σ'gef.	· · · · · · · · · · · · · · · · · · ·	σ'ber.	σ'gef.
	0.00		0.430	0.00		0.474
	0.50	0.421	0.406	0.50	0.444	0.439
	0.75	0.418	0.403	0.74	0.434	0.424
	1.00	0.416	0.404	0.99 T	0.427	0.414
	1.50	0.412	0.398	1.48	0.416	0.404
	2.00	0.410	0.397	2.01	0.408	0.399
	3.00	0.407	0.397	2.50	0.402	0.396
	4.00	0.405	0.397	3.00	0.398	0.394
	00		0.396	4.02	0.392	0.391
		Amiler	408 mer sinsa	ionax colors	Methylzy	0.365

Tabelle 23.

Tabelle 24.

m-Methylzyklohexanol

etnyizy	Kionexan	ol—Benzol	m-Methylz	ykionexai	101—ре
c	σ'ber.	σ'gef.	C	σ'ber.	σ'gef.
0.00	der dies	0.420	0.00	eniadriosa	0.407
0.50	0.414	0.406	0.50	0.404	0.399
0.75	0.412	0.404	0.75	0.403	0.398
1.00	0.410	0.406	0.99	0.402	0.398
1.50	0.408	0.400	1.50	0.401	0.397
2.00	0.406	0.399	2.00	0.401	0.397
3.00	0.404	0.398	3.00	0.400	0.397
4.00	0.402	0.397	4.00	0.399	0.397
00	all reales	0.396	00	HASHITARCOL	0.396

In den Tabellen bedeuten: Verhältnis L: 1, korrespondierend m

c = molare Konzentration;

o'ber. = relative Oberflächenspannung bei 20° in bezug auf Wasser berechnet nach Whatmough; 2201 amadamilian 1

σ'_{gef.} = gemessene relative Oberflächenspannung.

Der absolute Wert der Oberflächenspannung des Wassers wurde nach der Steighöhenmethode bei 18°

von P. Volkmann ¹	zu	$73 \cdot 1$	dyn/cm
» J. Domke ²	»	73	»
» R. P. Worley ³	>>	72.7	. »
und » W. O. Harkins und F. E. Brown ⁴	»	73.1	»

¹ Wied. Ann. 66, 164 (1898).

² Wiss. Abh. Norm.-Eich.-Komm. 3, 38 (1902).

³ J. Chem. Soc. 105, 226 (1914).

⁴ J. Am. Chem. Soc. 41, 499 (1919).

gemessen. Das Mittel daraus ist 73.0. F. Freundlich gibt nun für die Änderung der Oberflächenspannung mit der Temperatur die Formel:

Ge

IV

Kre Sys

suc

wa Phe wü Ver

hat

15°

Ein

Vol

der

gez

Mer

$$\sigma_t = \sigma_o \left[1 - \gamma \left(t - t_o\right)\right]$$

und P. Volkmann² und C. Forch³ ermittelten γ zu 0.002. Daraus folgt für o20 der Wert 72.7 dyn/cm. Legt man diesen Wert der Rechnung zugrunde, so erhält man für die absoluten Oberflächenspannungen bei 20° nach unseren Messungen folgende Zahlen (σ_{20}) :

1306	Zyklohexanol
andergeles	o-Methylzyklohexanol
385	p-Methylzyklohexanol 30.5
	m-Methylzyklohexanol 29.6
	Methylalkohol
Wdrien all	Aceton Aceton 22.8
den benu	Essigsäureäthylester
Dichte he	Benzol
sing appe	Chloroform

Die gefundenen Oberflächenspannungskurven sind sämtlich stark negativ, d. h. die gemessene Oberflächenspannung ist erheblich geringer als die errechnete. Da die Oberflächenspannung mit dem Binnendruck, beziehungsweise der molekularen Anziehung zusammenhängt, kann man auch darin eine Bestätigung der bei den Dampfdruckmessungen gegebenen Erklärung sehen.

Die Oberflächenspannungskurven der Systeme mit Benzol zeigen sämtlich einen ausgezeichneten Punkt beim stöchiometrischen Verhältnis 1:1, korrespondierend mit dem Wert von △max bei den molare kongentration; entsprechenden Dampfdruckkurven.

relative Oberflächenspannung bei 20° in bezug auf Wasser

von R. Volkmann 22.0 212:0 20 78 T dynkem

2-00 0-975 0-352 2-00 - 0-425 / 0-410

4 J. Am. Chem. Soc. 41, 400 (1919). [2021] 821 ,85 .43 .cydy .Z 1

wurde nach der Steighöhenmethode bei 148° wa'e

und all W. O. Harkins und F. E. Brown . . . 3:4

20 Kiss. Abh. North-Eicht-Womm. 3, 38 (1902); 0

50 學事情od 3,483 184 R. P. Wolley 3 57-0

1g/Wind: Arm, 164, 164 (1898).

Chemieheft Nr 7 and 8.

3 J. Chem. Soc. 105, 226 (1914).

Der absolute Weit der Oberflächenspannung des Wassers

0-380 0-378 0-369

0.850

1221

¹ Kapillarchemie, Leipzig, 1922.; dynomiad W doan iandoarad

² Wied. Ann. 56, 483 (1895). ³ Ann. Phys. (4), 17, 749 (1905).

unterworfen, bis bilne Prüfung argah, daß mier zurn Vornahme der

bt nun ur die

Daraus rt der ächen- σ_{20} :

mtlich st ernung hung i den

enzol schen den

Messungen in allen ihren physikalisphen Konstanten geeignet wuren Über die Molekülverbindungen der Phenole

IV. Das Verhalten der binären Systeme mit Phenol und Phenoläthern Money Address Andrens Ather

Von

G. Weißenberger, F. Schuster und K. Schuler

Aus dem II. chemischen Institut der Universität in Wien.

Vorgelegt in der Sitzung am 6. November 1924.

Die Ergebnisse unserer bisherigen Untersuchungen¹ an den Kresolen und am Zyklohexanol regten dazu an, auch die binären Systeme mit Phenol und dessen Äthern in den Kreis der Untersuchungen einzubeziehen. Nach den aufgefundenen Beziehungen war zu schließen, daß die sauerstoffhaltigen Komponenten mit Phenol wieder die bekannten Dampfdruckerniedrigungen ergeben würden, während bei den Kohlenwasserstoffen und verwandten Verbindungen Dampfdruckerhöhungen zu erwarten waren.

Die Arbeitsmethode, die wir bisher mit Erfolg verwendet hatten, wurde unverändert beibehalten, die Arbeitstemperatur betrug 15° C. Wir bedienten uns zur Messung des Gasvolumens eines mit Einteilung versehenen Gasaspirators, der die Ablesung kleiner Volumina mit hinreichender Genauigkeit gestattete. Zur Messung der Oberflächenspannung wurde die Steighöhenmethode heran-gezogen.

Die verwendeten Präparate stammten von Kahlbaum und Merck. Sie wurden in der üblichen Weise so lange der Reinigung

darf daher aus der Lage des Amux nicht ohne weiteres auf die

deven generalization data property based and Dastabase according
Phenol—Methylalkohol Phenol—Äthylalkohol
stellung Aler . 1999 ek. 1999 ek. 1999 ek. 1999 er. 1999 ek. 1999
andere Bedeuting 11 15.0 Reinem Zweifel 8.8 61 08.0 Bedeuting 11 15.0 Bedeuting 11 1
0.50 24 14 -10 0.78 14 9.4 -4.6
0.75 31 22 -9 1.03 17 13 -4 1.03 17 13 10 10 10 10 10 10 10
$\begin{array}{cccccccccccccccccccccccccccccccccccc$
2.00 48 44 - 4 Jan aw bau 25 24 -1 Hansa
schlieber, data auch dort Molekalverbungen ung neder trawner der der der der der der der der der d

Unterschiede bestehen. Aus den Tabellen entnehmen wir forgendes

bnu

neb l

unterworfen, bis ihre Prüfung ergab, daß sie zur Vornahme der Messungen in allen ihren physikalischen Konstanten geeignet waren. Die Resultate der Messungen sind in den vor- und nachstehenden Tabellen zusammengefaßt.

Wi

Ve

der

aus Ko

zei ZW ent

ver dre Äth

läß

an, der mu Nel

gef

krä drü

Äth Ket

bei

P

0-

wai

Ein

wir

erh

in

Un Bei

Tabe	tle 3.	n Syste	binäre	der	Tabe	11e 4.	Das
Phenol-	-Acetor	thern a	nenola	Phei	nol—	Äthylä	ther
c pber.	pgef.	△ hall	no Yn fili	C	Pher.	pgef.	Δ
0.25 29	8 br	21	Sel Sel	0.35	928	9 26	-66
0.50 48	15	-33		0.50	121	51	70
0.61 19 54 1	228397	1 32 eb 1	en Institu	0.64	139	m74 2	A_65
0.82 64	33	-31	Citeman	0.77	154	93	-61
0:98 / 70	43	—27	Simzne	1.00	179	131	-48
1.20 77	54	-23	1	1.48	211	189	_22
1.51 85	68	-17	er pisu	unser	5.581	rgeon	ine r
2.00 95	85	grenorda. Athern	kanom re dessen	done	Y Fons	ind an	solen t

Die in den vorstehenden vier Tabellen wiedergegebenen Resultate sind von besonderer Wichtigkeit. Schmidlin und Lang¹ haben durch Auflösung von trockenem, pulverisiertem Phenol in Aceton und darauffolgende Abkühlung eine Molekülverbindung erhalten, die in langen Nadeln kristallisierte und deren Zusammensetzung zu (2 C₆H₅OH).(CH₃COCH₃) ermittelt werden konnte. Mit Hilfe der thermischen Analyse des binären Systems Phenol-Aceton konnten sie nachweisen, daß diese Verbindung die einzige ist, welche die beiden Komponenten eingehen. Wie Tabelle 3 zeigt, haben wir den charakteristischen Punkt der Dampfdruckkurve des gleichen Systems (\triangle max) bei c = 0.5 gefunden, d. h. an der Stelle, welche der Zusammensetzung der Molekülverbindung entspricht. Dieser Punkt ist sehr scharf ausgeprägt. Es ist wohl bekannt, daß der Ort von Amax nicht streng mit dem Ort der Verbindung zusammentreffen muß, daß also Verschiebungen eintreten können. Man darf daher aus der Lage des \triangle_{max} nicht ohne weiteres auf die Molekülverbindung schließen. Wir haben auch bisher immer nur davon gesprochen, daß unsere Ergebnisse das Bestehen einer Molekülverbindung wahrscheinlich machen. Auf Grund der Darstellung der Molekülverbindung gewinnen aber unsere Resultate eine andere Bedeutung. Es kann keinem Zweifel unterliegen, daß die Lage des △max beim System Phenol-Aceton den Ort der Molekülverbindung angibt und damit stimmen auch alle anderen Ergebnisse überein. Bei der gleichen Konzentration weist das System z. B. die größte Dichte auf. Nun zeigt aber eine ganze Gruppe von Systemen genau das gleiche Verhalten und wir müssen aus Analogiegründen schließen, daß auch dort Molekülverbindungen vorliegen, wo wir ihre Gegenwart bisher nur als wahrscheinlich bezeichnet haben.

¹ Ber. 43, 2806 (1910); 45, 901 (1912). 181 24 mod A datamold

ne der waren. nenden

Gedruck

Wir sind nunmehr auch in die Lage versetzt, die Formeln dieser Verbindungen anzugeben. Sie folgen alle einem einheitlichen Typus, der offenbar in der Konstitution begründet ist und bestehen stets aus zwei Molekülen des Phenols und einem Molekül der zweiten Komponente, wobei wir bisher nur bei solchen Systemen die Anzeichen von Molekülverbindungen aufgefunden haben, welche als zweite Komponente einen Alkohol, ein Keton oder einen Äther enthalten.

Wir können also als nachgewiesen betrachten: Die Molekülverbindungen des angegebenen Typus zwischen Phenol und den drei isomeren Kresolen einerseits und den Alkoholen, Ketonen und Äthern anderseits.

Über das Bindungsverhältnis in diesen Molekularverbindungen läßt sich sehr wenig aussagen. Pfeiffer und andere Autoren nehmen an, daß der Wasserstoff des Phenols koordinativ an den Sauerstoff der anderen Komponente gebunden ist. Dies kann zutreffen, doch muß nach Ersatz des Wasserstoffs durch einen Alkylrest ein anderes Nebenvalenzzentrum wirksam werden, wie wir an den Phenoläthern gefunden haben.

Es ist nun interessant, die relative Stärke der Nebenvalenzkräfte zu vergleichen, soweit sie sich in den Werten für △max ausdrücken. Von den drei sauerstoffhaltigen Körperklassen zeigen die Äther die kräftigsten Dampfdruckerniedrigungen, dann folgen die Ketone und schließlich die Alkohole. Die Dampfdruckerniedrigung bei den binären Systemen sind folgende:

Phenol-Tetrachlorkoblensto Athylalkohol Aceton Ather Anmerkung 4.9 l = 15° 33 Phenol Steple g 3.6 31 p-Kresol..... 34 t = 18° Tabelle 9.

Wie ersichtlich, schwanken die Werte von △max bei den verwandten Systemen nur wenig. Immerhin kann man sagen, daß der Eintritt einer Methylgruppe in Metastellung die gegenseitige Einwirkung etwas abschwächt, die Parastellung der Methylgruppe erhöht die Wirkung und ebenso wird sie von einer Methylgruppe in der Orthostellung vermehrt. Die Orthostellung wirkt am stärksten.

Es scheint, daß innerhalb einer Reihe selbst wieder beträchtliche Unterschiede bestehen. Aus den Tabellen entnehmen wir folgendes Beispiel (Amax bei 15°):

benen ang¹ ol in ndung mene. Mit ceton e ist,

zeigt,

des

Man die nur einer Dar-

die külnisse die

eine

men iden wir ben. 1525

efota

Heen

-nA

n alle einem einheitlichen	Methylalkohol	Äthylalkohol	ni
degrandete ist und besteht	Constitution in	enbelouden beter if	Bo
und einein Mosekureder	des Phenols	vei Molekülen c	NS
Phenoleter & medolog jod	wir bisher ni	nentee tvobei	bar

mi

sel

all

Ch val we

Ko

ob

ein An

Sy

ist Sy

im Ko die um aul

Re

Phe

hal

Wa bee

zei

Die Dampfdruckerniedrigung äußert sich beim Methylalkohol doppelt so stark als bei dem nächsten Homologen. Danach wäre zu schließen, daß beim Ansteigen in einer homologen Reihe die Wirkung rasch abfällt.

Die nachfolgenden Tabellen enthalten die Dampfdruckwerte bei den Systemen mit Kohlenwasserstoffen und deren Derivaten.

list sich sehr Wenig aussagen. Pfeiffer und andere Autoren nehmen

de .6 elle des Phenois koordin.6 elle da Tabelle 6.	anb
Phenol—Benzol Phenol—Toluol	ande
mediato ceri [pber.] pgef. iv Aiv achew machin pber. pgef. and	
0.75 25 43 +18 0.74 7.1 12 +	4.9
1:00 M 29 by 49 miz +20 min or 1:00 m 8:4 m 14	5.6
Frim 1.51 m 35 met 52/ met 17/1 data siz 1/2/55 10 data 15 met	50 0
ethane 2:00 m 39 six 54 gro H-15 gitter flots a 2:00 in 11 no 16 m 1	5aga
edz urg2152 n42 b 155 gau 1:18 birrestern b 13:100 13 tegin 16 d 1-1-1	biggs

votone und schlich die Alkoboles Die Dampfdruckarniedrigung

Phen	iol—C	hlorof	orm usehem	Phenol—7	Cetrac	hlorko	hlen
r c	pber.	Pgef.	Aceton	lodosla cuta	pber.	pgef.	Δ
0.55	46	57	+11	0.74	31	55	+2
0.77	56	67	+-11	1.02	36	61	+2
1.00	64	73	+ 9	1.49	43	65	+23
1.33	73	77	+- 4 ···	1.95	47	67	+20
1.55	78	80	+ 2	2.49	51	67	+10
2.00	86	87	1 1 1 8	3.00	54	68	+14

Moleksiverbindung swahrschamlich medien.

stellung der Mclekülverbindt Tabelle 9.n aber unsere Resultate eine andere Bedeutung. Es kann keinem Zweifel unterliegen, daß die
Phenol-Schwefelkohlenstoff
wanden Systeman and wenners in phenom pgenew day and sage in the sage of the s
9.50 174 7 900

Unterschiede besteh 26th Aus 829n Tet Glen 96th ehmen wir Tolgendes Ber. 43, 2806 (43:00 45, 183 (181 227 :444 ied xam A) leiqzied

SHAVOD

Ebenso wie bei den Kresolen erhalten wir auch beim Phenol mit den Kohlenwasserstoffen durchwegs positive Kurven von demselben Typus. Amax liegt hier immer beim Molverhältnis 1:1, mit alleiniger Ausnahme der Systeme, in denen eine Komponente das Chloroform ist. Diese Verbindung hat ein besonders starkes Nebenvalenzfeld, das gewisse Ausnahmen mit sich bringt, worüber wir weiter unten noch sprechen werden.

Es ist noch nicht klar, ob die Wirkung der Phenole und der Kohlenwasserstoffe aufeinander bloß die einer Abstoßung ist oder ob die Dampfdruckerhöhung die Resultierende aus verschiedenen, einander überlagernden Vorgängen darstellt. Wir neigen der ersteren Ansicht zu, da es sonst schwer zu erklären wäre, warum bei allen Systemen dieser Gruppe \triangle_{\max} immer bei c=1 liegt. Interessant ist ein Vergleich der relativen Höhe von \triangle_{\max} bei den einzelnen Systemen, z. B.:

Standennie Verhalen das abidemase Verhalen dei allen

dennos blabelle (13)	Benzol	hidden a Tab
Arisot Schwefelkoblen	tohlenstoff.	iotrosmo (
Phenol	20 ^	$t=15^{\circ}$
m-Kresol	24	t = 18°
p-Kresol	19	l = 18°
o-Kresol	also 13 ch	t = 18°

Man erkennt deutlich den Einfluß der Substitution, der sich im selben Sinne geltend macht. wie oben bei den sauerstoffhaltigen Komponenten. m-Kresol wirkt etwas stärker als Phenol, die p- und die o-Verbindung äußern ihren Einfluß schwächer. Es ist die genau umgekehrte Reihenfolge, in welcher sie bei den Molekülverbindungen auftreten. Die Verhältnisse sind ebenfalls dieselben.

Ebenso wie wir oben bei den Alkoholen gesehen haben, fällt auch bei den Kohlenwasserstoffen die Wirkung in den homologen Reihen rasch ab, z. B:

	Benzol	Toluol	
Phenol	20	5.6	t = 15°
den Alkoholen, Kelonen und			

Das Verhalten der Phenole scheint also sowohl den sauerstoffhaltigen Substanzen gegenüber als auch gegenüber den Kohlenwasserstoffen und ihren Derivaten von ähnlichen Gesetzmäßigkeiten beeinflußt zu sein. Die Wirkungen sind gleichartig, nur das Vorzeichen ist verschieden.

wäre he die

mithal/

िक तकत

uds SA

Kompe

eiche

lkohol

werte ivaten.

b zo

off

die kül-

billes byvis

Unte

O

long In der Absicht, einen Beitrag zur Lösung der Frage nach der Bindungsstelle zu bringen, an welcher die Nebenvalenzkräfte bei den Phenolen angreifen, haben wir auch das Anisol im Verhältnis zu verschiedenen Komponenten untersucht. Die Ergebnisse Information ist. Diese Verbindung hat ein besonders starkes :neraw

F

k f d d N

fr W b d Se n li

po n R

be al be W di

kr ZU

M Cl

bi

ist

ge

m

ab Ch bin de die de

un

Re

	nisol-	Aceto		sibudoni				ther
daic an	and the same	the second second second second	un Zarpe	gold reba	PG19	pber.	pgef.	V.SS
0.61	54	70	sultiarence	g die ke	0.50	118	152	+3
1.00		88	the state of the state of	eangen de		179	215	+3
2.00	95	114	+19		1.50	212	250	+3
2.50	101	121	+20	mimi zam/	2.00	236	274	+3
3.00	106	126	+20	ven Höhe	2.50	253	287	+3
3.50	110	130	+20		3.00	265	289	+2
4.00	114	132	+18	4	4.00	283	295	+1
1.51 4	2015	59	ohlenstof				efelko	. Inv
C	Pber.	pgef.	20Δ		C	Pber.	Pgef.	Δ
X 470	24	30	+-6	(.25	49	80	+-3
0.50	~ .	38	+-7	0	.50	81	116	+-35
A 470	31					105	138	+33
0·50 0·74 1·02		42	-+-6	- 0	.75			. 01
0·50 0·74		42 49	+6 +6		.00	122	153	1-31
0·50 0·74 1·02	36			1	1000000		153 172	0.171-0
0·50 0·74 1·02 1·50	36 43	49	+-6	1	.00	122	1000	+31 $+20$ $+21$

Es ist die genau					erbindung	
lekülyerbindungen						
2.00 86 Tu	0.50	eli43ne	do 34 118	nal guisse.	in. Die Verl	ete
sehen haben, fällt	0:77	10×156 ns	b 47d	wie oben	benso wie	H
in den homologen	1:00	64	56	9226 0 89191	sei den Kol	1
and an in the	1.20	70	62	-8	rasch ab,	mai
A LOUGH BY	1.50	77	70	-7	,010 1100001	114
	2.00	86	81	-5		
	3.00	96	96			
001 == V	0.05		0800			

Während also die Phenole mit den Alkoholen, Ketonen und Äthern Molekülverbindungen des bekannten Typus eingehen, ist die Fähigkeit dazu beim Anisol gänzlich verschwunden. Der Ersatz des Wasserstoffs im Phenol durch eine Methylgruppe hebt seine Nebenvalenzbetätigung gegen die Alkohole, Ketone und Äther auf. Daraus folgt, daß der Wasserstoff an dem Zustandekommen der e nach

zkräfte m Verebnisse

Sprien

toff

und st die z des ebenauf. der

umgek

Molekülverbindung beteiligt sein muß, was für die Anschauung

Es muß aber doch noch eine andere Bindungsstelle in Frage kommen. Dies geht aus der Tatsache hervor, daß das Anisol sehr kräftigen Komponenten gegenüber, wie z. B. im System mit Chloroform, noch einen Rest von Valenzbetätigung zeigt. Die Dampfdruckkurve des Systems Anisol-Chloroform ist negativ. Hier geht die Nebenvalenzwirkung wahrscheinlich vom Sauerstoffatom der Methoxylgruppe aus.

Das Verhalten des Chloroforms in unseren Systemen ist schon früher aufgefallen. Eine ganze Anzahl von Molekülverbindungen, welche Chloroform enthalten, ist lange bekannt. In diesen Verbindungen zeigt das Chloroform eine beträchtliche Bindungsstärke, die keinem anderen Chlorsubstitutionsprodukt des Methans oder seiner Homologen zukommt. Tetrachlorkohlenstoff verhält sich ganz neutral und auch die Chlorderivate des Athans zeigen keine ähnlichen Eigenschaften. Wir haben das abnormale Verhalten bei allen binären Systemen beobachtet, welche Chloroform als zweite Komponente enthielten und können es nur so erklären, daß wir annehmen, das Chloroform sei besonders befähigt, kleine Beträge von Restaffinitäten wirksam zu verwerten.

Die Molekülverbindung mit Anisol entspricht vollkommen dem bekannten Phenoltypus: (2 C₆ H₅ O.CH₃). (CHCl₃). Daß wir hier wieder auf den Phenoltypus stoßen, ist auch ein Anlaß zur Annahme, daß bei Bildung dieser Molekülverbindung dieselben Verhältnisse herrschen wie bei den Phenolen, daß wir also auch bei den Molekülverbindungen der Phenole mit mehreren Bindungsstellen rechnen müssen.1 Von diesen ist die Valenzbetätigung des Wasserstoffatoms am kräftigsten, die des Sauerstoffatoms tritt in den Phenolen gänzlich zurück. Nach erfolgtem Ersatz des Wasserstoffatoms, durch die Methylgruppe müssen sich aber die Verhältnisse verschieben, denn Chloroform geht mit unsubstituierten Phenolen keine Molekülverbindung ein. Erst wenn das Wasserstoffatom durch ein Alkyl ersetzt ist, werden die Beziehungen zwischen den beiden Verbindungen geweckt. Umgekehrt bilden die Ather, Ketone und Alkohole wohl mit den unsubstituierten Phenolen die bekannten Komplexe, nicht aber mit dem Anisol. Es scheint daraus zu folgen, daß für das Chloroform das Kraftfeld des Sauerstoffs, für die anderen Verbindungsklassen das Kraftfeld am Wasserstoff maßgebend ist. In den Phenolen selbst überwiegt das Kraftfeld am Wasserstoff und die Nebenvalenzbetätigung des Sauerstoffs ist gering. Nach Ersatz des Wasserstoffs wird jedoch das Kraftfeld des Sauerstoffs stärker und kann sich selbständig betätigen.

Wir haben auch die Oberflächenspannungen und die innere Reibung unserer Systeme in ihrer Abhängigkeit von der Konzentration

102 pen keine unfiltselbaren Anzeidherheines unregelinäßigen

¹ Vgl. Ztschr. f. anorg. u. allg. Chem. 137, 275 (1924).

untersucht. Die Resultate sind nachstehend zusammengefaßt. Die Versuchstemperatur betrug überall 15°.

a Hozin Tak	elle 15. Wisdowl	metal'i reb Tak	elle 16.
em mit Chio	vie z. B. im Syst	nten geneniiber. v	en Kompones
Phenol-M	lethylalkohol	TOTAL STOY JOOM	Athylalkohol
ativ. iner g	nloroformuist areg	stems Anisol—C	urvel des 155
n0:40 to lane	0.576 doing	irkun 88.0 ahrsche	0.449
0.51	0.578	0.52	B 900 0:447
emen 67.0 sci	12 0 0.557 ni s	mrotoro 0:78	0:441
ulverbookdung	izahl 0.541 Idazi	Eine 1:16	0.431
7 1:50 ib iil	lange \$15.0 annt.	1.55 ine	0:427
Bindulog Sta	edoit 0.500 en	as Chilosorm ei	0.422
Methans o	tionsprodukt des	en C hlof substitu	0.414
erhält sich g	hlorkonlenstoff ve	zukommt. Tetrac	Homologen
	lle 17.	adaT hlorderivat	ile 18.
B isd Phenol	Aceton onds as	Phenol	Äthyläther
is zweile Ko	the Chiorologia a	Deobachiei, Wel	n Systemen
0:30	0:466	0.35	0.416
0.50	0.451	0.52	0.409
0.98	0.430	0.75	0.392
1.51	0.416	1.02	0.372
2.01	0.401	1.48	0.349
2.95	0.380	2.00	0.333
linisse nerrsc	g dieselben verna	Molekdiverondun	dank dieser
Tabe	lle 19.	Tabe	11e 20.
	-Benzol	Personal or contraction was an a series	
senolen stänz	1 44	s Sauerstoffatom	sten, die de
0.50	0.440	0.75	0.410
1.00 alicere	0.428	1.00	0.405
ine Mistri	0.412	mit 1.50 time	0.401
2.00	0.410	wenn 00.2 Wasse Sexieh 00.8 n zwi	0.400
2.50	0.408	3.00	0.400
3.00 OMIA I	0.400	hrt bilden die A	en unsubsti
Komplexe, r	die bekannten		
Tabe	lle 21.	adaTabe	lle 22.
Phenol-C	hloroform	Phenol—Tetrac	chlorkohlenst
Wasserstoff	as Krafteld am	bst überwiegt d	henolen sel
ng. Nacto	ireg 0.347 otersu	etätigu 47.0 des Sa	ebenyalenzb
0.77 Oleralis	0.328	1.02	0.284
1.00	0.311	bstance 1. Petatig	0.271
	ichens 782·0 ungen		0.264
	10V 0-278 innand		0.257
2.50	0.270	2.98	0.250
	0.263	ARTHUR DESCRIPTION OF THE PERSON OF THE PERS	

32

Chemiehen Nr. 7 und 8,

Met bei ver spa Bei kan Mol Kur Ver Bt. Die

9-7/ - i **7**/(0) | - i

st, w

off

die N

ol

daTa, könner	elle 23. natistica	idaTnseigentümli	elle 24. ourb dons		
Phenol-Sch	wefelkohlenstoff	Anisol	-Aceton		
c manifes on	G CONTRACTOR	Keibung der un	nachstehende Tabe		
0.75	0.413	0.50	0.497		
4.00	0.404	0:75	0.478		
1.02	0.391	1.00	0.465		
1.20	0.383	1.50	0.443		
2.00	0.376	2.00	0.431		
3.00	0.373	2.50	0.423		
0121	1000	3.00	0.416		
02-8	5 6 - 1 4	3.50	0.412		
48-8	3-1-1	4.00	0.407		
61.6.					
Tabe	elle 25.	Tabe	elle 26.		
Anisol-	Anisol—Äthyläther		Anisol—Chloroform		
o Tabelle 32.		c AS elledal can			
0.50	0.455	0.51 West	0.525		
0.75	0.408	1.02	0.520		
1.05	0.384	1.50	0.518		
1.53	0.363	2.04	0.516		
2.05	0.344	2.50	0.515		
2.50	0.337	3.00	0.514		
3.08	0.332	97.0.7	2.001 alla		
4.18	0.324	80.0	07:2		
		18.0	Manager Street		
Tabe	lle 27	Tabe	lle 28.		
	chlorkohlenstoff		efelkohlenstoff		
C _V	G	C	0, 435		
0.50	0.522	0.25	0.536		
0.75	0.520	0:50	0.532		
1.01	0.520	1.00	0.530		
1.52	0.519	1:50	0.530		
2.03	0.518	2.00	0.530		
3.05	0.518	e sur Funstitution	nseinflüggeg surtick-		

Von allen diesen Kurven weist nur die des Systems Phenol-Methylalkohol einen charakteristischen Punkt bei c=0.5 auf, also bei jener Konzentration, die der Zusammensetzung der Molekülverbindung entspricht. In diesem Punkt erreicht die Oberflächenspannung ein Maximum, das sich in einer scharfen Spitze ausdrückt. Beiderseits der Spitze fällt die Oberflächenspannung steil ab. Man kann dieses Verhalten leicht durch die Gegenwart einer neuen Molekülart, jener der Molekülverbindung, erklären. Alle übrigen Kurven weisen keine unmittelbaren Anzeichen eines unregelmäßigen Verlaufes auf. Die vielfachen Unterschiede in ihrer Lage sind wohl

auch durch Konstitutionseigentümlichkeiten hervorgerufen, können aber gegenwärtig noch nicht klar übersehen werden.

Die innere Reibung der untersuchten Systeme enthält die Tabelle 16. nachstehende Tabellenreihe.

Tabelle 29.		Tabelle 30.		
Phenol-Methylalkohol		Phenol—Ä	thylalkohol	
G ()	0 o n ee	₩ € ₽-0	7	
0-40	5.15	0.31	6.21	
0.51	4146	0.51	4.10	
0.75	3.27	0.77	3.25	
1:00	2.74	1.14	2.52	
1.50	2.06	1.50	2.12	
2.00 88 91	19daT1.66	2.00 35 91	19ds 11.82	
	5e-18einA	3.40	1.55 A nisol A	
Tabe	lle 31.	Tabe	lle 32.	
Phenol—Aceton		Phenol-A	Äthyläther	
0068-0	0.000	0808.0	0.6370	
0.37	2.90	0:35	4.01	
0.61	1.90	0:52	2:69	
0.98	1.30	0.64	2:14	
1.51	0.93	1:02	1:33	
2.00	0.76	1.48	0.87	
2.50	0.66	2.00	0.64	
3.00 Tabel	10.0.61	Tabel	le 20.	
Tabel	Te 33.	Tabelle 34.		
	-Benzol	Phenol-	-Toluol	
0.0	7	C	n	
0.50	2.66	0.74	2.08	
1.01	1.60	1.55	1.19	
0.75	1.97	1.02	1.60	
1.51	1.24	2.07	1.01	
2.02	1.08	2.59	0.92	
2.52	0.97	3.11	0.90	
3.03	0.91			
weterns Phan	2 sah aih mm tai	diesen Kueven we	Von allen	

Methylako. 36 slladaTarakteristischen Punk. 36 slladaT auf also
Phenol-Chloroform Phenol-Tetrachlorkohlenstoff
verbindung entspricht. In diesem Punkt wireicht die Obesflächen-
spannuces ein Maximum, 17.0 sich in eine 18 arfen Spitze 22.0 rückt.
Beiders 10.2 der Spitze 120.1 die Oberfläch 10.1 pennung stei 00-11. Man
dann des s Verhalten 64:1ht durch dissessenwart ein77.0 neuen
Moleküeet den der der bekülverbinduntt-lerklären. All 86. fbrigen
Kuiven 69 t sen keine un 64 2 elbaren Anzei 71 eines unreg 80 2 Bigen
Thou 3.04 and I remit 0.96 enderschill 12.98allev eld Jun. 56 Jun. 12

Ve ab. önnen

ilt die

ff

Kurs

Tabelle of.		Tabelle oo.		
Phenol-Schw	refelkohlenstoff	Anisol-	-Aceton	
C	η	C	η	
0.75	2.07	0.50	0.720	

C		η	C		η
0.75	-	2.07	0.8	50	0.720
1.00		1.51	0.7	75	0.663
1.15		1.28	1.0	00	0.634
1.50		1.12	1.5	50	0.580
2.00		0.91	2.0	07	0.536
3.00		0.79	2.5	50	0.506
			3.0	07	0.482

Tabelle 39.

Tabelle 37

Tabelle 40.

Tabelle 38

Anisol—	Äthyläther	Anisol—Chloroform		
C	nde 7 die a	nderec Wise	enschanze	
0.50	0.635	0.40	0.910	
0.75	0.516	0:51	0.891	
1.05	0.512	1.02	0.832	
1.53	0.456	1.50	0.791	
2.05	0.426	2.04	0.758	
2.50	0.415	3.00	0.732	
3.06	0.409			

Tabelle 41.

Tabelle 42.

Anisol—Tetrac	hlorkohlenstoff	Anisol-Schw	efelkohlenstoff
c	η	C	η
0.50	0.980	0.25	0.820
0.75	0.971	0.50	0.727
1.01	0.964	1.00	0.635
1.50	0.953	1.50	0.597
2.03	0.945	2.00	0.583
3.05	0.934	3.00	0.553

Sämtliche Kurven der inneren Reibung sind negativ. Im einzelnen zeigen sie große Unterschiede, die auf Konstitutionseinflüsse zurückgeführt werden können. Es ist jedoch nicht möglich, aus ihrem Verlauf Anhaltspunkte für das Bestehen der Molekülverbindungen abzuleiten.